ГЛАВНОЕ УПРАВЛЕНИЕ ГИДРОМЕТЕОРОЛОГИЧЕСКОЙ СЛУЖБЫ ПРИ СОВЕТЕ МИНИСТРОВ СССР

ОРДЕНА ТРУДОВОГО КРАСНОГО ЗНАМЕНИ ГЛАВНАЯ ГЕОФИЗИЧЕСКАЯ ОБСЕРВАТОРИЯ им. А. И. ВОЕЙКОВА

ТРУДЫ

ВЫПУСК 348

ПРИМЕНЕНИЕ СТАТИСТИЧЕСКИХ МЕТОДОВ В МЕТЕОРОЛОГИИ

Под редакцией д-ра физ.-мат. наук Л. С. ГАНДИНА д-ра физ.-мат. наук Р. Л. ҚАГАНА

Ленинградский Гидрометеорология кий ин-т БИБЛИОТЕКА Л-д 195196 Малоохтинский пр., 98



ГИДРОМЕТЕОИЗДАТ ЛЕНИНГРАД • 1975 Сборник содержит работы по применению статистических методов интерпретации и обработки различных видов метеорологической информации. Представлен ряд результатов по проблеме четырехмерного анализа метеорологических полей. Рассмотрены вопросы точности определения статистических характеристик метеорологических полей, а также применения теории выбросов к анализу временных метеорологических рядов. В сборнике представлены также материалы по разработке и испытанию методов контроля метеорологической информации.

Сборник рассчитан на научных работников, аспирантов и студентов старших курсов, интересующихся применением

статистических методов в метеорологии.

The publication includes papers dealing with the use of statistical methods for interpretation and treatment of different meteorological information. A number of results is presented concerning the problem of four—dimensional analysis of meteorological fields. There are considered problems of the accuracy of determining the statistical characteristics of meteorological fields, as well as application of the theory of excursions analysis of time meteorological series. The materials on the development and test of methods for checking meteorological information are given.

The publication is meant for researchers, post-graduates and senior students interested in the use of statistical methods

in meteorology.

ОБ УЧЕТЕ ДАННЫХ (КОСВЕННОГО ЗОНДИРОВАНИЯ АТМОСФЕРЫ ПРИ ЧЕТЫРЕХМЕРНОМ АНАЛИЗЕ МЕТЕОРОЛОГИЧЕСКИХ ПОЛЕЙ

1. Как известно, сеть аэрологических станций, производящих зондирование атмосферы в заранее предписанные, единые физические моменты времени, распределена весьма неравномерно. Наряду с густой сетью таких станций в хорошо обжитых районах суши, существуют обширные области, главным образом акватории океанов, с весьма редкой сетью аэрологических станций. В южном полушарии количество таких станций в несколько разменьше, чем в северном.

Перспективы расширения аэрологической сети весьма невелики. Не только организация новых кораблей погоды, производящих аэрологическое зондирование, но даже эксплуатация существующих кораблей погоды является весьма дорогостоящим мероприятием, и в настоящее время наблюдается тенденция не к увеличению, а, скорее, к сокращению флота кораблей погоды.

Вместе с тем задачи увеличения точности и заблаговременности прогнозов погоды требуют достаточно детальной информации об аэрологических полях над всем земным шаром или, по крайней мере, над полушарием, для которого выполняется прогноз. Такая информация настоятельно требуется также для достижения лучшего понимания закономерностей метеорологических процессов над океанами, в тропической и экваториальной зонах, в полярных районах и т. п., что в свою очередь необходимо для усовершенствования существующих прогностических методов.

Можно считать общепризнанным, что основным средством преодоления указанной трудности является привлечение наблюдений с быстро движущихся измерительных средств и, в первую очередь, с метеорологических спутников. Возможности использования спутниковой информации в дополнение к данным аэрологического зондирования базируются главным образом на так называемых методах косвенного зондирования атмосферы. Как

показали работы последних лет, можно, используя решения об ратных задач атмосферной оптики или основываясь на корреля ционных связях, с удовлетворительной точностью восстанавли вать вертикальные профили температуры и геопотенциала изоба рических поверхностей по данным спутниковых измерений ярко сти уходящего излучения в различных спектральных интерва лах.

Данные косвенного зондирования относятся к быстро следующим друг за другом и не фиксированным заранее срокам наблюдений, т. е. носят, как принято говорить, асиноптический харак тер. Такая асиноптическая информация уже сейчас распространяется в оперативном порядке. Удельный вес ее будет несомнен но возрастать.

Для того чтобы учитывать (усваивать) асиноптическую ин формацию при объективном анализе метеорологических полей необходимо при таком анализе уметь использовать данные, от носящиеся не только к разным точкам пространства, но и к разным моментам времени. Иначе говоря, необходим переход о применяемого в настоящее время чисто пространственного, трех мерного анализа метеорологических полей к анализу четырехмерному, т. е. пространственно-временному.

Проблема четырехмерного анализа была сформулирована уже несколько лет назад. С тех пор выполнен ряд исследований по четырехмерному анализу главным образом на уровне численных экспериментов. Результаты этих исследований представляют несомненный интерес. Однажо основное внимание в них уделялось асиноптическому характеру данных косвенного зондирования.

Вместе с тем данные косвенного зондирования обладают еще по меньшей мере тремя особенностями, отличающими их от данных прямого аэрологического зондирования. Во-первых, косвенное зондирование дает, в отличие от прямого, осредненные по пространству величины, или, точнее говоря, масштаб такого осреднения существенно больше, чем для величин, полученных обыч ным аэрологическим зондированием. Во-вторых, аппаратура на спутнике работает в значительно более сложных условиях, чем при радиозондировании, а переход от спектральных яркостей к температуре и геопотенциалу является, разумеется, приближенным. Поэтому ошибки данных косвенного зондирования существенно больше, чем ошибки данных радиозондирования. Наконец, третьих, если каждое новое радиозондирование производится с помощью нового экземпляра прибора, то все измерения на одном спутнике ведутся одним и тем же экземпляром аппаратуры. Поэтому в отличие от ошибок радиозондирования ошибки косвенного зондирования в различных точках должны тесно коррелировать между собой.

Указанные свойства ошибок косвенного зондирования не только следуют из умозрительных соображений. Они подтверждаются также результатами непосредственного анализа данных косенного зондирования, выполненного недавно В. П. Таракано-

ой [3].

2. Цель настоящей работы состоит в анализе возможностей етырехмерного анализа с учетом как асиноптического харакера данных косвенного зондирования атмосферы, так и величиы и степени коррелированности ошибок косвенного зондированя. При этом предполагается, что четырехмерное усвоение информации производится чисто статистическим путем, с помощью ространственно-временной оптимальной интерполяции.

Как известно (см., например, [1]), в случае, если ошибки аблюдений могут коррелировать между собой, но не коррелируют с истинными значениями наблюдаемого метеорологического лемента f, уравнения метода оптимальной интерполяции для

пределения весовых множителей P_i имеют вид

$$\sum_{j=1}^{n} (\mu_{ij} + \eta_i \eta_j v_{ij}) P_j = \mu_{0i} \quad (i = 1, 2, ..., n),$$
 (1)

це μ_{ij} — коэффициент корреляции между истинными значениям элемента f в i-том и j-том пунктах наблюдений; μ_{0i} — коэфициент корреляции между истинным значением элемента f i-том пункте наблюдений и искомым значением этого элемента; — число данных, используемых при интерполяции; η_i^2 — мера шибки наблюдений в i-том пункте, т. е. отношение среднего вадрата ошибки Δ_i^2 к дисперсии σ^2 элемента f; v_{ij} — коэффицинт корреляции между ошибками наблюдений в i-том и j-том унктах.

После того как веса P_i найдены путем решения системы уравений (1), нетрудно произвести интерполяцию по формуле

$$\hat{f}_0^{\hat{}} = \sum_{i=1}^n P_i \tilde{f}_i^{\hat{}}, \tag{2}$$

те величины со штрихом означают отклонения элемента f от оеднего климатического вначения (нормы) \bar{f} , знак \sim относится наблюдаемым значениям элемента (в отличие от истинных), знак \wedge — к результату интерполяции (также в отличие от стинного значения).

Независимо от этого можно после решения системы (1) оцеить среднюю квадратическую ошибку интерполяции. С этой елью проще всего воспользоваться формулой

$$\varepsilon^2 = 1 - \sum_{i=1}^n \mu_{0i} P_i, \tag{3}$$

де ε^2 — мера ошибки интерполяции, т. е. отношение среднего вадрата ошибки интерполяции к σ^2 .

При этом предполагается, что величина σ является постоян ной. Было бы очень просто отказаться от этого упрощающего предположения, в чем, однако, нет нужды, поскольку данные на блюдения используются в сравнительно малой окрестности интересующей нас точки и в пределах такой окрестности величина оменяется весьма мало.

Как известно, пространственные корреляционные функции ос новных метеорологических элементов можно с большой точностью считать однородными и изотропными по горизонтали или вдоли изобарических поверхностей, т. е. принять, что

$$\mu_{ij} = \mu(r_{ij}), \tag{4}$$

где r_{ij} — расстояние между i-тым и j-тым пунктами, а $\mu(r)$ — функция заданного вида.

Формула (4) верна в случае, если оба наблюдения относятся к одной и той же изобарической поверхности (что мы всегда бу дем предполагать) и если оба наблюдения выполнены в один и то же момент времени. Как показано в работе [2], с большой точностью выполняется более общая гипотеза о пространственно временной (точнее говоря, горизонтально-временной) однородно сти и изотропии. Именно, если расстояние между пунктами на блюдения равно r_{ij} , а интервал времени между ними составляе τ_{ij} , то можно воспользоваться формулой

$$\mu_{ij} = \mu \left(\sqrt{r_{ij}^2 + c^2 \tau_{ij}^2} \right), \tag{5}$$

где c — константа размерности скорости. Для приземного давления $c{\simeq}35$ км/ч. В дальнейших расчетах будет использованименно это значение c.

Примем теперь, что часть исходных данных (например, дан ные пунктов с номерами i=1, 2, ..., k) представляет собой ре зультаты обычных радиозондовых наблюдений, а часть (с номера ми i=k+1, k+2, ..., n) — данные косвенного зондирования. Ошиб ки радиозондовых наблюдений будем, как это обычно делается считать белым шумом, т. е. предположим, что они не коррелиру ют ни между собой, ни с ошибками косвенного зондирования

$$\mathbf{v}_{ij} = \left\{ \begin{array}{llll} 1 & \text{при} & j = \mathbf{i}; \\ 0 & \text{при} & i = 1, \ 2, \ \dots, \ k; & j = 1, \ 2, \ \dots, \ n; & j \neq i; \\ 0 & \text{при} & j = 1, \ 2, \ \dots, \ k; & i = 1, \ 2, \ \dots, \ n; & i \neq j; \end{array} \right.$$

Средний квадрат, а потому и меру ошибок радиозондировани будем считать одинаковыми для всех пунктов радиозондировани

$$\eta_1 = \eta_2 = \ldots = \eta_k = \eta. \tag{}$$

Гакже одинаковой, но другой будем считать меру ошибок косвенного зондирования

$$\eta_{k+1} = \eta_{k+2} = \ldots = \eta_n = \eta'. \tag{8}$$

Тогда можно записать систему (1) в следующем виде:

$$\sum_{j=1}^{n} \mu_{ij} P_{j} + \eta^{2} P_{i} = \mu_{0i} \quad (i = 1, 2, ..., k),$$

$$\sum_{j=1}^{k} \mu_{ij} P_{j} + \sum_{j=k+1}^{n} (\mu_{ij} + {\eta'}^{2} {\nu_{ij}}) P_{j} = \mu_{0i}$$

$$(i = k+1, k+2, ..., n). \tag{9}$$

Например, при k=2, n=5 матрица коэффициентов системы (9) имеет вид (с учетом того, что $\mu_{ii}=\mu_{ij}$ и $\nu_{ji}=\nu_{ij}$).

$$\begin{pmatrix} 1+\eta^2 & \mu_{12} & \mu_{13} & \mu_{14} & \mu_{15} \\ \mu_{12} & 1+\eta^2 & \mu_{23} & \mu_{24} & \mu_{25} \\ \mu_{13} & \mu_{23} & 1+\eta'^2 & \mu_{34}+\eta'^2 \nu_{34} & \mu_{35}+\eta'^2 \nu_{35} \\ \mu_{14} & \mu_{24} & \mu_{34}+\eta'^2 \nu_{34} & 1+\eta'^2 & \mu_{45}+\eta'^2 \nu_{45} \\ \mu_{15} & \mu_{25} & \mu_{35}+\eta'^2 \nu_{35} & \mu_{45}+\eta'^2 \nu_{45} & 1+\eta'^2 \end{pmatrix}$$

Что касается коэффициентов v_{ij} корреляции между ошибками косвенного зондирования, то они принимались зависящими лишь от расстояния между точками. При этом представляет интерес предельный случай, когда эти ошибки носят характер «черного шума», т. е. когда при всех i и j, превосходящих k,

$$v_{ij} = 1$$
 $(i, j = k+1, k+2, ..., n).$ (10)

3. Первая серия численных экспериментов относилась к случаю интерполяции по данным только асиноптических наблюдений. Предполагалось, что используется n таких наблюдений, расположенных на одной прямой AB и отстоящих друг от друга на расстояние r (рис. 1). Расстояние от этой прямой, моделирующей траекторию спутника, до интересующей нас точки 0 обозначено через ρ . При этом перпендикуляр, опущенный из точки 0 на прямую AB, пересекает ее в средней точке наблюдений. Такое предположение вполне естественно, поскольку можно считать, что имеется большое количество наблюдений на прямой AB, а для интерполяции в точку 0 используется лишь часть из них.

Считалось также, что наблюдения отстоят по времени от того момента, для которого нас интересует значение метеорологического элемента в точке 0, на некоторый интервал времени т. Впрочем, поскольку в данном случае введение т почти в точности

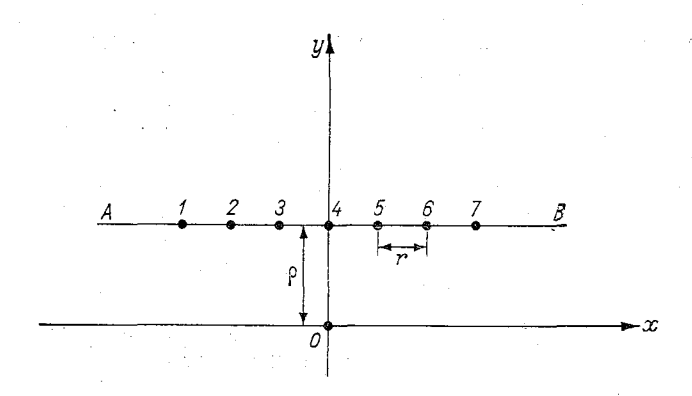


Рис. 1. Схема расположения пунктов асиноптических наблюдений.

эквивалентно соответствующему увеличению расстояния ho, в дальнейшем анализируются результаты расчетов лишь при ho=0.

Корреляционная функция анализируемого элемента задавалась формулой

$$\mu(r) = e^{-r/1.05} (1 + r/1.05) \tag{11}$$

(r в тысячах километров).

Как показано в работе [2], эта формула хорошо описывает, в частности, корреляционную функцию приземного давления. Корреляционная функция ошибок наблюдений считалась экспоненциальной

$$y(r) = e^{-ar}, \tag{12}$$

причем параметр lpha варьировался, так же как и мера ошибок наблюдения ${\eta'}^2.$

На рис. 2 показаны некоторые результаты вычислений средней квадратической относительной ошибки интерполяции ε для случая пяти влияющих точек (n=5) с расстоянием r=200 км между ними. Величина ε при различных значениях η'^2 и ρ представлена в функции от величины v(0,2), т. е. от коэффициента

корреляции между ошибками соседних наблюдений. Естественно, что с ростом v(0,2) ошибка интерполяции возрастает, причем этот рост выражен тем сильней, чем больше η' . Величины ϵ , ра-

зумеется, увеличиваются с ростом расстояния от точки 0 до траектории AB. При этом отнокоррелиро- 0.5 сительное влияние ошибок наблюдений уменьшается. В нашем случае это влияние наибольшее = 0 ugn = 150 км. Так, если мера ошибок наблюдения составляет 0.05, что является вполне разумной оценкой точности спутниковой инфор- 94 мации, то при $\rho = 150$ км переход некоррелированных ошибок OT (v=0) к полностью коррелированным (v=1) соответствует увеличению ошибки интерполяции от 0,178 до 0,255, т. е. на 43%. Таким образом, наличие корреляции между ошибками асиноптических данных существенно уменьшает их информативность.

Это уменьшение наглядно проявляется при анализе влияния числа п учитываемых наблю- 0,2 дений на точность интерполяции. Так, в табл. 1 приведены результаты вычисления величины

$$\chi = \frac{\varepsilon(1) - \varepsilon(n)}{\varepsilon(1)},\tag{13}$$

характеризующей относительное уменьшение ошибки интерполяции вследствие перехода от использования одного наблюдения к использованию n наблюдений. Такое уменьшение наиболее существенно при переходе от n=1 к n=3. При дальнейшем увеличении числа используемых наблюдений ϵ меняется в меньшей

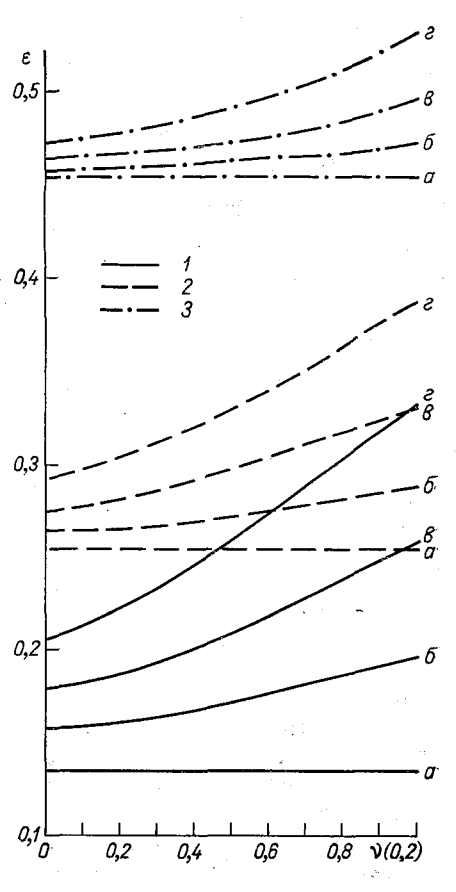


Рис. 2. Зависимость средней квадратической относительной ошибки информации от v(0,2) и η'^2 (n==5, r=200 км) при различных значениях ρ .

1) $\rho = 150 \text{ km}$, 2) $\rho = 300 \text{ km}$, 3) $\rho = 600$; a) $\eta'^2 = 0.0$; 6) $\eta'^2 = 0.02$; a) $\eta'^2 = 0.05$; 2) $\eta'^2 = 0.1$.

мере. При этом если в случае некоррелированных ошибок привлечение большого числа наблюдений приводит к существенному уменьшению ошибки интерполяции, то уже при v(0,2)=0,7 это повышение точности гораздо меньше. Еще меньше оно в случае наблюдений с полностью коррелированными ошибками.

Сказанное означает, что в отличие от данных обычных наблюдений, для которых, как известно, увеличение числа влияющих станций в разумных пределах (до $n=6\sim8$) приводит к заметному уточнению анализа, применительно к асиноптической информации это не так. Поскольку ошибки асиноптических данных в разных пунктах существенно коррелированы, увеличение

Таблица 1 Относительное уменьшение (%) ошибки интерполяции при переходе от n=1 к n=3, n=5 и n=9; p=300 км; r=200 км; $\tau=0$

	η΄2									
n	0,01	0,02	0,07	0,10	0,15	0,20				
			ν = 0							
3	5,1	8,2	17,5	20,5	23,4	25,1				
5	5,6	9,3	20,9	24,8	29,0	31,5				
9	5 ,6	9,3	21,4	25,6	30,6	3 3,7				
			v(0,2) = 0,7							
. 3	2,8	3,4	6,2	6,9	7,6	7,9				
5	3,1	4,1	8,4	9,7	11,1	11,8				
9	3,1	4,1	8,9	10,7	12,6	13,8				

количества влияющих пунктов мало улучшает дело, и практически единственным путем, ведущим к уточнению анализа, является уменьшение ошибок асиноптической информации.

До сих пор предполагалось, что при вычислении интерполяционных весов каждый раз правильно учитывается наличие или отсутствие корреляции между ошибками наблюдений. Наряду с такими оценками представляет интерес выяснить, насколько ухудшаются результаты анализа, если между ошибками наблюдений существует корреляция, которая, однако, не принимается во внимание при расчете интерполяционных весов. Некоторые характерные результаты оценок такого рода приведены в табл. 2, где наряду со значениями є при v=0 и при v=1 даны также величины є', которые получаются при v=1, если используются веса P_i , рассчитанные в предложении, что v=0. Заметим, что в последнем случае интерполяция уже не является оптимальной, так что для расчета є' нельзя пользоваться формулой (3), а необходимо использовать выражение

$$\varepsilon'^{2} = 1 - 2 \sum_{i=1}^{n} \mu_{0i} P_{i} + \sum_{i=1}^{n} \sum_{j=1}^{n} (\mu_{ij} + {\eta'}^{2}) P_{i} P_{j}. \tag{14}$$

Рассмотрение табл. 2 показывает, что в данном случае пренебрежение коррелированностью ошибок при расчете интерполяционных весов лишь незначительно ухудшает результаты анализа. Это особенно отчетливо видно из сопоставления данных в двух последних строках таблицы, в которых приведены относительные увеличения в вследствие коррелированности ошибок наблюдения (предпоследняя строка) и дополнительные относительные увеличения вследствие неучета этого обстоятельства при расчете весов. Мы видим, что последние на порядок меньше первых.

Таблица 2

Средняя квадратическая относительная ошибка интерполяции при $\rho=150$ км, r=200 км, $\tau=0$, n=5 в случае некоррелированных ошибок наблюдений ($\epsilon|_{\nu=0}$), в случае абсолютно коррелированных ошибок наблюдений ($\epsilon|_{\nu=1}$) и в случае, когда ошибки наблюдений абсолютно коррелированы, но предполагаются некоррелированными в процессе вычисления интерполяционных весов (ϵ')

	η'2								
n	0,01	0,02	0.05	0,10					
° ν=0	0,148	0,157	0,178	0,205					
ε _{1ν=1}	0,167	0,194	0,255	0,327					
ε'	0,170	0,199	0,266	0,346					
$\frac{\frac{\varepsilon _{\nu}=1-\varepsilon _{\nu}=0}{\varepsilon _{\nu}=0}}{\varepsilon _{\nu}=0}\%$	12,8	23,6	43,3	59,5					
$\frac{\varepsilon'-\varepsilon _{\gamma=1}}{\varepsilon _{\gamma=1}}\%$	1,8	2,6	4,3	5,8					

Это означает, что имея дело только с асиноптической информацией, мы не получим больших ошибок анализа, если при расчете интерполяционных весов будем пренебрегать коррелированностью ошибок этой информации. Однако такое пренебрежение приведет к совершенно искаженным, завышенным оценкам точности анализа.

4. Перейдем теперь к результатам экспериментов, в которых предполагалось наличие как асиноптической информации, так

и данных обычных, радиозондовых наблюдений.

Схема взаимного расположения пунктов наблюдений, использованная в этих экспериментах, показана на рис. 3. Предполагалось, что имеются 4 станции радиозондирования (точки с номерами i=1, 2, 3, 4), расположенные на одинаковом расстоянии h от интересующей нас точки 0 в направлениях x и y. Кроме того, используются асиноптические данные на траектории, параллельной оси x и отстоящей от точки 0 на расстояние ρ , причем эти

данные относятся к моменту времени, отстоящему от рассматриваемого срока радиозондирования, для которого произво-

дится интерполяция, на интервал времени т.

Эксперименты, о которых пойдет речь, относятся к случаю, когда используется 5 точек на траектории (точки с номерами i=5, 6, 7, 8, 9), на расстоянии r=200 км одна от другой (см. (рис. 3). В этих экспериментах расстояние ρ задавалось постоян-

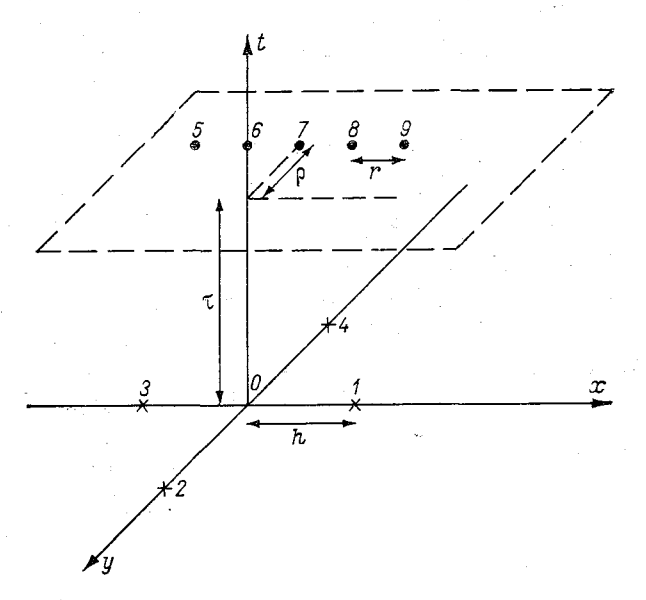


Рис. 3. Схема расположения пунктов наблюдений при использовании аэрологической и асиноптической информации.

I-4 — пункты аэрологической информации; 5-9 — пункты асиноптической информации; 0 — точка, в которой оценивается погрешность интерполяции.

ным, а именно $\rho = 300$ км. Также постоянной принималась точность радиозондирования ($\eta^2 = 0.02$). Варьировались густота сети радиозондирования, т. е. расстояние h, сдвиг по времени τ , точность асиноптической информации, характеризуемая величиной ${\eta'}^2$, и степень коррелированности ошибок этой информации, описываемая коэффициентом корреляции v(0,2) между ошибками в соседних точках траектории.

Рассмотрим некоторые результаты этих экспериментов, приведенные в табл. 3, а именно, суммы весов аэрологической информации, суммы весов асиноптической информации и средние квадратические относительные ошибки интерполяции. Эти результаты приведены в табл. 3 для двух значений h (200 и 800 км), трех значений τ (0; 3 и 6 ч), трех значений η'^2 (0,01; 0,1 и 0,2) и двух значений v (0,2) (0 и 0,7).

При расстоянии h, равном 200 км, что соответствует расстоянию между соседними аэрологическими станциями около 280 км, вес аэрологической информации во всех случаях получается весьма большим, а вес асиноптических данных— почти пренебрежимо малым. Это вполне естественно, поскольку при таких расстоя-

Таблица 3 Сумма весов аэрологической $(\stackrel{4}{\Sigma}P_i)$ и асиноптической $\stackrel{9}{(\stackrel{\Sigma}{\Sigma}P_i)}$ информации и средняя квадратическая относительная ошибка интерполяции

	<u> </u>			v=0	-	1 .	ν (0,2)	=0.7	
]							-0.7	
च्य	<i>h</i> км	η'2	i=1	$ \begin{array}{c c} 9 \\ \Sigma P_i \\ i=5 \end{array} $	€	$\begin{vmatrix} 4 & P_i \\ i = 1 \end{vmatrix}$	$ \begin{vmatrix} 9 \\ \Sigma P_i \\ i=5 \end{vmatrix} $	ε	€′
0	200	0,01	0,912	0,096	0,084	0,924	0,082	0,084	0,084
		0,1	0,962	0,050	0,086	0,987	0,021	0,086	0,087
		0,2	0,979	0,045	0,087	0,997	0,012	0,087	0,087
ļ	800	0,01	0,034	0,988	0,165	0,146	0,880	0,176	0,177
1		0,1	0,251	0,794	0,210	0,585	0,478	0,247	0,286
1		0,2	0,427	0,628	0,234	0,762	0,304	0,269	0,298
3	200	0,01	0,936	0,070	0,085	0,944	0,062	0,085	0,085
		0,1	0,970	0,040	0,086	0,989	0,019	0,086	0,087
		0,2	0,982	0,028	0,087	0,998	0,011	0,087	0,087
	800	0,01	0,157	0,876	0,184	0,256	0 ,779	0,192	0,193
		0,1	0,323	0,726	0,220	0,618	0,436	0,251	0,285
		0,2	0,476	0,583	0,240	0,778	0,296	0,271	0,296
6	200	0,01	0,970	0,038	0,086	0,973	0,036	0,086	0,086
		0,1	0,982	0,026	0,086	0,994	0,014	0,087	0,087
		0,2	0,988	0,020	0,087	1,000	0,009	0,087	0,087
	800	0,01	0,406	0,645	0,219	0,477	0,575	0,221	0,222
		0,1	0,487	0,576	0,242	0,698	0,376	0,262	0,284
		0,2	0,588	0,511	0,255	0,820	0,264	0,274	0,292
	I	j]	1 :	J .	

ниях аэрологические данные позволяют получить весьма значигельную информацию об искомой величине в точке 0, так что асиноптические наблюдения почти не дают дополнительной информации. Соотношение весов аэрологической и асиноптической информации закономерно меняется с изменением параметров наших экспериментов, а именно $\sum_{i=1}^{4} P_i$ растет, а $\sum_{i=5}^{9} P_i$ соответственно убывает с ростом ошибок асиноптических данных, с увеличе-

нием коррелированности этих ошибок и с ростом сдвига по времени τ . Эти эффекты, однако, выражены при h=200 км весьма слабо. Что касается точности интерполяции, характеризуемой ε , то она практически совсем не зависит от указанных параметров задачи.

Таким образом, в районах с густой аэрологической сетью, где достаточно высокая точность анализа может быть обеспечена путем использования только обычных наблюдений, асиноптические данные не могут заметным образом изменить результат анализа и увеличить его точность.

Сушественно иная картина получается при редкой сети аэрологического зондирования, а именно при сети с расстоянием около 1100 км (h=800 км). В этом случае соотношение весов аэрологической и асиноптической информации сильно меняется в за-

висимости от параметров рассматриваемой задачи.

Так, если сдвиг асиноптической информации по времени отсутствует (τ =0), а ошибки ее весьма малы (η'^2 =0,01) и не коррелируют друг с другом (ν =0), то ничтожно малым оказывается вес аэрологических данных, а асиноптические данные входя с суммарным весом, близким к единице. Увеличение η' , ν и τ приводит к значительному уменьшению роли асиноптических данных и к соответственному возрастанию роли аэрологической информации. Так, при η'^2 =0,2, ν (0,2)=0,7 и τ =6 ч суммарный вес аэрологических данных оказывается превосходящим вес асиноптических данных более чем в три раза.

Таким образом, в районах с редкой сетью аэрологических станций вклад асиноптической информации может быть весьма значительным и для корректного определения этого вклада необ¦ ходимо надлежащим образом учитывать свойства асиноптической информации. Среди этих свойств, недостаточный учет которых может сильно исказить выводы, касающиеся соотношения вкладов разных видов информации, следует особенно отметить наличие корреляции между ошибками асиноптических данных. Так при $\eta'^2 = 0,1$ и $\tau = 0$ неучет указанного фактора приводит к выво ду, что вес асиноптических данных должен более чем втрое пре вышать вес данных радиозондирования. В то же время при разумной оценке корреляции между ошибками спутниковой информации соотношение существенно иное — суммарный вес аэрологической информации даже несколько больше, чем асиноптической. Рас смотрение величин в' в табл. 3, имеющих такой же смысл, как и ранее (см. табл. 2), показывает, что принятие неправильного соотношения между весами приводит также к заметному умень шению точности анализа.

Увеличение ошибки анализа в' вследствие пренебрежения кор релированностью ошибок асиноптической информации имеет то же порядок величины, что и увеличение в вследствие самого фак та коррелированности этих ошибок.

Заслуживает внимания также тот факт, что приведенные оценки сравнительно слабо зависят от сдвига по времени т. Так

при h=800 км и ${\eta'}^2=0.1$ увеличение τ от 0 даже до 6 ч приводит (при коррелированных ошибках асиноптической информации) к росту суммарного веса аэрологических данных и уменьшению веса спутниковой информации примерно на 0,1. Ошибка анализа возрастает при этом только на 6%. При переходе же от $\tau=0$ к $\tau=3$ ч этот эффект значительно меньше.

Этот вывод представляется весьма существенным. Он означает, что при разработке методов четырехмерного анализа не столь уж существенно стремиться к тому, чтобы данные асиноптических наблюдений утилизировались в точности для тех моментов времени, к которым эти данные относятся; на это обстоятельство обращается основное внимание в современных численных экспериментах по четырехмерному усвоению данных. Гораздо важнее правильно учитывать статистические свойства ошибок асиноптической информации, а именно истинную среднюю величину этих ошибок и степень их коррелированности.

СПИСОК ЛИТЕРАТУРЫ

1. Гандин Л. С., Каган Р. Л., Полищук А. И. Об оценке информативности систем метеорологических наблюдений.—«Труды ГГО», 1972, вып. 286, с. 120—140.

2. Лугина К. М., Каган Р. Л. К вопросу о пространственно-временном анализе барического поля. — «Труды ГГО», 1974, вып. 336, с. 75—94.

3. Тараканова В. П. К вопросу о точности косвенного температурного зондирования атмосферы с искусственных спустников Земли. — «Метеори гидрол.», 1974, № 4, с. 76—78.

численные эксперименты по совместному учету Аэрологической. СПУТНИКОВОЙ И ПРОГНОСТИЧЕСКОЙ ИНФОРМАЦИИ

Общеизвестно, что существующая в настоящее время сеть аэрологических станций весьма неравномерна. Поэтому точность объективного анализа в районах с редкой сетью довольно низкая, в то время как современные методы численных прогнозов требуют задания полей метеоэлементов по всему земному шару или по полушарию с достаточной степенью точности.

Поэтому в настоящее время назрела необходимость применения дополнительной информации при объективном анализе метеорологических полей с целью повышения точности анализа.

Рассмотрим вопрос о привлечении в качестве дополнительной информации данных, полученных с метеорологических спутников, и прогностической информации. В отличие от аэрологической эти два вида информации имеют свои особенности.

Во-первых, в отличие от аэрологических данных, спутниковые данные разбросаны непрерывно по пространству и времени, т. е. носят, как принято говорить, асиноптический характер. Поэтому при анализе асиноптических данных следует производить четырехмерное (пространственно-временное) усвоение данных наблюлений.

Во-вторых, существующие методы обработки спутниковых данных позволяют получать вертикальные профили температуры и геопотенциала по данным спектральных измерений уходящего излучения. Естественно, что ошибка измерения при таком косвенном зондировании атмосферы значительно больше, чем при прямом зондировании.

В-третьих, вследствие того, что все измерения на спутнике производятся одним и тем же экземпляром прибора, ошибки спутниковых данных коррелируют между собой. Результаты проверки всех этих свойств на фактическом материале полностью

подтверждают высказанные выше предположения [1].

Перейдем теперь к особенностям прогностической информаии. Будем считать прогноз совершенным в том смысле, что икакой линейной комбинацией результатов прогноза его нелья улучшить. Из этого следует, что ошибки прогноза не коррелиуют с результатами прогноза и, следовательно, обладают отицательной корреляцией с истинными значениями метеоэлемена. Поэтому дисперсия прогноза должна быть занижена. В этом эстоит основное отличие ошибок прогноза от ошибок наблюдеий, которые не коррелируют с истинными значениями и завышат дисперсию метеоэлемента. При этом прогноз должен учитыаться только в той точке, куда производится интерполяция [2].

В настоящей работе основное внимание уделяется учету станстических характеристик различных видов дополнительной инормации при четырехмерном анализе, а не их асиноптическому арактеру. Мы предполагали, что дополнительная информация сванвается в тот же момент времени, для которого производити интерполяция. Это предположение не является ограничением, оскольку если бы асиноптические наблюдения отстояли от расматриваемого момента времени на интервал т, то это было бы квивалентно увеличению расстояния от них до точки, куда провводится интерполяция, а это расстояние варьировалось в наих экспериментах [3]. Усвоение данных производилось чисто гатистическим путем с помощью метода оптимальной интерполяци.

Итак, пусть в точку θ производится интерполяция по данным аблюдений в n точках.

Тогда, если не делать никаких предположений относительно орреляции ошибок наблюдений как с истинным значением меоэлемента, так и между собой, уравнения метода оптимальной нтерполяции можно записать в виде

$$\sum_{j=0}^{n} \overline{(f'_i f'_j + \overline{f'_i \delta_j} + \overline{\delta_i f'_j} + \overline{\delta_i \delta_j})} p_j = \overline{f'_i f'_0} + \overline{\delta_i f'_0}$$

$$(i = 0, 1, \dots, n), \qquad (1)$$

iе f_i — отклонение истинного значения метеоэлемента от нормы i-той точке, δ_i — ошибка i-того наблюдения, p_j — весовой мноитель, черта сверху означает статистическое осреднение.

Выражение (1) представляет собой систему n+1 линейных авнений относительно весовых множителей p_j . Допустим терь, что при i=0 информация прогностическая, при i=1, 2, ..., k-1 рологическая, а при i=k+1, k+2, ..., n— спутниковая.

Запишем систему (1) в виде:

2 193

$$\sum_{j=0}^{n} \overline{(f'_{0}f'_{j} + \overline{b'_{0}\delta_{j} + \overline{\delta_{0}^{(0)}f'_{j}} + \overline{\delta_{0}^{(0)}f'_{j}})} p_{j} = \overline{f'_{0}^{2} + \overline{\delta_{0}^{(0)}f'_{0}}};$$

$$CK$$

$$CK$$

$$CK$$

$$CK$$

$$CK$$

$$CK$$

$$\sum_{j=0}^{n} \overline{(f'_{i}f'_{j} + \overline{f'_{i}\delta_{j}} + \overline{\delta_{i}f'_{j}} + \overline{\delta_{i}\delta_{j}})} p_{j} = \overline{f'_{i}f'_{0}} + \overline{\delta_{i}f'_{0}}$$

$$(i = 1, 2, \dots, n), \qquad (2)$$

где $\delta_0^{(0)}$ — ошибка прогноза.

Так как ошибки прогноза не коррелируют с результатами прогноза, то

$$\overline{\delta_0^{(0)}(f_j' + \delta_j^{(0)})} = 0, \tag{3}$$

и, следовательно,

$$\overline{\delta_0^{(0)}f_j'} = -\overline{\delta_0^{(0)}\delta_j^{(0)}}.$$

Если учесть, что ошибки спутниковых данных коррелирую между собой, но не коррелируют ни с истинными значениями метеоэлемента, ни с ошибками аэрологических данных и прогноза ошибки аэрологических данных представляют собой белый шукто система (2) примет вид:

$$\sum_{j=0}^{n} \overline{(f_{0}'f_{j}' - \overline{\delta_{0}^{(0)}} \delta_{j}^{(0)})} p_{j} = \overline{f_{0}'^{2}} - \overline{\delta_{0}^{(0)}^{2}};$$

$$\overline{(f_{i}'f_{0}' - \overline{\delta_{i}^{(0)}} \delta_{0}^{(0)})} p_{0} + \sum_{j=1}^{n} \overline{(f_{i}'f_{j}')} p_{j} + \overline{\delta_{i}^{2}} p_{i} = \overline{f_{i}'f_{0}'} \quad (i=1, 2, ..., k);$$

$$\overline{(f_{i}'f_{0}' - \overline{\delta_{i}^{(0)}} \delta_{0}^{(0)})} p_{0} + \sum_{j=1}^{k} \overline{(f_{i}'f_{j})} p_{j} + \sum_{j=k+1}^{n} \overline{(f_{i}'f_{j}' + \overline{\delta_{i}} \delta_{j})} p_{j} = \overline{f_{i}'f_{0}'}$$

$$(i=k+1, k+2, ..., n).$$

Будем считать, что дисперсия метеоэлемента постоянна и ра на σ^2 . Это предположение естественно, так как рассматриваема окрестность точки 0 сравнительно мала. Поделив все уравнени системы (5) на σ^2 , получим:

$$\begin{split} \sum_{j=0}^{n} \left(\mu_{0j} - \eta_{0}^{(0)} \, \eta_{j}^{(0)} k_{0j}\right) \, p_{j} &= 1 - \eta_{0}^{(0)^{2}}; \\ \left(\mu_{i0} - \eta_{i}^{(0)} \, \eta_{0}^{(0)} k_{i0}\right) \, p_{0} + \sum_{j=1}^{n} \mu_{ij} \, p_{j} + \eta_{i}^{(1)^{2}} \, p_{i} &= \mu_{0i} \quad (i = 1, 2, \ldots, k); \\ \left(\mu_{i0} - \eta_{i}^{(0)} \, \eta_{0}^{(0)} k_{i0}\right) \, p_{0} + \sum_{j=1}^{k} \mu_{ij} \, p_{j} + \sum_{j=k+1}^{n} \left(\mu_{ij} + \eta_{i}^{(2)} \, \eta_{j}^{(2)} \, \mathsf{v}_{ij}\right) \, p_{j} &= \mu_{0i} \\ (i = k+1, k+2, \ldots, n), \end{split}$$

где μ_{ij} — коэффициент корреляции между истинными значениями элемента f в i-том и j-том пунктах наблюдений, k_{0j} — коэффициент корреляции между ошибками прогноза в 0-й и j-той точках, μ_{0i} — коэффициент корреляции между истинным значением элемента f в i-том пункте наблюдения и искомым значением этого элемента,

 v_{ij} — коэффициент корреляции между ошибками спутниковых наблюдений в i-том и j-том пунктах,

 $\eta_{i}^{(0)2}$ — мера ошибки прогноза в i-том пункте,

 $\eta_i^{(1)2}$ — мера ошибки аэрологических наблюдений,

 $\eta_{i}^{(2)^2}$ — мера ошибки спутниковых наблюдений.

Средний квадрат, а потому и меру ошибки наблюдений будем считать одинаковыми (для каждого вида информации). Поэтому

$$\eta_0^{(0)} = \eta_1^{(0)} = \eta_2^{(0)} = \dots = \eta_n^{(0)} = \eta_0,$$
(7)

$$\eta_1^{(1)} = \eta_2^{(1)} = \dots = \eta_p^{(1)} = \eta_1,$$
(8)

$$\eta_{k+1}^{(2)} = \eta_{k+2}^{(2)} = \dots = \eta_n^{(2)} = \eta_2.$$
(9)

Таким образом, мера ошибки прогноза равна η_0^2 , мера ошибки аэрологических данных равна η_1^2 , а мера ошибки спутниковых данных — η_2^2 .

Итак, систему (6) можно переписать в виде:

$$\sum_{j=0}^{n} (\mu_{0j} + \eta_{0}^{2} k_{0j}) p_{j} = 1 - \eta_{0}^{2};$$

$$(\mu_{i0} - \eta_{0}^{2} k_{i0}) p_{0} + \sum_{j=1}^{n} \mu_{ij} p_{j} + \eta_{1}^{2} p_{i} = \mu_{0i} \quad (i = 1, 2, ..., k);$$

$$(\mu_{i0} - \eta_{0}^{2} k_{i0}) p_{0} + \sum_{j=1}^{k} \mu_{ij} p_{j} + \sum_{j=k+1}^{n} (\mu_{ij} + \eta_{2}^{2} \nu_{ij}) p_{j} = \mu_{0i}$$

$$(i = k + 1, k + 2, ..., n).$$
(10)

Например, если имеются две аэрологические точки, две спутниковые и одна прогностическая, т. е. при k=2, n=4 мы получим систему уравнений с матрицей коэффициентов:

$$\begin{pmatrix} 1 - \eta_0^2 & \mu_{01} - \eta_0^2 k_{01} & \mu_{02} - \eta_0^2 k_{02} & \mu_{03} - \eta_0^2 k_{03} & \mu_{04} - \eta_0^2 k_{04} \\ \mu_{10} - \eta_0^2 k_{10} & 1 + \eta_1^2 & \mu_{12} & \mu_{13} & \mu_{14} \\ \mu_{20} - \eta_0^2 k_{20} & \mu_{21} & 1 + \eta_1^2 & \mu_{23} & \mu_{24} \\ \mu_{30} - \eta_0^2 k_{30} & \mu_{31} & \mu_{32} & 1 + \eta_2^2 & \mu_{34} + \eta_2^2 \nu_{34} \\ \mu_{40} - \eta_0^2 k_{40} & \mu_{41} & \mu_{42} & \mu_{43} + \eta_2^2 \nu_{43} & 1 + \eta_2^2 \end{pmatrix}$$
(11)

Вектор правых частей системы запишется в виде

$$(1-\eta_0^2, \ \mu_{10}, \ \mu_{20}, \ \mu_{30}, \ \mu_{40}).$$
 (12)

После решения системы (10) среднюю квадратическую ошибку интерполяции можно оценить по формуле

$$\varepsilon^{*2} = 1 - \sum_{i=1}^{n} \mu_{0i} p_i - (1 - \eta_0^2) p_0, \tag{13}$$

где ϵ^{*2} — мера ошибки интерполяции при наличии прогноза,

 p_i (i=0,1,...,n) — решение системы (10).

В случае отсутствия какого-либо вида информации матрица системы метода оптимальной интерполяции может быть получена из (10) вычеркиванием соответствующих строк и столбцов. Например, если нет прогностической информации, то в матрице (10) должны отсутствовать нулевая строка и нулевой столбец. Мера ошибки интерполяции при этом рассчитывается по формуле

$$\varepsilon^2 = 1 - \sum_{i=1}^n \mu_{0i} \widetilde{p}_i, \tag{14}$$

где \tilde{p}_i — соответствующие интерполяционные веса.

B дальнейшем всюду под ϵ^2 будем понимать меру ошибки интерполяции при отсутствии прогноза, а под ϵ^{*2} — при наличии

прогноза.

Корреляционная функция истинных значений и корреляционные функции ошибок предполагались однородными и изотропными по горизонтали, т. е. предполагалось, что они являются функциями заданного вида от расстояния r между пунктами наблюдения.

Корреляционная функция μ анализируемого элемента задавалась формулой

$$\mu(r) = e^{-\frac{r}{1,05}} \left(1 + \frac{r}{1,05} \right) \tag{15}$$

(r-в тысячах километров [4]).

Корреляционная функция ошибок спутниковых наблюдений считалась равной

$$v(r) = e^{-ar}$$
.

Параметр a был выбран таким образом, что v (0,2) =0,7. Корреляционная функция ошибок прогноза варьировалась в различных численных экспериментах. Все численные эксперименты проводились для фиксированного взаимного расположения станций, которое изображено на рис. 1. Точка 0, в которую производилась

интерполяция, окружена четырьмя аэрологическими станциями, находящимися от нее на расстоянии h_1 . На прямой AB, которая расположена на расстоянии h_3 от точки 0 и моделирует траекторию спутника, находятся пять спутниковых точек на равных расстояниях h_2 одна от другой. При таком расположении станций была проведена серия численных экспериментов. Их целью было выяснить зависимость средней квадратической ошибки анализа

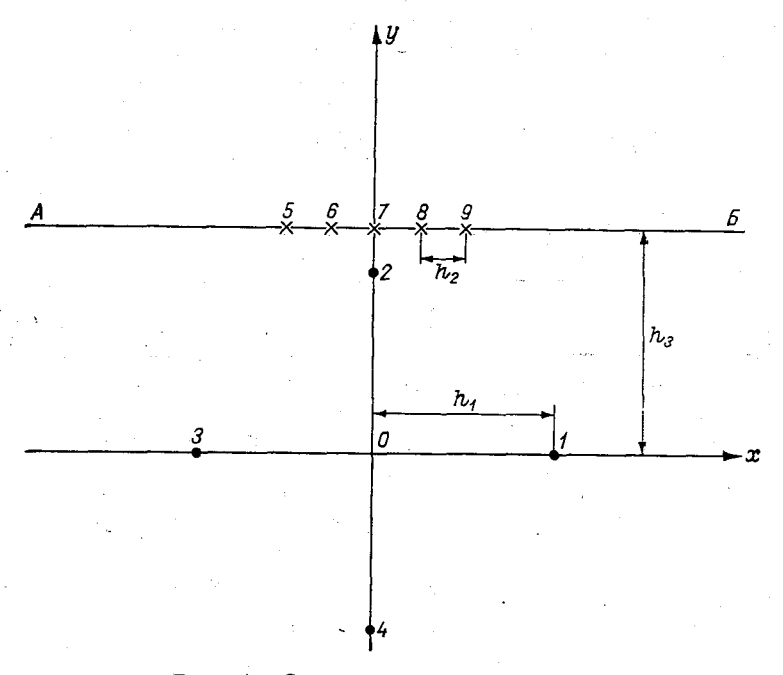


Рис. 1. Схема расположения станции. 1-4- аэрологические станции; 5-9- спутниковые точки; 0- точка, куда производится интерполяция.

от различных параметров: от расстояния между станциями, от ошибки наблюдений, от корреляционных функций ошибок наблюдений, от количества и вида используемой информации, от правильности учета статистических характеристик различных видов информации при объективном анализе.

Перейдем к описанию результатов.

Первая серия численных экспериментов относится к выбору корреляционной функции ошибок прогноза. Эти функции в настоящее время изучены весьма слабо. Корреляционную функцию К ошибок прогноза следовало подобрать таким образом, чтобы матрица системы (10) для определения интерполяционных весов была бы положительно определена.

В работе [5] приведен пример корреляционной функции ошибок прогноза. Обозначим эту функцию через $K_1(r)$. При попытке использовать $K_1(r)$ в качестве K в системе (10) выяснилось, что при этом положительная определенность матрицы системы (10) нарушается.

 $\check{\text{И}}$ з рассмотрения матрицы системы (10), получающейся для четырех аэрологических точек и одной прогностической при $K=K_1(r)$, следует, что достаточным условием положительной определенности матрицы системы для определения интерполяционных весов является выполнение неравенства

$$(1 - \eta_0^2) > \mu_{0i} - \eta_0^2 k_{0i} \quad (i = 1, 2, 3, 4). \tag{16}$$

В проведенном численном эксперименте функция K подбиралась таким образом, чтобы неравенство (16) было выполнено,

Таблица 1 Влияние выбора корреляционной функции ошибок прогноза на точность интерполяции

N	n 1.	n ₂	n_3	К	$\begin{bmatrix} 4 \\ \Sigma \\ 1 \end{bmatrix}$	$\sum_{5}^{9} p_{i}$	p_{0}	٤	. €*	Положительная определен- ность
1	4	0	1	$K_1(r)$	-0,969		2,046	0,306	0,604	нет
2	. 4,	0	1 ;	$K_1\left(\frac{r}{2}\right)$	0,038		1,135	0,306	0,3 0 5	есть
3	4	0	1	μ (r)	0,905	—	0,254	0,306	0,277	есть
4	4	5	ı	$K_1(r)$	0, 696	0,965	0,732	0,222	0,398	нет
5	4	5	1	$K_1\left(\frac{r}{2}\right)$	0,412	0,644	0,08	0,222	0,222	есть
6	4	5	1	$\mu(r)$	0,363	0,578	0,147	0,222	0,210	есть

и поэтому была обеспечена положительная определенность матрицы системы (10).

Результаты произведенных расчетов приведены в табл. 1, а также в табл. 2—5. В этих таблицах использованы следующие обозначения:

N — номер счета (номер строки),

 n_1 — количество аэрологических точек,

 n_2 — количество спутниковых точек,

 n_3 — количество прогностических точек,

К — корреляционная функция ошибок прогноза,

 $K_1\!\!\left(rac{r}{2}
ight)$ — корреляционная функция, получающаяся при растяжении $K_1\left(r
ight)$ в два раза вдоль оси r.

 $\sum_{i=1}^{\tau} p_{i}$ — сумма весов аэрологической информации,

 $\sum\limits_{5}p_{i}-$ сумма весов спутниковой информации,

 p_0 — вес прогностической информации.

ε — относительная средняя квадратическая ошибка анализа при отсутствии прогностических данных.

 ε^* — относительная средняя квадратическая ошибка анализа

при наличии прогностической информации.

В табл. 1 приведены результаты расчета для $\eta_1^2 = 0.02$, $\eta_2^2 = 0.05$; $\eta_0^2 = 0.3$; $h_1 = 0.8$; $h_2 = 0.2$; $h_3 = 0.3$; v(0.2) = 0.7; отмечено также заличие положительной определенности матрицы системы (10).

При расчетах в качестве корреляционной функции ошибок прогноза брались три функции: $K_1(r), K_1\left(\frac{r}{2}\right)$ и $\mu(r)$ (рис. 2).

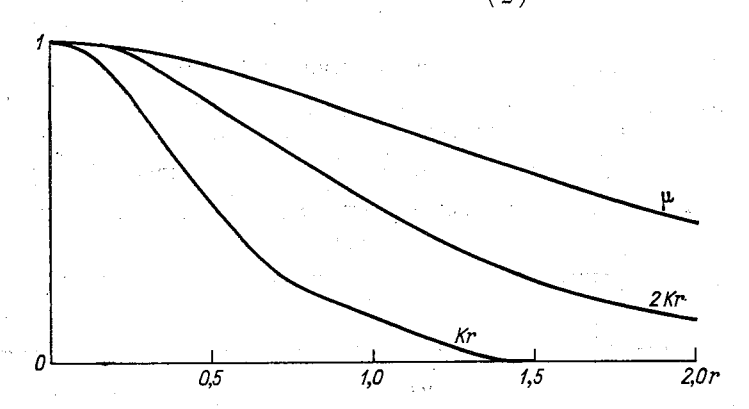


Рис. 2. Различные корреляционные функции ошибок прогноза $Kr = K_1 \ (r), \ Kr = K_1 \left(\frac{r}{2}\right), \ \mu = \mu \ (r); \ r \quad \mathfrak{g} \quad \text{тысячах километров.}$

В первых трех строках табл. 1 приведены данные для случая, когда отсутствует спутниковая информация, в следующих трех — для случая, когда присутствуют все три вида информации. В 1-й и 4-й строках таблицы представлены результаты, полученные при $K=K_1$ (r); при этом положительная определенность нарушается и $\varepsilon^* > \varepsilon$. Во 2-й и 5-й строках таблицы приведены результаты расчета ε и ε^* при $K(r)=K_1$ ε . Неравенство (16) выполнено, положительная определенность не нарушается и введение прогностической информации ведет к уменьшению средней квадратической ошибки анализа.

При рассмотрении неравенства (16) видно, что оно заведомо выполнено при $K = \mu$. Результаты численных расчетов это подтвердили (строки 3-я и 6-я табл. 1). При этом положительная определенность матрицы системы (10) сохраняется, и добавление прогностической информации ведет к уменьшению средней квадратической ошибки анализа. Поэтому во всех наших последующих расчетах в качестве корреляционной функции ошибок прогноза была взята корреляционная функция истинных значений μ .

Во второй группе численных экспериментов варьировались параметры η_0^2 ; η_2^2 ; h_1 ; h_3 ; n_1 ; n_2 ; n_3 и рассматривалось влияние вариации этих параметров на точность интерполяции.

Все эксперименты проводились для $\eta_1^2 = 0.02$ и ν (0,2) = 0.7 и при $h_2 = 0.2$. Результаты соответствующих расчетов приведень в табл. 2, 3, 4.

Из табл. 2 видно, что при наличии только спутниковых данных введение прогностической информации в объективный анализ дает значительно больший эффект, чем когда имеется и спут

Таблица 🧐

Суммы весов аэрологической $\sum\limits_{1}^{4}p_{i}$, спутниковой $\sum\limits_{5}^{9}p_{i}$ и прогностической информации p_{0} , средние квадратические ошибки интерполяции ε и ε^{*} а также относительное уменьшение средней квадратической ошибки интерполяции $\frac{\varepsilon-\varepsilon^{*}}{\varepsilon}$ вследствие включения прогностической информации при η_{0}^{2} =0,3; h_{1} =0,8, h_{3} =0,3 в зависимости от меры ошибки спутниковых данных η_{2}^{2}

N	n ₁	n_2	n 3	η_2^2	$\begin{bmatrix} 4 \\ \Sigma p_i \\ 1 \end{bmatrix}$	9 2 p _i 5	p_0	€*	ε	<u>€—€*</u> %
1	4	5	1	0,02	0,208	0,745	0,113	0,184	0,192	4,1
2	4	5	1	0,05	0,363	0,578	0,147	0,210	0,222	5,4
3	4	5	1	0,1	0,512	0,418	0,178	0,231	0,247	6,4
4	0	5	1	0,02	<u> </u>	0,823	0,220	0,257	0,279	7,9
5	0 .	5	1	0,05		0,784	0,261	0,280	0,310	9,6
6	0	5	1	0,1	·	0 ,725	0,319	0,309	0,351	12,2
		,	l	ĺ	! j	İ				

никовая, и аэрологическая информация. Из сравнения между собой случаев 1, 2, 3 и 4, 5, 6 видно, что чем хуже спутниковая информация (т. е. чем больше η_2^2), тем больше относительное уменьшение средней квадратической ошибки анализа вследствие введения прогностической информации. Это уменьшение более сильное при отсутствии аэрологических данных. Например, при $\eta_2^2 = 0.02 \frac{\varepsilon - \varepsilon^{2*}}{\varepsilon} = 7.9\%$, а при $\eta_2^2 = 0.1 \frac{\varepsilon - \varepsilon^{2*}}{\varepsilon} = 12.2\%$. Заметим также что с увеличением η_2^2 суммы весов $\sum_{5}^{9} p_i$ спутниковой информации уменьшаются, а с уменьшением — увеличиваются, а сами величины ε и ε^* естественным образом меняются с изменением η_2^2 , а именно, с увеличением η_2^2 они увеличиваются, а с уменьшением η_2^2 – уменьшаются.

В табл. З приведено относительное уменьшение ошибки интерполяции вследствие введения прогностической информации при различных значениях меры ошибки прогностической информации η_0^2 . В случаях 1, 2, 3 присутствуют все три вида информации, в случаях 4, 5, 6 — аэрологическая и прогностическая, в случаях 7, 8, 9 — спутниковая и прогностическая. Из сравнения между собой величин p_0 в различных строках табл. З видно, что с увеличением η_0^2 вес прогностической информации p_0 уменьшается, т. е. уменьшается влияние прогностической информации на результат

Таблица 3 Суммы весов аэрологической, спутниковой и прогностической информации, средние квадратические ошибки интерполяции ϵ и ϵ^* , а также относительное уменьшение средней квадратической ошибки интерполяции $\frac{\epsilon - \epsilon^*}{\epsilon}$ вследствие включения прогностической информации при $\eta_2^2 = 0.05$; $h_1 = 0.8$; $h_3 = 0.3$ в зависимости от меры ошибки прогностической

информации η_0^2

N	n 1	n ₂	n ₃	η_0^2	$\begin{bmatrix} 4 \\ \Sigma \\ 1 \end{bmatrix} p_i$	9 2 p _i 5	p_0	ε*	s .	<u>ε</u> —ε* %
1	4	5	1	0,1	0,281	0,446	0,341	0,185	0,222	16,6
2	4	5	1	0,3	0,363	0,578	0,147	0,210	0,222	5,4
3	4	5	1	0,5	0,386	0,614	0,094	0,216	0,222	2,7
4	4	0	1 .	0,1	0,599	<u> </u>	0,508	0,225	0,306	26,4
5	4	0	1	0,3	0,9 0 5	_	0,256	0,277	0,306	9,4
6	4	0	1	0,5	1,008	_ ` _	0,171	0,292	0,306	4,5
7	0	5	1	0,1	_	0,515	0,515	0,227	0,310	26,7
8	0	5	1	0,3	_	0,784	0,261	0,280	0,310	9,6
9	0	5	1	0,5		0,875	0,175	0,296	0,310	4,5
	1	Ι,	I		Ι.	i	[l .	l ·	l

интерполяции, а при уменьшении η_0^2 p_0 увеличивается, т. е. влияние прогностической информации увеличивается, а аэрологической и спутниковой уменьшается. Средняя квадратическая ошибка анализа ϵ^* при увеличении η_0^2 увеличивается, а при уменьшении η_0^2 — уменьшается.

Рассматривая величины $\frac{\varepsilon-\varepsilon^*}{\varepsilon}$ для различных видов информации (например, для случаев 1, 4, 7), мы видим, что наибольшее уменьшение ошибки анализа получается, когда имеется только спутниковая информация, а наименьшее — при наличии и спутниковой и аэрологической информации.

Таким образом, если имеется и спутниковая, и аэрологическая информация, то добавление лишь очень точной прогностической информации может привести к существенному улучшению анализа. В случаях, когда имеются только аэрологические данные, и в случаях, когда имеются только спутниковые данные, введение прогноза ведет к существенному улучшению анализа.

Таблица 4

Суммы весов аэрологической, спутниковой и прогностической информации, средние квадратические ошибки интерполяции ϵ и ϵ^* , относительное уменьшение средней квадратической ошибки интерполяции $\frac{\epsilon-\epsilon^*}{\epsilon}$ вследствие включения прогностической информации при $\eta_2^2=0.05$ $\eta_0^2=0.3$ в зависимости от h_1 и h_3

N	n_1	n_2	n_3	h ₁	h ₃	$\begin{bmatrix} 4 \\ \Sigma \\ 1 \end{bmatrix} p_i$	9 5 p _i	p ₀	8%	ε	<u>ε - ε*</u> %
1	4	5	1	0,2	0,3	0,955	0,035	0,024	0,085	0,0 86	1,1
2	4	5	1	0,4	0,3	0,881	0,105	0,060	0,134	0,137	2,2
.3	4	5	1	0,8	0,3	0,363	0 ,578	0,147	0,210	0,222	5,4
4	4	5	1	0,8	0,6	0,572	0,342	0,226	0,260	0,284	8,4
.5	4	5	1 1	0,8	0,9	0,993	0,09 3	0,253	0,276	0,304	9,2
.6	4	0	1	0,2	0,3	0,991	_	0,025	0,086	0,087	1,1
.7	4	,0	1	0,4	0,3	0,988	-	0,068	0,142	0,146	2,9
.8	4	0	1	0,8	0,3	0,905	_	0,256	0,277	0,306	9,4
9	0	5	1	0,8	0,3		0,784	0,261	0,280	0,310	9,6
10	0	5	1	0,8	0,6	-	0,580	0,500	0,387	0,480	19,3
11	0	5	1	0,8	0,9		0,420	0,679	0,451	0,623	27,5

В табл. 4 приведена зависимость средней квадратической ошибки интерполяции от расстояния h_1 между аэрологическими станциями и расстояния h_3 до спутниковой орбиты.

В строках таблицы с 1-й по 5-ю приведены результаты для случаев, когда присутствуют все три вида информации, в стро ках с 6-й по 8-ю — результаты для аэрологической и прогности ческой информации, с 9-й по 11-ю — для спутниковой и прогно стической информации. Из сравнения строк таблицы между со бой видно, что значения в и в* растут с увеличением расстояния между станциями.

Рассмотрим 1, 2, 3-ю строки табл. 4. Из сравнения величин $\frac{\varepsilon-\varepsilon^*}{\varepsilon}$ видно, что в случае, когда аэрологические станции близ ки $(h_1=0,2,\ h_1=0,4)$, введение прогностической информации бес смысленно. При этом вес прогностической информации пренебре

кимо мал, а основная доля в общей сумме весов приходится на p_i

Сравнив результаты в 1-й, 2-й строках с результатами в 6-й, -й строках, можно сделать вывод, что когда аэрологические станции близки к точке, куда производится интерполяция, то не тольо добавление прогностической информации, но и добавление путниковой информации ничего не дает в смысле уменьшения редней квадратической ошибки интерполяции. Строки 4 и 5-я табл. 4 относятся к случаю, когда и спутниковые точки и аэролоческие станции далеко. При этом вес прогностической информации p_0 значителен, с увеличением h_3 он увеличивается, и влизие прогностической информации на уменьшение ϵ также значительное (порядка 9%).

Данные в 8-й строке, соответствующие случаю, когда стании далеки от точки, куда производится интерполяция, а спутиковой информации нет, показывают, что при введении прогнотической информации средняя квадратическая ошибка анализа именьшается довольно существенно.

Сравнивая 5-ю и 8-ю строки табл. 4, можно отметить, что слуай, когда спутниковые точки дальше, чем аэрологические станми, практически эквивалентен случаю их отсутствия.

Если имеется только спутниковая информация (строки 9—1-я), то добавление прогностической информации ведет к значительному улучшению анализа, причем это улучшение тем больше, чем дальше спутниковые точки.

До сих пор считалось, что ошибки прогностической информации обладают отрицательной корреляцией с истинными значенияии метеоэлемента, и это обстоятельство правильно учитывается

гри расчете интерполяционных весов.

Рассмотрим два случая. 1. В интересующей нас точке 0 добавляется не прогноз, а неточное наблюдение с мерой ошибки p_0^2 , ошибки которого представляют собой белый шум. Такого ода подход изложен в [6]. Обозначим среднюю квадратичекую ошибку такой интерполяции ϵ_1 . 2. В точке 0 добавлен прогноз, но мы его считаем наблюдением, т. е. при расчете инерполяционных весов корреляция ошибок прогноза с истинными начениями не учитывается. Такая интерполяция не является птимальной, и для расчета средней квадратической ошибки инерполяции следует воспользоваться полной формулой вида

$$\varepsilon_2^2 = 1 - 2\sum_{i=0}^n n_i \tilde{p}_i + \sum_{i=0}^n \sum_{j=0}^n m_{ij} \tilde{p}_i \tilde{p}_j, \tag{17}$$

де

$$\{n_i\}_{i=0, 1, \dots, n}$$
 (18)

– вектор правых частей системы (10),

$$\{m_{ij}\}_{j=0,1,\ldots,n}^{i=0,1,\ldots,n}$$
 (19)

— матрица системы (10), а

$$\begin{cases} \stackrel{\sim}{p_i} \\ p_i \end{cases}_{i=0, 1, \dots, n} \tag{20}$$

— интерполяционные веса.

При условии, что корреляционная функция ощибок прогноз совпадает с корреляционной функцией инстинных значений, про ведя выкладки, аналогичные [7], где дано выражение для ε^2 пр переходе от n-го к n+1-му наблюдению, легко получить следующие формулы для ε_1^2 , ε_2^2 , ε_2^* :

$$\varepsilon_1^2 = \frac{\varepsilon^2 \, \eta_0^2}{\varepsilon^2 + \eta_0^2};\tag{21}$$

$$\varepsilon_2^2 = \frac{\varepsilon^2 \eta_0^2}{\varepsilon^2 + \eta_0^2} \left(1 + \frac{2 \varepsilon^2 \eta_0^2}{\varepsilon^2 + \eta_0^2} \right) = \varepsilon_1^2 (1 + 2 \varepsilon_1^2); \tag{22}$$

$$\varepsilon_*^2 = \frac{\varepsilon^2 \, \eta_0^2}{\varepsilon^2 + \eta_0^2 - \varepsilon^2 \, \eta_0^2}. \tag{23}$$

Формулы (21)—(23) в точности совпадают с соответствующими формулами для одноточечного согласования, приведенным в [2], и таким образом, рассуждения, проведенные для одното

Таблица Влияние способа учета прогностической информации на точность интерполяции

N	n_1	n_2	n ₃	. ε	ε*	٤1.	€2	ε <u>-</u> ε* %	$\frac{\epsilon - \epsilon_2}{\epsilon}$ %	$\frac{\varepsilon-\varepsilon_1}{\varepsilon}$ %	$\left \frac{\varepsilon^*-\varepsilon_1}{\varepsilon}\right $	<u>ε₂`−ε</u> *
1	4	5	1	0,222	0,210	0,206	0,214	5,4	3,6	7,2	1,8	1,8
- 2	4	3	1	0,225	0,213	0,208	0,217	5,3	3,5	7,5	2,2	-1,8
3	4	1	1	0,227	0,215	0,210	0,219	5,2	3,5	7,5	2,3	1,7
4	4	0	1	0,306	0,277	0,267	0,285	9,4	6,8	12,4	3,0	2,6
- 5	0	-5	- 1	0,310	0,280	0,270	0,289	9,6	6,7	12,9	3 ,3	2,9
6	0	3	1	0,312	0,281	0,271	0,290	9,9	7,0	13,1	3,2	2,9
7	0	1	1	0,333	0,297	0,285	0,307	10,8	7,8	14,4	3,6	3,0
	j]	1		[}		}	1	ì	ļ	l

чечпого согласования, сохраняются и для более общего случая В табл. 5 приведены значения средней квадратической ошибк интерполяции при различных способах учета прогностическо информации, а также соответствующие им относительные умень

пения ошибки интерполяции. Именно, величина $\frac{\varepsilon-\varepsilon^*}{\varepsilon}$ представяет собой относительное уменьшение ошибки анализа при пранльном учете прогноза; $\frac{\varepsilon-\varepsilon_1}{\varepsilon}$ есть уменьшение средней квадрамческой ошибки анализа, если добавлено наблюдение; $\frac{\varepsilon-\varepsilon_2}{\varepsilon}$ рответствующая величина для случая, когда мы считаем прогноз аблюдением.

Величины $\frac{\varepsilon^* - \varepsilon_1}{\varepsilon}$ и $\frac{\varepsilon_2 - \varepsilon^*}{\varepsilon}$ характеризуют искажения уменьения средней квадратической ошибки анализа вследствие неравильного введения прогноза. Все результаты, приведенные табл. 5, рассчитывались при $\eta_1^2 = 0.02$; $\eta_2^2 = 0.05$; $\eta_0^2 = 0.3$; $h_1 = 0.8$; $h_2 = 0.2$; $h_3 = 0.3$.

Из сравнения между собой величин $\frac{\varepsilon-\varepsilon^*}{\varepsilon}$ видно следующее.

Во-первых, добавление прогностической информации ведет ри надлежащем выборе корреляционной функции ошибок про- оза), к увеличению точности интерполяции. При наличии спутниковой и аэрологической информации уменьшение в менее ачительно, чем когда имеются только спутниковые точки или лько аэрологические станции, расположенные далеко друг от руга.

Во-вторых, если имеется только спутниковая информация, то шь увеличение количества спутниковых точек от одной до трех ачительно влияет на точность интерполяции, а дальнейшее увечение количества спутниковых точек дает незначительный эфект. Если же имеется существенно влияющая аэрологическая формация, то увеличение количества опутниковых точек от одй до пяти практически не влияет на повышение точности интерляции, а поэтому при объективном анализе с использованием ально существующей сети станций северного полушария можно пользовать только одну спутниковую точку в добавление аэрологическим.

В третьих, из сравнения величин ε^* , ε_1 , ε_2 видно, что всюду $< \varepsilon^*$ и $\varepsilon_2 > \varepsilon^*$. Это означает, что если в точке 0 добавлено нечное наблюдение с мерой ошибки η_0^2 , то средняя квадратическая ибка интерполяции получается меньше, чем при добавлении огноза, а если добавлен прогноз, который мы считаем наблюнием, то средняя квадратическая ошибка интерполяции завычется.

Следует отметить, что отклонения ϵ_1 и ϵ_2 от ϵ^* примерно одиковы, причем в слчае отсуствия одного из видов информации отклонения несколько больше.

Из проделанной работы можно сделать следующие выводы. 1. При введении в объективный анализ прогностической инфорции необходимо надлежащим образом выбирать корреляционо функцию ошибок прогноза. При неправильном выборе этой нкции введение прогноза может привести не к улучшению,

а к ухудшению анализа. В частности, улучшение анализа заве домо обеспечено, если корреляционная функция ощибок прогноз совпадает с корреляционной функцией истинных значений.

2. Добавление к аэрологическим данным спутниковых и проностических данных имеет смысл только в районах с релко

сетью.

Спутниковую информацию следует добавлять только в то случае, если она лежит ближе, чем аэрологическая, к точке, куй производится интерполяция. Если же имеется только спутникова информация, то прогностическую информацию к ней следуе

добавлять и при близких спутниковых точках.

3. Неправильный учет статистических характеристик испол зуемой информации ведет к значительному увеличению теоретич ской средней квадратической ошибки анализа. Поэтому при об ективном анализе с использованием спутниковой и прогностич ской информации очень важно знать и правильно учитывать с ответствующие статистические характеристики используемо информации.

СПИСОК ЛИТЕРАТУРЫ

1. Тараканова В. П. К вопросу о точности косвенного температурного зф дирования атмосферы с искусственных спутников Земли.—«Метеоре и гидрол.», 1974, № 4, с. 76—78.

2. Гандин Л. С., Каган Р. Л. О построении системы объективного анали

разнородных данных на основе метода оптимальной интерполяции и опт мального согласования. — «Метеорол. и гидрол.», 1974, № 5, с. 3-

3. Гандин Л. С., Лугина К. М. Об учете данных косвенного зондир вания атмосферы при четырехмерном анализе метеорологических полей. См. настоящий сборник.

4. Лугина К. М., Каган Р. Л. К вопросу о пространственно-временном ат лизе барического поля.—«Труды ГГО», 1974, вып. 336, с. 75—94.

5. Кгидег Н. В. General and special approaches to the problem of objection analysis of meteorological variables.— "Quart. J. R. Met. Soc.", 1968,

6. Машкович С. А. О повышении качества объективного анализа барическо поля над районами с редкой сетью аэрологических станций.— «Тру. ММЦ», 1956, вып. 10, с. 31—39.

7. Гандин Л. С. Объективный анализ метеорологических полей. Л., Гидро

теоиздат, 1963, 287 с.

НЕКОТОРЫЕ ЭКСПЕРИМЕНТЫ ПО ЧЕТЫРЕХМЕРНОМУ АНАЛИЗУ

Как известно, в настоящее время все большее развитие получают наблюдения с метеорологических спутников. Использование этих наблюдений очень важно в районах с редкой сетью аэрологических станций. Следует отметить, что если до недавнего времени спутниковая информация носила лишь полукачественный характер, то сейчас, благодаря развитию методов косвенного зондирования атмосферы, имеется возможность восстанавливать вертикальные профили температуры и геопотенциала по данным спектральных измерений уходящего излучения.

Информация, получаемая со спутников, имеет свои особен-

ности.

Эта информация носит непрерывный, или асиноптический, характер, т. е. она не привязана к определенной точке пространства и к фиксированному моменту времени. Поэтому при ее анализенеобходимо производить четырехмерное (пространственно-временное) усвоение данных наблюдений. В отличие от методов трехмерного анализа экстраполяцию метеорологических элементов повремени разумнее проводить динамическим путем, т. е. основываясь на прогностической модели. Другой особенностью спутниковой информации, которую нужно учитывать при разработке схем четырехмерного усвоения, является коррелированность ошибок спутниковых измерений.

Коррелированность ошибок спутниковых данных является следствием того, что в отличие от радиозондовых измерений, где каждое новое измерение производится другим экземпляром прибора, спутниковые измерения производятся одним и тем же при-

бором непрерывно по времени.

Эти свойства ошибок спутниковых измерений подтверждаются и путем непосредственного анализа данных косвенного зондирования [6]. Все изложенные ниже численные эксперименты основаны на так называемой дискретной схеме усвоения данных наблю-

дений. При дискретной схеме усвоение данных наблюдения происходит в сравнительно редкие, дискретно расположенные моменты времени.

Наблюдения, произведенные в промежуточный момент, экстраполируются вперед по времени на основе прогностической модели к ближайшему из моментов, для которых происходит усвоение.

В наших расчетах и данные наблюдений и «истина» генерируются при помощи одной и той же прогностической модели. Мы как бы считаем, что используемая модель атмосферы абсолютно точна, поэтому при ее интегрировании мы получаем «истинные» поля. Данные наблюдений получаются искажением этих «истинных» полей. Такой подход хорош тем, что мы можем получить и «истину» и «наблюдения» с любым разрешением по пространству и времени. В то же время нельзя гарантировать, что результаты будут аналогичны при переходе к действительным данным наблюдений. Это является большим недостатком подобных экспериментов.

Целью наших экспериментов было, во-первых, выяснить, как можно повысить точность объективного анализа путем введения данных за предшествующие сроки. Во-вторых, мы хотели узнать, каково влияние коррелированности ошибок спутниковых измерений на результаты четырехмерного усвоения. В-третьих, интересно было посмотреть, как влияет учет коррелированности ошибок в схеме четырехмерного усвоения на его результаты.

Рассмотрим модель, которая использовалась для экстраполяции метеоэлементов по времени. Баротропное уравнение вихря для двумерного потока с учетом сжимаемости имеет вид

$$\frac{\partial \nabla^2 \Psi}{\partial t} - \frac{1}{L_0^2} \frac{\partial \Psi}{\partial t} = I(\nabla^2 \Psi + l, \Psi), \tag{1}$$

где Ψ — функция тока, ∇ — двумерный оператор Лапласа, L_0 — характерный масштаб длин, I — оператор Якоби, l — параметр Кориолиса.

Для расчета правой части (1) использовались конечно-разностные формулы Аракавы. Интегрирование по времени велось по

методу Адамса — Бешфорта.

Область интегрирования можно описать следующим образом. На карте полярной стереографической проекции с главным масштабом по широте 60° рассматривается квадратная сетка, образующая восьмиугольник. Шаг сетки 300 км. Сетка содержит 617 узлов.

Граничные условия таковы:

 ψ — абсолютная постоянная на границе, $\nabla^2 \psi$ — сохраняется на границе области.

Модель имеет три интегральных инварианта:

$$\overline{\nabla^2 \Psi} - \frac{1}{L_0^2} \overline{\Psi} = \text{const}, \tag{2}$$

$$\frac{1}{2} \overline{(\nabla \Psi)^2} + \frac{1}{2L_0^2} \overline{\Psi}^2 = \text{const}, \tag{3}$$

$$\overline{(\nabla^2 \Psi + l)^2} + \frac{1}{L_0^2} \overline{(\nabla \Psi)^2} - \frac{2}{L_0^2} \overline{l \Psi} = \text{const}, \tag{4}$$

ле

$$\overline{()} = \frac{1}{s} \iint_{(s)} () dxdy.$$

Подробное описание схемы интегрирования можно найти в [2]. Итак, пусть мы имеем *N* последовательных моментов времени:

$$t_{-(N-1)}, t_{-(N-2)}, \ldots, t_{-3}, t_{-2}, t_{-1}, t_0.$$

3 начальный момент $t_{-(N-1)}$ поле Ψ известно. С этим полем Ψ как начальными данными уравнение (1) интегрируется численно перед от момента $t_{-(N-1)}$ до момента t_0 . Таким образом, теперь звестны решения уравнения (1) в моменты времени

$$t_{-(N-1)}, t_{-(N-2)}, \ldots, t_{-1}, t_0.$$

Эти решения мы будем считать аналогами истинного состояния атмосферы и обозначим:

$$\Psi_{\text{uct}}^{-(N-1)}, \ \Psi_{\text{uct}}^{-(N-2)}, \dots, \ \Psi_{\text{uct}}^{0}$$

атем из двумерного массива в 617 точек сетки случайным обраюм выбираются 80, которые считаются станциями наблюдения. Та станциях $\Psi^{-n}_{\text{ист}}$ (n=0,1,...,N-1) изменяются на случайную малую величину, при этом получается новое множество — анагог данных наблюдения, которое мы обозначим $\Psi^{-n}_{\text{набл}}$.

Было проведено несколько экспериментов с различными способами моделирования ошибок наблюдения.

В первом эксперименте ошибки наблюдения считались незачисимыми и моделировались как малые случайные величины, аспределенные по нормальному закону, с математическим ожиданием, равным нулю.

Средняя квадратическая ошибка наблюдения геопотенциальюй высоты считалась равной 2 дкм. Во втором и третьем экспечиментах для получения полей $\Psi_{\rm hado}^{-n}$ были смоделированы слуайные поля коррелированных ошибок. Корреляционная функция шибок была выбрана равной $k\rho K_1(k\rho)$, где K_1 функция Макональда, ρ расстояние между точками сетки, k коэффицинт, который был выбран равным 0,5. При этом коэффициент орреляции между значениями в двух соседних точках сетки окалься равным 0,78.

Способ построения случайных полей с заданной корреляционной функцией подробно описан в работе [3]. Идея его основан на том, что для всякой абсолютно интегрируемой и ограничен ной корреляционной функции B(r) и для любого однородног случайного поля существует линейное преобразование, посредст вом которого заданное случайное поле преобразуется в поле с за данной корреляционной функцией B(r).

В нашем случае в качестве исходного бралось случайное не коррелированное поле, а линейное преобразование над инмосуществлялось с помощью решения уравнения Гельмгольца, гд

правой частью служило исходное случайное поле.

Случайное поле с корреляционной функцией $k
ho K_1(k
ho)$ моде лировалось нами таким образом, чтобы среднее по всему полк

было равным нулю, а дисперсия была равна четырем.

После того как наблюдаемые поля были получены, по ним выполнялся объективный анализ во все точки сетки методом оптимальной интерполяции [5].

Для первого эксперимента объективный анализ проводился

обычным способом.

Для второго эксперимента в алгоритме объективного анализа учитывалось, что ошибки наблюдения коррелируют между собой и не коррелируют с истинными значениями метеоэлементов в любой точке [4]. При этих предположениях уравнения метода оптимальной интерполяции имеют вид:

$$\sum_{i=1}^{k} (\mu_{ij} + \eta v_{ij}) p_j = \mu_{i0} \quad (i = 1, 2, \dots, k),$$
 (4a)

где μ_{ij} — коэффициент корреляции между истинными значения ми элемента в i-том и j-том пунктах наблюдения; μ_{i0} — коэффициент корреляции между истинным значением элемента в i-том пункте наблюдения и искомым значением этого элемента; k — число данных, используемых при интерполяции; η — мера ошибки наблюдений; v_{ij} — коэффициент корреляции между ошибками наблюдения в i-том и j-том пунктах.

В третьем эксперименте ошибки моделировались так же, как и во втором, но при объективном анализе коррелированност

ошибок не учитывалась.

Обозначим поля, полученные в результате объективного ана лиза $\Psi_{\text{анал}}^{-n}$. После этого с $\Psi_{\text{анал}}^{-n}$ как с начальными данным уравнение (1) интегрируется от момента времени t_n до момент времени t_0 . Полученное решение обозначим $\Psi_{\text{пред}}^{-n}$. Вместо $\Psi_{\text{пре}}^{-0}$ берется $\Psi_{\text{анал}}^{0}$. Синтезированное решение вычисляется по фор муле

$$\Psi_{\text{chh}}(t_0) = \sum_{n=0}^{N-1} \omega_n \, \Psi_{\text{npex}}^{-n}, \tag{5}$$

где
$$\sum_{n=0}^{N-1} \omega_n = 1.$$

Средняя квадратическая ошибка F равна

$$F = E \left(\overline{\Psi_{\text{uct}} - \Psi_{\text{cut}}} \right)^2, \tag{6}$$

где $\overline{}$) означает осреднение по площади, а E — статистическое осреднение.

Требуется определить веса ω_n (n=0,1,...,N-1) так, чтобы F стала минимальной. Из (5) и (6) следует, что F имеет вид

$$F = \sum_{k=0}^{N-1} \sum_{n=0}^{N-1} \omega_n \, \omega_k \, p_{nk}, \tag{7}$$

гле

$$p_{nk} = E\left(\overline{\Psi_{\text{uct}} - \Psi_{\text{npea}}^{-n}}\right) \left(\Psi_{\text{uct}} - \overline{\Psi_{\text{npea}}^{-k}}\right).$$

Используя метод множителей Лагранжа, находим ω_n , которые минимизируют квадратичную форму F, из уравнений

$$\begin{cases} \frac{\partial F}{\partial \omega_k} + \lambda = 0, \\ \sum_{k=0}^{N-1} \omega_k = 1, \end{cases}$$
 (8)

где λ — множитель Лагранжа.

Система (8) представляет собой систему N+1 линейных уравнений с N+1 неизвестным. Кроме того, мы рассматривали задачу минимизации

$$F_1 = \overline{(\Psi_{\text{HCT}} - \Psi_{\text{CHH}})^2}, \tag{9}$$

которая отличается от предыдущей отсутствием статистического

осреднения.

В наших экспериментах решались обе эти задачи. В качестве начальных данных были взяты два действительных поля геопотенциала за 1 и 10 августа 1971 г., сглаженные на границе. Расчеты с этими начальными данными производились независимо. Всего было произведено три серии экспериментов: в первой из них вводились некоррелированные ошибки наблюдения, во второй ошибки наблюдения были коррелированы и это учитывалось в построении полей $\Psi_{\text{анал}}$, а в третьей вводились коррелированные ошибки наблюдения, а при объективном анализе они считались некоррелированными. В дальнейшем будем называть эксперимент с исходными данными от 1 августа и с некоррелированными ошибками — экспериментом 1, с коррелированными ошибками — экспериментом 1а, а эксперимент, в котором ошибки моделируются коррелированными, но в дальнейших

расчетах это не учитывается — экспериментом 16. Соответствую щие эксперименты с исходными данными от 10 августа 1971 г назовем экспериментами 2, 2а и 26 соответственно.

Таблица 1 Статистические характеристики полей ошибок наблюдений и среднис квадраты истинной ошибки объективного анализа геопотенциальной высоты в экспериментах с исходной ситуацией 1

_*							
п	ā _{1a}	σ _{1a}	k _{1a}	σ_1^2	~2 _{\$1}	$\sim^2_{\epsilon_{1a}}$	~2 ^{\$} 16
12	0,032	4,4	0,74	4,0	10,220	9,93	10,02
11	0,390	4,8	0,70	5,3	9,585	12,59	12,59
10	0,08	3,8	0,78	4,4	8,309	9,04	8,96
9	0,12	3,9	0,73	5,2	8,820	9,91	9,77
8	—0, 3 3	3,8	0,67	4,5	10,813	9,82	9,77
7 , '	0,43	4,4	0,78	3,7	9,833	10,47	10,55
6 4 4	0,004	5,7	0,71	4,7	12,318	11,91	11,88
5	0,09	4,9	0,71	3,9	9,719	11,86	11,65
4	0,001	4,3	0,79	4,0	10,713	13,96	13,92
3	0,14	4,3	0,66	4,1	13,334	13,84	13,97
2	0,08	3,9	0,73	3 ,6	11,014	11,39	11,61
1	0,20	4,2	0,68	3 ,8	11,256	11,28	11,42
0	0,09	3,6	0,73	4,3)	10,002	11,26	11,54
Среднее	0,07	4,3	0,72	4,2	10,458	11,30	11,36
Среднее по 6 реализациям	0,04	4,2	0,71	3,95	11,006	12,26	12, 36

В табл. 1 и 2 представлены величины, которые подсчитывались при получении полей $\Psi_{\rm набл}^{-n}$ и $\Psi_{\rm анал}^{-n}$ в экспериментах 1, 1а, 1б и 2, 2а и 2б. В этих таблицах:

n — номер поля $\Psi_{\text{анал}}^{-n}$;

 a_1^a , a^{2a} — выборочные средние полей коррелированных ошибок (по 80 точкам, которые рассматриваются в качестве пунктов наблюдения) в экспериментах 1а и 2а соответственно;

 $\sigma_{1a}^2, \qquad \sigma_{2a}^2$ — выборочные дисперсии полей ошибок в этих экс-

периментах;

 k_{1a} , k_{2a} — коэффициенты корреляции между значениями ошибок в двух соседних точках сетки в экспериментах 1а и 2а;

 σ_1^2 , σ_2^2 — выборочные дисперсии некоррелированных ошибок в экспериментах 1 и 2;

 $arepsilon^2$ — средний квадрат истинной ошибки анализа, геопотенциальной высоты, равный $\left(rac{l}{g}
ight)^2$ $\overline{(\Psi_{\rm анал}-\Psi_{\rm ист})^2}$. Эта величина под-

считывалась во всех экспериментах 1, 1а, 1б, 2, 2а, 2б и обознаалась через $\tilde{\epsilon}_1^2$, $\tilde{\epsilon}_{1a}^2$, $\tilde{\epsilon}_{16}^2$, $\tilde{\epsilon}_2^2$, $\tilde{\epsilon}_{2a}^2$, $\tilde{\epsilon}_{2b}^2$ соответственно.

Обозначим $E\left(\frac{l}{g}\right)^2 \overline{(\Psi_{\text{анал}} - \Psi_{\text{ист}})^2}$ через ε^2 . Соответствующие ве-

Таблица 2 татистические характеристики полей ошибок наблюдений и средние квадраты истинной ошибки объективного анализа геопотенциальной высоты в экспериментах с исходной ситуацией 2

n	23	$\overline{a}_{2\mathbf{a}}$	σ_{2a}^2	k _{2a}	σ_2^2	~2 _{ε2}	~2 [€] 2a	~2 [€] 26
12		-0,05	4,5	0,71	3,9	8,73	12,50	12,50
11		-0,21	4,5	0,78	4,3	10,92	9,34	9,44
10	-	0,15	3,8	0,74	4,0	9,7	8,96	8,85
9 .		0,20	4,1	0,65	4,2	7,4	7,97	7,87
8 .		0,23	4,6	0,76	3, 9	8,14	9,28	9,23
. 7		0,19	4,0	0,70	3,8	8,14	10,35	10,41
6		0,23	4,1	0,83	3,9	8,1	10,44	10,79
5		0,03	4,8	0,69	4,0	9,82	8,51	8,67
4		0,04	4,6	0,69	3,7	10,0	11,70	11,84
3		-0,42	3,4	0,74	3,6	11,21	10,37	10,36
2		-0,02	4,9	0,68	4,4	7,51	9,45	9,49
1		0,37	4,3	0,64	4,9	7,82	8,66	8,57
: 0		-0,14	3,8	0,77	3,7	6,7	8,42	8,45
реднее		0,05	4,3	0,72	4,0	8,7	9,70	9,73
реднее по лизациям	6 p ea-	-0,02	4,3	0,70	4,0	8,8	9,51	9,56

з сравнения этих величин для всех экспериментов видно, что ыполняются следующие неравенства:

$$1) \ \epsilon_1^2 < \epsilon_{1a}^2 < \epsilon_{16}^2, \quad \epsilon_2^2 < \epsilon_{2a}^2 < \epsilon_{26}^2,$$

2)
$$\varepsilon_2^2 < \varepsilon_1^2$$
, $\varepsilon_{2a}^2 < \varepsilon_{1a}^2$, $\varepsilon_{26}^2 < \varepsilon_{16}^2$.

Первая группа неравенств свидетельствуют о том, что, как следовало ожидать, средний квадрат ошибки объективного анаиза при независимых ошибках наблюдения меньше, чем для нализа с зависимыми ошибками наблюдения, а анализ с зависими ошибками наблюдения, которые считаются независимыи, дает еще большую истинную ошибку.

Вторая группа неравенств показывает, что средний квадрат ошибки анализа во всех экспериментах 2 меньше, чем в экспе

риментах 1.

Во всех экспериментах при интегрировании уравнения (1) для расчета полей $\Psi_{\text{ист}}$ и $\Psi_{\text{пред}}$ рассчитывались интегральные ин варианты модели. Вследствие наличия временной конечно-разностной аппроксимации эти инварианты меняются со временем

Из сравнения хода изменения инвариантов I_1 , I_3 , I_3 в экспериментах 1 и 2 следует, что в эксперименте 1 инварианты меняются значительно быстрее, чем в эксперименте 2. Из сравнения хода изменения инвариантов в экспериментах 1а и 2а и 16 и 26 также вытекает, что в экспериментах 1а и 16 инварианты изменяются быстрее, чем в экспериментах 2а и 26 соответственно.

Расчет матриц $\{p_{nk}\}_{n=0,\ k=0}^N$ производился следующим образом сначала для каждого момента времени $t_0,\ t_{-1},\ ...,\ t_{-(N-2)}$ подсчитывались матрицы $\{\stackrel{\sim}{p}_{nk}\}$, где

$$\widetilde{p}_{nk} = \overline{\left(\Psi_{\text{HCT}} - \Psi_{\text{прел}}^{-n}\right)\left(\Psi_{\text{HCT}} - \Psi_{\text{пред}}^{-k}\right)},\tag{10}$$

и решалась задача (9), а затем проводилось статистическое ос реднение по всем возможным реализациям (внутри одного эксперимента). Интегрирование уравнения (1) проводилось на трое суток вперед с шагом $\Delta t = 6$ ч. Для получения матриц $\{p_{nk}\}$ мь ограничились реализациями $\{p_{nk}\}$ для моментов t_0 , t_{-1} , t_{-2} , t_{-3} ..., t_{-6} . При этом полученные матрицы $\{p_{nk}\}$ имели восьмой по рядок. Это означает, что при построении синтезированного реше ния $\Psi_{\text{син}}$ по формуле (5), при решении задачи (7) мы не привле кали данных «старше», чем за два дня. Это объясняется тем что в рамках наших экспериментов мы были лишены возможно сти построения матриц $\{p_{nk}\}$ более высокого порядка, так ка число реализаций матриц $\{p_{nk}\}$ для N > 7 слишком мало. Матрицу $\{p_{nk}\}$, полученную в эксперименте 1, обозначим $P^{(1)}$, а матрицу $\{p_{nk}\}$, полученную в эксперименте $2 - P^{(2)}$. Кроме того, обо значим через $P^{(1+2)}$ матрицу с компонентами

$$p_{nk}^{(1+2)} = \frac{p_{nk}^{(1)} + p_{nk}^{(2)}}{2}. (11)$$

Таким образом $P^{(1+2)}$ есть средняя матрица $\{p_{nk}\}$ для экспериментов 1 и 2. Аналогично строились и матрицы $P^{(1a)}$. $P^{(2a)}$, $P^{(1a+2)}$ в экспериментах 1а и 2а и матрицы $P^{(16)}$, $P^{(26)}$, $P^{(16+26)}$ в экспериментах 1б и 2б соответственно.

На рис. 1 представлены двумерные распределения компонен матриц $P^{(1)}$, $P^{(2)}$ и $P^{(1a)}$, $P^{(2a)}$. Заметим, что эти матрицы представляют собой матрицы ковариаций ошибок прогноза различной за благовременности и по их двумерному распределению можно су дить о нарушении предсказуемости в этих экспериментах. Из ри сунка видно следующее.

Во-первых, поля $P^{(1)}$ и $P^{(1a)}$, а также $P^{(2)}$ и $P^{(2a)}$ очень похожи между собой. Поэтому мы не можем ожидать больших различий между результатами экспериментов с коррелированными и некоррелированными ошибками, что и будет показано дальше.

Во-вторых, поля $P^{(2)}$ и $P^{(2a)}$ значительно более гладкие, чем

поля $P^{(1)}$ и $P^{(1a)}$ соответственно.

Этот факт хорошо согласуется с поведением интегральных инвариантов в экспериментах 1 и 2, 1а и 2а. Заметим, что хотя дву-

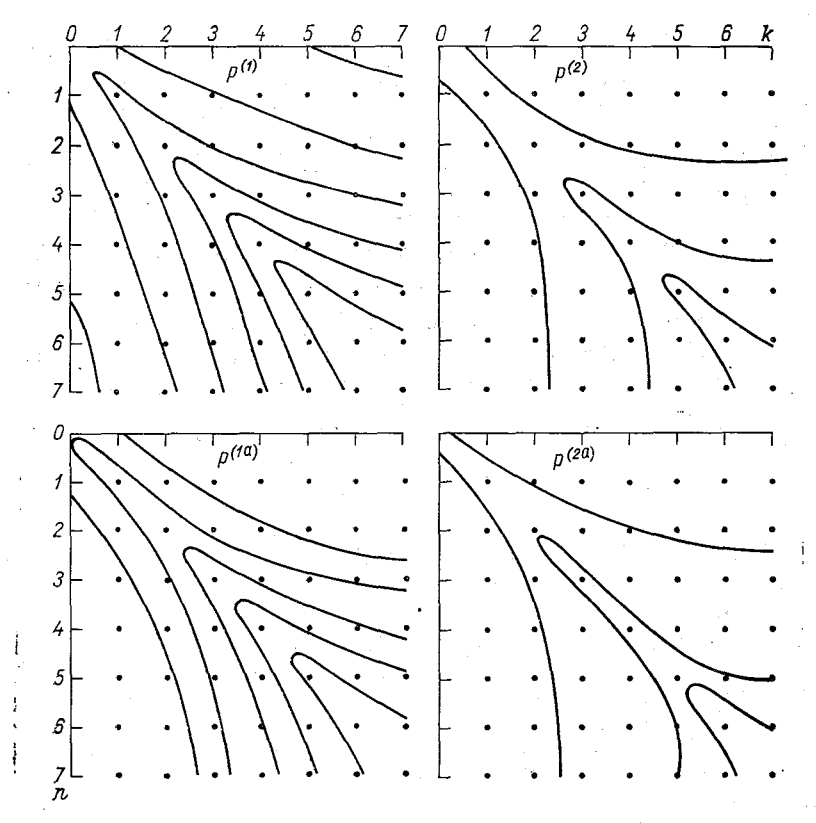


Рис. 1. Двумерные распределения матриц $P^{(1)},\ P^{(2)},\ P^{(1a)},\ P^{(2a)}$

мерные распределения для $P^{(16)}$ и $P^{(26)}$ здесь не приводятся, о них можно повторить все вышесказанное. Таким образом, мы видим, что в экспериментах 1, 1а, 1б предсказуемость нарушается быстрее, чем в экспериментах 2, 2а и 2б.

В табл. 3 представлены примеры весов ω_n в экспериментах 1, 1a, 1б, 2, 2a, и 2б для интервалов $\Delta t=6$ ч, соответствующие «возрасту» 0; 0,25; 0,5; ...; 1,75 дня. Из таблицы видно, что веса ω_n с увеличением n убывают. В последнем столбце таблицы по-

мещены суммы первых пяти весов для всех экспериментов. Эта величина во всех экспериментах приближенно равна 0,9. Так кат сумма всех весов равна единице, то можно ожидать, что основно уменьшение первоначальной ошибки анализа должно во всех эк спериментах происходить за первый день.

Из сравнения сумм весов видно также, что сумма пяти ве сов для первых трех экспериментов меньше, чем для вторых трех Это говорит о том, что в экспериментах серии 2 большую роль в построении $\Psi_{\text{син}}$ играют поля, возрастом не «старше» одного

		Δ <i>t</i> дни								
№ экспери- мента	0	0,25	0,50	0,75	1,0	1,25	1,50	1,75	n=0 $n=0$	
1	0,535	0,136	C,117	0,008	0,062	0,007	0,049	0,085	0,85 8	
la	0,430	0,168	0,129	0,048	0,121	0,065	0,003	0,035	0,896	
1б	0,477	0,118	0,142	0,042	0,124	0,055	0,002	0,040	0,903	
2	0,424	0,232	0,166	0,094	0,052	0,010	0,021	0,001	0,969	
2a	0,405	0,237	0,154	0,043	0,087	0,055	0,011	0,006	0,927	
2б	0,4.0	0,240	0,152	0,035	0,083	0,058	0,013	0,002	0,930	

дня, что связано с тем, что в экспериментах 2 предсказуемости нарушается медленнее и поэтому более «близкие» поля $\Psi_{\text{пред}}$ не сут в себе большую информацию, необходимую для построения $\Psi_{\text{син}}$. Все эксперименты проводились в следующем порядке. Сна чала решалась задача (9) — задача минимизации F_1 — среднего по площади квадратического отклонения синтезированного решения от истинного. При этом были рассчитаны матрицы $\binom{\sim}{p_{nk}}$ При проведении всех экспериментов рассчитывалась теоретическая средняя квадратическая ошибка четырехмерного анализа геопотенциальной высоты $\varepsilon_{\rm r}^2$ и эмпирическая $\varepsilon_{\it u}^2$. Очевидно, что в случае задачи (9) $\varepsilon_{\rm r} = \varepsilon_{\it u}$. Затем рассчитывались матриць $\{p_{nk}\}$ и решалась задача (7) для каждого эксперимента со своей матрицей $\{p_{nk}\}$. Нетрудно видеть, что при этом

$$\sqrt{E(\varepsilon_u^2)} = \varepsilon_{\rm T}. \tag{12}$$

В дальнейшем вместо $\sqrt{E(\varepsilon_u^2)}$ будем писать $E(\varepsilon_u)$. После это го брались матрицы $P^{(1)}$, $(P^{(1a)}, P^{(1b)})$ и применялись к $\Psi_{\rm пред}$, полученным из эксперимента 2 (2a, 2б) и наоборот. Затем были рас-

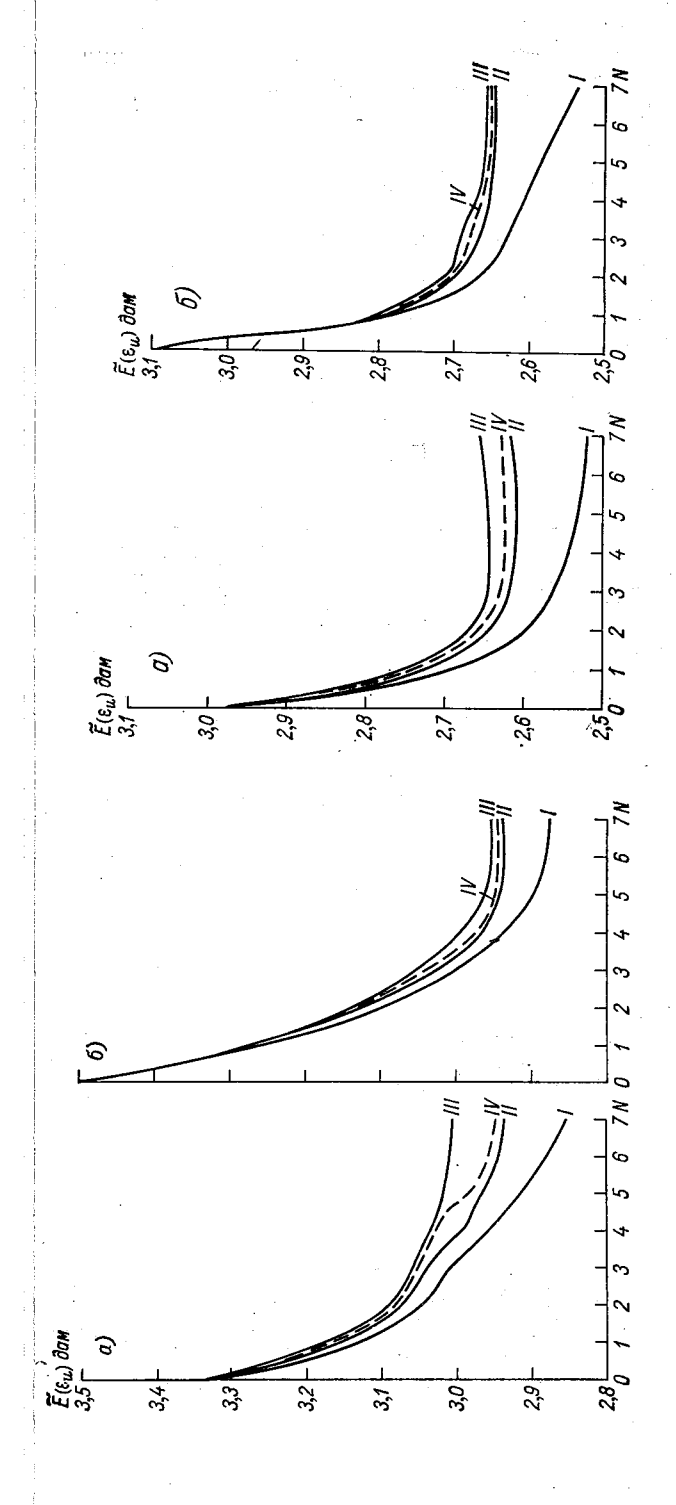


Рис. 3. $E(\varepsilon_u)$ в зависимости от N в экспериментах 2, 2а. a — эксперимент 2a; усл. обозначения I-IV см. рис. 2.

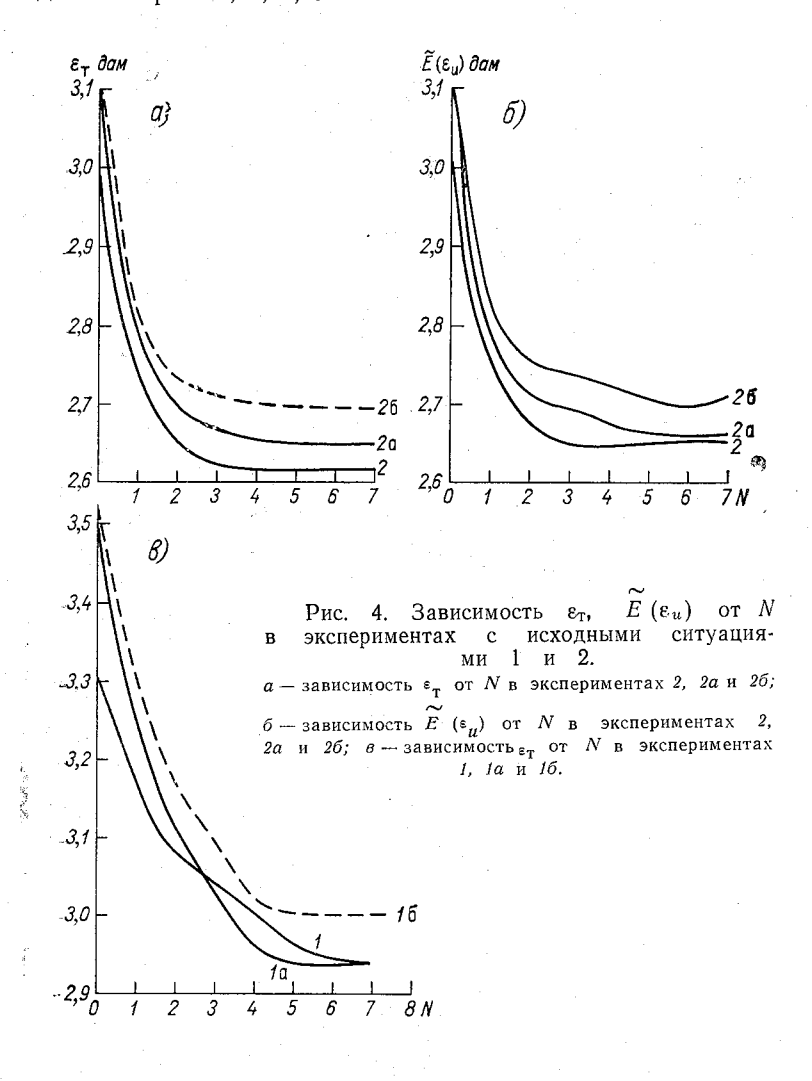
Рис. 2. $\widetilde{E}(e_u)$ в зависимости от N в экспериментах 1, 1а.

 \tilde{a} — эксперимент 1, δ — эксперимент 1a; I — E (ϵ_{u})

при ре-

шении задачи (9), $II - E(\epsilon_{\mu})$ при использовании «своих» матриц $\{p_{nk}\}$, $III - E(\epsilon_{\mu})$ при использовании матриц $\{p_{nk}\}$, IV— при использовании матриц $\{p_{nk}\}$, средних по двум экспериментам.

считаны матрицы $P^{(1+2)}$, $(P^{(1a+2a)}, P^{(1b+2b)})$ и с ними решалас задача (7) для всех экспериментов. Результаты этих расчето приведены на рис. 2, 3, 4, 5.



На рис. 2 и 3 изображены кривые изменения \widetilde{E} (ε_u) в зави«симости от N — числа $\Psi^{-n}_{\text{пред}}$, участвующих в построении $\Psi_{\text{син}}$ в экспериментах 1, 1а, 2, 2а. Из сравнения этих рисунков видно, что взаимное расположение и вид кривых I, II, III, IV аналогичны во всех экспериментах, хотя для каждого эксперимента имеются свои особенности.

Из рис. 3, например, видно, что с увеличением N величина (ε_n) убывает, причем наилучший результат, как и следоваложидать, дает решение задачи (9) кривая I).

При решении задачи (7) с использованием «своих» матриц p_{nk} $\widetilde{E}(\varepsilon_u)$ возрастает (кривая II лежит выше кривой I), затем три замене «своих» матриц «чужими» значительно возрастает (кривая III), но почти возвращается к прежнему уровню (кризая II) при использовании средних матриц $\{p_{nk}\}$ для двух экспериментов. Заметим, что характер и взаимное расположение этих тривых в экспериментах 2a и 2b аналогичны.

Из рис. 4 a видно, что для экспериментов 2, 2a и 26 начальное неравенство $\varepsilon_2 < \varepsilon_{2a} < \varepsilon_{25}$ сохраняется и для теоретических шибок четырехмерного анализа. На рис. 4 δ изображены кривые ізменения \widetilde{E} (ε_u) в экспериментах 2, 2a, 2δ при использовании чужих» матриц { p_{nk} }. Взаимное расположение кривых 2, 2a и 2δ . одинаково на рис. 4 a и δ .

Из графиков, приведенных на рис. 4 а, видно, что различия окончательном уровне уменьшения ошибки между кривыми 2а габ больше, чем различия между первоначальными ошибками объективного анализа в экспериментах 2а и 2б. Таким образом, этсутствие учета коррелированности ошибок наблюдения в схеме четырехмерного анализа ухудшает его результаты.

Из рис. 4 ϵ видно, что кривая 1 α пересекает кривую 1, и, таким образом, для ошибок четырехмерного анализа в экспериментах 1 и 1 α первоначальное соотношение $\epsilon_1 < \epsilon_{1}$ α не сохраняется.

Из сравнения рис. 4 a и b видно, что как первоначальная величина ошибки объективного анализа, так и окончательный уровень ее уменьшения в экспериментах 2, 2a и 2б значительно ниже, чем в экспериментах 1, 1a и 1б. Кроме того, кривые на рис. 4 a раньше начинают оставаться на одном уровне, чем на рис. 4 b. Все это связано с тем, что, как уже отмечалось выше, в экспериментах 2, 2a и 2б предсказуемость нарушается медленнее, чем в экспериментах 1, 1a и 16, а сумма первых пяти весов a0 больше, чем в экспериментах 1, 1a и 1б.

Сравним теперь \tilde{E} (ε_u) и $\varepsilon_{\mathtt{T}}$ для различных экспериментов.

На рис. 5 a и δ теоретическая $\epsilon_{\rm T}$ и истинные E ($\epsilon_{\rm u}$) кривые ошибок анализа в экспериментах la и 2а лежат довольно далеко друг от друга (кривые I и II), но они значительно приближаются друг к другу при использовании матриц $P^{({\rm la}+2{\rm a})}$ (кривые III и IV). Таким образом, увеличение числа реализаций для статистического осреднения при расчете матриц $\{p_{nk}\}$ ведет к сближению истинной и теоретической ошибок анализа.

Кроме того, из анализа всех теоретических кривых следует, что окончательный уровень уменьшения ошибки равен получен-

ному после 1,5 дня. Таким образом, в связи с нарушением предсказуемости данные «старше» чем за 1,5 дня можно не привлекать для построения синтезированного решения $\Psi_{\text{син}}$.

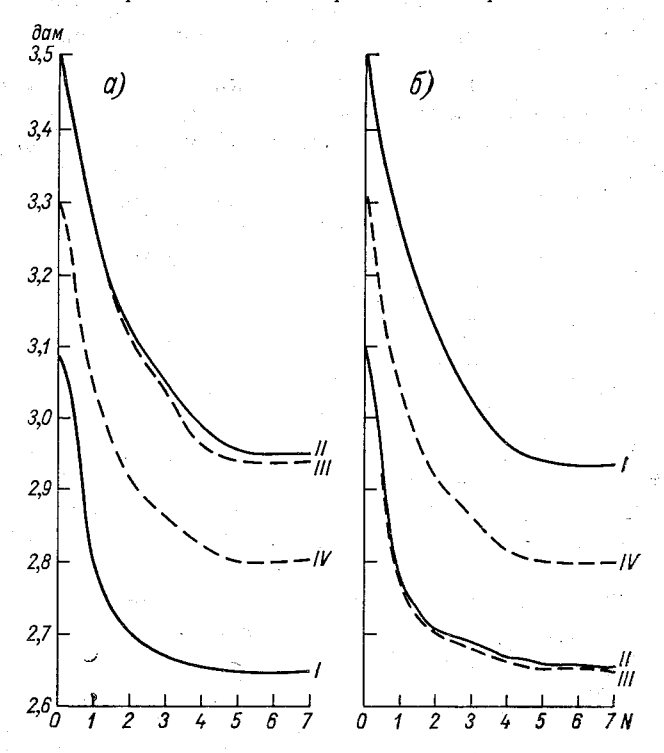


Рис. 5. Зависимость ε_{T} и $\stackrel{\sim}{E}(\varepsilon_{u})$ от N в экспериментах 1a и 2a.

a — эксперимент 1a с коррелированными ошибками: I — ε_{T} для матриц $P^{(2a)}$, III — $\widetilde{E}(\varepsilon_{\mathcal{U}})$ для матриц $P^{(1a+2a)}$, IV — ε_{T} для матриц $P^{(1a+2a)}$; δ —эксперимент 2a с коррелированными ошибками: I — ε_{T} для матриц $P^{(1a)}$, II — $\widetilde{E}(\varepsilon_{\mathcal{U}})$ для матриц $P^{(1a)}$, III — $\widetilde{E}(\varepsilon_{\mathcal{U}})$ для матриц $P^{(1a+2a)}$; IV — ε_{T} для матриц $P^{(1a+2a)}$.

Из табл. 4, в которой представлено процентное отношение окончательного уменьшения теоретической ошибки четырехмерного анализа ε_0 — ε_N к первоначальной ошибке ε_0 объективного анализа для всех экспериментов, можно сделать следующие выводы:

Во-первых, при наличии коррелированных ошибок наблюдения роль четырехмерного усвоения повышается в том смысле, что отношение $\frac{\varepsilon_0-\varepsilon_N}{\varepsilon_0}$ больше для коррелированных ошибок, чем

гля некоррелированных. B то же время сама величина ε_N для гекоррелированных ошибок меньше, чем для коррелированных.

Во-вторых, учет коррелированности ошибок в схеме анализа едет к некоторому улучшению в окончательном уровне уменьшения ошибки анализа. Например, ошибка уменьшается на 5,9% в эксперименте 1а и на 14,5% в эксперименте 1б

Таблица 4 Относительное уменьшение ошибки в результате четырехмерного анализа

	Исходна	я ситуация
Ошибки	1	2
Некоррелированные	11,4	12,1
Коррелированные	15,9	14,1
Коррелированные, но считаются некоррелированными	14,5	12,8

Заметим, что аналогичные эксперименты, но только для неоррелированных ошибок наблюдения проводились Миякода Талаграном [1].

Результаты, полученные нами в экспериментах с некоррелиованными ошибками, очень похожи на результаты [1]. Наше ассмотрение несколько шире, чем в [1], там не производился нализ различных путей построения матриц $\{p_{nh}\}$, сравнение стинной и теоретической ошибок анализа и не изучалось влияне коррелированности ошибок спутниковых измерений на реультаты четырехмерного усвоения.

СПИСОК ЛИТЕРАТУРЫ

Mijakoda K. and Talagrand O. The assimilation of past data in dynamical analysis, Part I. Tellus, 1971, vol. 22, N 4—5, p. 310—317. Гандин Л. С., Каган Р. Л., Мелешко В. Н., Руховец Л. В. Упро-

Гандин Л. С., Каган Р. Л., Мелешко В. Н., Руховец Л. В. Упрощенная модель для численных экспериментов по термическому режиму атмосферы. — «Труды ГГО», 1970, вып. 256, с. 72—97.

Глуховский А. Б. О статистическом моделировании метеорологических полей. — «Изв. АН СССР, Физика атмосферы и океана.» 1969, № 7, т. 5. с. 724—729.

Гандин Л. С., Каган Р. Л., Полищук А. И. Об оценке информативности систем метеорологических наблюдений. — «Труды ГГО», 1972, вып. 286, с. 120—140.

Гандин Л. С. Объективный анализ метеорологических полей. Л., Гидрометеоиздат. 1966. 268 с.

Тараканова В. П. К вопросу о точности косвенного температурного зондирования атмосферы с искусственных спутников Земли. — «Метеорол. и гидрол.», 1974. № 4, с. 76—78.

О ЗАКОНОМЕРНОСТЯХ ОШИБОК ОПРЕДЕЛЕНИЯ ТЕМПЕРАТУРЫ И ГЕОПОТЕНЦИАЛА ПО ДАННЫМ КОСВЕННОГО ЗОНДИРОВАНИЯ АТМОСФЕРЫ

В оперативной практике анализа и прогноза метеорологич ских полей используются не только данные радиозондов, но и да ные температурного спутникового зондирования атмосферы. Последние играют большую роль при анализе в районах с редкосетью аэрологических станций. Поскольку наблюдения со спутников непрерывны во времени, то при анализе необходимо призводить пространственно-временное усвоение этих данных. В работах [5, 6] представлены различные схемы четырехмерно объективного анализа асинхронных метеорологических данны Однако в этих схемах не учитываются их особенности, основния которых является корредированность ошибок спутников данных, снижающая их информативность [2]. Главной причин этого является отсутствие данных о структуре ошибок спутник вого зондирования.

В работе автора [7] была сделана попытка количествени оценки структуры ошибок данных косвенного температурпо зондирования атмосферы. Полученные при этом выводы носи предварительный характер, поскольку расчеты были сделаны небольшому объему исходных данных. В настоящей статье р сматривается пространственная структура поля ошибок спутковых данных о температуре и геопотенциале изобарических верхностей, полученная на большем материале. Использовали результаты косвенного зондирования атмосферы с американси метеорологических спутников серии «Нимбус» за период с декря 1971 г. по май 1972 г. Для исследования взят район, хоро освещенный аэрологическими данными, расположенный меж 10° з. д. и 180° в. д. и 40 и 80° с. ш. Данные были взяты из теграмм, ежедневно поступающих в Гидрометцентр СССР и люб

ю предоставленных нам Я. М. Хейфецем и В. А. Пастуховым. Расчеты проводились для двух сезонов—зима (декабрь—феваль) и весна (март—май). Для зимы было отобрано 405, для зесны—363 вертикальных профиля температуры и геопотенциа-

та. Методика обработки данных изложена в работе [7].

В табл. 1 приведены значения средних квадратических оширок σ_{δ} спутникового зондирования. Как видно из таблицы, в хосе средних квадратических ошибок наблюдаются сезонные разичия: весной их значения больше, чем зимой. Значения σ_{δ_T} для зесны оказались гораздо меньшими (до уровня 300 мбар), чем голученные в работе [7]. Это, вероятно, можно объяснить тем, то в [7] для расчета использовались данные зондирований не

Таблица 1 Средние квадратические ошибки спутникового зондирования на различных изобарических поверхностях

	Уровень, мбар								
Ошибка	850	₹700	500	300	200				
		Зима	!						
σδ _T °C	1,8	1,8	2,3	1,9	2,6				
σ _д дам	1,7	1,7	2,8	4,3	5,1				
		Весна	1 ·	134	. 				
σ _õ γ°C	2,3	2,7	2,5	2,3	3,0				
σδ _Н дам	2,9	3,6	5,3	7,4	8,5				

олько за весенний, но и за летний период. Отсюда можно сделать ывод, что значения σ_δ летом могут быть еше больше, чем весной.

Значения средних квадратических ощибок температуры в обдем увеличиваются с высотой. Небольшой минимум, который рослеживается на уровне 300 мбар (а весной также и на урове 500 мбар), возможно, связан с недостаточным объемом данных. ледует, однако, иметь в виду, что такой минимум в умеренных гиротах прослеживается и в средних квадратических отклоениях самой температуры, приведенных в работе И. В. Ханевкой [8]. Сравнение данных [8] с данными табл. 1 показыват, что величина σ_{δ_T} для зимнего периода достигает 25—30%, т средней квадратической изменчивости температуры на нижних 40% на верхних уровнях. Для весеннего периода относиельная погрешность спутниковых данных о температуре $\sigma_{\delta_T}/\sigma_T$ казывается еще больше.

Зависимость погрешности спутниковых данных о геопотенциае от сезона и от уровня в атмосфере более четко выражена, чем

для соответствующих данных о температуре. Для весеннего периода значения σ_{δ_H} в 1,5—2 раза больше, чем для зимнего периода. Особенно резко прослеживается увеличение σ_{δ_H} с высотой. Так, на изобарической поверхности 200 мбар σ_{δ_H} в 3 разбольше, чем на поверхности 850 мбар. Такой сильный рост оши бок обусловлен накоплением ошибок в определении относительного геопотенциала различных слоев, связанных с погрешностя ми определения температуры.

Сравнение величин σ_{ℓ_H} с величинами σ_H , приведенным в работе Л. Г. Заставенко [3], показывает, что относительна погрешность определения геопотенциала σ_{ℓ_H}/σ_H составляет дл зимнего периода около 15% для нижних уровней и 25—30% дл верхних уровней тропосферы. Для весны эти значения оказыва

ются гораздо большими.

При рассмотрении данных табл. 1 следует иметь в виду, чт приведенные в ней значения от завышены по сравнению с ис тинными погрешностями спутниковых наблюдений за счет оши бок интерполяции соответствующих полей по данным обычны аэрологических наблюдений, с которыми сравниваются данны спутниковых наблюдений. Выделить влияние ошибок интерполя ции оказывается затруднительным, однако некоторое представ ление об этом можно получить, если учесть что для данного райс средняя квадратическая ошибка интерполяции составляе около 10% от среднего квадратического отклонения для поля гес потенциала и около 15—20% от среднего квадратического откло нения для температуры [1, 4]. В связи с этим можно ориенти ровочно считать, что приведенные в табл. 1 значения средни квадратических ошибок завышены для нижних уровней атмосфе ры примерно на 20%. Для более высоких уровней влияние оши бок интерполяции уменьшается и завышение для поверхност 200 мб составляет около 10%. Указанные оценки относятс к зимнему периоду, для весны ошибки интерполяции нескольк меньше, чем для зимы. Это связано с тем, что весной меньш естественная изменчивость полей геопотенциала и температурь Учитывая, что значения об для этого сезона больше, чем для зи мы, можно ожидать, что вклад ошибок интерполяции для этог сезона существенно меньше.

Сказанное следует иметь в виду и при анализе данных о про странственной корреляции ошибок спутниковых данных, приведенных на рис. 1 и 2. Как видно из рисунков, корреляци ошибок спутниковых данных прослеживается до значительны расстояний. Учитывая при этом имеющийся объем данных, различия между пространственной корреляцией ошибок температурги геопотенциала, по-видимому, можно считать несущественными

При сопоставлении корреляционных функций для различны сезонов обращает на себя внимание существенно более высока корреляция для весеннего сезона (рис. 1 б, 2 б), для которог коэффициенты корреляции для первой градации расстояни

среднее расстояние около 250 км) достигают 0,7—0,8, а для имнего периода они, как правило, не превышают 0,5. Возможно, то эти различия связаны не столько с различиями в корреляции стинных ошибок спутниковых данных, сколько в существенном

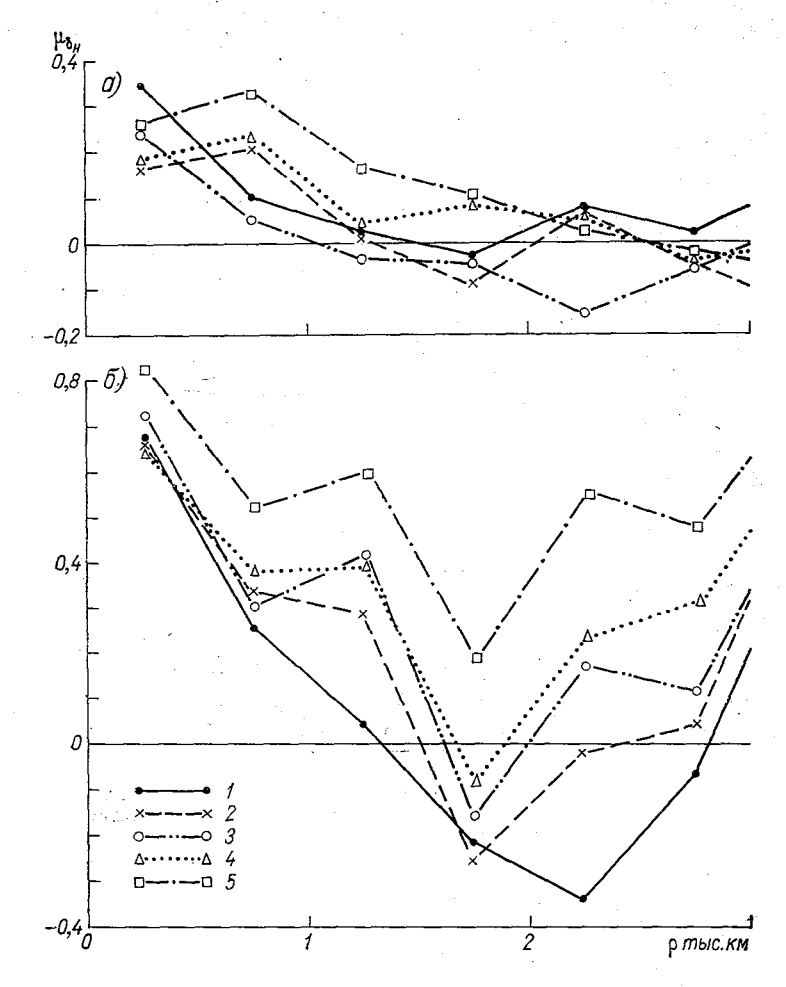


Рис. 1. Пространственная корреляция ошибок спутникового зондирования. Поле геопотенциала. a-зима (XII—II), b-весна (III—V); l-850 мбар, 2-700 мбар, 3-500 мбар, 4-300 мбар, 5-200 мбар.

тиянии упомянутых выше ошибок интерполяции для зимнего эзона.

Более высокая пространственная корреляция ошибок для урова 200 мбар (в весенний период) также, вероятно, определяется пиянием этого фактора. Во всяком случае значения простран-

ственной корреляции ошибок 0,7—0,8 для расстояний 300—500 км между пунктами наблюдений представляются вполне реальными.

При рассмотрении рис. 1 и 2 можно видеть, что пространст венная корреляция достигает минимума на расстояниях около 2000 км, далее наблюдается резкий рост корреляционной функ-

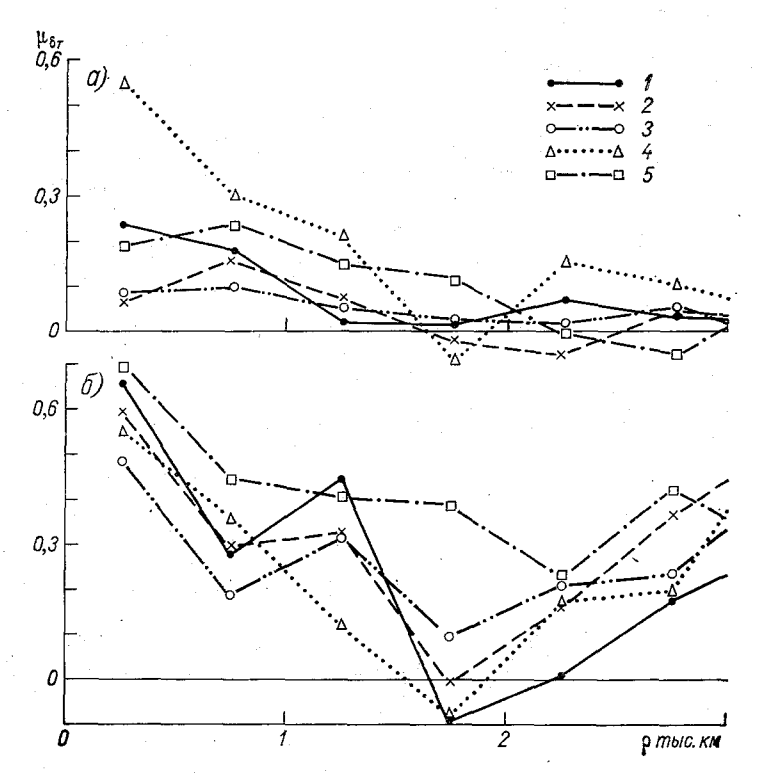


Рис. 2. Пространственная корреляция ошибок спутникового зондирования. Поле температуры.
Усл. обозначения см. рис. 1.

ции, достигающей на расстояниях порядка 3500 км значений сравнимых со значениями, полученными для малых расстояний Вероятно, такой ход корреляционной функции связан с характер ными размерами барических образований в умеренных и высоких широтах и с зависимостью ошибок спутниковых данных от синоптической ситуации. Этот вопрос заслуживает дополнительного исследования, поскольку наличие такой зависимости откры вало бы дополнительные возможности для уточнения данных спутникового зондирования.

Из данных табл. 2 следует, что межуровенная корреляция ибок температуры прослеживается лишь в нижней тропосфере, я ошибок спутниковых данных о геопотенциале отмечается суственная положительная корреляция во всей толще тропосфенациболее значительна корреляция для смежных уровней,

Таблица 2 журовенная корреляция ошибок данных спутникового зондирования

овень. мбар		$^{\mu}$ $_{\delta}T$					μ_{δ}^{μ}				
	700	500	300	200	700	500	300	200			
			. 3	има				•			
850	0,24	0,22	0,02	0,03	0,38	0,33	0,09	0,06			
700		0,46	0,07	-0,05		0,48	0,30	0,19			
500			0,09	-0,16	E		0,59	0,46			
300				0,05				0,57			
			В	Весна		,					
850	0,20	0,20	0,02	0,003	0,45	0,28	0,18	0,14			
700		0,50	0,05	-0,02		0,52	0,32	0,29			
500			0,06	—0 ,18			0,57	0,43			
300	`			0,02				0,56			

я которых коэффициент корреляции составляет около 0,6, прим, учитывая влияние ошибок интерполяции эти величины слетет считать еще заниженными.

СПИСОК ЛИТЕРАТУРЫ

Белоусов С. Л., Гандин Л. С., Машкович С. А. Обработка оперативной метеорологической информации с помощью электронных вычислительных машин. Л., Гидрометеоиздат, 1968. 282 с.

Гандин Л. С. Проблемы усвоения данных метеорологических наблюдений. — «Метеорол. и гидрол». 1971, № 3, с. 15—21.

Заставенко Л. Г. Барическое поле тропосферы северного полушария. — «Труды НИИАК», 1972, вып. 86, 237 с.

Либерман Ю. М., Лугина К. М. Опыт объективного анализа среднемесячных аэрологических полей.—«Труды ГГО», 1970, вып. 267, с. 63— 78.

- 5. Машкович С. А., Вейль И. Г. Численные эксперименты по четырехме ному объективному анализу на основе спектральной прогностической мод ли. «Метеорол. и гидрол.», 1972. № 3. с. 3—15.
- 6. Мусаелян III. А., Хорошилов А. Ф. О пространственно-временном ан лизе асинхронных метеорологических данных.—«Метеорол. и гидрол 1973, № 2. с. 36—46.
- 7. Тараканова В. П. К вопросу о точности косвенного температурного зо дирования атмосферы с искусственных спутников Земли.—«Метеоро и гидрол.», 1974, № 4, с. 76—78.
- 8. Ханевская И.В. Температурный режим свободной атмосферы над севеным полушарием. Л., Гидрометеоиздат, 1968. 300 с

РАСПРЕДЕЛЕНИЕ АБСОЛЮТНЫХ ОШИБОК АНАЛИЗА ГЕОПОТЕНЦИАЛА В ЮЖНОМ ПОЛУШАРИИ

Реализация планов Всемирной службы погоды, Проекта иседований глобальных атмосферных процессов и других междуродных программ требует интенсивного изучения атмосферы кного полушария. В связи с этим в последнее десятилетие зко возросла потребность в разработке специальной методики сленного анализа метеорологических полей в этой части Земго шара. Два обстоятельства сильно затрудняют решение этой дачи. Во-первых, сеть станций в южном полушарии значительреже, чем в северном. В частности, аэрологическая сеть начивает здесь лишь немногим более 100 станций, тогда как северном полушарии — свыше 700. Во-вторых, преобладание лачности в зоне умеренных широт южного полушария претствует получению спутниковой метеорологической информати в должном объеме.

Естественно в первую очередь рассмотреть вопрос о фактичеой точности анализа, которую обеспечивает существующая ть станций. Применительно к геопотенциалу эта задача исслевалась в работе [4] на базе оптимальной интерполяции [1]. качестве оценки точности анализа использовалась мера ошибоптимальной интерполяции

$$\varepsilon = \frac{E}{m_H(0)},\tag{1}$$

едставляющая средний в статистическом смысле квадрат солютной ошибки анализа E, отнесенный к дисперсии геопотенала m_H (0). Нормирование на дисперсию обусловливает завимость характеристики ε лишь от густоты наблюдательной сети, есть от числа и взаимного расположения станций, данные

которых интерполируются в узел регулярной сетки. Практичес для вычисления є использовалась формула

$$\varepsilon = 1 - \sum_{i=1}^{n} p_i \, \mu_{0i},$$

где n — число станций, μ_{0i} — автокорреляционные коэффициен отвечающие паре «узел — станция», p_i — оптимальные интерполиионные веса.

Для целей численных прогнозов существенно знание не то, ко поля самого метеорологического элемента, но и полей его ди ференциальных характеристик: производных по горизонтальн координатам, лапласиана, якобиана и т. п. Точность вычислен этих характеристик по данным сети также поддается априоргоценке [3]. Так, средний квадрат ошибки определения переконечной разности, отнесенный к дисперсии и умноженный квадрат шага дифференцирования r, т. е. величина

$$D = \frac{r^2 \overline{\beta^2}}{m_H(0)}$$

находится как простая комбинация значений є, а именно:

$$D = \varepsilon_1 + \varepsilon_2 + \varepsilon_{12}.$$

В формулах (3), (4) черта означает осреднение в статис ческом смысле, индексы 1, 2 соответствуют точкам, по данн анализа в которых вычисляется конечная разность, а значег ε_{12} описывает корреляционную связь между ошибками анали в этих точках [2].

Географическое распределение величин є, D характериз ошибки анализа геопотенциала и его первой конечной разнос отнесенные к дисперсии элемента. Оценка соответствующих солютных ошибок требует задания поля дисперсии. Отсутст фактических данных о дисперсии геопотенциала в южном по шарии вынудило нас ограничиться в работе [4] расчетами д северного полушария. В настоящее время мы имеем необходим данные по южному полушарию, любезно предоставленные в р поряжение ГГО сотрудником Национального центра исследоний атмосферы США Р. Л. Дженни (R. L. Jenne). Это позвол привести оценки абсолютных ошибок анализа.

В нашем распоряжении имеется карта среднего квадрати ского отклонения приземного давления σ_p для июля. Эта кар построена Дженни по наблюдениям за 62 дня (июль 1957 и июль 1958 г.). Очевидно, рассчитанная по столь малому ря изменчивость должна заметно отличаться от средней многол ней изменчивости в обычном климатологическом смысле. оценке Дженни, это отличие составляет примерно 40% в сторозанижения. Можно, однако, думать, что географическое расп

деление изменчивости на полушарии отражено верно. По аналогичной причине мы сочли возможным воспользоваться данными об изменчивости приземного давления σ_p , а не данными об изменчивости геопотенциала σ_H , полагая связь между σ_p и σ_H прямо пропорциональной.

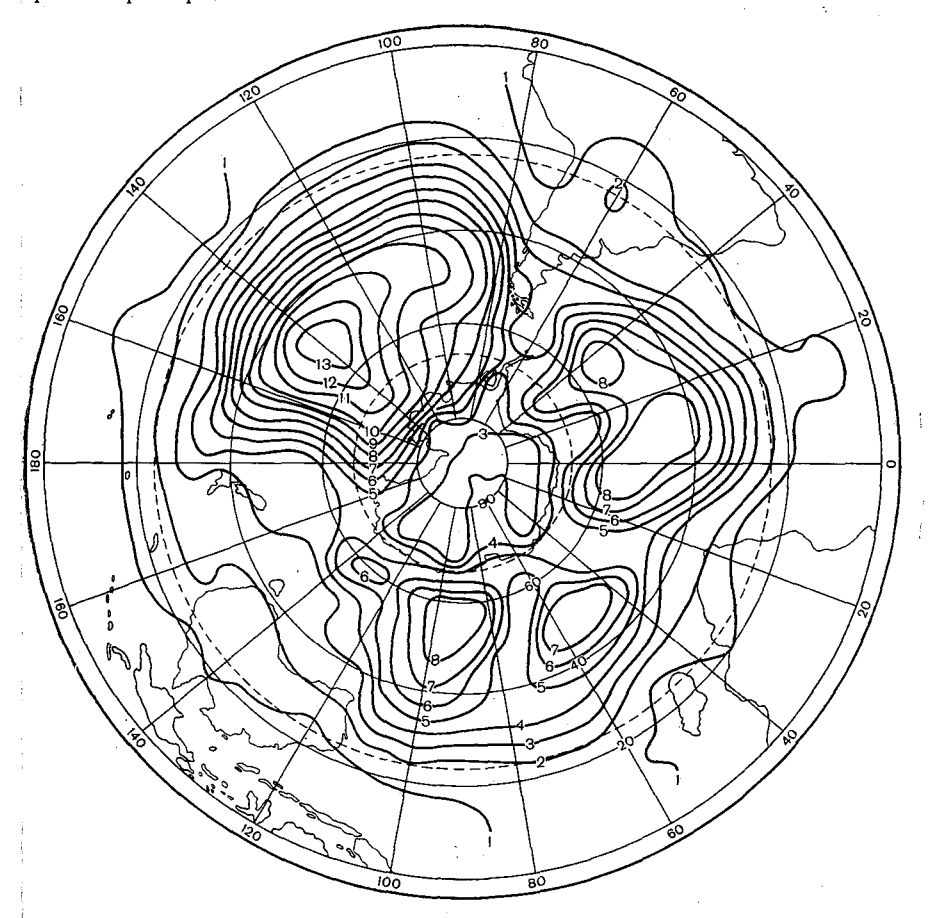


Рис. 1. Распределение абсолютных ошибок анализа геопотенциала (в условных единицах).

На рис. 1 приведено распределение величины

$$K = \sqrt{\varepsilon} \sigma_{P}. \tag{5}$$

Эта величина численно равна средней квадратической ошибке интерполяции приземного давления (в миллибарах) по наблюдениям существующей в южном полушарии аэрологической сети. Разумеется, она не совпадает с ошибкой интерполяции геопотенциала поверхности 500 мб, однако, как уже сказано, може приближенно считаться пропорциональной ей. Распределение зависит, с одной стороны, от особенностей сети, с другой стороны,— от характера поля σ_P . Из 110 станций 14 находятс в Антарктиде, 96 — на других материках. Обширные океанические акватории почти полностью лишены аэрологических наблюдений. В Антарктиде сочетание «густой» (конечно, по масштабатюжного полушария) сети и относительно малой изменчився сти обусловливает сравнительно высокую точность анализа Здесь значения K лишь в 2—3 раза больше, чем в Австралии

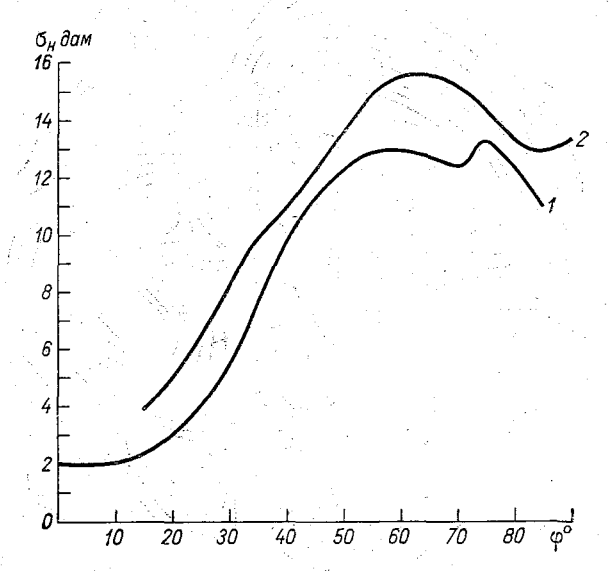


Рис. 2. Средний зональный профиль изменчивости геопотенциала поверхности 500 мбар для зимнего сезона.

1 — южное полушарие, 2 — северное полушарие.

Южной Африке и Южной Америке. Заметим, что в северном по лушарии Центральный полярный бассейн относится к районам наименьшей точности. Разумеется, «высокая» точность анализ в Антарктиде очень далека от требований существующих схем численного прогноза. Много хуже обстоит дело на океанах, зани мающих подавляющую часть площади полушария. Рис. 1 дае также представление о распределении абсолютной средней квад ратической ошибки вычисления первой конечной разности

$$\sqrt{B} = \sigma_H \sqrt{D}$$
. (6)

Данные, представленные на рис. 1, могут оказаться полез ными при планировании новых наблюдательных систем, вклю тающих метеорологические спутники, океанские буйковые стан-

ции и автоматические трансозонды.

Обратимся теперь к вопросу о том, какую погрешность внес-10 бы в анализ поля геопотенциала использование осредненного доль широтных кругов зонального профиля изменчивости вместо рактически использованной карты. Как известно, такой упрошенный способ задания он достаточно широко используется в оперативных схемах анализа. Мы воспользовались полученными от Іженни данными для расчета зимнего зонального профиля ізменчивости геопотенциала поверхности 500 мбар для южного олушария. Рассчитанный нами профиль приведен на рис. 2. Его тличие от аналогичного профиля для северного полушария [5] бусловлено не только климатологическими причинами, но и маным объемом выборки. Это не позволяет сравнивать абсолютные начения σ_H на одинаковых широтах двух полушарий, однако не мешает сопоставить зависимость от широты. Наиболее сущестенным отличием профиля южного полушария оказывается бливость значений он на широтах 50, 60, и 70°; в северном полушауии выделяется максимум на широте 60°.

При сопоставлении сглаженного зонального профиля изменчиости с картой ее для южного полушария выявилось, что разлиия между ними наиболее велики на параллелях 50, 60 и 70°,
доль которых в поле дисперсии локализованы замкнутые экстемумы. Выполненные оценки показали, что по указанной причине
редние квадратические ошибки \sqrt{E} и \sqrt{B} оказываются здесь заиженными на 15—20%, а в некоторых случаях фиктивное заникение ошибок достигает 30%. Это обстоятельство явно указызает на нецелесообразность использования зонального профиля

изменчивости при оценках точности анализа.

СПИСОК ЛИТЕРАТУРЫ

. Гандин Л. С. Объективный анализ метеорологических полей. Л., Гидрометеоиздат, 1963. 287 с.

2. Гандин Л. С., Ильин Б. М., Либерман Ю. М., Юдин М. И. О точности определения конечных разностей при анализе метеорологических по-

лей.—«Труды ГГО», 1965, вып. 168, с. 113—122.

. Либерман Ю. М. О точности определения конечных разностей при анализе поля геопотенциала по данным существующей аэрологической сети. — «Изв. АН СССР. Физика атмосферы и океана», 1965, т. 1, № 11, с. 1130—1137.

. Либерман Ю. М. О точности анализа поля геопотенциала над северным и южным полушариями. — «Труды ГГО», 1968, вып. 228, с. 41—48.

. Заставенко Л. Г. Барическое поле тропосферы северного полушария. — «Труды НИИАК», 1972, вып. 86. 236 с.

о точности выборочных структурных функции

1. При решении задач статистической метеорологии одним из наиболее употребительных характеристик пространственно изменчивости поля являются структурные функции. В связ с этим представляет практический интерес оценка точности, ко торая может быть достигнута при получении пространственны структурных функций по ограниченному объему данных.

Некоторые оценки такого рода будут получены ниже. Пр этом будет использоваться подход, примененный для оценки то ности пространственных ковариационных и корреляционных фунций в работах [1, 2], продолжением которых является настояща статья. Этот подход сводится к определению пространственно корреляции между различными выборочными моментами и к учету этой связности при оценке точности, которая достигается при осреднении индивидуальных моментов. Учитывая, что со ответствующая методика подробно изложена в [1, 2], мы по возможности сократим выкладки и уделим основное внимание ана лизу полученных результатов.

2. Будем рассматривать случайное поле величины f (x, y) Значение этой величины в точке i с координатами x_i и y_i буде обозначать f_i . Полагаем, что средние значения величины f в всех точках поля равны нулю. На общность наших выводов эт не повлияет.

Будем обозначать чертой сверху осреднение по статистическому ансамблю. Тогда для любой точки имеем

$$\overline{f_i} = 0. (1$$

Пространственная изменчивость величины f между точкам i и k характеризуется значением структурной функции

$$b_{ik} = \overline{(f_i - f_k)^2}. (2$$

Для описания связи между значениями f и f_k могут использоваться также ковариационный (R_{ik}) и корреляционный (r_{ik}) моменты:

$$R_{ik} = \overline{f_i f_k}; \quad r_{ik} = \frac{\overline{f_i f_k}}{\sqrt{\overline{f_i^2 f_k^2}}} = \frac{R_{ik}}{\sqrt{R_{ii} R_{kk}}}.$$
 (3)

Значения структурной функции могут быть выражены через ковариации с помощью формулы

$$b_{ik} = R_{ii} + R_{kk} - 2R_{ik}. (4)$$

Для однородного поля

$$R_{ii} = R_{kk} = \sigma^2$$
 и $b_{ik} = 2 \sigma^2 (1 - r_{ik}),$ (5)

где σ^2 — дисперсия поля.

Практически расчет моментов ведется лишь по ограниченному объему данных, вследствие чего полученные значения их будут отличаться от истинных. Пусть мы располагаем n независимыми реализациями поля f. Тогда для каждой пары точек можно получить оценку величин b. Так, для пары точек i и k

$$b_{ik}^* = \frac{1}{n} \sum_{j=1}^n \left(f_i^{(j)} - f_k^{(j)} \right)^2.$$
 (6)

Здесь b_{ik}^* — выборочное значение структурной функции. Верхний индекс при величине f означает номер реализации, так что суммирование производится по всем реализациям.

Для пары точек s и t имеем аналогично

$$b_{st}^* = \frac{1}{n} \sum_{i=1}^n (f_s^{(j)} - f_t^{(j)})^2.$$
 (6a)

Нетрудно видеть, что величины b_{tk}^* и b_{st}^* являются несмещенными оценками соответствующих значений структурной функции, так что

$$\overline{b_{ik}^*} = b_{ik}; \quad \overline{b_{st}^*} = b_{st}. \tag{7}$$

Статистическая связь между этими оценками характеризуется их ковариацией

$$m_b(i, k; s, t) = \overline{b_{ik}^* b_{st}^*} - b_{ik} b_{st}.$$
 (8)

Учитывая (3), (6) и (6а), получаем:

$$\overline{b_{ik}^* b_{st}^*} = \frac{1}{n^2} \sum_{j=1}^m \sum_{g=1}^m \overline{(f_i^{(j)} - f_k^{(j)})^2 (f_s^{(g)} - f_t^{(g)})^2};$$

$$b_{ik} b_{st} = (R_{il} + R_{kk} - 2R_{ik}) (R_{ss} + R_{tt} - 2R_{st}). \tag{9}$$

Таким образом, произведение $b_{ik}b_{st}$ выражается через вторые моменты поля, а в $b_{ik}^*b_{st}^*$ входят четвертые моменты. Полагаем, что величина f имеет распределение, близкое к нормальному, так что четвертые моменты ее связаны со вторыми формулой

$$\overline{f_{i}^{(j)} f_{k}^{(j)} f_{s}^{(g)} f_{t}^{(g)}} = R_{ik} R_{st} + \delta_{jg} (R_{is} R_{kt} + R_{it} R_{ks}), \tag{10}$$

где

$$\delta_{jg} = \left\{ egin{array}{ll} 1 & \mbox{при } j = g \\ 0 & \mbox{при } j \neq g \end{array}
ight. - \mbox{символ Кронекера.} \end{array}$$

Подстановка (9) и (10) в (8) дает

$$m_b(i, k; s, t) = \frac{2}{n} (R_{it} + R_{ks} - R_{is} - R_{kt})^2 =$$

$$= \frac{1}{2n} (b_{it} + b_{ks} - b_{is} - b_{kt})^2.$$
(11)

Частными случаями (11) являются формулы, определяющие дисперсии значений структурной функции:

$$\sigma_{b_{ik}}^{2} = m_{b}(i, k; i, k) = \frac{2}{n} b_{ik}^{2} = \frac{2}{n} (R_{ii} + R_{kk} - 2R_{ik})^{2};$$

$$\sigma_{b_{st}}^{2} = m_{b}(s, t; s, t) = \frac{2}{n} b_{st}^{2} = \frac{2}{n} (R_{ss} + R_{tt} - 2R_{st})^{2}.$$
(12)

Учитывая (11) и (12), получаем коэффициент корреляции между значениями b_{ik}^* и b_{st}^*

$$\mu_{b}(i, k; s, t) = \frac{m_{b}(i, k; s, t)}{\sigma_{b_{ik}}\sigma_{b_{st}}} = \frac{(b_{it} + b_{ks} - b_{is} - b_{kt})^{2}}{4b_{ik}b_{st}} = \frac{(R_{it} + R_{ks} - R_{is} - R_{kt})^{2}}{(R_{it} + R_{kk} - 2R_{ik})(R_{ss} + R_{tt} - 2R_{st})}.$$
(13)

Заметим, что этот коэффициент корреляции не зависит от числа реализаций, использованных при расчете, и определяется лишь характером связи между значениями поля в пунктах задания исходных данных. Для случая однородного и изотропного случайного поля эта связь, а следовательно, и величина μ_b определяется взаимным расположением точек $i,\ k,\ s,\ t,\$ расстоянием

между ними и заданием пространственной корреляционной функции поля f.

В этом случае подстановка (5) в (12) и (13) дает:

$$\sigma_{b_{ik}}^{2} = \frac{8\sigma^{4}}{n} (1 - r_{ik})^{2};$$

$$\sigma_{b_{st}}^{2} = \frac{8\sigma^{4}}{n} (1 - r_{st})^{2};$$

$$\mu_{b}(i, k; s, t) = \frac{(r_{it} + r_{ks} - r_{is} - r_{kt})^{2}}{4(1 - r_{ik})(1 - r_{st})}.$$
(14)

3. Аналогично тому, как это делалось в [1], ограничимся расмотрением трех вариантов расположения точек, при которых асстояние между точками i и k и между точками s и t одина-

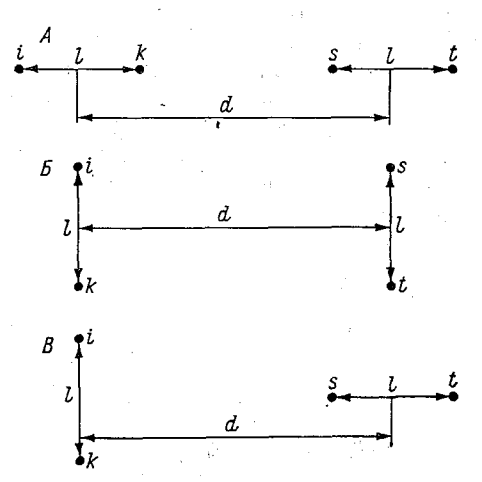


Рис. 1. Схема расположения точек задания исходных данных в вариантах A, B, B.

ово. Обозначим его l, а расстояние между точками, делящими оответствующие отрезки пополам, обозначим d (см. рис. 1).

Нетрудно видеть, что для случая, когда все точки расположеы вдоль одной прямой (вариант А, соответствующий «продольюй» корреляции значений структурной функции)

$$\mu_b^{\mathbf{A}}(l, = \frac{1}{4} \left[\frac{2r(d) - r(d+l) - r(|d-l|)}{1 - r(l)} \right]^2. \tag{15a}$$

Для варианта Б, соответствующего «поперечной» корреляции выборочной структурной функции, получаем

$$\mu_b^{\rm E}(l, d) = \left[\frac{r(d) - r(\sqrt{l^2 + d^2})}{1 - r(l)}\right]^2. \tag{156}$$

Конкретные значения μ_b^A и μ_b^B существенно зависят от ста-

тистической структуры поля.

Для варианта В, независимо от типа статистической структуры, корреляция между значениями выборочной структурной функции отсутствует, так что

$$\mu_b^{\rm B}(l, d) = 0.$$
 (15B)

Это означает, что выборочные структурные функции в двух взаимноперпендикулярных направлениях являются независимыми и существенно дополняют друг друга. Для ковариационных и корреляционных функций такой независимости не отмечается, так что совместное использование этих функций, вычисленных

для разных направлений, гораздо менее эффективно.

Заметим также, что, независимо от структуры поля, корреляция значений структурной функции не может быть отрицательной. Как следует из [1], корреляция ковариационных моментов может быть отрицательной для поля, пространственная корреляционная функция которого имеет отрицательную область, а для выборочных корреляционных моментов корреляция может оказаться отрицательной и при существенно положительных корреляционных функциях поля f.

Конкретные расчеты по формулам (15) были выполнены для

корреляционных функций вида:

$$r_{1}(l) = \exp\{-(l/l_{0})^{2}\};$$

$$r_{2}(l) = (1+l/l_{0}) \exp\{-l/l_{0}\};$$

$$r_{3}(l) = \exp\{-l/l_{0}\}.$$
(16)

Некоторые результаты приводятся в табл. 1, из которой видно, что корреляция значений выборочных структурных функций является наиболее высокой для случайных полей, структура которых описывается функцией r_1 , а функция r_3 соответствует наименьшим значениям μ_b . Корреляция в продольном направлении $(\mu_b^{\rm B})$ меньше корреляции в поперечном направлении $(\mu_b^{\rm B})$.

Для корреляционных функций (16) при фиксированном d отмечается увеличение μ_b с увеличением расстояния l между точками задания исходных данных (т. е. с уменьшением r(l)). Исключением в этом отношении является случай, когда эти точки

Таблица 1 Коэффициент корреляции между выборочными значениями структурной функции

				r (l)				
r (d)		Схем	ra A			. Cx	ема Б	
	0,9	0,8	0,7	0,5	0,9	0,8	0,7	0,5
			$r_3(l) = e$	$xp \left\{-l/l_0\right\}$	}			
I,0	1,00	1,00	1,00	1,00	1,00	1,00	1,00	1,00
0,9	0,00	0,23	0,43	0,63	0,15	0,32	0,49	0,65
0,8	0,00	0,01	0,08	0,33	0,04	0,11	0,23	0,40
0,7	0,00	0,01	0,02	0,11	0,01	0,04	0,10	0,23
0,6	0,00	0,01	0,02	0,00	0,00	0,02	0,04	0,13
0,5	0,00	0,00	0,01	0,06	0,00	0,01	0,02	0,06
0,4	0,00	0,00	0,01	0,04	0,00	0,00	0,01	0,03
0,3	0,00	0,00	0,00	0,02	0,00	0,00	0,00	0,01
0,2	0,00	0,00	0,00	0,01	0,00	0,00	0,00	0,00
		,			*1* 5			
		$r_2(a)$	t)=(1+t)t	o) exp {	t/t_0			
1,0	1,60	1,00	1,00	1,00	1,00	1,00	1,00	1,00
0,9	0,19	0,33	0,43	0,59	0,55	0,62	0,66	0,72
0,8	0,02	0,05	0,12	0,28	0,33	0,39	0,44	0,51
0,7	0,00	0,00	0,01	0,03	0,20	0,24	0,28	0,32
0,6	0,02	0,01	0,01	0,00	0,12	0,15	0,17	0,23
0,5	0,03	0,04	0,04	0,02	0,06	0,68	0,10	0,14
0,4	0,04	0,05	0,06	0,07	0,03	0,04	0,05	0,08
0, 3	0,03	0,04	0,06	0,09	0,01	0,02	0,02	0,04
0,2	0,02	0,03	0,04	0,08	0,00	0,01	0,01	0,01
	•		$r_1(l) = e$	$xp \left\{-(l/l_0)\right\}$) ² }			
1,0	1,00	1,00	1,00	1,00	1,00	1,00	1,00	1,00
0,9	0,52	0,53	0,55	0,59	0,81	0,81	0,81	0,81
0,8	0,21	0,23	0,24	0,29	0,64	0,64	0,64	0,64
0,7	0,05	0,06	0,07	0,10	0,49	0,49	0,49	0,49
0,6	0,00	0,00	0,00	0,02	0,36	0,36	0,36	0,36
0,5	0,03	0,02	0,02	0,00	0,25	0,25	0,25	0,25
0,4	0,10	0,69	0,08	0,05	0,16	0,16	0,16	0,16
0,3	0,17	0,16	0,15	0,13	0,09	0,09	0,09	0,09
0,2	0,20	0,20	0,20	0,19	0,04	0,04	0,04	0,04

расположены в соответствии со схемой \mathbf{b} , а структура поля за дается функцией r_1 . \mathbf{b} этом случае

$$\mu_b^{\rm E}(l, d) = r_1^2(d). \tag{17}$$

Заметим, что, как следует из [1, 2], корреляция ковариаци (μ_R) и коэффициентов корреляции (μ_r) для этого случая такж равна r_1^2 (d). Для других корреляционных функций и при дру гом расположении точек значения $\mu_b(l, d)$, как правило, сущест венно меньше соответствующих значений $\mu_r(l, d)$ и $\mu_R(l, d)$

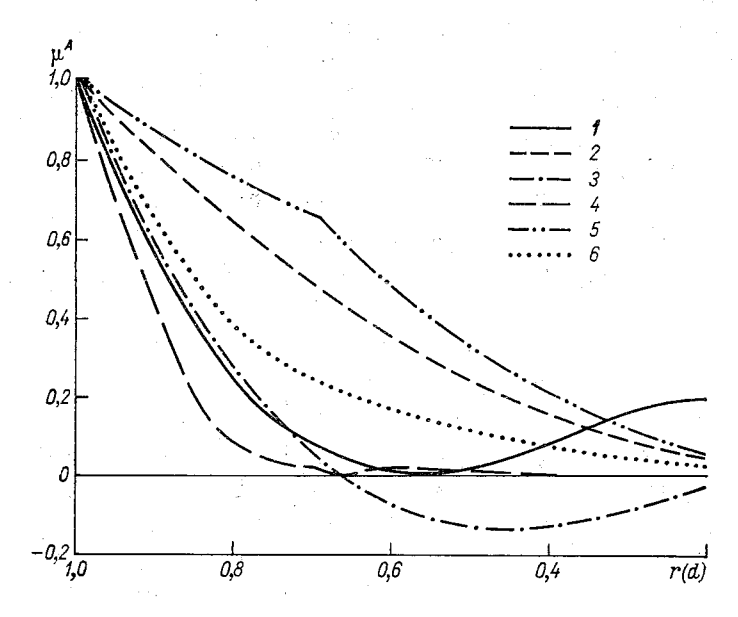


Рис. 2. Зависимость корреляции выборочных моментов от расстояния между парами станций (схема A) при корреляционных функциях $r_1(I-\mu_b(l,d);\; 2-\mu_R(l,d);\; 3-\mu_r(l,d))$ и $r_3(4-\mu_b(l,d);\; 5-\mu_R(l,d);\; 6-\mu_r(l,d))$.

Это видно, в частности, из рис. 2, на котором приводится зависимость коэффициентов корреляции между различными выборочными моментами от d для схемы A. При таком расположении точек для фиксированных l корреляция μ_b при увеличении d убывает до нуля, после чего имеет вторичный максимум. Для расположения точек по схеме B характерно монотонное убывание μ_b с увеличением расстояния d. Следует иметь в виду, что такой характер зависимости $\mu_b(l,d)$ в значительной мере определяется спецификой рассмотренных корреляционных функций (16). Для случайных функций другого вида эта зависимость мо-

ет измениться. Так, например, в случае «закона первой стеени»

$$r_1(l) = 1 - l/l_0 \tag{18}$$

удстановка в (15а) дает

$$\mu_b^{\mathbf{A}}(l, d) = \begin{cases} \left(\frac{l-d}{l}\right)^2 & \text{при } d \leqslant l \leqslant l_0, \\ 0 & \text{при } l \leqslant d \leqslant l_0. \end{cases}$$
(19)

4. Данные о пространственной связности отдельных значений зборочной структурной функции могут использоваться для опре-

ления точности расчета структурной функции.

Пусть оценка структурной функции для некоторой градации сстояний, срединное значение которой равно l, получается пум осреднения N моментов, соответствующих парам пунктов, сстояния между которыми лежат в пределах данной градати:

$$\hat{b}(l) = \frac{1}{N} \sum_{p=1}^{N} b_{i_p k_p}^*.$$
(20)

Дисперсия величины $\stackrel{\wedge}{b}(l)$ определяется формулой

$$\sigma_{h(l)}^2 = \sigma_{b(l)}^2 \stackrel{\wedge}{\mu_b}(l), \tag{21}$$

е, в соответствии с (12),

$$\sigma_{b(l)}^2 = \frac{2}{n} b^2(l) \tag{22}$$

ть дисперсия значения структурной функции для одной парычек, а

$$\stackrel{\wedge}{\mu_b}(l) = \frac{1}{N^2} \sum_{p=1}^{N} \sum_{q=1}^{N} \mu_b(i_p, k_p; i_q, k_q)$$
(23)

ть среднее из коэффициентов корреляции между всеми значеіями структурной функции, попавшими в данную градацию расояния.

Из формулы (23) видно, что вследствие положительной связсти между отдельными значениями выборочной пространствени структурной функции, точность ее с увеличением числа пар растет медленнее, чем это имело бы место при их независирсти. При увеличении числа пунктов, более или менее равнорно расположенных на фиксированной территории, величина

 $\mu_b(l)$ стремится не к нулю, а некоторой конечной величине. Пр таком предельном переходе выражение (23) преобразуето в кратный интеграл (подробнее см. [1]), вычисление которог определяет максимально возможную точность расчета структурной функции при использовании данных наблюдений за величной f на рассматриваемой территории.

Оценки величины μ_b , полученные таким образом для ква, ратов со стороной $L=l_0$ при экспоненциальной корреляционно функции r_3 , приводятся в табл. 2. Там же для сравнения прив дятся полученные в [1, 2]значениях средних по территории коэффициентов корреляци ковариаций и коэффициентов корреляци h_R и h_r соответственно h_r .

Таблица Зависимость $\stackrel{\wedge}{\mu_b},\stackrel{\wedge}{\mu_R}$ и $\stackrel{\wedge}{\mu_r}$ от $\emph{\textbf{l}}$ для квадратов со стороной $\emph{\textbf{L}}=\emph{\textbf{l}}_0$ $r(\emph{\textbf{l}})=\exp~\{-\emph{\textbf{l}}/\emph{\textbf{l}}_0\}$

_		<i>l/l</i> ₀									
þ.	0	0,2	0,4	0,6	0,8	1,0					
$\overset{\wedge}{\mu_{\boldsymbol{b}}}$	0,00	0,02	0,07	0,13	0,20	0,25					
${}^{\wedge}_{\mu_{R}}$	0,39	0,48	0,56	0,58	0,58	0,56					
$\stackrel{\wedge}{\mu_r}$	0,20	0,23	0,30	0,35	0,40	0,43					

Из табл. 2 видно, что осреднение значений структурной фунции, полученных для различных пар станций на рассматриваем площади, тем более уточняет структурную функцию, чем меньи значения аргумента l. Как уже указывалось ранее, уточнени значительно больше, чем соответствующее уточнение, достигаем при осреднении ковариационных и корреляционных моментов.

При увеличении размеров квадрата L значения μ_b уменьшются, что соответствует уменьшению ошибки выборочной стру турной функции.

Для экспоненциальной корреляционной функции r_3 завис мость μ_b от аргумента l и от стороны квадрата L удовлетвор тельно аппроксимируется формулой

$$\hat{\mu}_b(l, L) = 0.28 \frac{l^{1.6}}{l^{1.85}}.$$
 (2)

 $^{^1}$ Заметим, что в [1] значения $\mu_R(l)$ для этого случая вследствие ошиб в расчетах были приведены неточно. Здесь эта ошибка устранена.

го видно из рис. 3, на котором приводятся значения μ_b (l, L). ассчитанные по этой формуле (линии) и путем приближенного ычисления интегрального аналога формулы (23) (точки).

Подстановка (22) и (24) в (21) дает для корреляционной

ункции r_3

$$\frac{\vec{b}}{b} = 0.75 \frac{t^{0.8}}{n^{1/2} L^{0.92}}.$$
 (25)

Как показано в [1], оценками, типа полученных выше для задрата, можно приближенно пользоваться для областей осреднеія другой формы, лишь бы они были не слишком вытянутыми. этом случае входящий в (24) и (25) параметр L определяется ак сторона квадрата, имеющего ту же площадь S, что и область адания исходных данных, т. е.

$$L = \sqrt{S}. \tag{26}$$

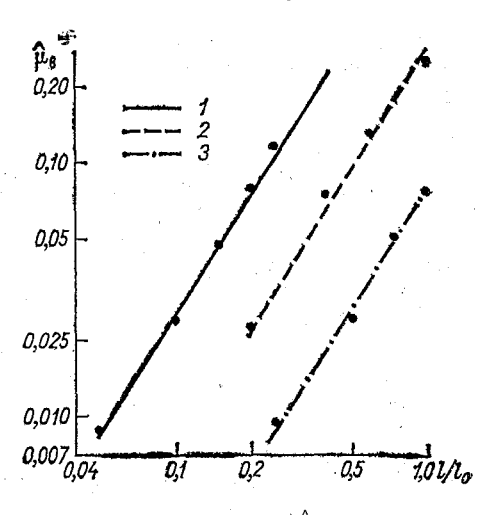
Значения погрешности (25) являются заниженными, поскольу при получении их предполагалось, что используются данные

аблюдений во всех точках бласти. Оценки показывают, днако, что при задании 50— 0 пунктов, равномерно расоложенных ПО территории, асхождениями между суммаи (23) и интегралами, полупредельном ающимися при ереходе, практически можно

ренебречь.

Для полей, структура котоых описывается корреляциоными функциями r_1 и r_2 , полутакие аппроксимационые формулы оказывается заруднительным. Для того чтоы дать представление о хаактере зависимости точности груктурных функций от их ргумента и от площади облаги осреднения, в табл. З при-

одятся значения µ_b для разичных корреляционных функ-



 $\mu_b(l, L)$ в слу-Рис. 3. Зависимость экспоненциальной корреляционной чае функции r_3 . $l-L=0.5l_0$; $2-L=l_0$; $3-L=2l_0$.

ий. С целью большей сопоставимости результатов, они даны не ля фиксированных значений аргумента, а для фиксированных начений корреляционной (а значит, и структурной) функции.

Из табл. 3 и из данных, приведенных в [1], следует, что из ассмотренных типов случайных полей при одном и том же объеме выборки характеристики статистической структуры опред ляются точнее всего для полей, описываемых корреляционне функцией r_3 . С наименьшей точностью характеристики структ ры определяются для полей, описываемых функцией r_1 .

 T а блица T а блица T Зависимость p_b от t для квадратов со стороной L

					$r_{-}(l)$			
r (L)	r	0,9	0,8	0,7	0,6	0,5	0,4	0,
0,3	r_1	0,23	0,28	0,31	0,34	0,37	0,39	0,42
	r_2	0,09	0,13	0,18	0,23	0,26	0,31	0,36
ug l	r_3	0,01	0,02	0,04	0,07	0,12	0,17	0,24
0,1	r_1	0,15	0,17	0,20	0 ,21	0,24	0,26	0,30
_3	r_2	0,05	0,06	0,08	0,09	0,12	0,15	0,19
_ 3	r_3	0,00	0,01	0,01	0,02	0,03	0,05	0,08
		į	.	1				·

В заключение отметим, что наиболее существенной особе ностью полученных оценок погрешностей выборочных структурных функций представляется их более быстрое уменьшение пр привлечении дополнительных данных по сравнению с ковариционными и корреляционными функциями. Если учесть, чт структурные функции имеют и некоторые другие практически преимущества по сравнению с последними (например, меньшу чувствительность к временной нестационарности поля), то в некоторых случаях может оказаться предпочтительным пользоваться структурными функциями, как более надежно определяемым на эмпирическом материале.

СПИСОК ЛИТЕРАТУРЫ

- 1. Қаган Р.-Л. О точности расчета пространственных корреляционных фунций. «Труды ГГО», 1973, вып. 308, с. 3—19.
- 2. Қаган Р. Л. О точности расчета пространственных корреляционных функций. II.—«Труды ГГО», 1974, вып. 336, с. 3—19.

К РАСЧЕТУ ВЕРОЯТНОСТИ ВЫБРОСА НОРМАЛЬНОЙ ПОСЛЕДОВАТЕЛЬНОСТИ

1. В ряде метеорологических задач приходится вычислять веятность выброса значений метеорологического элемента через данный уровень. Аналитически вероятность p(C) выброса ерх через уровень C случайной последовательности f на прожутке $[t_1, t_2]$ может быть найдена по формуле (см., например, $[t_1, t_2]$)

$$p(C) = \int_{-\infty}^{C} \int_{C}^{\infty} \varphi(x, y) \, dx dy, \tag{1}$$

 $\phi(x, y)$ — совместная плотность распределения значений поведовательности f в моменты времени t_1 и t_2 .

Для нормальных случайных величин интегральные двумерные ункции распределения затабулированы [2], что позволяет, исхониз формулы (1), с помощью таблиц вручную оценивать знания вероятностей выбросов нормальных последовательностей. рактически, однако, при проведении многократных расчетов зникает необходимость реализации алгоритма вычисления верятности выброса на ЭВМ.

В [3] для расчета на ЭВМ вероятности выброса нормальной оследовательности использовалась формула (1), приведенная виду

$$p(C, r) = \frac{1}{\sqrt{2\pi}} \int_{-\infty}^{c_1} e^{-\frac{x^2}{2}} \left[1 - \Phi\left(\frac{c_2 - rx}{\sqrt{1 - r^2}}\right) \right] dx.$$
 (2)

десь $c_1 = \frac{C-m_1}{\sigma_1}$, $c_2 = \frac{C-m_2}{\sigma_2}$ — нормированные уклонения урова C от математических ожиданий m_1 и m_2 величины f для мо-

ментов времени t_1 и t_2 соответственно, а σ_1 и σ_2 — соответств ющие средние квадратические отклонения; r — коэффициент ко реляции между значениями величины f в эти моменты времени,

$$\Phi(u) = \frac{1}{\sqrt{2\pi}} \int_{-\infty}^{u} e^{-\frac{z^2}{2}} dz$$

интеграл вероятностей. Двукратное интегрирование в форму.
 выполняется численно.

Более эффективный алгоритм расчета вероятности выбронормальной последовательности, требующий лишь однократночисленного интегрирования, может быть построен при использвании формулы [4]:

$$p(C, r) = \Phi(c_1) \left[1 - \Phi(c_2)\right] - \frac{1}{2\pi} \int_0^r \frac{1}{\sqrt{1 - x^2}} \exp\left(-\frac{c_1^2 - 2xc_1c_2 + c_2^2}{2(1 - x^2)}\right) dx$$

В частности, для случая стационарной последовательност для которой $m_1=m_2=m;$ $\sigma_1=\sigma_2=\sigma;$ $c_1=c_2=c,$ формула (приводится к виду

$$p(C, r) = \frac{1}{2\pi} \int_{r}^{1} \frac{1}{\sqrt{1-x^2}} \exp\left(-\frac{c^2}{1+x}\right) dx.$$

Подынтегральная функция в (4) имеет особенность при r что затрудняет непосредственное ее использование при высоки коэффициентах корреляции. Вместе с тем для оценки вероятност выброса последовательности с высокой временной связность оказывается возможным получить упрощенные формулы, осн ванные на асимптотическом разложении функции p(C, r) в орестности r=1, расчеты по которым можно производить дах без помощи вычислительной машины.

2. Рассмотрим сначала случай нормальной стационарной п следовательности. Анализ формулы (5) показывает, что пр $r \to 1$ вероятность p(C, r) пропорциональна $\sqrt{1-r}$. Поэтох удобно рассматривать величину y (c, r), определяемую форм лой

$$y(c, r) = (1-r)^{-\frac{1}{2}} p(C, r) = \frac{(1-r)^{-\frac{1}{2}}}{2\pi} \int_{r}^{1} \frac{1}{\sqrt{1-x^2}} \exp\left(-\frac{c^2}{1+x}\right) dx.$$
 (

Представим y(c, r) в виде разложения в ряд Тейлора в окр

гности r=1. Для нахождения производных этой величины восользуемся тождеством

$$2(1-r)\frac{\partial y(c, r)}{\partial r} - y(c, r) = -F(c, r), \tag{7}$$

де

$$F(c, r) = \frac{1}{\pi} (1+r)^{-\frac{1}{2}} \exp\left(-\frac{c^2}{1+r}\right).$$
 (8)

Функция F(c, r) не имеет особенностей при r>-1. Можно оказать, что для нее справедливо равенство

$$\frac{\partial^n F(c, r)}{\partial r^n} = \frac{1}{2^{2n}} \frac{\partial^{2n} F(c, r)}{\partial c^{2n}}.$$
 (9)

Последовательно дифференцируя (7) по r и учитывая, что роизводные от y(c, r) конечны, получаем

$$\left. \frac{\partial^n y(c, r)}{\partial r^n} \right|_{r=1} = -\frac{1}{1+2n} \left. \frac{\partial^n F(c, r)}{\partial r^n} \right|_{r=1}$$
 (10)

іли, согласно (9),

$$\frac{\partial^{n} y(c, r)}{\partial r^{n}}\Big|_{r=1} = -\frac{1}{(1+2n)2^{2n}} \frac{\partial^{2n} F(c, 1)}{\partial c^{2n}} = \frac{1}{\sqrt{\pi} (1+2n) \cdot 2^{2n}} \frac{\partial^{2n}}{\partial c^{2n}} \left[\frac{1}{\sqrt{2\pi}} \exp\left(-\frac{c^{2}}{2}\right) \right] = \frac{\sqrt{2}}{2\pi(1+2n) \cdot 2^{2n}} \exp\left(-\frac{c^{2}}{2}\right) H_{2n}(c), \tag{11}$$

де $H_{2n}\left(c
ight)$ — полиномы Чебышева — Эрмиата [5]. С учетом (11) разложение $y(c,\ r)$, в ряд Тейлора в окрестноти r=1 будет иметь вид

$$y(c, r) = \frac{\sqrt{2}}{2\pi} \exp\left(-\frac{c^2}{2}\right) \sum_{i=0}^{\infty} (-1)^i \frac{(1-r)^i}{2^{2i} i! (1+2i)} H_{2i}(c).$$
 (12)

Подстановка (12) в (6) дает выражение для расчета вероятюсти выброса нормальной стационарной последовательности

$$p(C, r) = \frac{\sqrt{2(1-r)}}{2\pi} \exp\left(-\frac{c^2}{2}\right) \sum_{i=0}^{\infty} (-1)^i \frac{(1-r)^i}{2^{2i} i! (1+2i)} H_{2i}(c).$$
 (13)

Грактически полиномы $H_{2i}\left(c
ight)$ удобно находить по рекуррентной рормуле

$$H_{2i+2}(c) = (c^2 - 4i - 1) H_{2i}(c) - 2i(2i - 1) H_{2i-2}(c),$$
 (14)

$$H_0(c) = 1, \quad H_2(c) = c^2 - 1.$$
 (1)

Входящий в (13) ряд сходится при $-1 < r \le 1$. Скорость сходимости тем больше, чем меньше относительный уровень c. Онако даже при очень высоких значениях c=4 использование 1 членов разложения для любых положительных коэффициентов кореляции обеспечивает расчет вероятности с погрешностью, не провышающей 10^{-7} .

Наиболее удобно, однако, использовать формулу (13) пр высоких значениях коэффициентов корреляции, когда в ней мож но ограничиться несколькими первыми членами разложения. В многих случаях оказывается достаточным использование формул

$$p_0(C, r) = \frac{\sqrt{2(1-r)}}{2\pi} \exp\left(-\frac{c^2}{2}\right)$$
 (13)

ИЛИ

$$p_1(C, r) = \frac{\sqrt{2(1-r)}}{2\pi} \exp\left(-\frac{c^2}{2}\right) \left[1 - \frac{1}{12}(c^2 - 1)(1-r)\right], \quad (136)$$

получающихся при удержании в (13) одного или двух членс разложения.

Формула (13a) при $r \geqslant 0.5$ и $c \leqslant 1.5$ определяет вероятност выброса с относительной погрешностью, не превышающей 5° что в ряде случаев достаточно для практических приложени Для более высоких уровней точность этой формулы сравнительн невысока. Как видно из рис. 1, характеризующего погрешност двучленной формулы (136), последняя при $r \geqslant 0.8$ обеспечивае точность в пределах 5% даже для очень высоких уровне c = 4.

Заметим, что в указанном диапазоне изменения аргументо большая точность обеспечивается приведенными в [6] аппросимационными формулами:

$$p = \frac{1}{2\pi} \arccos r \exp\left\{-\frac{c^2}{2} - 0.095(1 - r) c^{1.85}\right\},\tag{16a}$$

$$p = \frac{1}{2\pi} \arccos r \exp \left\{ -(0.58 - 0.08r) c^2 \right\}. \tag{166}$$

В большинстве случаев, однако, предпочтительнее использование формул (13а) или (13б) как из-за простоты их непосредственного применения, так и благодаря возможности их уточнени путем привлечения следующих членов разложения.

3. Для случая нестационарной нормальной последовательности, характеризующейся не очень большой вариацией матем

ического ожидания и среднего квадратического отклонения от ілена к члену, естественно представить вероятность выброса

$$p(C, r) = \frac{1}{2 \pi \sigma_1 \sigma_2 \sqrt{1 - r^2}} \times$$

$$\times \int_{-\infty}^{C} \int_{C}^{\infty} \exp\left\{-\frac{(x - m_1)^2 - 2r(x - m_1)(y - m_2) + (y - m_2)^2}{2 \sigma_1 \sigma_2 (1 - r^2)}\right\} dx dy =$$

$$= \frac{1}{2 \pi \sqrt{1 - r^2}} \int_{-\infty}^{c_1} \int_{c_2}^{\infty} \exp\left\{-\frac{u^2 - 2ruv + v^2}{2(1 - r^2)}\right\} du dv = f(c_1, c_2)$$
 (17)

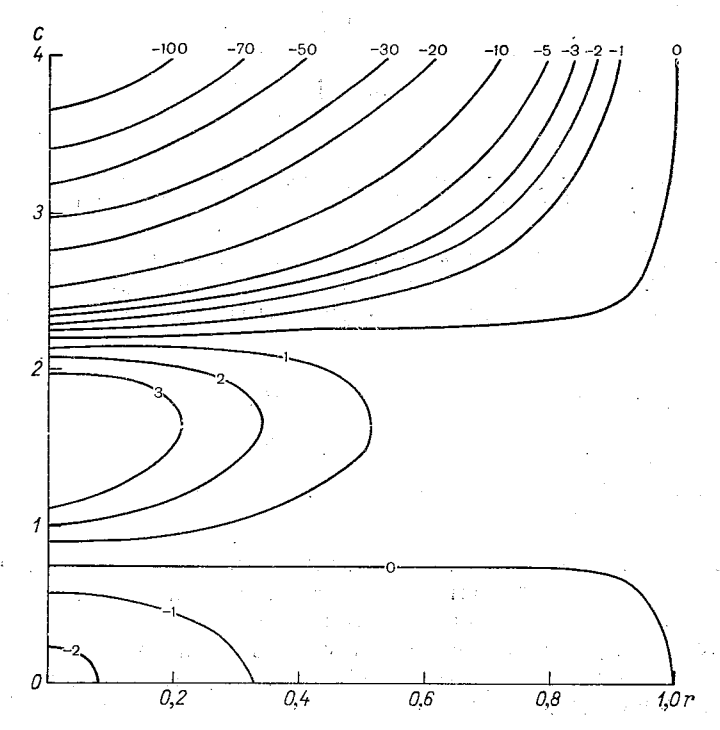


Рис. 1. Относительная погрешность (%) определения вероятности выброса по формуле (13 б).

в виде разложения в ряд

$$f(c_1, c_2) = f(c_1, c_1) + \frac{\partial f(c_1, c_2)}{\partial c_2} \Big|_{c_2 = c_1} (c_2 - c_1) + \frac{1}{2} \frac{\partial^2 f(c_1, c_2)}{\partial c_2^2} \Big|_{c_2 = c_1} (c_2 - c_1)^2 + \dots$$
(18)

Дифференцируя $f(c_1, c_2)$ по второму аргументу, получаем:

$$A_{1} = \frac{\partial f(c_{1}, c_{2})}{\partial c_{2}} \Big|_{c_{2}=c_{1}} = -\frac{1}{\sqrt{2\pi}} \exp\left(-\frac{c_{1}^{2}}{2}\right) \Phi\left(c_{1} \sqrt{\frac{1-r}{1+r}}\right);$$

$$A_{2} = \frac{\partial^{2} f(c_{1}, c_{2})}{\partial c_{2}^{2}} \Big|_{c_{2}=c_{1}} = \frac{1}{\sqrt{2\pi}} \exp\left(-\frac{c_{1}^{2}}{2}\right) \times$$

$$\times \left[c_{1} \Phi\left(c_{1} \sqrt{\frac{1-r}{1+r}}\right) + \frac{r}{\sqrt{2\pi(1-r^{2})}} \exp\left(-\frac{c_{1}^{2}}{2} \frac{1-r}{1+r}\right)\right];$$

$$A_{3} = \frac{\partial^{3} f(c_{1}, c_{2})}{\partial c_{2}^{3}} \Big|_{c_{2}=c_{1}} = \frac{1}{\sqrt{2\pi}} \exp\left(-\frac{c_{1}^{2}}{2}\right) \times$$

$$\times \left[-\left(c_{1}^{2}-1\right) \Phi\left(c_{1} \sqrt{\frac{1-r}{1+r}}\right) + \frac{2rc_{1}}{\sqrt{2\pi(1-r^{2})}} \frac{1}{1+r}\right) \exp\left(-\frac{c_{1}^{2}}{2} \frac{1-r}{1+r}\right)\right]. \tag{18}$$

Аналогично можно получить выражение и для следующи производных. Практически во многих случаях достаточно удержания в (18) первых членов. В результате могут использоваться формулы

$$p_2(C, r) = f(c_1, c_1) + A_1(c_2 - c_1) \tag{20}$$

или

$$p_3(C, r) = f(c_1, c_1) + A_1(c_2 - c_1) + \frac{1}{2} A_2(c_2 - c_1)^2.$$
 (21)

Здесь $f(c_1, c_1)$ — вероятность выброса через уровень C стацио нарной последовательности с математическим ожиданием m и средним квадратическим отклонением σ_1 .

Заметим, что при не очень больших значениях уровня c_1 и до статочно больших r в формуле (19) для A_1 можно использовать приближенное выражение

$$\Phi\left(c_1\sqrt{\frac{1-r}{1+r}}\right) \approx \frac{1}{2}\left(1 + \frac{c_1}{\sqrt{\pi}}\sqrt{1-r}\right). \tag{22}$$

Учитывая его, можно использовать приближенную формулу

$$p_{4}(C, r) = f(c_{1}, c_{1}) - \frac{1}{2\sqrt{2\pi}} \times \exp\left(-\frac{c_{1}^{2}}{2}\right) \left(1 + \frac{c_{1}}{\sqrt{\pi}}\sqrt{1-r}\right) (c_{2} - c_{1}).$$
 (23)

Точность формул (20), (21) и (23) зависит от степени нестационарности исследуемого процесса. При $|\Delta c| = |c_2 - c_2| < 0,1$ эти формулы обеспечивают достаточную точность расчета вероятности выброса даже для очень высоких уровней c_1 . Это хорошо зидно, например, из табл. 1, в которой приводятся оценки вероятности выброса для уровня c_1 =3, полученные по точной формуле (4) и по формулам (20), (21) и (23). При Δc =0,05 отклонения значений, полученных по формуле (20) и даже по формуле (23).

Таблица 1 Вероятность выброса нестационарной последовательности для c_1 =3 при расчете по точной формуле (p) и приближенным формулам (p_2, p_3, u, p_4)

	l						Δc						
r	0		0,0	5			0,1					0,2	_
	10 ⁶ p	10 ⁶ p	$10^6 p_2$	$10^{6} p_{3}$	10 ⁶ p ₄	10 ⁸ p	$10^{6} p_{2}$	10 ⁶ p ₃	10 ⁶ p ₄	10 ⁸ p	10 ⁶ p ₂	10 ⁶ p ₃	10 ⁶ p
0	1348	1143	1127	1143	105 0	967	906	972	751	686	463	728	155
0,1	1345	1140	1124	1141	1056	964	903	970	768	684	462	727	190
0,2	1338	1134	1118	1135	1060	959	898	9 6 5	781	680	45 8	723	224
0,3	1326	1123	1108	1124	1058	950	889	955	791	673	452	715	255
0,4	1301	1104	1088	1104	1048	932	872	937	792	659	440	701	280
0,5	1268	1071	1056	1072	1025	903	843	908	781	636	419	678	294
0,6	1210	1019	1003	1020	989	856	797	861	751	5 9 8	383	640	292
0,7	1120	937	921	937	906	781	723	786	693	537	326	5 80	266
0,8	978	807	791	807	783	6 6 3	605	668	588	441	232	484	199
0,9	799	588	572	588	569	464	405	470	399	•281	71	329	59

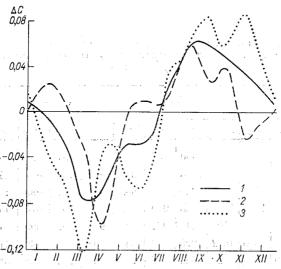
от полученных по точной формуле, лежат в пределах нескольких процентов. Погрешность расчетов по формуле (21) находится в пределах 0,1%. При Δc =0,1 погрешность формул (20) и (23) может превышать 10%, однако погрешность формулы (21) лежит, как правило, в пределах 1%. При Δc =0,2 погрешность даже этой формулы может превысить 10%. Очевидно, при такой нестационарности ряда необходимо использовать более точные формулы.

Исходя из сказанного, можно решать вопрос о возможности использования приближенных способов учета нестационарности ряда при расчете вероятностей выбросов. Рассмотрим в качестве примера ряды средней суточной температуры воздуха. На рис. 2 приводятся значения Δc , характеризующие нестационар-

ность этих рядов для ГМС Москва— Сельскохозяйственная ака демия. Они вычислены по формуле

$$\Delta c = \frac{(m_1 - m_2) + c_1(\sigma_1 - \sigma_2)}{\sigma_2}.$$
 (24)

Значения m и σ для этой станции получены авторами в [7].



Из рис. 2 видно, что в этом случае нестационарность в течение года практически укладывается в пределы $|\Delta c| < 0.1$, что делает возможным использование приведенных выше упрощенных формул. В случае рассмотрения этих рядов не в суточной, а в какой-либо другой дискретности, мера нестационарности Δc , естественно, должна быть увеличена (например, для декадной дискретности — в 10 раз). В таких случаях необходим более тщательный учет нестационарности ряда.

СПИСОК ЛИТЕРАТУРЫ

- Свешников А. А. Прикладные методы теории случайных функций. М., «Наука», 1968, 463 с.
- 2. Смирнов Н. В., Большев Л. Н. Таблицы для вычисления функции двумерного нормального распределения М., Изд. АН СССР, 1962-204 с.

- Каган Р. Л., Федорченко Е. И. О расчете статистических характеристик выбросов случайной функции. «Труды ГГО», 1970, вып. 268, с. 146—172.
- . Крамер Г., Лидбеттер М. Стационарные случайные процессы. М., «Мир», 1969. 398 с.
- Кендалл М., Стьюарт А. Теория распределений. М., «Наука», 1966, 587 с.
- Анискин Л. В., Персии С. М. О погрешности измерения экстремальных значений случайного процеса.—«Труды ГГО», 1972, вып. 292, с. 12—25.
- . Каган Р. Л., Федорченко Е. И. О восстановлении годового хода моментов метеорологических рядов. См. наст. сборник.

Buthwell of Stroyle District

《新新》的 1000年 -
О ВЛИЯНИИ ДИСКРЕТНОСТИ ИЗМЕРЕНИЙ НА ТОЧНОСТЬ ОПРЕДЕЛЕНИЯ ЧИСЛА ВЫБРОСОВ СЛУЧАЙНОГО ПРОЦЕССА

1. Ввеление

Одной из важных статистических характеристик случайного процесса является среднее число выбросов его через тот или иной уровень на интервале заданной длины. Применительно к ме теорологическим рядам эта характеристика позволяет судить о повторяемости и о продолжительности периодов, в течение ко торых интересующий нас метеорологический элемент превышае какие-либо существенные для практики пороговые значения Практически число выбросов метеорологических процессов при ходится в большинстве случаев определять путем обработки рядов наблюдений, выполненных в дискретные моменты времени. Не обходимо уметь оценивать влияние дискретности отсчетов на статистические характеристики выбросов временных рядов.

Некоторые оценки влияния дискретности отсчетов на точности определения среднего числа выбросов процесса были выполнень авторами в [1]. При этом считалось, что дискретизация приводит к тому, что вместо числа выбросов процесса определяется число выбросов соответствующей последовательности. Поскольку при определении выбросов случайной последовательности предпо лагается, что в промежутке времени между измерениями значения процесса изменяются монотонно, это приводит к заниженим числа выбросов, тем большему, чем больще интервал временимежду измерениями. С этой точки зрения может создаться впе чатление, что для правильной оценки числа выбросов выгодно производить возможно более частые измерения.

В действительности дело обстоит так лишь в идеализирован ном случае отсутствия ошибок наблюдений. В реальных условиях в процессе обработки фиксируются как действительные вы бросы измеряемой величины, так и фиктивные «выбросы» за счет ошибок измерений. Удельный вес последних тем больше

ем чаще производятся измерения. В пределе, при очень частых змерениях, все зафиксированные выбросы могут оказаться фикивными¹. Завышение числа выбросов за счет ошибок измерения принципе может быть уменьшено путем надлежащего сглажиания данных наблюдений в процессе измерений или обработки. обычных условиях, когда это не предусмотрено, единственным утем уменьшения числа фиктивных выбросов оказывается дикретизация отсчетов.

При увеличении интервала между измерениями число фиктивых выбросов за счет ошибок наблюдения уменьшается, но увеничвается число пропущенных реальных выбросов. Очевидно, ожно ставить вопрос о выборе оптимальной в некотором смысе дискретности отсчетов аналогично тому, как это делается при ценке точности конечно-разностного представления производ-

ых (см., например, [3]).

В настоящей статье рассматривается постановка этой задачи получаются некоторые численные оценки. Наряду с качественым анализом влияния дискретизации отсчетов показаны пути олучеиия простых количественных критериев выбора оптимальой дискретности измерений. Мы ограничимся оценками для норального стационарного процесса, для которого расчеты выполяются наиболее просто. Ясно, однако, что аналогичные резульаты могут быть получены и для случайных процессов другого ида.

2. Постановка задачи

Пусть производятся измерения нормального стационарного роцесса f(t), для которого полагаем известными математичекое ожидание m, среднее квадратическое отклонение σ_f и кореляционную функцию $r_f(\tau)$. Указанные характеристики полнотью определяют статистические свойства процесса. В частности, спользуя их, можно определить среднее число выбросов черезровень C на интервале времени T по формуле

$$\overline{N}_c(0) = \frac{T}{2\pi} \sqrt{-r_f'(0)} e^{-\frac{c^2}{2}}, \tag{1}$$

де $c=\frac{C-m}{\sigma_f}$ — относительное отклонение уровня C от матема-

¹ К аналогичному с формальной точки зрения завышению числа выбросов тожет приводить учет микромасштабных пульсаций измеряемой величины, возействие которых в рамках рассматриваемой задачи (например, при расчете грочности строительных конструкций) является пренебрежимо малым. Так, работе В. Н. Иванова и Р. Л. Стратоновича [2] показано, что учет высоковастотных пульсаций приводит к завышению числа выбросов скорости ветра несколько порядков.

тического ожидания, а $r_f^{''}(0)$ представляет собой вторую пре

изводную 1 корреляционной функции $r_f(\tau)$ при $\tau=0$.

Поскольку процесс считается стационарным, среднее числ выбросов вверх и вниз через каждый уровень совпадает. Дл определенности можно считать, что речь идет о числе выбросо вверх. Для нормального процесса знак относительного отклонения не играет роли. Мы ограничимся рассмотрением случа C > m (c > 0) и будем говорить о высоких и низких уровнях имея в виду абсолютные значения этого отклонения. Полученые результаты будут справедливы и для уровней C < m. Тат уровням C и $C_1 = 2m - C$ соответствуют относительные отклонения c и $c_1 = -c$, так что статистические характеристики числ выбросов для них совпадают.

 $\dot{\mathbf{B}}$ ходе измерений вместо истинных значений f получаются ве

личины

$$\widetilde{f}(t) = f(t) + \delta(t). \tag{2}$$

Полагаем, что ошибка измерений $\delta(t)$ имеет нормальное рас пределение с нулевым средним значением и не коррелирует с ве личиной f(t). Величина $\widetilde{f}(t)$, очевидно, также имеет нормальное распределение, и среднее число выбросов ее может быть определено по формуле (1) после замены в ней истинных статистиче ских характеристик процесса характеристиками этой величины.

Рассмотрим для простоты случай, когда корреляция ошибк затухает со временем по тому же закону, что и корреляция из меряемой величины, а различие состоит лишь в масштабах кор

реляции. В этом случае

$$r_{\delta}(\tau) = r_f(k\tau), \tag{3}$$

где $k=\frac{T_f}{T_\delta}$, T_f и T_δ — масштабы корреляции величин f и δ со ответственно.

Нетрудно видеть, что при сделанных предположениях

$$\sigma_f^2 = (1 + \eta^2) \, \sigma_f^2, \tag{4}$$

$$r_{\widetilde{f}}(\tau) = \frac{r_f(\tau) + \eta^2 r_f(k \tau)}{1 + \eta^2},$$
 (5)

где $\eta^2 \! = \! \frac{\sigma_\delta^2}{\sigma_f^2} -$ мера ошибок наблюдения.

 $^{^1}$ Предполагается, что эта производная существует, так что процесс f(t) является дифференцируемым.

Из (5) следует, что

$$r_{\widetilde{f}}^{"}(0) = \frac{1 + \eta^2 k^2}{1 + \eta^2} r_{\widetilde{f}}^{"}(0).$$
 (6)

Масштаб корреляции ошибок измерения $T_{\mathfrak{d}}$ естественно счить меньшим масштаба корреляции измеряемой величины, так о k>1 и $r_{\widetilde{f}}^{"}(0)>r_{f}^{"}(0)$. Обращаясь к формуле (1), видим, что о должно приводить к увеличению числа выбросов. В предельм случае некоррелированных ошибок измерений $k\to\infty$ и чисвыбросов безгранично возрастает.

Другим фактором, также приводящим к увеличению числа абросов, является завышение дисперсии и, следовательно, зажение входящего в формулу (1) относительного уровня *с*:

$$\widetilde{c} = \frac{C - m}{\sigma_{\widetilde{f}}} = \frac{c}{\sqrt{1 + \eta^2}}.$$
 (7)

Таблица 1

Зависимость увеличения (M_1) среднего числа выбросов случайного ощесса через уровень C=m (c=0) от ошибок измерений и масштаба их корреляции

	1					ķ				
η² 	1	2	5	10	15	20	30	50	100	∞
	1,00	1,00	1,00	1,00	1,00	1,00	1,00	1,00	1,0 0	1,00
,0001	1,00	1,00	1,00	1,00	1,01	1,02	1,04	1,11	1,41	∞
,001	1,00	1,00	1,01	1,05	1,11	1,16	1,38	1,58	3,32	∞
,005	1,00	1,01	1,06	1,22	1,45	1,73	2,34	3,63	7,12	∞
,01	1,00	1,02	1,11	1,41	1,81	2,22	3,15	5,07	10,0	∞
,02	1,00	1,04	1,21	1,71	2,32	2,97	4,32	7,02	14,0	∞
,05	1,00	1,07	1,46	2,39	3,41	4,47	6,55	10,9	21,8	∞
,1	1,00	1,13	1,78	3,16	4,62	6,11	9,08	15,1	30,1	∞

Подстановка в формулу (1) выражений (6) и (7) дает

$$\overline{N}_c(0) = \overline{N}_c(0) \sqrt{\frac{1 + \eta^2 k^2}{1 + \eta^2}} e^{\frac{1}{2}c^2 \frac{\eta^2}{1 + \eta^2}}$$
(8)

И

$$\widetilde{\widetilde{N}}_{c}(0) = \overline{N}_{c}(0) M_{1}(k, \eta) M_{2}(c, \eta), \qquad (9)$$

е множители $M_1(k,\ \eta)=\sqrt[]{rac{1+k^2\,\eta^2}{1+\eta^2}}$ и $M_2(c,\ \eta)=e^{rac{1}{2}\,c^2rac{\eta^2}{1+\eta^2}}$ харакризуют влияние первого и второго факторов. Представление об

их вкладе при некоторых значениях, входящих в них параметро дают соответственно табл. 1 и 2.

Из этих таблиц видно, что при небольших мерах ошибок и мерения ($\eta^2 < 0.01$) завышение числа выбросов процесса практ чески не зависит от высоты уровня C. Оно сколько-нибудь заме но лишь в тех случаях, когда масштаб корреляции ошибок и мерения значительно (по крайней мере на порядок) мены масштаба корреляции измеряемой величины. При больших зн чениях меры ошибок высота уровня сказывается лишь при зн чительном удалении его от математического ожидания (c>1.5)

Таблица

Зависимость увеличения (M_2) среднего числа выбросов процесса при масштабе корреляции ошибок $T_\delta = T_f$ от относительного уровня

	$c = \frac{C - m}{\sigma}$	И	от	меры	ешибок	измерения	процесса	η^2
_		_						

				c					
4,0	3,5	3,0	2,5	2,0	1,5	1,0	0,5	0	η²
1,00	1,00	1,00	1,00	1,00	1,00	1,00	1,00	1,00	0
1,00	1,00	1,00	1,00	1,00	1,00	1,00	1,00	1,00	0,0001
1,01	1,01	1,00	1,00	1,00	1,00	1,00	1, 0 0	1,00	0,001
1,04	1,03	1,02	1,02	1,01	1,01	1,00	1,00	1,00	0,005
1,08	1,06	1,04	1,03	1,02	1,01	1,00	1,00	1,00	0,01
1,17	1,13	1,09	1,06	1,04	1,02	1,01	1,00	1,00	0,02
1,46	1,34	1,24	1,16	1,10	1,05	1,02	1,00	1,00	0,05
2,08	1,74	1,49	1,32	1,20	1,11	1,05	1,01	1,00	0,1
					· '		<i>'</i>		0,1

Однако и в этом случае влияние мелкомасштабных шумов окзывается, как правило, более существенным, чем влияние сниж ния относительного уровня, характеризуемое множителем M_2 .

В случае, когда измерения процесса производятся через и тервалы времени Δ , судить о числе выбросов процесса оказыв ется возможным лишь на основании числа выбросов соответс вующей последовательности. В частности, среднее число выбросов в течение периода времени T может быть (см., наприме [4]) определено по формуле

$$\widetilde{\widetilde{N}}_{c}(\Delta) = \frac{T}{\Delta \sqrt{2\pi}} \int_{-\infty}^{\widetilde{c}} e^{-\frac{x^{2}}{2}} \left[1 - \Phi\left(\frac{\widetilde{c} - r_{1}x}{\sqrt{1 - r_{1}^{2}}}\right) \right] dx, \tag{10}$$

где $r_1 = r_{\widetilde{f}}(\Delta)$ — коэффициент корреляции между данными измерения величины f, полученными через интервал времени f

$$\Phi(x) = \frac{1}{\sqrt{2\pi}} \int_{-\infty}^{x} e^{-\frac{t^2}{2}} dt$$
 — интеграл вероятностей.

В отличие от формул (8) и (9), справедливых при любой рреляционной функции величины f, соотношение между истиным средним числом выбросов и средним числом выбросов

 $c(\Delta)$, фиксируемых при дискретных отсчетах через интервал Δ , соответствии с формулами (10) и (5), требует задания значей корреляционной функции $r_f(\Delta)$ и $r_f(k\Delta)$ и потому зависит от ида этой функции.

Мы ограничимся рассмотрением случайных процессов, кореляционные функции которых имеют вид

$$r_f(\tau) = \left(1 + \frac{\tau}{T_f}\right) e^{-\tau/T_f} \tag{11}$$

ЛИ

$$r_f(\tau) = e^{-\frac{1}{2}(\tau T_f)^2}.$$
 (12)

В обоих случаях
$$r_f''(0) = -\frac{1}{T_e^2}$$
, так что, согласно (1),

олучаем для периода времени \dot{T} истинное значение среднего исла выбросов процесса

$$\overline{N}_c(0) = \frac{1}{2\pi} \frac{T}{T_f} e^{-\frac{c^2}{2}}.$$
 (13)

С другой стороны, для этого же периода последовательность вмерений, интервал времени между членами которой составлять. Стара об
3. Оценка систематических ошибок в определении числа выбросов

Приведем некоторые результаты сопоставления величин $\overline{N_c}(0)$

 $N_c(\Delta)$, полученные таким образом для различных дискретнотей измерений и при различном уровне ошибок измерения η_2 .

Таблицы 3 и 4 иллюстрируют влияние дискретности отсчетов ля случайных процессов, корреляционные функции которых писываются соответственно формулами (11) и (12). В этих таб-

ицах приводятся значения отношения $u_c(\Delta) = \widetilde{N}_c(\Delta)/\overline{N}_c(0)$ для ровня c = 0 (т. е. C = m) при фиксированном значении $\eta^2 = 0,01$.

Из табл. 3 и 4 видно, что при малых интервалах между изерениями имеет место систематическое завышение числа выброов последовательности по сравнению с истинным числом выброов для процесса. Это завышение тем больше, чем больше паметр k, т. е. чем меньше масштаб корреляции ошибок измений. При больших интервалах Δ полученное в результате

измерений число выбросов меньше истинного числа выбросов процесса. Для каждого значения k существует такой интервал ди кретизации Δ_0 , для которого среднее число выбросов, полученое путем обработки данных измерений, совпадает со средни числом выбросов процесса. Будем называть этот интервал оптимальным интервалом дискретизации. Значения этого интервал для разных k приводятся в предпоследних строках табл. 3 и Сравнение их показывает, что оптимальный интервал дискрети

T аблица Отношение среднего числа выбросов последовательности за уровень $c\!=\!0$ к истинному среднему числу выбросов процесса.

		$(r(\tau)=(1$	$\div \tau / T_f$) e	^{T}f ; η^{2}	0,01)		1
Δ					k		
T_f	r (Δ)	1	2	5	10	20	∞ .
0	1,000	1,00	1,02	1,11	1,41	2,22	∞
0,1	0,995	0,96	0,97	1,05	1,20	1,44	1,71
0,2	0,982	0,94	0,95	1,00	1,08	1,15	1,17
0,3	0,963	0,91	0,92	0,96	1,00	1,02	1,02
0,4	0,938	0,88	0,89	0,92	0,94	0,95	0,95
0,5	0,910	0,86	0,86	0,88	0,90	0,90	0,90
0,6	0,878	0,83	0,84	0,86	0,86	0,86	0,86
0,7	0,844	0,81	0,82	0,83	0,83	0,83	0,83
0,8	0,809	0,79	0,79	0,80	0,80	0,80	0,80
0,9	0,772	0,76	0,77	0,78	0,78	0,78	0,78
1,0	0,736	0,74	0,75	0,75	0,76	0,76	0,76
(Δ_0/T)	$(f)_{c=0}$	0	0, 0 3	0,21	0,30	0,32	0,33
$(\Delta_0/7)$		0.12	0.16	0.25	0.31	0.33	0.33

зации зависит не только от масштаба корреляции ошибок измерения, но и от корреляционной функции измеряемых величин.

Приведенные данные подтверждают, что в реальных условиях при наличии ошибок измерений очень большая частота измерений не только не обязательна, но и не желательна, поскольку она при водит к систематическим ошибкам при определении числа выбро сов процесса. Эти систематические ошибки тем больше, чем больше ошибки измерения; соответственно должен возрастать и опти мальный интервал Δ_0 . Представление о зависимости оптимально го интервала от меры ошибок наблюдения дают рис. 1 и 2, относящиеся к процессам с корреляционными функциями (11) и (12) соответственно.

Приведенные выше данные характеризуют число выбросов через уровень c=0, т. е. через математическое ожидание (применительно к метеорологическим рядам можно говорить о числе

ревышений нормы). Для других уровней упомянутые закономерости также имеют место, хотя и отмечаются некоторые колиственные различия. Основное различие состоит в том, что для исоких уровней при малых интервалах Δ между измерениями вышение числа выбросов оказывается еще большим, чем для =0, а при больших Δ пропускается большее число выбросов, чем ия c=0. Это связано с тем, что, как уже упоминалось (см. форулу (8)), для непрерывного процесса, а следовательно, и при мерениях с достаточно малым интервалом Δ наличие ошибок мерения сказывается тем больше, чем выше уровень. С другой ороны, чем выше уровень, тем меньше средняя продолжитель-

Таблица 4 Отношение среднего числа выбросов последовательности за уровень c=0 к истинному среднему числу выбросов процесса.

		$(r(\tau)=\epsilon$? 2	; $\eta^2 = 0.0$	91)		
Δ	1			,	k		
$\frac{\Delta}{T_f}$	r (Δ)	1	2	5	10	20	
0	1,000	1,00	1,02	1,11	1,41	2,22	∞
0,1	0,995	1,00	1,01	1,10	1,33	1,64	1,72
0,2	0,980	1,00	1,01	1,09	1,19	1,22	1,22
0,3	0,956	0,99	1,01	1,06	1,09	1,10	1,10
0,4	0,923	0,99	1,00	1,04	1,04	1,04	1,04
0,5	0,883	0,98	0,99	1,01	1,02	1,02	1,02
0,6	0,835	0,97	0,98	0,99	0 ,99	0,99	0,99
0,7	0,783	0,96	0,97	0,98	0,98	0,98	0,98
0,8	0,726	0,95	0,96	0,96	0,96	0,96	0,96
0,9	0,667	0,93	0,94	0,94	0,94	0,94	0,94
1,0	0,607	0,92	0,92	0,93	0,93	0,93	0,93
(Δ_0/T_f)	$c_{c=0}$	0	0,38	0,57	0,57	0,57	0,57
(Δ_0/T_f) (Δ_0/T_f)	$c_{=3}$	0,32	0,36	0,43	0,44	0,44	0,44

ость выброса, что приводит к увеличению вероятности пропуска иброса процесса при больших интервалах времени между изерениями.

В результате оптимальный интервал дискретизации для выких уровней может существенно отличаться от оптимального тервала для уровня c=0. В качестве примера в последних строх табл. 3 и 4 приведены значения Δ_0/T_f для уровня c=3.

При организации наблюдений, разумеется, необходимо уставливать какую-то единую дискретность отсчетов. С практичеой точки зрения представляется наиболее целесообразным исрить из оптимальной дискретности для уровня c=0 при задан-

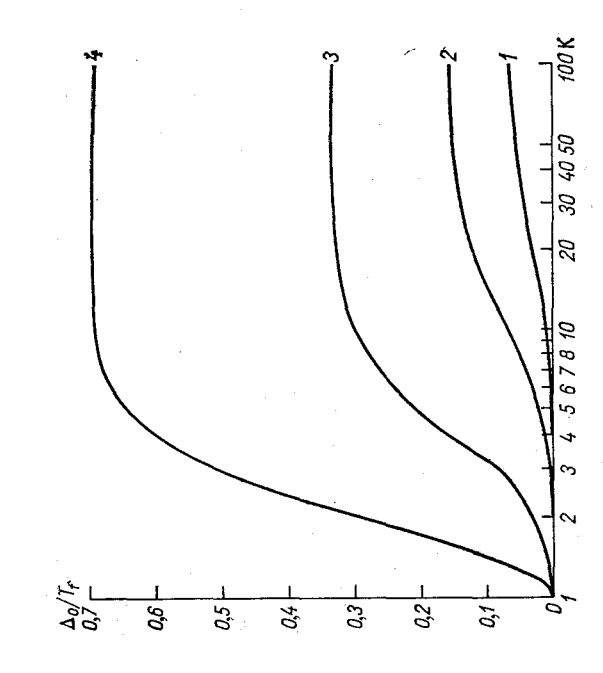


Рис. 1. Зависимость оптимального интервала между измерениями от меры ошибок и масштаба их корреляции. c=0, корреляционная функция (11).

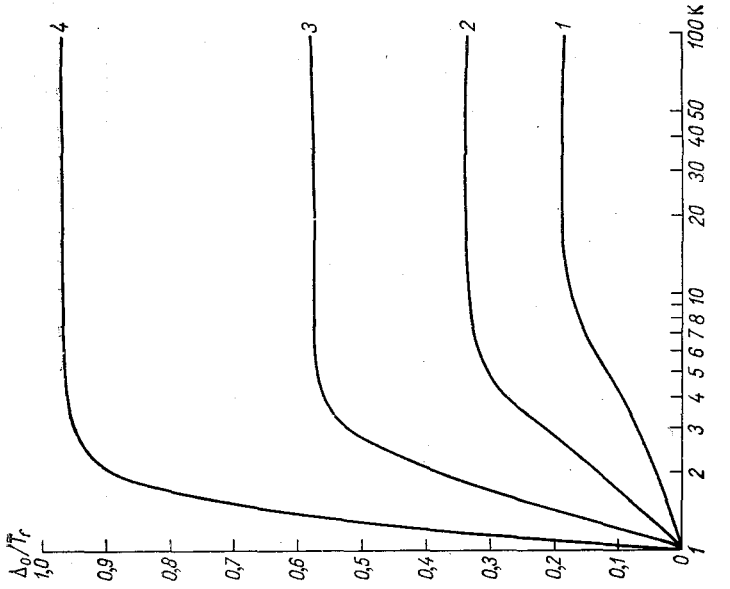


Рис. 2. Зависимость оптимального интервала между измерениями от меры ошибок и масштаба их корреляции. c=0, корреляционная функция (12).

Усл. обозначения см. рис. 1.

й точности измерений. Как показано в [1], во многих случаях казывается целесообразным непосредственный расчет числа лбросов производить лишь для уровней, достаточно близких норме, а среднее число выбросов для высоких уровней полуть расчетным путем, используя эмпирические данные, полученле для низких уровней.

Как было показано выше, влияние дискретности отсчетов льно зависит от степени коррелированности ошибок измереія, которая в свою очередь, определяется используемой системой мерений. Особый интерес представляет случай некорреливанных ошибок измерений ($k=\infty$). При определенных услоях такими ошибками характеризуются данные стандартных теорологических наблюдений (например, за температурой и давнием воздуха) после первичной обработки, позволяющей ис-

тючить систематические ошибки наблюдений.

Для случая некоррелируемых ошибок также могут быть поучены таблицы типа табл. 3 и 4 для различных значений меры цибок наблюдений. Однако, учитывая сильную зависимость рельтатов от характеристик временной структуры, представляся более полезным нахождение общих формул, которые позволяи хотя бы приближенно получать нужные оценки для различих условий. Такие приближенные формулы удается получить, итывая, что при метеорологических измерениях наибольший этерес представляет обработка сравнительно точных измереій, для которых $\eta^2 \leqslant 0.01$, а связность метеорологических рядов ляется довольно высокой.

Как показано в [5], при достаточно высоких коэффициентах рреляции между смежными членами стационарной нормальной следовательности, можно вместо формулы (10) использовать ыближенную формулу

$$\tilde{\tilde{N}}_{c}(\Delta) = \frac{1}{2\pi} \frac{T}{\Delta} e^{-\frac{c^{2}}{2}} \sqrt{2(1-\tilde{r}_{1})} \left\{ 1 - \frac{1}{12} (c^{2} - 1)(1-\tilde{r}_{1}) \right\}.$$
 (14)

Представим ее в несколько видоизмененной форме

$$\bar{\tilde{N}}_{c}(\Delta) = \frac{1}{2\pi} \frac{T}{\Delta} e^{-\frac{c^{2}}{2}} \sqrt{2(1-\tilde{r}_{1}) - \frac{c^{2}-1}{3}(1-\tilde{r}_{1})^{2}}.$$
 (15)

Из сравнения (15) и (13) следует, что

$$v_c(\Delta) = \frac{\bar{N}_c(\Delta)}{\bar{N}_c(0)} = \frac{T_f}{\Delta} \sqrt{2(1 - \tilde{r}_1) - \frac{c^2 - 1}{3} (1 - \tilde{r}_1)^2}.$$
 (16)

Будем представлять корреляционную функцию процесса f при алых значениях сдвига времени т в виде разложения

$$r_f(\tau) = 1 - \frac{1}{2} \left(\frac{\tau}{T_f}\right)^2 + a \left(\frac{\tau}{T_f}\right)^3 + b \left(\frac{\tau}{T_f}\right)^4 + \dots$$
 (17)

Линейный член в (17) отсутствует, поскольку мы полага процесс дифференцируемым. В случае, если процесс дифференцируем дважды, в (17) отсутствует также кубический член, т. a=0. Так обстоит дело, например, в случае корреляционной фунции (12).

При некоррелированных ошибках наблюдений, из (5) след

ет, что

$$\tilde{r}_1 = \frac{r_f(\Delta)}{1 + n^2}.\tag{1}$$

Учитывая (17) и (18) и полагая меру ошибок наблюдений малой, получаем приближенное равенство

$$1 - \tilde{r}_1 = \eta^2 + \frac{1}{2} \left(\frac{\Delta}{T_f} \right)^2 - a \left(\frac{\Delta}{T_f} \right)^3 - b \left(\frac{\Delta}{T_f} \right)^4, \tag{1}$$

подстановка которого в (16) дает

$$v_c(\Delta) = \sqrt{1 - 2\left(\frac{T_f}{\Delta}\right)^2 \left\{ a\left(\frac{\Delta}{T_f}\right)^3 + \left(b + \frac{c^2 - 1}{24}\right)\left(\frac{\Delta}{T_f}\right)^4 - \eta^2 \right\}}. \quad (2)$$

Оптимальный выбор дискретности Δ соответствует обращени в нуль фигурной скобки в подкоренном выражении, что приводит к условию

$$a\left(\frac{\Delta_0}{T_f}\right)^3 + \left(b + \frac{c^2 - 1}{24}\right)\left(\frac{\Delta_0}{T_f}\right)^4 = \eta^2. \tag{2}$$

Для процессов, имеющих лишь первую производную, вторы членом левой части уравнения (21) можно пренебречь по сравнению с первым. Это означает, что для таких процессов при неког релированных ошибках измерений оптимальный интервал времени между измерениями мало зависит от уровня c и при задагной мере ошибок η^2 может приближенно определяться по формуле

$$\Delta_0 = T_f \sqrt[3]{\eta^2/a}. \tag{22}$$

В частности, для процессов с корреляционной функцией (11 a=1/3, так что

$$\Delta_0 = T_f \sqrt[3]{3 \, \eta^2}. \tag{23}$$

Для процессов, дифференцируемых дважды, a=0 и для определения оптимальной дискретности получаем формулу

$$\Delta_0 = T_f \frac{1}{b + \frac{c^2 - 1}{24}}. (24)$$

В эту формулу существенно входит высота уровня, для которого определяется число выбросов. Оптимальный интервал окавывается тем меньше, чем больше уровень c.

Например, для процессов с корреляционной функцией (12)

a = 0, и b = 1/8, так что

$$\Delta_0 = T_f \frac{4}{1 + \frac{c^2}{2}}. (25)$$

Из данных табл. 5, в которой приводятся оценки оптимальных интервалов дискретизации, полученные спомощью приближен-

Таблица 5 Расчетные ($\Delta_{\rm p}$) и фактические ($\Delta_{\rm 0}$) значения оптимального интервала при некоррелированных ошибках измерений

	Корреляц	ионная фун	сция (11)	Ко	рреляционна	я функция	(12)
η^2	Δ _p	Δ_0	T_f	Δ _p /	T_f	Δ	JT_f
	$\frac{\Delta_{\mathrm{p}}}{T_f}$	c=0	c=3	c=0	c=3	c=0	<i>c</i> =3
0,0001	0,07	0,07	0,07	0,19	0,12	0,19	0,13
0,001	0,14	0,14	0,15	0,33	0,23	0,33	0,23
0,005	0,25	0,26	0,26	0,50	0,32	0,49	0,36
0,01	0,31	0,33	0,33	0,59	0,38	0,58	0,44
0,02	0,39	0,41	0,44	0 ,70	0,46	0,67	0,56
0,05	0,53	0,55	0,67	0,88	0,57	0,83	0,80
0,1	0,67	0,69	0,93	1,05	0,68	0,96	>1,00

ых формул (23) и (25) и точные значения оптимальных интервалов, видно, что при c=0 формулы (23) и (25) дают хорошее огласование с фактическими данными во всем рассмотренном циапазоне изменений η^2 . Для высоких уровней c удовлетворительные результаты получаются лишь для $\eta^2 \leqslant 0.01$. Очевидно, что ограничения относятся также и к возможности использования приближенной формулы (20) для оценки систематической погрешности эмпирически определенного числа выбросов.

В качестве примера оценим целесообразную дискретность данных для расчета числа выбросов температуры и давления возчуха на станциях Северо-Запада Европейской территории СССР. Три этом ограничимся зимним периодом, для которого изменения только давления, но и температуры воздуха могут приближенно описываться как нормальный стационарный процесс.

По данным работы [6], временная корреляция давления воздуха, приведенного к уровню моря, для этого района в январе описывается формулой (11). При этом $T_f=30$ ч, а $\eta^2=0{,}001$. При дисперсии давления порядка 200 мбар² это соответствует среднег квадратической ошибке 0,45 мбар, что значительно превышает ин струментальную погрешность наблюдений, которая обычно (см. например, [7]) полагается равной около 0,2 мбар. Это превыше ние, по-видимому, связано с дополнительными погрешностями возникающими в ходе приведения давления к уровню моря.

По данным, полученным одним из авторов [8], временная кор реляция температуры воздуха в январе в Ленинграде для сдви гов по времени τ до 6 ч также удовлетворительно описывается формулой (11) при T_f =16 ч. Полагая среднюю квадратическую погрешность стандартных измерений температуры воздуха в пси хрометрической будке равной 0,2°C и учитывая, что для января дисперсия температуры составляет около 40 (°C)², получаем сновающенку меры ошибок наблюдений 1 2 =0,001.

Как уже указывалось, для корреляционной функции вида (11) в формуле (20) можно в первом приближении пренебречь членом в фигурных скобках, содержащим шаг измерения Δ в четвертой степени, а следовательно, и зависимостью от уровня, выбросы через который нас интересуют. В результате формула (20) прини

мает вид

$$v = \sqrt{1 + 2\eta^2 \left(\frac{T_f}{\Delta}\right)^2 - \frac{2}{3} \frac{\Delta}{T_f}}.$$
 (26)

Подстановка в нее конкретных значений параметров статистической структуры дает для давления на уровне моря

$$v_p \approx \sqrt{1 + \frac{1.8}{\Delta^2} - 0.022 \,\Delta},$$
 (26a)

а для температуры воздуха

$$v_{\theta} \approx \sqrt{1 + \frac{0.512}{\Delta^2} - 0.042 \,\Delta}.$$
 (266)

Интервал времени Δ между измерениями в этих формулах отсчитывается в часах.

Зависимость отношения ν от Δ , полученная таким образом, представлена в табл. 6.

Из табл. 6 следует, что при выборе $\Delta=1$ ч, т. е. при использовании данных ежечасных наблюдений, число выбросов, полученных при обработке фактических данных, будет сильно завы-

¹ Заметим, что для других сезонов дисперсия температуры существенно меньше, соответственно увеличивается мера ошибок наблюдений. Меняется также и характер временной корреляции. Выполнение оценок для этих сезонов представляется, однако, нецелесообразным прежде всего из-за существенной нестационарности температурных рядов для этих сезонов, делающей невозможным непосредственное применение полученных выше формул.

цено (на 21% для температуры, а для давления даже на 67%). Эчевидно, что полученные таким образом результаты требуют поледующей корректировки. Возможно, разумеется, вводить в процессе расчета числа выбросов какие-то процедуры фильтрации анных, например, путем неучета выбросов малой длительности, оторые при большой частоте наблюдений возникают главным образом за счет ошибок измерений. Однако разработка методики годобной фильтрации требует проведения специальных исследовний.

Таблица 6

Отношение среднего числа выбросов, полученного по данным наблюдений, к истинному среднему числу выбросов. Январь, Северо-Запад ЕТС

ча	сы.												1	2	3	4	5	6
Цав.	іениє	٠.									•		1,67	1,18	1,06	1,01	0,98	0,95
емі	те рат	У	oa	в	3,1	(y)	a						1,2 2	1,02	0,97	0,93	0,90	0,87

Наиболее простым путем уменьшения систематических ошибок вляется в настоящее время использование данных наблюдений, полученных через большие интервалы времени. Оптимальные этой точки зрения интервалы, в соответствии с формулой (23), оставляют 4,3 ч для определения выбросов давления на уровне моря и 2,3 ч для выбросов температуры воздуха.

Конечно, задание таких дробных интервалов практически негриемлемо, однако из табл. 6 видно, что использование трехчасового интервала дает гораздо более точные результаты, чем использование ежечасных данных. Это тем более существенно, что в натоящее время наблюдения на основной сети метеорологических танций СССР выполняются 8 раз в сутки, а данные ежечасных наблюдений, которые обычно рекомендуются для обработки такоо рода, имеются лишь для ограниченного числа станций.

4. Оценка случайных ошибок числа выбросов за счет дискретности отсчетов

Выбор оптимальной дискретности данных в соответствии с опизанной методикой позволяет исключить систематические ощибки определении среднего числа выбросов. Следует, однако, иметь виду, что он не обеспечивает получения правильных значений тругих статистических характеристик случайных процессов. В частности, при дискретизации отсчетов, в том числе и при оптимальной в нашем смысле дискретности, имеет место искажение растределения выбросов по длительностям. Оценка этих искажений введение соответствующих поправок являются затруднительными и для случая отсутствия ошибок наблюдений. При наличии этих ошибок соответствующие оценки еще более осложняются. Сложным является и вопрос об оценке случайных погрешносте определения числа выбросов, возникающих за счет дискретизации. Между тем представление хотя бы о порядке этих погрешностей иметь очень важно, поскольку от него зависит точность по лученных в ходе обработки данных о среднем числе выбросог равно как и объем подлежащих обработке данных.

Хотя аналитический расчет этих характеристик в принцип возможен, практически он требует преодоления очень больши вычислительных трудностей. Представляется поэтому, что дл этой цели наиболее подходящим является использование метод статистического моделирования. Этот метод в настоящее время до вольно хорошо разработан. Результаты применения его к расче ту некоторых характеристик выбросов приводятся в работе [9] Ниже мы рассмотрим пример, иллюстрирующий возможности ме тода статистического моделирования применительно к оценке случайных погрешностей числа выбросов процесса за счет дискрет ности измерений.

Авторы получали на ЭВМ М-220 реализации нормальных ста ционарных случайных последовательностей с нулевым математи ческим ожиданием, единичной дисперсией и с корреляционной функцией (11). Для этой цели использовалась приведенная в кни ге В. В. Быкова [10] рекуррентная формула

$$f_i = a_0 x_i + a_1 x_{i-1} - b_1 f_{i-1} - b_2 f_{i-2}. (27)$$

Здесь x_i — псевдослучайные числа, нормально распределенные с нулевым математическим ожиданием и единичной дисперсией а коэффициенты a_i и b_i определяются формулами a_i :

$$a_{0} = \sqrt{\frac{A_{1} \pm \sqrt{A_{1}^{2} - 4A_{0}}}{2}}; \quad a_{1} = \frac{A_{0}}{a_{0}};$$

$$b_{1} = -2 \rho; \quad b_{2} = \rho^{2}, \tag{28}$$

где Δ — интервал последовательности;

$$\begin{split} \rho &= e^{-\Delta/T_f}; \\ A_0 &= \rho^3 \Big(1 + \frac{\Delta}{T_f} \Big) - \rho \Big(1 - \frac{\Delta}{T_f} \Big); \\ A_1 &= 1 - 4 \, \rho^2 \, \frac{\Delta}{T_f} - \rho^4. \end{split}$$

Чтобы избежать искажения начала реализаций, первые два члена каждой из них находились по формулам:

$$f_1 = x_1;$$

$$f_2 = a_0 x_2 + r(\Delta) x_1 + \sqrt{1 - a_0^2 - (r(\Delta))^2} x_0.$$
 (29)

 $^{^1}$ В приводимых в [10] формулах для нахождения коэффициентов a_i и b_i содержится несколько опечаток. Здесь они устранены.

Легко убедиться путем последовательного расчета коэффицинтов корреляции между разными членами f_i реализаций, что для оделируемых в соответствии с этим алгоритмом последовательостей они в точности совпадают с соответствующими значения корреляционной функции (11). Возможные фактические разичия связаны лишь с несовершенством используемых стандартых программ выдачи псевдослучайных чисел, и, разумеется, ограниченным объемом фактически моделируемых объемов даных.

Оценка ошибок в определении числа выбросов за счет дис-

ретности отсчетов производилась следующим образом.

а. Моделировались «эталонные» реализации последовательноги, соответствующие столь частому измерению процесса, которе практически исключало бы пропуски выбросов процесса. Зактически в качестве эталонной дискретности принимался в большистве случаев интервал $\Delta_0 = 0.01T_f$. Для данной корреляционой функции она соответствует коэффициенту корреляции между межными членами последовательности $r(\Delta) = 0.99995$, что значивльно превышает корреляцию между последовательными отсчезми любых реально наблюдаемых метеорологических элементов.

б. Определялось число выбросов N_0 для каждой эталонной еализации. Систематическое занижение числа выбросов для выранной дискретности при отсутствии ошибок составляет, согласоформуле (26), около 0,3%. На вопросе о случайной погрешноги числа выбросов эталонной последовательности мы остановимся

иже.

в. Производилось прореживание эталонных реализаций путем

бора каждого второго, четвертого и т. д. их члена.

г. На полученные ранее величины f_i накладывались «ошибки мерений» δ_i , которые могут моделироваться надлежащим обрам. В данном случае для простоты использовались псевдослугиные числа $\delta_i = x_i \eta$, что соответствует некоррелированным ошибам измерения при мере ошибок η^2 .

д. Для каждой реализации производился расчет числа выбров N полученной последовательности «измерений» $\tilde{f}_i = f_i + \delta_i$ сравнение его с числом выбросов эталонной последовательности. азность $\Delta N = N - N_3$ и считается ошибкой определения числа вы-

осов процесса.

е. Путем осреднения по всем реализациям находились как хактеристики (средние арифметические и дисперсии) числа выосов N последовательностей при различной длине реализации различной дискретности их, так и соответствующие характериики ошибок в определении числа выбросов.

В ходе расчетов в большинстве случаев моделировалось по 0 независимых реализаций процесса. Лишь для длинных реалиций $(T > 5T_f)$ с целью экономии машинного времени модели-

валось по 200 реализаций.

В табл. 7 приводятся статистические характеристики числа высосов через уровни $c=0,\ c=1,\ c=2$ для моделированных по

приведенному алгоритму эталонных выборок. Для уровня c=0 наряду со средним числом выбросов \bar{N}_0 на реализации T и средним квадратическим отклонением числа выбросов σ_N для эталогной выборки, приводятся теоретические оценки среднего числ выбросов для процесса $\bar{N}(0)$, полученные по формуле (13), и дл последовательности с эталонной дискретностью $\bar{N}(\Delta_0)$, полученные по формуле (10). Сравнение их показывает, что занижени числа выбросов на эталонной выборке за счет дискретности е значительно меньше выборочных погрешностей, которые при использованном числе реализаций составляют несколько проценто от среднего числа выбросов.

Таблица Статистические характеристики числа выбросов эталонных выборок

T	Число		c=	=0		c=	=1 _	c=	=2
$\frac{T}{T_f}$	число реали- заций	N̄ (0)	$\overline{N}(\Delta_9)$	$ar{N}_{9}$	σN	Ñ₃	σ_N^{-}	\bar{N}_9	^о N-
1	500	0,159	0,159	0,156	0,38	0,104	0,34	0,018	0,13
2	500	0,317	0,317	0,332	0,52	0,184	0,44	0,036	0,20
3	500	0,477	0,476	0,486	0,64	0,300	0,53	0,070	0,2
5	500	0,796	0,793	0,780	0,74	0,478	0,68	0,094	0,30
7	200	1,114	1,110	1,110	0,83	[_	-
10	200	1,592	1,586	1,520	1,02		-	_	-
20	200	3,183	3,162	3,090	1, 2 3	_		-	· —
			}			[l i	- }

Из табл. 8 видно, что дисперсия числа выбросов последова тельности уменьшается с увеличением интервала между ее чл нами, однако это уменьшение сравнительно невелико. Это дае основание считать, что значения σ_N , полученные для эталонно реализации, могут быть с точностью до выборочной погрешност приписаны и моделируемому непрерывному процессу.

В табл. 8 приводятся данные о дисперсии числа выбросов лиш до уровня c=2. Для более высоких уровней число выбросов существенно уменьшается и получение надежных оценок методо статистического моделирования требует использования горази больших объемов данных. Практической необходимости в этом в было, поскольку известно, что для этих уровней распределения выбросов приближается к закону Пуассона, следовательно

$$\sigma_N \approx \sqrt{\overline{N_c(\Delta)}} \quad (c \geqslant 2).$$
 (36)

Среднее число выбросов последовательности с корреляционной ункцией (11) на реализации длины T при интервале Δ между ленами последовательности и отсутствии ошибок измерений, соответствии с формулами (13), (15) и (26), определяется прилиженным выражением

$$\overline{N_c}(\Delta) = \frac{1}{2\pi} \frac{T}{T_f} e^{-\frac{C^2}{2}} \left(1 - \frac{1}{3} \frac{\Delta}{T_f} \right). \tag{31}$$

Таблица 8 реднее квадратическое отклонение числа выбросов последовательности на реализации длины Т при различных интервалах между членами

			Δ	T_f	_	
$\frac{T}{T_f}$	0,01	0,02	0,05	0,10	0,20	0,50
			c=0			
1	0,38	0,37	0,37	0,37	0,35	0,33
2	0,52	0,52	0,51	0,50	0,49	0,45
3	0,64	0,63	0,62	0,61	0,58	0,53
5	0,74	0,74	0,73	0,71	0 ,68	0,65
7	0,84	0,84	0,82	0,82	0,81	0,74
10	1,02	1,02	0,98	0,97	0,94	0,86
20	1,23	1,23	1,2)	1,18	1,14	0,96
	•	ı		1	l	' .
			c=1			
1	0,34	0,34	0,33	0,37	0,35	0,33
2	0,44	0,44	0,42	0,41	0,40	0,36
3	0,53	0,53	0,52	0,51	0,48	0,44
5	0,68	0,67	0,66	0,65	0,63	0,59
	ı	•	c=2	•	'	
1	0,13	0,13	0,13	0,13	0,13	0,11
	1	1	1	1		l
2	0,20	0,20	0,20	0,18	0,18	0,18
3	0,28	0,28	0,28	0,28	0,28	0,24
5	0,30	0,30	0,30	0,30	0,30	0,28

Для не очень длинных реализаций пропуск выброса является равнительно редким событием. Поэтому при оценке средней вадратической ошибки определения числа выбросов за счет дисретности изменений при отсутствии ошибок измерений также

естественно исходить из закона Пуассона. В этом случае из (31 следует, что $\sigma_{\Delta N} \approx V \overline{\Delta N} \approx \sqrt{N} \cdot \frac{1}{N} \cdot \frac{\Delta}{T_f}$, так что

$$\sigma_{\Delta N} \approx \sqrt{\frac{1}{6\pi} \left(\frac{T}{T_f}\right) \left(\frac{\Delta}{T_f}\right)} e^{-\frac{c^2}{4}}.$$
 (32)

Из табл. 9, в которой приведены оценки величины $\sigma_{\Delta N}$, полученные методом статистического моделирования и путем расчет

Таблица Средняя квадратическая ошибка определения числа выбросов через уровень c=0 за счет дискретности измерений $r \ (\tau) = (1+\tau/T_f) \ e^{-\tau/T_f}; \ \eta^2 = 0$

						$\Delta_{I}T_{f}$				
$\frac{T}{T_f}$	\bar{N}	Pac		одом ста елирован	тистичес іия	ского	Pac	счет по	формуле	(32)
		0,02	0,05	0,10	0,20	0,50	0,01	0,02	0,20	0,50
1	0,159	0,04	0,04	0,09	0,13	0,18	0,02	0,03	0,07	0,16
2	0,317	0,04	0,11	0,13	0,17	0,25	0,03	0,05	0,10	0,23
3	0,477	0,06	0,12	0,13	0,20	0,31	0,04	0,06	0,13	0,28
5	0,796	0,05	0,12	0,16	0,27	0,38	0,05	0,07	0,16	0,36
7	1,114	0,00	0,10	0,17	0,23	0,34	0,06	0,09	0,19	0,43
10	1,592	0,00	0,14	0,21	0,33	0,48	0,07	0,10	0,23	0,50
20	3,183		0,23	0,27	0,45	0,69	0,10	0,14	0,32	0,52
	1			· .			[i			

по формуле (32), видно, что использование последней дает удоблетворительные результаты уже при c=0. Для высоких уровне согласование должно быть значительно лучшим. Приведенны в табл. 9 оценки для эталонной последовательности $\left(\frac{\Delta}{T_f}=0,01\right)$ показывают, что средняя квадратическая ошибка числа вы бросов для нее также составляет несколько процентов от истинного числа выбросов моделируемого процесса.

В случае наличия погрешностей измерения могут иметь мест как пропуски фактически существующих выбросов процесса, та и регистрация фиктивных выбросов. Ошибки в определении числя выбросов могут иметь разный знак и распределение их может н подчиняться закону Пуассона. Некоторые оценки для этого случая приводятся на рис. 3, на котором представлена зависимост от дискретности измерений отношения измеренного среднего числа выбросов к среднему числу выбросов для эталонной последо вательности и средней квадратической ошибки определения числя

бросов на реализации. Полученные для разной длины реалиции T зависимости $\mathbf{v}(\Delta)$ мало различаются между собой и пракчески совпадают с теоретической, которая представлена на с. 3.

Полученные данные нелогаточны для суждения о хаактере распределения ошиок числа выбросов и для наежного определения зависиости величины их от точости измерений. Тем не менекоторые закономерости они позволяют выявить. Наличие ошибок наблюдеприводит при большой 3 2 1

ис. 3. Зависимость от дискретности измерения Δ средней квадратической пибки $\sigma_{\Delta N}$ определения числа выбросов на реализации длиной T (сплошные нии) и отношения ν среднего числа выбросов последовательности с дискретьстью Δ к числу выбросов эталонной последовательности (штриховые линии). c = 0, корреляционная функция (11).

a) $\eta^2 = 0.001$, 6) $\eta^2 = 0.01$; 1) $T = T_f$, 2) $T = 2T_f$, 3) $T = 5T_f$.

устоте измерений не только к большим систематическим, но и к ольшим случайным ошибкам. Последние при малых интервалах искретности Δ убывают с увеличением Δ . При некоторой дискретости случайные ошибки достигают минимальных значений, после его рост интервала Δ приводит уже к увеличению уровня ошибок. (искретность, при которой достигается минимум случайных ошиок, может быть также названа оптимальной дискретностью измений. Она не совпадает с оптимальной дискретностью, опреденной нами выше как дискретность, при которой число выбросов оследовательности является несмещенной оценкой числа выброов процесса. Согласно полученным результатам, оптимальная

0,2:

дискретность в смысле минимума случайной ошибки числа в бросов соответствует измерениям через интервалы, большие, ч Δ_0 . Так, для рассматриваемого примера (см. также табл. 5) Δ_0 $=0.14T_f$ при $\eta^2=0.001$ и $\Delta_0=0.33T_f$ при $\eta^2=0.01$. Из рис. 3 с. дует, что минимальная ошибка достигается при $n^2 = 0.001$ для и тервалов около $0.2T_f$, а при $\eta^2 = 0.01$ минимум в рассмотренн диапазоне интервалов до $\Delta = 0.5T_f$ не обнаруживается. Вмес с тем, поскольку в области минимума ошибки сравнительно ма зависят от интервала Δ , представляется, что использование опт мального интервала Δ_0 может практически считаться обеспеч вающим и минимум случайных ошибок в определении числа в бросов.

Из сравнения рис. 3 с табл. 9 видно, что для оптимальной д скретности измерений уровень ошибок в определении числа в бросов повышается по сравнению с ошибками для случая обр ботки точных измерений той же дискретности. Для рассмотре ного примера это повышение составляет около 30%. Уточнен этих оценок и более детальный анализ влияния дискретности и мерения на статистические характеристики выбросов случайні процессов требует дальнейших исследований.

СПИСОК ЛИТЕРАТУРЫ

- 1. Каган Р. Л., Федорченко Е. И. О применении теории выбросов к следованию температурных рядов. — «Труды ГГО», 1970, вып. 267, с. 86
- 2. Иванов В. Н., Стратонович Р. Л. О числе серий выбросов турбулен ных пульсаций скорости. — «Метеорол. и гидрол.», 1972, № 11, с. 37—42
- 3. Каган Р. Л. О построении оптимальных конечно-разностных и квадрату ных формул для однородных и изотропных случайных полей. — И АН СССР, сер. физики атмосферы и океана, 1967, т. 3, № 6, с. 592—60 4. Свешников А. А. Прикладные методы теории случайных функций—1
- «Наука», 1968. 463 с.
- 5. Каган Р. Л., Федорченко Е. И. К расчету вероятности выбро нормальной последовательности. — См. наст. сборник.
- 6. Лугина К. М., Каган Р. Л. К вопросу о пространственно-временном а лизе барического поля. — «Труды ГГО», 1974, вып. 336, с. 75—94.
- 7. Наблюдения на гидрометеорологической сети СССР. Определение понят гидрометеорологических элементов и оценка точности наблюдений. Под ре
- О. А. Городецкого. Л., Гидрометеоиздат, 1970. 91 с. 8. Федорченко Е. И. О временной структуре ежечасных наблюдений за те пературой воздуха в Ленинграде. — См. наст. сборник. 9. Каган Р. Л., Канашкин В. К., Федорченко Е. И. О расчете хара
- теристик временных рядов методом статистического моделирования. «Т
- ды ГГО», 1972, вып. 286, с. 71—82. 10. Быков В. В. Цифровое моделирование в статистической радиотехнике. М., «Советское радио», 1971. 328 с.

О ВОССТАНОВЛЕНИИ ГОДОВОГО ХОДА МОМЕНТОВ МЕТЕОРОЛОГИЧЕСКИХ РЯДОВ

При исследовании структуры метеорологических рядов важное значение имеет оценка моментов их распределений (среднего значения, дисперсии, асимметрии, эксцесса). Для ряда задач существенно уметь определять моменты распределений для конкретных дней месяца. Укажем, например, на задачу расчета вероятностей выбросов метеорологических рядов, при решении которой, как показано в [1], для переходных месяцев необходимо учитывать внутримесячный ход моментов распределения. С определением ежедневных значений моментов связана и оценка средних за месяц значений моментов.

Получение моментов распределений на каждый день месяца эмпирическим способом очень трудоемко. Кроме того, значения моментов для конкретных дней месяца, полученные непосредственной обработкой данных наблюдений, имеют небольшую точность из-за ограниченности выборки, и поэтому результаты такого расчета затруднительно использовать без дополнительного сглаживания их.

Между тем, для метеорологических элементов, распределения которых приводятся в климатологических справочниках, можно попытаться решить обратную задачу, а именно: по данным о повторяемостях значений метеорологических элементов в месячных совокупностях восстановить значения моментов метеорологических элементов на каждый день месяца.

При этом необходимо иметь в виду, что по повторяемостям значений метеорологических элементов по данным наблюдений за месяц можно найти непосредственно лишь средние за месяц значения начальных моментов. Поскольку значения моментов в течение месяца изменяются, то для получения по начальным моментам значений центральных моментов необходимы дополнительные предположения о характере изменения моментов распределения во времени.

Пусть $m_k(t)$ и $\mu_k(t)$ — значения соответственно начального и центрального моментов k-того порядка в момент времени t (t—время в месяцах, отсчитываемое от начала года). Черта сверху в дальнейших обозначениях означает осреднение по промежутку

[i-1,i], где i— номер месяца. Например $\overline{m_k} = \int\limits_{t-1}^t m_k(t)\,dt$ — среднее за i-й месяц значение начального момента k-того поряд ка. Значения $\overline{m_k}$ можно найти непосредственным расчетом по повторяемостям значений метеорологических элементов, приводи мым в климатологических справочниках. Для нахождения сред него за i-й месяц значения центрального момента k-того порядка $\overline{\mu_k}$ необходимо знание не только средних значений начальных моментов $\overline{m_j}$ (j=1, 2, ..., k), но и хода $m_1(t)$ и $\mu_j(t)$ (j=2, ..., k-1) в течение рассматриваемого месяца.

Действительно, $\overline{\mu}_k$ ($k\!=\!2,\ 3,\ 4$) выражается через \overline{m}_k следую щим образом:

$$\overline{\mu_2} = \overline{m_2} - \overline{m_1^2}; \tag{1}$$

$$\overline{\mu_3} = \overline{m_3} - 3 \,\overline{\mu_2 \, m_1} - \overline{m_1^3}; \tag{2}$$

$$\overline{\mu_4} = \overline{m_4} - 4 \overline{\mu_3 m_1} - 6 \overline{\mu_2 m_1^2} - \overline{m_1^4}. \tag{3}$$

Например, чтобы определить $\overline{\mu_2}$, нужно знать не только \overline{m}_2 , но и $\overline{m_1}^2$. Для нахождения последнего необходимо задание хода $m_1(t)$ в течение месяца.

Таким образом, чтобы найти средние за месяц значения центральных моментов μ_k можно по среднему значению \overline{m}_1 восстановить ход $m_1(t)$, после чего по формуле (1) найти μ_2 и восстановить $\mu_2(t)$, затем по формуле (2) найти μ_3 и восстановить $\mu_3(t)$ и т. д., т. е. для нахождения μ_k достаточно задать алгоритм восстановления (способ интерполяции) внутримесячного хода моментов по данным об их средних значениях. При такой процедуре получения моментов задача нахождения среднего значения центрального момента k-того порядка эквивалентна задаче нахождения ежедневных значений момента (k-1)-го порядка.

Остановимся теперь на способах восстановления внутримесячного хода моментов.

В [1] был рассмотрен способ восстановления первых двух моментов распределения, который сводится к кусочной параболической интерполяции моментов для каждого месяца по данным о средних значениях этих моментов для рассматриваемого, предыдущего и последующего месяцев. Испытание этой методики на материале средней суточной температуры воздуха дало весьма удовлетворительные результаты. Вместе с тем подобная параболическая интерполяция, обеспечивая совпадение фактических средних за месяц значений моментов с расчетными, не предусматривает совпадения значений моментов на концах месяцев, в ре-

ультате чего моменты могут претерпевать скачки при переходе т одного месяца к другому. Это обстоятельство оказывается существенным при исследовании старших моментов распределения, ля которых использование параболической интерполяции может риводить к заметным искажениям. Поэтому при рассмотрении 3-го и 4-го моментов желательно использовать такие способы востановления их хода, которые обеспечивали бы непрерывность начений моментов в течение года.

Ниже будут рассмотрены два способа такого восстановления, снованные на применении рядов Фурье и метода сплайнов.

Опишем сначала алгоритм восстановления внутримесячного ода моментов по данным об их средних значениях, основанный использовании тригонометрической интерполяции.

Пусть X(t)— значение момента какого-либо порядка в момент ремени t (t— время в месяцах, отсчитываемое от начала года).

Будем искать X(t) в виде

$$X(t) = a_0 + 2\sum_{k=1}^{5} \left(a_k \cos \frac{\pi k}{6} (t - 6.5) + b_k \sin \frac{\pi k}{6} (t - 6.5) \right) + a_6 \cos(\pi (t - 6.5)).$$

$$(4)$$

Коэффициенты a_k (k=0, 1, ..., 6) и b_k (k=1, ..., 5) можно найти із условий:

$$\int_{i-1}^{t} X(t) dt = f_i \qquad (i = 1, 2, ..., 12),$$
 (5)

де f_i — средние значения моментов в i-й месяц, которые предпотагаются известными.

Решая систему (5), получаем:

$$a_{0} = \frac{1}{12} \sum_{i=1}^{12} f_{i};$$

$$a_{k} = \frac{\pi k}{12 \sin(\pi k/12)} \cdot \frac{1}{12} \sum_{i=1}^{12} f_{i} \cos\left(\frac{\pi k}{6} (i-7)\right) \quad (k=1, \ldots, 6);$$

$$b_{k} = \frac{\pi k}{12 \sin(\pi k/12)} \cdot \frac{1}{12} \sum_{i=1}^{12} f_{i} \sin\left(\frac{\pi k}{6} (i-7)\right) \quad (k=1, \ldots, 5). \quad (6)$$

Остановимся теперь на использовании для восстановления знутримесячного хода моментов сплайновой (кусочно-полиномизльной) интерполяции [2, 3].

Пусть на отрезке [a, b] задана сетка $a=x_0 < x_1 < ... < x_n=b$, узлах которой заданы значения g_i (i=0, ..., n) функции g(x), определенной на отрезке [a, b]. Под сплайн-функцией, интерпотирующей функцию g(x), обычно понимается функция h(x), на

промежутке $[x_{i-1}, x_i]$ (i=1, 2, ..., n) представляющая собой полином некоторой степени m < n-1, непрерывная на участке [a, b] вместе со своими производными до (m-1)-го порядка включительно и такая, что $h(x_i) = g_i (i=0, 1, ..., n)$. Для периодических с периодом (b-a) функций естественно условие $h^{(j)}(a) = h^{(j)}(b)$ (j=1, ..., m-1). Для непериодических функций для замыкания системы условий старшие производные в точках a, b обычно полагают равными нулю.

Наиболее употребительными являются сплайны — полиномы

З-й степени.

Интерполяция кубическими сплайнами оказывается эффективной на практике благодаря своему свойству минимума кривизны, которое заключается в том, что кубический сплайн h(x) минимизирует значение $\int_a^b (h''(x))^2 dx$ в классе функций, интерполирующих функцию g(x) и имеющих на [a, b] суммируемые

с квадратом вторые производные [2].

Для задания кубического сплайна h(x), интерполирующего периодическую с периодом (b-a) функцию g(x) на [a,b], нужно решить систему из 4n уравнений, неизвестными которой являются коэффициенты полиномов 3-й степени на отрезках $[x_{i-1},x_i]$. Причем n уравнений этой системы представляют собой условия $h(x_i) = g_i$, остальные 3n уравнений — условия непрерывности функции h(x) и ее первых двух производных в узлах x_i (i = 1, ..., n).

Поскольку нам необходимо восстановить внутримесячный ход моментов по их средним значениям, а не по значениям в точках, то для этой цели метод сплайнов приходится использовать в не-

сколько измененном виде.

$$X(t) = \begin{cases} A_{i-1} + B_{i-1} \left(t - i + \frac{3}{2}\right) + C_{i-1} \left(t - i + \frac{3}{2}\right)^{2} + \\ + D_{i-1} \left(t - i + \frac{3}{2}\right)^{3}, & t \in \left[i - 1, i - \frac{1}{2}\right], \\ A_{i} + B_{i} \left(t - i + \frac{1}{2}\right) + C_{i} \left(t - i + \frac{1}{2}\right)^{2} + \\ + D_{i} \left(t - i + \frac{1}{2}\right)^{3}, & t \in \left[i - \frac{1}{2}, i\right]. \end{cases}$$

$$(7)$$

 $^{^1}$ При выборе в качестве узлов x_i (i=1, ..., 12) границ месяцев сплайн, удовлетворяющий условиям (5), построить не удается.

Коэффициенты A_i , B_i , C_i и D_i (i=1, ..., 12) находятся из условий (5) и условий непрерывности X(t) вместе с первыми двумя оизводными в узлах x_i (i=1, ..., 12), которые имеют следующий x_i :

$$\begin{cases} \frac{A_{i-1}}{2} + \frac{3B_{i-1}}{8} + \frac{7C_{i-1}}{24} + \frac{15D_{i-1}}{64} + \frac{A_i}{2} + \frac{B_i}{8} + \frac{C_i}{24} + \frac{D_i}{64} = f_i; \\ A_i = A_{i-1} + B_{i-1} + C_{i-1} + D_{i-1}; \\ B_i = B_{i-1} + 2C_{i-1} + 3D_{i-1}; \\ 2C_i = 2C_{i-1} + 6D_{i-1}. \qquad (i = 1, \dots, 12). \end{cases}$$
(8)

Решение системы (8) из 48 уравнений можно свести к решеню системы уравнений 12-го порядка относительно коэффициень C_i :

$$\frac{1}{24}C_{i-2} + \frac{19}{6}C_{i-1} + \frac{115}{12}C_i + \frac{19}{6}C_{i+1} + \frac{1}{24}C_{i+2} = 8f_{i-1} - 16f_i + 8f_{i+1},$$
(9)

коэффициенты B_i , D_i , A_i найти последовательно по формулам:

$$B_{i} = f_{i+1} - f_{i} + \frac{1}{192} C_{i-1} - \frac{115}{192} C_{i} - \frac{77}{192} C_{i+1} - \frac{1}{192} C_{i+2}; \quad (10)$$

$$D_i = \frac{1}{3} C_{i+1} - \frac{1}{3} C_i; \tag{11}$$

$$A_{i} = f_{i} + \frac{1}{8} B_{i-1} + \frac{5}{24} C_{i-1} + \frac{17}{64} D_{i-1} - \frac{1}{8} B_{i} - \frac{1}{24} C_{i} - \frac{1}{64} D_{i}.$$

$$(12)$$

Указанные алгоритмы были реализованы на ЭВМ М-220 и исытаны на фактическом материале. В качестве примера ниже риведем некоторые результаты расчетов, выполненных на матенале наблюдений за температурой воздуха на ГМС Москва— ельскохозяйственная академия.

Для этой станции в качестве исходных использовались данные повторяемостях средних суточных температур воздуха, привеенные для каждого месяца года в [4], которые были получены утем обработки рядов наблюдений за 1881—1960 гг.

По повторяемостям были определены значения начальных могентов, по которым в соответствии с формулами (1)—(3) и с писанной выше процедурой были последовательно вычислены ак средние за месяц значения центральных моментов, так и еженевные их значения. При этом для восстановления внутримесячгого хода моментов использовались тригонометрический, сплайовый и описанный в [1] параболический способы интерполяции. По ежедневным значениям центральных моментов вычислялис значения на каждый день коэффициентов асимметрии A(t) и экспесса E(t), по которым получались также средние месячные значения этих характеристик. При расчете дисперсии $\sigma^2(t)$ с цель исключения влияния группировки данных вводилась поправи Шеппарда, но при получении асимметрии и эксцесса использова

Таблица Фактические и расчетные средние за месяц значения моментов (ГМС Москва — Сельскохозяйственная академия)

				3.4								
						Me	СЯЦ					
Характе- ристика	1	H _A	111	IV	V	VI	VII	VIII	IX .	X	X1.	XII
$\overline{\theta_1}$	10,6	9,5	-4,6	4,2	12,2	16,3	18,5	16,4	10,7	4,3	-2,1	<u>-7,</u>
$\frac{\overline{\theta}}{\sigma_1^2}$	-10,2 58,1	9,5 43,9	-4,5 26,0	4,2 15,6	12, 1 22,6	16,3 16,6	18,5	16,4 12,3	10,7 12,6	4,1 16,8	-2,1 24,3	—7,0 46,1
$\frac{\sigma_2^2}{\sigma_3^2}$	58,9	43,3	25,0	16,9	22,4	17,3	11,3	11,4	12,6	17,1	24,7	49,
$\frac{\sigma_3^2}{2}$	58,9	43,3	25,1	16,7	22,5	17,3	11,3	11,3	12,6	17,1	24,7	49,5
	58,9	43,2	25,6	18,4	22,3	17,3	11,3	11,7	13,0	17,1	25,0	49,5
\overline{A}_1	0,51	-0,25	0,52	-0,02	-0,08	-0,08	0,12	0,28			-0,64	-0,7
$\overline{A_2}$	0,53	-0,26	-0,40	0,26	0,07	-0,10	0,03	0,25	0,18	-0,22	-0,46	0,7
$\overline{A_3}$	0,53	-0,27	-0,37	0,25	0,08	-0,06	0,03	0,23	0,23	-0,23	0, 48	0,7
$\overline{A_4}$	0,53	0,27	-0,42	0,31	-0,04	0,14	0,03	0,24	0,14	0,15	-0,49	0,7
$\overline{E_1}$	0,3	-0,4	-0,2	0,2	0,6	0,6	-0,3	-0,2	0,3	-0,2	0,4	0,2
$\overline{E_2}$	-0,1	0,4	0,6	-0,6	0,5	-0 ,6	—0, 3	-0,2	0,5	0,2	-0,0	0,4
$rac{\overline{E_2}}{\overline{E_3'}}$	0,1	0,4	-0,6	-0,6	0,5	0,6	0,3	—0, 2	-0,4	0,2	0,2	0,4
	-0,1	-0,4	0,6	-0.6	-0,4	<u>0,7</u>	-0,3	-0,0	-0.5	0,2	0,2	0,3
$\overline{E_{4}^{'}}$	- 0,1	-0,4	0,6	-0,4	0 ,6	0,5	-0,3	-0,3	-0,2	0,0	0,3	0,4

лись значения дисперсии и 4-го центрального момента, вычислен ные без учета поправок на группировку, поскольку, как показан в [5], эти поправки значительно уменьшают точность определе ния асимметрии и эксцесса.

С целью сопоставления полученных таким образом моментных характеристик с фактическими значениями параллельно был вы полнен расчет последних по данным ежедневных наблюдений натой же станции за 1879—1972 гг., любезно предоставленным нам А. И. Неушкиным. При обработке фактических данных было со чтено целесообразным использование возможно более полных рядов наблюдений, что давало основания рассчитывать на полу

ение статистически более надежных результатов. С другой стооны, следует, конечно, иметь в виду, что несовпадение периодов южет привести к известным различиям в оценках моментов.

Полученные в результате расчетов средние значения моментов ля различных месяцев года приводятся в табл. 1. При этом ндексом 1 помечены значения моментов, полученные путем неосредственного расчета, а индексами 2, 3 и 4— значения моменов, вычисленные с помощью сплайновой, тригонометрической параболической, описанной в [1], интерполяции соответственно. -Поскольку средняя месячная температура рассчитывается непо редственно по распределениям, приводимым В Справочнике. таблице приводятся только эти значения средних месячных темератур, обозначенные через $\overline{\theta}$, и значения средних месячных емператур, полученные по фактическим данным, которые обоначены через $\overline{\theta_1}$. При вычислении средних значений эксцесса \overline{E}_2 , E_{A}^{\prime} и $\overline{E}_{A}^{\prime}$ использовалась несколько видоизмененная которой будет сказано іиже.

Рассмотрение табл. іоказывает. ЧТО оценки редних значений моментов, олученные имитункмопу ремя способами, оказываотся очень близкими друг другу и сравнительно маю отличаются от фактичеких. При оценке расхожмежду расчетными фактическими значениями ломентов следует иметь в иду выборочные погрешости этих характеристик,

Таблица 2: Средние квадратические ошибки определения средних месячных значений моментов распределения средней суточной температуры

Число лет	Характеристика			
	σ _θ	σ <u>-</u>	σÃ	${}^{\sigma}ar{E}$
25	$0.10\sqrt{\overline{\sigma^2}}$	$0,11\overline{\sigma^2}$	0,15	0,27
90	$0.06 \sqrt{\overline{\sigma^2}}$	$0.06 \overline{\sigma^2}$	0,08	0,15

риближенные значения которых представлены в табл. 2. Приеденные в таблице значения ошибок получены по методике, писанной в [6], в предположении, что ряд близок к нормальному экспоненциально-убывающей корреляционной функцией, и что оэффициент корреляции между смежными членами ряда равен ,8. Учитывая эти погрешности, согласование между расчетными фактическими средними значениями моментов можно считать довлетворительным.

Различия между указанными способами интерполяции выявяются при изучении внутримесячного хода моментов, полученого при их использовании. Рассмотрение рис. 1—4, на которых редставлен годовой ход моментов средней суточной температуы, показывает, что полученные непосредственным расчетом для тдельных дней года значения моментов не являются достаточноадежными даже при использовании рядов наблюдений за 90 лет, следствие чего изменения значений моментов ото дня ко дню являются малоупорядоченными. При необходимости применени таких данных целесообразно было бы производить их сглажива ние, например, путем скользящего осреднения. С этой точки зрения определенные преимущества представляет использовани проинтерполированных моментов, поскольку при интерполяции

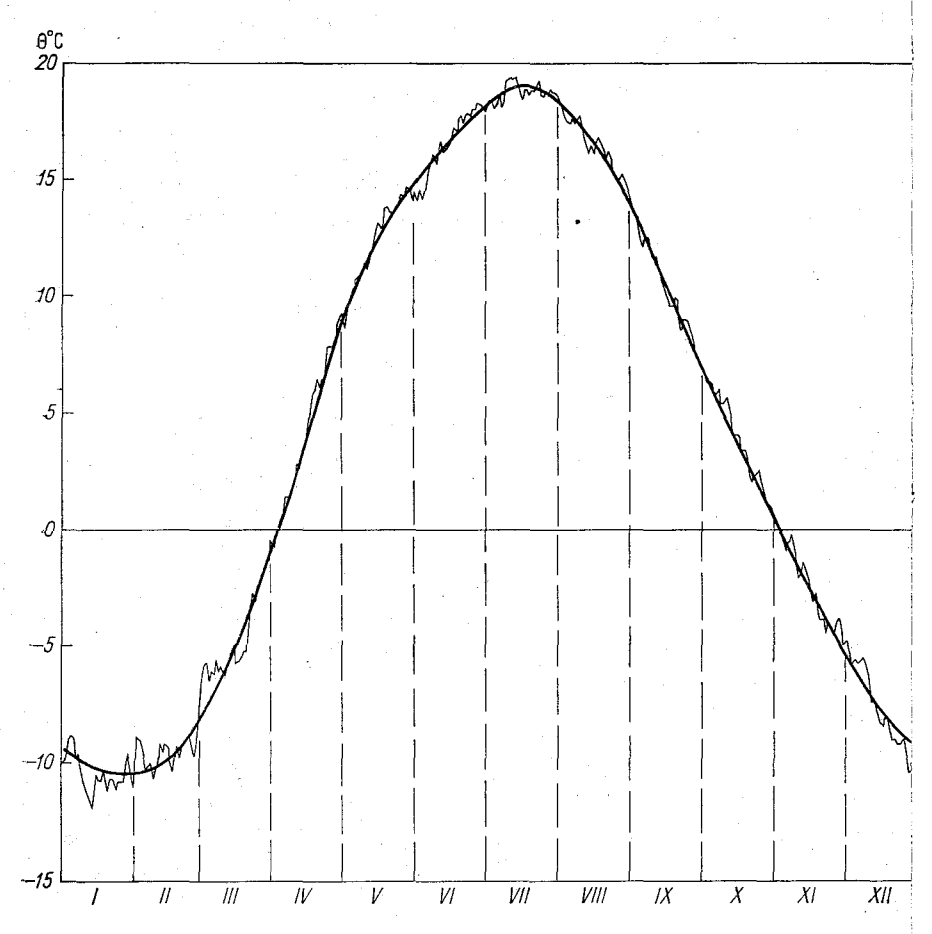
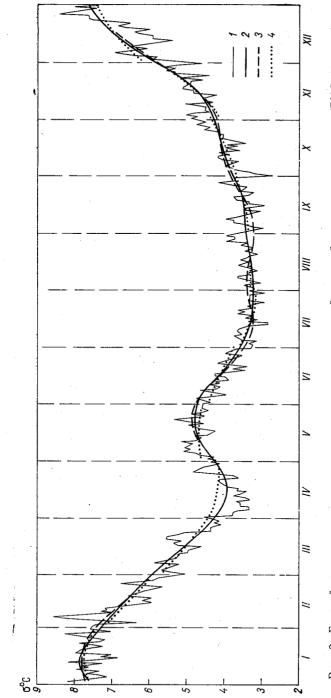


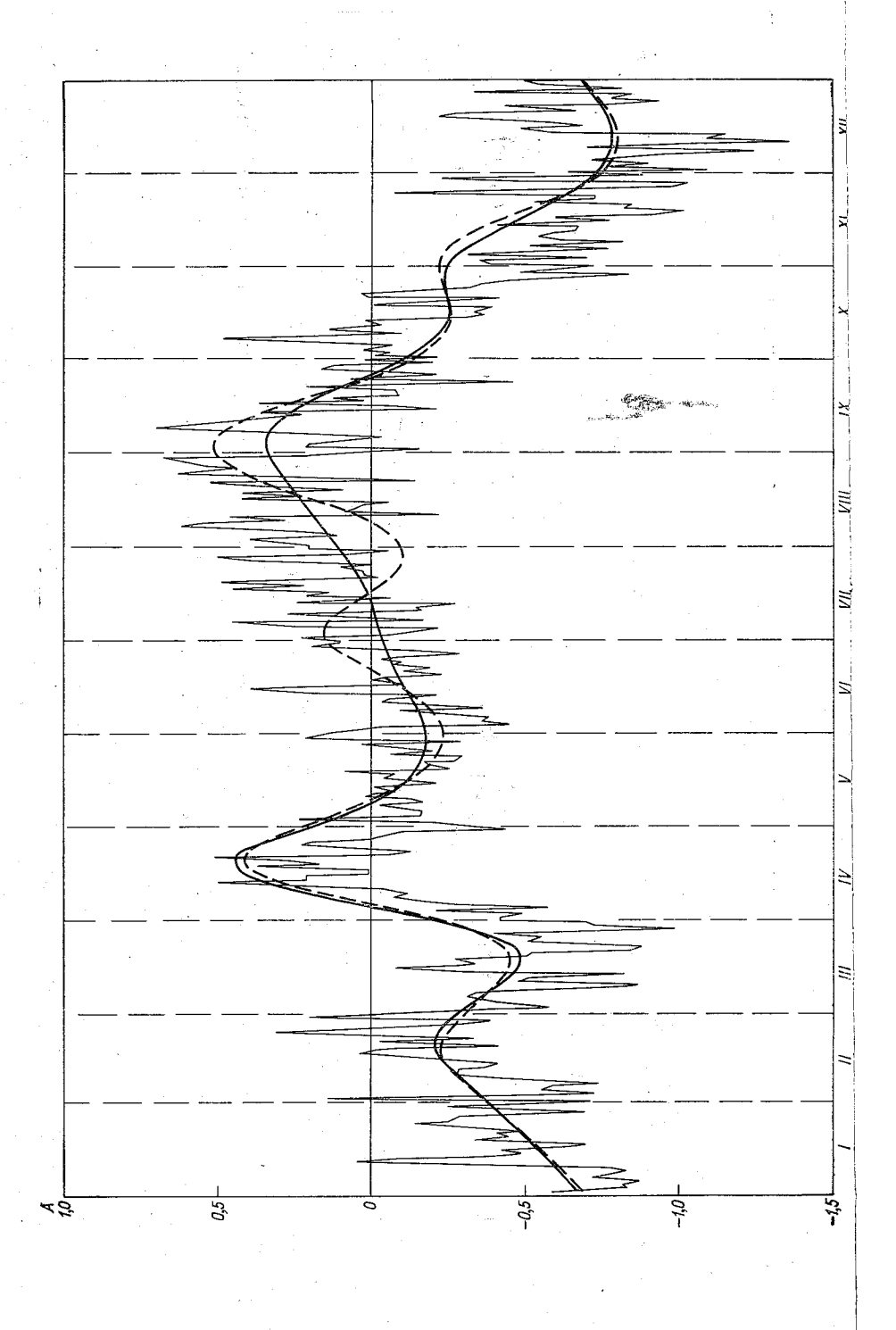
Рис. 1. Годовой ход среднего значения средней суточной температуры воз духа (ГМС Москва — с.-х. академия). Усл. обозначения см. рис. 2.

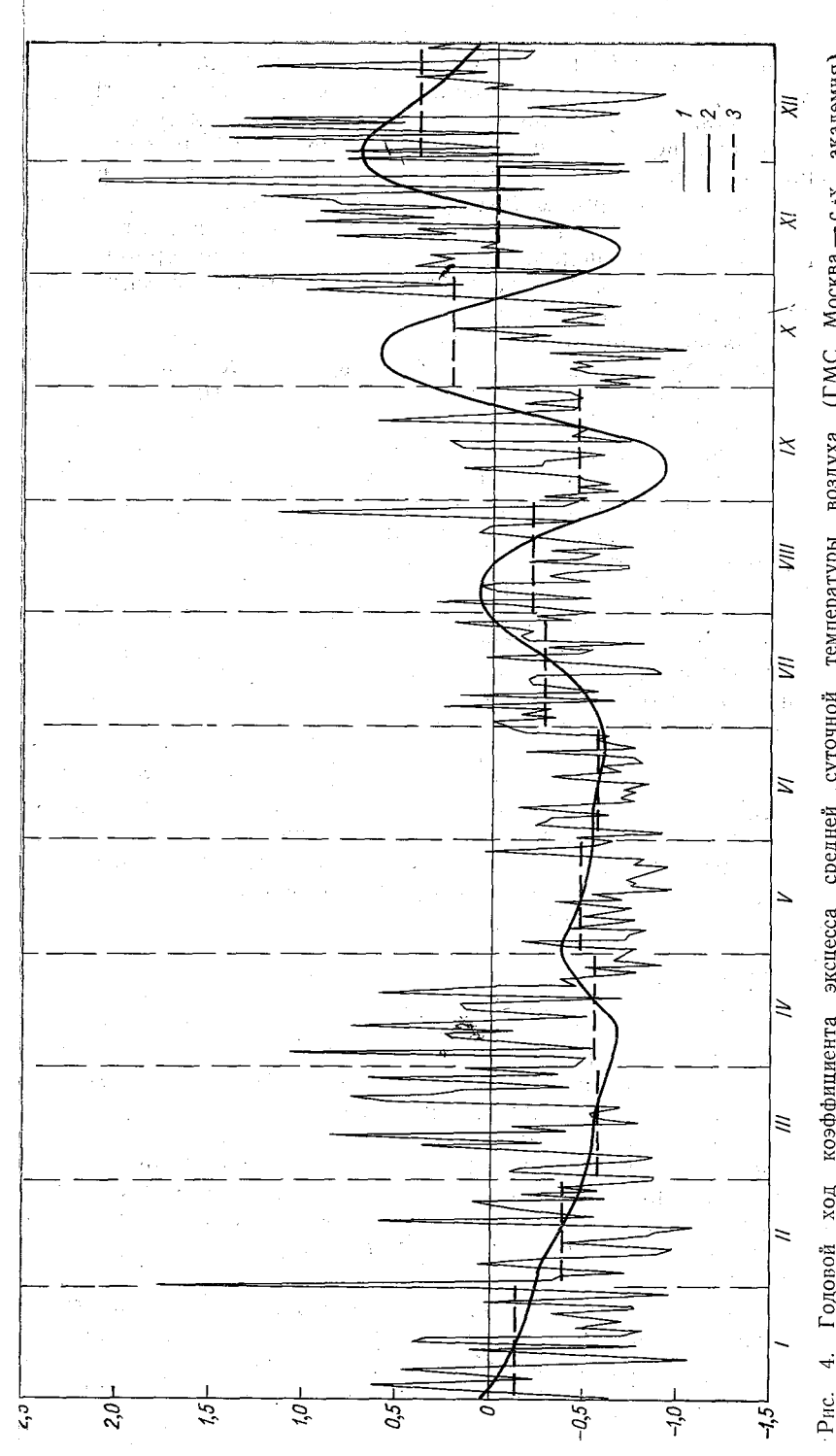
ход моментов автоматически получается сглаженным, несущест венные флуктуации моментов ото дня ко дню исключаются, и то же время общий ход моментов в течение года улавливается достаточно хорошо.

Кривые годового хода средней суточной температуры, восста новленного путем использования разных способов интерполяции практически совпадают, поэтому на рис. 1 мы ограничилис



ин-Рис. 2. Годовой ход среднего квадратического отклонения средней суточной температуры в здуха (ГМС Москва путем тригонометрической I — фактические данные, 2 — восстановленные путем сплайновой интерполяции, 3 — восстановленные терполяции, 4 — восстановленные путем интерполяции параболой. с.-х. академия).





воздуха (ГМС Москва — с.-х. академия). интерполяции), $3 - \overline{E_2(t)}$. Рис. 4. Годовой ход коэффициента эксцесса средней суточной температуры $I- \phi$ актические данные, $2-E_2(t)$ (восстановленные путем сплайновой

проведением одной линии. Кривые годового хода среднего кв ратического отклонения температуры, полученного расчетным с собом, также сравнительно мало различаются между собой. Н более существенно то, что использование параболической инт поляции приводит к разрыву значений дисперсии при переходе одного месяца к другому. Для старших моментов разрывы яв ются еще более значительными и настолько искажают реальн ход моментов, что использование этого способа интерполяции л них представляется нецелесообразным. Соответствующие криг на рис. З и 4 не приводятся.

Наибольший интерес с точки зрения выбора рациональн способа интерполяции представляет рис. З, на котором изобрая годовой ход коэффициента асимметрии. Из этого рисунка вид что в течение большей части года кривые годового хода коэффициента асимметрии, восстановленного с помощью тригономет ческой и сплайновой интерполяции, хорошо согласуются как ме ду собой, так и с фактическими данными. Исключение составля летние месяцы (июнь — август), для которых тригонометричест интерполяции дает два максимума в ходе коэффициента асимм рии, в то время как метод сплайнов описывает сравнительно р номерный рост асимметрии в течение лета с одним максимум в конце его. Судя по имеющимся данным, метод сплайнов обестивает более реалистическое описание хода коэффициента асиметрии. Это, по-видимому, связано с упомянутым нами свойстиминимальной кривизны сплайнов.

Из рассмотрения рис. 4, на котором приведен годовой ход за чений эксцесса, видно, что ход последних носит особенно неу рядоченный характер. Описание этого хода любым из указани выше способов позволяет уловить лишь самые общие законом ности. Как видно из рис. 4, даже использование метода сплайі дает довольно большие расхождения с фактическими данны Эти расхождения, по-видимому, связаны не только с возможн несовершенством принятого способа интерполяции, но и с упомянутой ненадежностью индивидуальных моментов. В то время осредненные за месяц значения проинтерполированных ментов дают некоторое представление о ходе фактических д ных (см. линии 3 на рис. 4). В силу этого было сочтено целесо разным при восстановлении годового хода эксцесса исходить постоянства его в течение месяца. Рассчитанные таким образ несколько отличаются от тех, которые получаю восстановленных путем интерполяции сплайна осреднением ежедневных значений эксцесса, однако различия эти сравните но невелики. Именно такая упрощенная методика использовал значений эксцесса $ar{E}_2'$, $ar{E}_3'$ и $ar{E}_4'$, приведени при расчете в табл. 1.

Авторам представляется, что приведенные результаты г тверждают целесообразность интерполяции для восстановле годового хода моментов распределения. Наиболее перспективн с этой точки зрения, является, по-видимому, использование ме а сплайнов. В то же время следует иметь в виду, что точность акого восстановления при заданном объеме исходных данных меньшается с увеличением порядка момента, вследствие чего ри расчете моментов температурных рядов приходится отказыаться от детального восстановления хода эксцесса внутри месяа. Возможно, что такое восстановление окажется целесообразым для метеорологических элементов, распределения которых ущественно отличаются от нормального.

СПИСОК ЛИТЕРАТУРЫ

Каган Р. Л., Федорченко Е. И. О расчете статистических характеристик выбросов случайной функции. — «Труды ГГО», 1970, вып. 268, с. 146—

Алберг Дж., Нильсон Э., Уолш Дж. Теория сплайнов и ее приложения. М., «Мир», 1972. 316 с.

Марчук Г. И. Методы вычислительной математики. Новосибирск, «Наука»,

Справочник по климату СССР. Часть II. Л., Гидрометеоиздат, 1965.

Федорченко Е. И. О влиянии группировки данных на точность выбороч-

ных моментов. — «Труды ГГО», 1974, вып. 336, с. 159—165. Федорченко Е. И. О влиянии связности метеорологических рядов на точность выборочных моментов. — «Труды ГГО», 1974, вып. 336, с. 25—47.

© ВРЕМЕННОЙ СТРУКТУРЕ ЕЖЕЧАСНЫХ НАБЛЮДЕНИ ЗА ТЕМПЕРАТУРОЙ ВОЗДУХА В ЛЕНИНГРАДЕ

1. При изучении рядов наблюдений за температурой в различ ные часы суток наибольшее внимание уделялось суточному ход средней температуры воздуха. Суточному ходу других моменто распределения температуры, а также характеристик временно корреляции ее посвящено сравнительно мало работ. Из таких р бот следует упомянуть в первую очередь статью Л. В. Тихомире вой [1], в которой рассматривается суточный ход дисперси асимметрии и эксцесса. Некоторые данные по этому . приводятся в [2]. Исследование суточного хода дисперсии темп ратуры воздуха на материале ежечасных наблюдений на станци Ленинград, ГМО, проводится в работе [3], в которой с помощь статистических тестов показано, что имеющиеся данные о суто ном ходе дисперсии противоречат гипотезе стационарности ряд В работе [4] рассматривается также вопрос о суточном ходе вр менной корреляционной функции температуры для этой же ста ции и указывается на значимость его для сдвигов по времени с Зчи более.

К сожалению, существующие оценки получены на основани обработки рядов наблюдений лишь за один день каждого месяц Поэтому из результатов, приводимых в работе, для 1 мая и 1 сетября не вполне ясно, реальны ли сделанные выводы о суточно ходе и в какой мере их можно распространить на другое врем года.

Целью настоящей работы было попытаться рассмотреть во можно детальнее суточный ход первых четырех моментов распр деления температуры и временной корреляции ее. В качестве и ходных данных брались ежечасные наблюдения за температуро воздуха (по термографу) на ст. Ленинград, ГМО, для четыре центральных месяцев сезонов (январь, апрель, июль, октябрь) з 1944—1965 гг. Для того чтобы на результатах возможно меньи

азывалось влияние нестационарности ряда за счет годового хода, в то же время, чтобы полученные оценки были достаточно усйчивы, расчеты производились для каждой пентады месяца отдельности (при этом к пентаде добавлялось одно наблюдение следующей; наблюдения за 31-е число в январе, июле, октябре брасывались).

По этим данным для каждого срока наблюдений i (i=1, 2, ..., 24) k-того дня j-той пентады рассматриваемого месяца (k=1, 2, 4, 5; j=1, 2, ..., 6) вычислялось среднее m (i, j, k) в этот момент ремени, дисперсия $\sigma^2(i, j, k)$, коэффициенты асимметрии A(i, j, k) эксцесса E(i, j, k). Кроме того, для сдвигов по времени $\tau=1, 2, ..., 120$ ч вычислялись значения коэффициентов корреляции $i, i+\tau, j, k$) между температурой в i-тый срок наблюдений того дня j-той пентады и температурой в момент времени через часов от указанного.

По индивидуальным значениям одноточечных и корреляционых моментов для каждого срока наблюдений i (i=1, ..., 24) пяти уток пентады рассчитывались средние за пентаду значения:

$$m(i, j) = \frac{1}{5} \sum_{k=1}^{5} m(i, j, k);$$

$$\sigma^{2}(i, j) = \frac{1}{5} \sum_{k=1}^{5} \sigma^{2}(i, j, k);$$

$$A(i, j) = \frac{1}{5} \sum_{k=1}^{5} A(i, j, k);$$

$$E(i, j) = \frac{1}{5} \sum_{k=1}^{5} E(i, j, k) \quad (j = 1, 2, ..., 6);$$

$$r'(i, i + \tau, j) = \frac{1}{5} \sum_{k=1}^{5} r(i, i + \tau, j, k) \quad (\tau = 1, 2, ..., 120).$$

Значения m(i, j), $\sigma^2(i, j)$, A(i, j), E(i, j), $r'(i, i+\tau, j)$ осреднялись каждому из аргументов и получались как средние за месяц начения моментов для каждого срока наблюдений:

$$m_1(i) = \frac{1}{6} \sum_{j=1}^{6} m(i, j);$$

$$\sigma_1^2(i) = \frac{1}{6} \sum_{j=1}^{6} \sigma^2(i, j);$$

$$A_{1}(i) = \frac{1}{6} \sum_{j=1}^{6} A(i, j);$$

$$E_{1}(i) = \frac{1}{6} \sum_{j=1}^{6} E(i, j);$$

$$r'_{1}(i, i + \tau) = \frac{1}{6} \sum_{j=1}^{6} r'(i, i + \tau, j),$$
(2)

так и средние за пентаду значения:

$$m_{2}(j) = \frac{1}{24} \sum_{i=1}^{24} m(i, j);$$

$$\sigma_{2}^{2}(j) = \frac{1}{24} \sum_{i=1}^{24} \sigma^{2}(i, j);$$

$$A_{2}(j) = \frac{1}{24} \sum_{i=1}^{24} A(i, j);$$

$$E_{2}(j) = \frac{1}{24} \sum_{i=1}^{24} E(i, j);$$

$$r'_{2}(\tau, j) = \frac{1}{24} \sum_{i=1}^{24} r'(i, i + \tau, j).$$

При высокой временной связности целесообразно пользоваться не непосредственным осреднением коэффициентов корреляции, а осреднением величин z, полученных из коэффициенто корреляции путем преобразования Фишера [5]. Как показалопыт, это позволяет существенно ослабить влияние отдельных ошибок в исходных данных. Поэтому наряду со значениям $r'(i,i+\tau,j), r'_1(i,i+\tau)$ и $r'_2(\tau,j),$ нами вычислялись значения $r(i,i+\tau,j), r_1(i,i+\tau)$ и $r_2(\tau,j),$ полученные обратным преобразованием средних значений z-преобразований коэффициентов корреляции.

2. Остановимся сначала на одноточечных моментах. Получен ные результаты показали, что при расчете моментов в апреле для выявления суточного хода как среднего, так и дисперсии и асим метрии существенно учитывать нестационарность за счет годового хода. Лишь для эксцесса, вследствие малой точности его расчета из-за ограниченности выборки, не удается получить значимых результатов для отдельных пятидневок.

В табл. 1 для каждой пентады апреля приводятся средние за пентаду значения средней температуры, дисперсии и коэффици ента асимметрии на каждый срок наблюдений. Из этой таблицы

дно, что в апреле суточный ход моментов для разных пентад дественно различен. Рассмотрим, например, суточный ход дирсии. В [1, 2] было показано, что для дисперсии можно выпить два типа суточного хода: зимний, с наибольшим значением сперсии в предутренние часы и наименьшим в дневные, и летй, с максимумом дисперсии в дневные часы. Из табл. 1 видно, в Ленинграде в апреле происходит смена типов суточного да дисперсии: в первой пятидневке максимум дисперсии прихотся на ночные часы, а минимум — на дневные, в последней пядневке виден явно выраженный максимум в дневные часы.

Претерпевают изменения в апреле и закономерности в суточм ходе асимметрии. В ночные и утренние часы коэффициент имметрии от начала месяца растет, достигая максимума в пяй пятидневке, после чего к концу месяца начинает уменьшаться. ри этом в первой половине месяца коэффициент асимметрии ночные и утренние часы отрицателен, а во второй половине ложителен. В дневные и вечерние часы наибольших значений эффициент асимметрии достигает в четвертой пятидневке, прим отрицательные значения коэффициента асимметрии в эти сы наблюдаются лишь в первой пятидневке. Заметим, что макмум в весенний переходный месяц в период после схода снежнопокрова, по-видимому, характерен и для годового хода коэфициента асимметрии средней суточной температуры (см. [6]). В октябре нестационарность за счет годового хода сказываетна изменении значений моментов от пентады к пентаде в меньей степени, чем в апреле. Эту нестационарность необходимо итывать при определении суточного хода среднего значения. Затны различия от пятидневки к пятидневке и в значениях диерсии для каждого срока наблюдений (значения дисперсии стут от начала месяца к концу, что согласуется с известными нее особенностями годового хода дисперсии [2]), однако разлиія эти невелики и для многих задач ими можно пренебречь. Заномерности суточного хода дисперсии от пентады к пентаде октябре не меняются. При определении суточного хода моменв в январе и июле нестационарностью за счет годового хода течение месяца можно пренебречь.

В табл. 2 представлены средние за месяц значения моментов спределения температуры на каждый срок наблюдений для янря, апреля, июля и октября. Ход $m_1(i)$, естественно, аналогичен точному ходу температуры, приводимому в Справочнике [7]. уточный ход дисперсии в январе и июле отвечает закономерстям, указанным в [1, 2]. Зимой максимум дисперсии наблювется в предутренние часы, а минимум в дневные, летом наборот. В октябре суточный ход дисперсии выражен очень слабо, апреле, как уже указывалось, суточный ход дисперсии в течене месяца претерпевает большие изменения, но в среднем он ринадлежит к летнему типу.

Рассмотрение значений асимметрии показывает, что в среднем аиболее асимметрично распределение температуры в январе

Таблица

Суточный ход средних за пентаду значений моментов распределення температуры воздуха (ГМС Ленинград, ГМО; аирель)

		IA	0,3	6,0	0,2	6,0	0,3	n -) c	0,1	0.0	0.3	0,3	0,3	0,3	و ر	6,0	0,3	0,4	0,3	0,3	0,3	0,4	0,4	0,3	0,3
		Λ	0,4	0,4	0,4	၉′0	<u>(</u>	ر د د	- α > =) (C	0,7	9,0	0,5	0,4	6,0	6,0	ο (0,3	0,4	0,3	0,4	0,4	0.5	0,5	6,4
	Асимметрия	VI.	6,0	e, 0	0,3	0,2	က ်	ာ (O O N	200	0.0	0.5	0,5	9,0	9,0	0,7	0,7	8,0	6,0	6,0	8,0	2,0	0.7	0.5	0,3	0,5
	Асим	Ξ	0,0—	0,1	-0,1	0,1	1,0) () ()	7,0	4,0	0.6	0,8	0,8	8,0	0,7	0,7	0,7	9,0	9,0	0,5	0,4	6,0	0,3	0.2	0,1	0,3
		=	-0,4	0,5	-0.6	0.0	9,0	7,0	0,0	0,0	0.3	0.0	0,2	0,4	0,4	0,4	4,0	0,4	0,4	0,4	6,0	0,3	0.0	0.1	-0,5	-0,1
		1	8,0—	8,0	8,0	6'0-	0,i 0	7.1	1,0	0,0	0,0	0,1	0,0	0,1	-0,3	0,5	0,7	8,0	6'0-	6'0-	6'0-	8,0—	0,7	7'0-	7,0—	9,0—
,		ΛΙ	14,2	13,6	12,8	12,0	φ. Ξ:	9,01	16,9	91,4	25,6	29,2	-30,1	33,0	32,0	ည် လ ်	8,00	29,4	27,5	24,6	21,3	19,1	18,4	16,4	15,2	21,2
and in	-	Λ	11,9	4,2,5	12,2	Ξ; ∞,	122	0,11), c	16.5	19.7	21,6	23,7	24,5	25,3	24,3	24,1	77,1	19,6	16,9	14,1	13,3	12,9	13,3	12,7	16,6
,	сия	ΛI	9,5	2,0	, x	9,0	9,0	70,0	n en	11.2	13,5	15,7	17,7	19,3	19,7	9,61		1,0	17,3	14,9	12,6	11,6	10,8	9,5	8,9	12,8
. Law	Лисперсия	III	10,5		2,01	10,2	20,0	0,0) (x	8,7	10,2	11,5	13,0	13,3	14,5	[5,]	7,0	5,4I	13,4	12,4	12,0	11,3	11,3	11,2	11,2	11,5
		11	14,1	1,4	2. د,۰	1,5	0,7	14,7		10,1	10,4	11,5	12,0	13,3	14,3	14,0	13,9	10,4	12,4	11,3	11,2	11,2	10,5	10,5	7,01	12,6
		-	23,7	2,3	2, 5 0, 0	200	χ, ο υ, ο	, <u>a</u>	16,1	15,0	14,3	15,1	16,8	17,5	18,2	20,0	20,02	0,12	23,4	24,3	25,7	27,8	27,7	27,8	25,7	21,0
		IA	8,4	0,7	4, در	4, 2	4, z	, r. .> ∠	6,4	7,6	8,6	9,4	10,1	2,0,5	0, 0,		0,0		9,4	8,4	7,4	6,7	6,1	5,6	5,3	7,2
		>	% %	0,2	4,0	7,0	7,0	7 K	4. 5.	5,5	6,4	7,1	9,7	χ) (χ, 4,	χ. 4, σ	00	oʻ	7,4	6,5	5,4	4,7	4,5	3,9	3,5	5,2
	нее	١٨	2,1), c		ر در در	, c 5, 4	(c)	4,2	5,1	က်	6,4 4,0	7,0		7,1	, d)	6,2	5,3	4,4	3,7	2,2	2,7	2,3	4,1
	Среднее		0,0																4,3	3,6	3,0	2,5	2,1	1,8	1,6	2,6
		=	0,4	2,5	200	7,0	 ⊃,⊂	000	9,0	1,3	2,2	ω, ∞,	4,6	4,0	4,-	4 4	, t	, 0	3,2	2,4	1,9	1,5	1,1	8,0	0,5	1,7
		-	8,1	1,5	20	0,0	101	,,	1,6	2,0	2,2	2,2	2,1	٠ کر ت	ر. د	-,-	- «	5	2,0—	9'0-	1,0	11,3	1,8	6,1-	-1,8	0,1
		Срок, часы	— c	7 0	O -	4, п	င မ		. ∞	6	10	=	7.5	<u> </u>	4 1		17	7	18	19	20	21	22	23	24	Среднее

LWO) 7,0— -0.7× Ленинград, -0,5 -0,3 -0,4 IIA 0 Эксцесс 0.0 -0.0-0.10,2 -0,1ရ \geq (FMC, -0,2 -0,3-0.50,5 9 воздуха -0 0,1 0 0 9 × 0,3 C) Асимметрия ΠΛ температуры 6,0 ó \geq 9,0— -0.09,0--0,5 -0,5 9,0 зиачений моментов распределения 2,2 2,6 2,8 3,0 3,3 12,5 2,4 2,1 2,7 × 10,8 14,1 13,0 11,9 9,7 7,5 8,1 Ν Дисперсия 8,61 8,9 16,2 5,3 6,0 \geq Q 40,0 40.8 12,4 13,4 €, ಪ 41 74444444666967777 -08707777776967777 6,5 5,6 ∞ × ব 20,0 9,61 7,2 5,8 17,7 8,4 6,4 16 Z за месяп ιΰ Среднее ω, \geq средних -6,58,9 6'9-7,7 ထ 9 6, ход Среднее часы Суточный 81 20 21 22 23 24 24 Срок,

(хотя, как видно из табл. 1, в апреле в отдельные пятиднея значения коэффициента асимметрии достигают еще больших абсолютной величине значений, чем в январе). Суточный х асимметрии в январе отсутствует. В июле и октябре асимметри ность распределений незначительна. В июле в вечернее время в блюдается небольшая положительная асимметрия, в осталы время суток распределение можно считать симметричным. В стябре суточный ход асимметрии отсутствует.

Средние за месяц значения коэффициента эксцесса д всех четырех месяцев практически в каждый срок наблюден отрицательны. Наибольшие по абсолютной величине значения и эффициента эксцесса наблюдаются в октябре, при этом в течен суток они не меняются. В июле значения коэффициента эксцес днем по абсолютной величине несколько больше, чем в не ные часы, а в январе — наоборот. Для апреля низкая точнос расчета эксцесса (средняя квадратическая ошибка определен среднего на каждый срок наблюдений значения коэффициен эксцесса приблизительно равна 0,25) не позволяет судить о значимости полученных результатов.

3. Перейдем теперь к рассмотрению результатов, полученн

для корреляционных моментов.

На рис. 1 для января, апреля, июля и октября представле зависимость от сдвига по времени т средней за месяц корред ционной функции

$$r(\tau) = \frac{1}{6} \sum_{j=1}^{6} r_2(\tau, j),$$

полученной осреднением корреляционных моментов как по ср кам наблюдений, так и по пятидневкам. Из этого рисунка видчто чем теплее месяц, тем быстрее в среднем за месяц убыва корреляционная функция в течение суток.

Для апреля и июля даже осредненные корреляционные фунции не изменяются монотонно, а имеют четко выраженные масимумы при сдвигах времени т, кратных суткам. Для октября эмаксимумы, отражающие влияние суточного хода температуры временную корреляцию ее, выражены гораздо слабее, а для яваря совсем не прослеживаются.

Однако при рассмотрении результатов, представленных рис. 1, следует иметь в виду, что в действительности условия ст ционарности как в течение месяца, так и в течение суток, мож считать выполняющимися лишь для января. Для остальных м сяцев имеет место нестационарность в течение суток, особен существенная для апреля и июля.

В табл. 3 для апреля и июля для каждого срока наблюдент i=1, 2, ..., 24 приводятся средние за пентаду значения коэффицентов корреляции r(i, i+1, j) между температурой в i-те

(i+1)-й срок наблюдений, т. е. для сдвига по времени $\tau=1$ = 1, 2, ..., 6). По методике [8] нами была найдена средняя квадтическая погрешность определения r(i, i+1, j), которая для преля оказалась равной примерно 0,003, а для июля — 0,005. Нитывая эту погрешность, легко видеть, что условие стационарсти коэффициента корреляции в течение суток не выполняется,

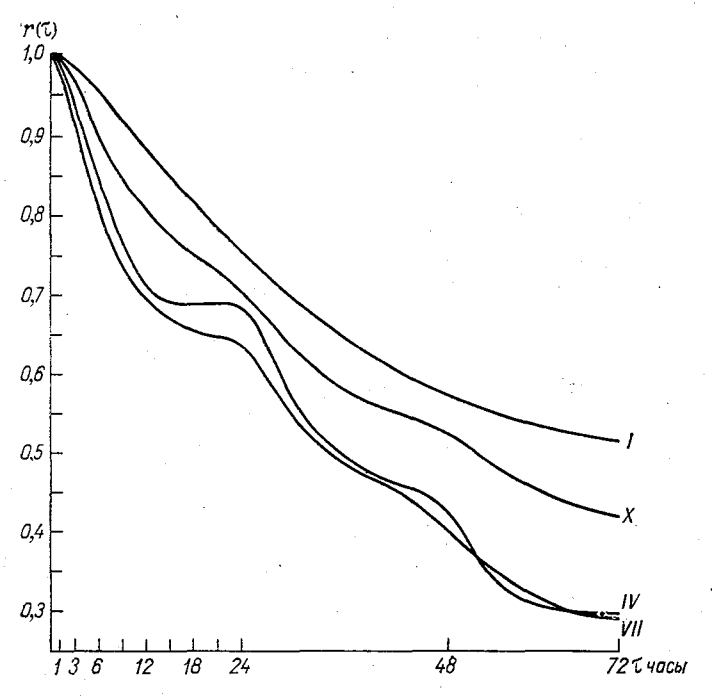


Рис. I. Средние за месяц корреляционные функции температуры воздуха (ГМС Ленинград, ГМО).

суточный ход коэффициента корреляции существен. Действильно, несмотря на связность значений r(i, i+1, j) для различтх i, разность между максимальным и минимальным значениями i, i+1, j) внутри каждой пятидневки, например, для июля бое чем в 10 раз превышает среднюю квадратическую погрешсть определения коэффициента корреляции. В суточном ходе i, i+1, j) просматривается два минимума: первый, наиболее праженный,— в утренние часы, он хорошо связывается со вренем восхода солнца (смещен по отношению ко времени восхопримерно на 2-3 часа), второй— в часы перед заходом солны Наибольших значений межчасовая корреляция температуры вдуха достигает в ночные часы.

Что же касается нестационарности коэффициента корреляции счет годового хода, то, как видно из табл. 3, в ночные и днев-

ные часы разброс коэффициентов корреляции, полученных д различных пятидневок, лежит в пределах возможных погрешн стей за счет ограниченности выборки, а в часы, близкие к те когда в суточном ходе коэффициента корреляции наблюдает

Таблица Средние за пентаду значения межчасовой корреляции температуры воздуха на ГМС Ленинград, ГМО (в тысячных долях секунды)

Срок.			Ап	рель					Ик	ль		
Срок, часы	I	II	111	IV	V	VI	I	И	III	IV	V	V.
1	990	992	993	990	990	995	986	990	991	992	992	98
2	989	996	995	990	988	991	979	989	986	989	990	99
3	983	995	994	987	990	994	985	989	987	991	994	99
4	976	994	995	993	993	99 3	964	979	984	990	987	9 9
5	985	997	994	987	989	985	928	936	940	955	969	97
6	987	990	979	952	959	962	927	939	936	940	931	93:
7	983	984	973	957	964	977	955	974	977	975	978	97.
8	979	979	963	973	977	980	976	977	982	982	986	98
9	983	977	976	983	989	984	983	984	977	990	987	98
10	974	978	983	985	988	987	973	978	980	. 989	988	98
11	978	975	986	989	987	9 9 3	981	971	980	985	986	988
12	984	979	979	986	990	990	986	981	970	981	988	986
13	987	989	985	989	985	981	974	980	980	976	989	96
14	985	987	9 9 1	98 8	986	987	959	975	970	983	984	979
15	991	9 91	992	989	988	991	968	958	977	97 3	975	979
16	991	985	991	989	988	990	974	966	978	982	968	96
17	987	989	989	9 8 9	987	990	981	971	956	986	972	98
18	991	972	982	986	969	989	977	972	962	985	975	979
19	994	988	982	981	986	987	974	974	981	988	986	98
20	996	989	986	984	987	9 8 8	963	968	962	. 975	969	97
21	989	981	990	984	991	991	964	973	976	985	978	97
. 22	994	990	992	974	991	9 9 1	970	970	985	98 7	9 8 8	98
23	986	991	992	970	991	996	983	983	981	989	987	98
24	988	992	991	983	990	990	979	987	986	991	988	98

минимум, разброс коэффициентов корреляции может превыша выборочные погрешности из-за смешения минимума в суточно ходе коэффициента корреляции (за счет сдвига времени восходи захода солнца от пятидневки к пятидневке). Отсюда следуе что с целью уменьшения влияния выборочных погрешностей мох

Суточный ход средних за месяц ксэффициентов корреляции r_1 (i,i+ au) температуры всздуха на ГМС Ленинград, ГМО (в тысячных долях единицы)

י מחונת ח'מיי

	τ=24	671 671 671 672 673 673 673 674 674 674 674 774 771 771 771 771 771 771 771	
	r=12	785 7765 7760 7780 7795 7795 7797 7770 7770 7770 7770 777	
Октябрь	9==2	928 935 931 939 939 939 938 938 938 937 907 907 907 907 907 907 907 907 907	
OKTS	t=3	972 972 974 974 974 962 990 990 990 991 991 965 966 969 969 969 969 969 969 969 969	
	τ=2	984 988 988 988 984 971 973 973 963 963 980 980 980 980 980 980 980 980 980 980	
	T==1	994 994 994 994 995 997 998 998 999 999 994 994 993 993 993 993 993	
	τ=24	628 628 628 636 636 637 641 641 641 662 624 662 663 662 663 663 663 663 663 663 663	
	r=12	533 510 663 663 760 770 773 772 772 773 772 773 772 773 772 773 775 770 770 770 770 770 770 770 770 770	
JI5	z==6	741 6642 591 764 764 764 764 764 8852 8858 8858 8873 8877 780 771 743 8873 8873 8873 8873 8873 8873 8873	
Июль	t=3	956 956 957 889 957 957 957 957 957 957 957 958 958 858 858 858 858 858 858 858 858	
	τ=2	972 9972 9973 9973 9986 9989 9989 9970 9970 9970	
	t=1	9990 9987 9987 9987 9987 9987 9975 9975 9975	
	τ=24	645 666 666 670 697 697 702 697 704 704 704 704 666 666 666 666 666 666 666 666 666	
	τ=12	619 585 585 586 586 598 630 774 770 772 772 773 773 773 773 773 773 773 773	
ALC JIB	9:=1	881772777777777777777777777777777777777	
Апрель	1=3	959 955 955 955 955 955 961 961 961 961 961 961 961 961 961 961	
	τ=2	9977 9977 9976 9976 9977 9975 9975 9975	
	1	9922 9922 9921 9921 9921 9922 9922 9923 9924 9924 9925 9926 9926 9926 9926 9926 9926 9926	
	t==24	721 7115 7115 7115 7115 7115 7115 7115 7	
	τ=12	888 8887 8887 8875 8875 8877 8870 8877 8877	
p.	9==1	953 953 951 952 953 954 951 952 955 955 955 955 955 955 955 955 955	
Январь	t=3	985 983 983 983 983 983 983 983 984 985 985 985 985 985 985 985 985 985 985	}
	τ≔2	992 991 991 992 993 993 993 993 993 993 993 993 993	
	Ę.	766 766 766 766 766 766 766 766 766 766	
	Срок і, часы	Среднее	

но производить осреднение коэффициентов корреляции, полученных для разных пентад, но при этом нужно иметь в виду, что ми нимум в суточном ходе осредненных за месяц коэффициентов кор реляции будет сглаженным по сравнению с минимумами в отдельных пятидневках.

К аналогичным выводам можно прийти, изучая суточный хо коэффициентов корреляции для других сдвигов по времени.

В табл. 4 на каждый срок наблюдений приводятся средние за месяц значения коэффициентов корреляции для различных сдви гов по времени. Из этой таблицы видно, что в январе суточног хода коэффициента корреляции практически нет, а в остальны месяцы при сдвигах во времени от 1 до 6 ч он хорошо просле живается.

Таким образом, приведенные результаты подтверждают еде ланный в [4] вывод о существенной нестационарности временной корреляции температуры воздуха. К сожалению, имеющихся дан ных недостаточно для построения сколько-нибудь надежной ана литической модели суточного хода характеристик ее временной структуры. Очевидна необходимость детального изучения это го вопроса на большем материале с использованием данных на блюдений на станциях, расположенных в разных климатических зонах СССР.

СПИСОК ЛИТЕРАТУРЫ

- Тихомирова Л. В. Опыт исследования статистических закономерностей распределения температуры воздуха в отдельные часы суток. — «Труды НИИАК», 1969, вып. 51, с. 92—107.
- 2. Лепехина Н. А., Федорченко Е. И. О суточном ходе дисперсии температуры воздуха. — «Труды ГГО», 1972, вып. 308, с. 99—109. 3. Киселева Т. Л., Чудновский А. Ф. Статистическое исследование су-
- Киселева Т. Л., Чудновский А. Ф. Статистическое исследование суточного хода температуры воздуха. «Бюлл. науч-техн. информации по агрономической физике», 1968, № 11, с. 17—38.
- Киселева Т. Л. Статистический анализ корреляционных функций. «Бюлл. научн.-техн. информации по агрономической физике», 1968, № 11, с. 39—45.
- 5. Кендалл М., Стьюарт А. Теория распределений. М., «Наука», 1966. 587 с.
- 6. Каган Р. Л., Федорченко Е. И. О восстановлении годового хода моментов метеорологических рядов. — См. наст. сборник.
- 7. Справочник по климату СССР. Ч. И. Л., Гидрометеоиздат, 1965.
- 8. Каган Р. Л. О точности расчета пространственных корреляционных функций. «Труды ГГО», 1973, вып. 308, с. 3—19.

О СТАТИСТИЧЕСКОМ КОНТРОЛЕ ВЕРТИКАЛЬНЫХ ПРОФИЛЕЙ ГЕОПОТЕНЦИАЛА

1. В работе [4] был предложен метод контроля вертикальных профилей геопотенциала, базирующийся на оптимальной интерполяции на контролируемый уровень по данным других уровней с последующим сравнением интерполированного и наблюденного значений. Опыт применения этого метода в рамках оперативных прогнозов, выполняемых совместно ГГО и СЗУГМС, показал, что метод обеспечивает сравнительно эффективный контроль информации о геопотенциале, а также позволяет исправлять грубо ошибочные значения и восстанавливать единичные пропуски данных. Вместе с тем анализ показывает, что статистический метод вертикального контроля геопотенциала может быть усовершенствован в нескольких направлениях.

а) В качестве норм \overline{H}_k на каждом уровне p_k в работе [4] рекомендуется брать значения геопотенциала, осредненные по всем контролируемым станциям для рассматриваемого срока. Тем самым пренебрегается географической изменчивостью \overline{H}_k и в частности их зависимостью от широты места. Пока контролю подвергаются данные в сравнительно небольшой области, такие единые нормы можно считать приемлемыми. Однако при переходе к большей области контроля принятие единых норм приводит к заметным погрешностям. Вместо таких норм целесообразно в процессе контроля пользоваться полями норм, взятыми из аэро-

климатических данных.

б) Интерполяция, согласно [4], проводится по данным всех имеющихся уровней. При этом веса, с которыми входят значения H_i на уровнях, отдаленных от контролируемого, малы. Легко видеть, что на величины таких весов сильно влияют выборочные погрешности, с которыми известны компоненты матрицы автоковариаций геопотенциала

$$m_{ij} = \overline{H'_i H'_j} \tag{1}$$

(здесь черта сверху означает статистическое осреднение, а штрихотклонение от среднего). Как правило, учет этих весов не влияе ни на результат, ни, следовательно, на качество контроля. Однак в отдельных случаях такой учет может искажать результаты контроля. Целесообразнее поэтому ограничиваться интерполяцией п нескольким уровням, ближайшим к контролируемому, подобн тому как при объективном анализе в точку регулярной сетки про изводится интерполяция по данным лишь нескольких, близки к этой точке станций.

в) За неимением другой информации в работе [4] для опре деления интерполяционных весов a_{ik} была использована матриц ковариаций (1) не самого геопотенциала, а его межсуточных из менений. Значения a_{ik} так же, как и допустимые невязки контро ля Δ_k , определенные эмпирическим путем, считаются постоянны ми как по области контроля, так и во времени. Между тем известно, что ковариации m_{ij} и особенно дисперсии

$$\sigma_i^2 = m_{ii} \tag{2}$$

имеют заметный широтный и сезонный ход. Можно ожидать, что веса и допустимые невязки вертикального контроля также будуменяться с широтой и от сезона к сезону. За время, прошедшее после выполнения работы [4], накоплен обширный материал помежуровенной корреляции геопотенциала. Такие данные имеют ся, в частности, в работе [2]. Используя их, можно не только вычислить веса p_{ik} , но и оценить теоретическим путем допустимые невязки Δ_k для различных широтных поясов и сезонов года.

2. Рассмотрим подробнее реализацию приведенных соображений на примере схемы контроля данных 9 уровней p_h , а именно, 1000, 850, 700, 500, 400, 300, 200, 150 и 100 мбар при использовании двух ближайших уровней для контроля данных каждого уровня.

Приведенная в работе [1] информация о значениях σ_i и о ко эффициентах межуровенной корреляции

$$\mu_{ij} = \frac{m_{ij}}{\sigma_i \sigma_j} \tag{3}$$

не содержит данных, касающихся уровней 400 и 150 мбар.

Кроме того, профили о для разных сезонов и поясов имеют ряд особенностей, обусловленных, скорее всего, не реальными закономерностями, а выборочными погрешностями. Поэтому эти профили были сглажены следующим образом. Отношения

$$\chi_{ij} = \frac{\sigma_i}{\sigma_j} \tag{4}$$

считались для широтных поясов 40-60 и $25-40^{\circ}$ независимыми ни от широты, ни от сезона, а для пояса $0-25^{\circ}$ независимыми от сезона. Значения σ на уровне 500 мбар (т. е. σ_4) брались непосредственно из [2], а значения на других уровнях p_i на-

рдились путем умножения σ_4 на χ_{i4} . В качестве последних примались величины этих отношений, осредненные по обоим взонам и (кроме пояса 0—25°) по широтным поясам. Эти осреденные значения χ_{i4} приведены в табл. 1 наряду с исходными сглаженными профилями σ .

Таблица Исходные и сглаженные вертикальные профили з, профили отношения о/о4 и значения меры ошибок наблюдений η²

ояс.				1	Поверхно	ость p_k	мбар (№))			
,m	Сезон	1000 (1)	850 (2)	70 (3)	500 (4)	400 (5)	300 (6)	200 (7)	150 (8)	100 (9)	η2
				1сходн	ые зна	чения	σ _k дам				
60	. 3	7,21	6,96	8,16	11,63		16,25	15,39		14,14	
	Л	4,06	4,63	5,30	7,53		11,65	13,42		11,54	
40	3	5,42	5,46	6,56	9,49		13,77	14,40		9,91	* •
	Л	3,28	3,41	3,60	4,57		7,40	9,58		6,90	
25	3	2,35	1,85	1,97	2,89		4,08	5,52		7,37	
	л	2,67	1,99	1,99	2,65		3,19	4,32		6,71	
		•	, ,	Сглаже	нные з	начени	я о _й /о ₄	·	·	~ `	
-60		0,66	0,65	0,74	1,00	1,20	1,41	1,45	1,48	1,50	
-25		0,66	0,65	0,74	1,00	1,15	1,31	1,60	2,08	2 ,5 5	
			C	глажен	ные зн	ачения	нσ _к дам	A .			
-60	3	7,6	7,5	8,6	11,6	13,9	16,3	16,8	17,2	17,4	0,02
	Л	5,0	4,9	5,5	7,5	9,0	10,6	10,9	11,1	11,2	0,05
-40	3	6,3	6,2	7,0	9,5	11,4	13,4	13,8	14,1	14,2	0,03
	Л	3,0	3,0	3,4	4,6	5,5	6,5	6,7	6,8	6,9	0,13
-25	3	1,9	1,9	2,1	2,9	3,3	3,8	4,6	6,0	7,4	0,32
	л	1,8	1,8	2,0	2,7	3,1	3,5	4,3	5,6	6,9	0,37

Помимо дисперсий σ_k^2 самого геопотенциала, для определения сов a_{ik} надо знать дисперсии δ_k^2 случайных ошибок его опредения. Мы приняли меру ошибок наблюдения η_k^2 , т. е. отношение их дисперсий

$$\eta_k^2 = \frac{\delta_k^2}{\sigma_k^2},\tag{5}$$

зависящей от высоты. В соответствии с существующими оцении (см., например, [1]), для зимнего сезона в широтном поясе

 $40-60^{\circ}$ было принято значение $\eta^2=0.02$, что соответствует средней квадратической ошибке δ_4 на уровне 500 мбар около 2 дам. В других поясах, а также для лета значения η^2 определялись в пред положении, что δ_h не зависит от широты и времени года, так что различия в η_h определяются полностью сезонными и широтными ходами σ_h .

Понятно, что распределения μ_{ij} , приведенные в [2], также было бы желательно сгладить, однако сделать это непросто. Вместе с тем можно ожидать, что хотя веса p_{ik} сильно зависят от коэффициентов μ_{ij} , результаты интерполяции, а потому и контроля мало изменятся с изменением μ_{ij} . По этим причинам величинь μ_{ij} были взяты непосредственно из [2].

Они были дополнены значениями μ_{35} , μ_{45} , μ_{56} , μ_{57} , μ_{68} , μ_{78} и μ_{8} (т. е. коэффициентами, описывающими корреляцию геопотенциа ла поверхностей 400 и 150 мбар и нескольких ближайших к ним

в принятой схеме), полученными путем интерполяции.

Коэффициенты μ₃₅, μ₅₇ и μ₆₈ определялись путем простой линейной интерполяции по формулам:

$$\mu_{35} = \frac{1}{2} (\mu_{34} + \mu_{36});$$

$$\mu_{57} = \frac{1}{2} (\mu_{47} + \mu_{67});$$

$$\mu_{68} = \frac{1}{2} (\mu_{67} + \mu_{69}).$$
(6)

Что касается коэффициентов μ_{45} , μ_{56} , μ_{78} и μ_{89} , описывающих связи уровней 400 и 150 мбар с соседними, то для определения этих коэффициентов пришлось использовать более сложный спо соб интерполяции. Именно, функция $\mu(x, y)$ (x и y—значения давления) аппроксимировалась симметричным полиномом третьей степени, обращающимся в единицу при x=y:

$$\mu(x, y) = 1 - A(x - y)^2 - B(x - y)^2 (x + y). \tag{7}$$

Коэффициенты A и B в формуле (7) вычислялись для определения $\mu_{i-1,\ i}$ и $\mu_{i,\ i+1}$ методом наименьших квадратов по данным о трех величинах: $\mu_{i-1,\ i+1}$, $\mu_{i-2,\ i-1}$ и $\mu_{i+1,\ i+2}$. Это привело к следующим формулам:

$$\mu_{45} = 0.48 + 0.16 \,\mu_{46} + 0.29 \,\mu_{67} + 0.07 \,\mu_{34};$$

$$\mu_{56} = 0.66 + 0.26 \,\mu_{46} + 0.12 \,\mu_{67} - 0.04 \,\mu_{34};$$

$$\mu_{78} = 0.71 + 0.16 \,\mu_{79} + 0.06 \,\mu_{89} + 0.07 \,\mu_{67};$$

$$\mu_{89} = 0.66 + 0.26 \,\mu_{79} + 0.12 \,\mu_{89} - 0.04 \,\mu_{67}.$$
(8)

3. Как уже упоминалось, интерполяция в рассматриваемой схеме контроля производится по данным двух ближайших уровней. Для контроля данных всех поверхностей, кроме крайних

000 и 100 мбар), такими влияющими уровнями были поверхсти, расположенные непосредственно под и над контролируемой ри этом интерполяционные веса определялись по формулам:

$$a_{k-1, k} = \sigma_k b_{k-1, k}; \quad a_{k+1, k} = \sigma_k b_{k+1, k},$$
 (9)

е $b_{k-1,\,k}$ и $b_{k+1,\,k}$ вычислены путем решения системы уравний

$$(1 + \eta^2) b_{k-1, k} + \mu_{k-1, k+1} b_{k+1, k} = \mu_{k-1, k}; \mu_{k-1, k+1} b_{k-1, k} + (1 + \eta^2) b_{k+1, k} = \mu_{k, k+1}.$$
(10)

ера ошибки сопоставления проинтерполированного и наблюденго на уровне p_k значений определена по формуле

$$\varepsilon_k^2 = 1 + \eta^2 - b_{k-1, k} \, \mu_{k-1, k} - b_{k+1, k} \, \mu_{k, k+1}, \tag{11}$$

средняя квадратическая ошибка такого сопоставления— поружуле

$$E_k = \sigma_k \varepsilon_k. \tag{12}$$

Для крайних уровней обе влияющие поверхности находятся одну сторону от контролируемой. Соответственно изменены

рмулы (10) и (11).

Некоторые результаты этих расчетов сведены в табл. 2. В этой блице применена упрощенная индексация, а именно, индекс 1 ответствует нижнему, а индекс 2— верхнему из влияющих уровй. Значения E, умноженные на коэффициент N=2.5, приведенте в табл. 2, целесообразно, по-видимому, принимать в качестве пустимых невязок. При нормальном законе распределения слуйных ошибок сопоставления это соответствует вероятности око-99% того факта, что правильные данные не будут поставлены д сомнение. Разумеется, можно выбрать и другое значение N. Как видно из табл. 2, интерполяционные веса a_1 и a_2 для коноля данных всех уровней, кроме крайних, мало меняются от вона к сезону и с широтой места, и их можно заменить средми значениями $ar{a}_1$ и $ar{a}_2$, также приведенными в табл. 2. Что кается уровней 1000 и 100 мбар, для контроля которых произвотся не интерполяция, а экстраполяция, то здесь картина иная. мой в высоких широтах вес ближайшего уровня превосходит иницу, а вес следующего уровня отрицателен. При переходе летнему сезону и к низким широтам различие между весами еньшается. Это объясняется уменьшением дисперсии σ^2 , котое вызывает увеличение меры ошибок наблюдений n² (см. форлу (5)).

Впрочем, для крайних уровней можно без существенного уменьния эффективности контроля выполнять его по данным лишьного, ближайшего уровня. В этом случае, как видно из табл. 2,

Таблица Параметры девятиуровенной схемы статистического контроля профилей геопотенциала

Пояс,	0	Пара-				Пс	верхно	сть, мб	ар				
°ш	Сезон	метр	1000	1000	850	700	500 {	400	300	200	150	100	100
40—60	3		90	125	51	57	53	46	80	51	57	-43	
	л		77	77	41	48	51	53	73	47	57	—1 1	
25—40	3	$a_1 \cdot 10^2$	85	107	40	6 3	42	54	57	50	59	-2	
	Л		6 5	52	3 0	53	5 6	57	62	41	52	12	
0—25	3		49	46	35	49	34	50	52	51	63	27	
-	Л		54	40	30	48	5 6	48	52	48	59	42	
ļ		$\overline{a}_1 \cdot 10^2$			38	. 5 3	49	51	63	48	58		
40-60	- 3			-32	46	44	53	50	32	5 2	48	135	9 3
ļ	Л			0	50	44	51	4 6	35	54	45	101	90
:2540	3	$a_2 \cdot 10^2$		-23	54	35	58	46	40	50	40	90	91
	'л	<u> </u>		28	5 2	37	46	42	41	54	44	71	84
.0 —25	3			6	37	2 3	50	41	36	35	33	70	83
	Л	· .		18	44	32	41	38	32	36	-33	66	90
		$a_2 \cdot 10^2$		_	47	3 6	51	44	3 6	46	40		88
4060	3	ļ	47	44	31	20	25	24	23	25	21	37	40
	Л		65	67	49	40	3 3	32	32	32	31	46	47
25-40	3	ε·10 ²	56	54	34	31	29	24	27	28	31	46	4 5
	Л		82	75	63	54	49	47	50	49	48	62	60
¢0−25	-3		101	101	89	91	81	72	7 2	7 2	7 3	85	75
	л		9 9	98	85	80	77	75	76	7 5	74	83	.85
40-60	3		8,9	8,3	5,8	5,2	7,2	6,3	9,4	10,6	9,9	15,9	17
	Л		8,4	8,4	6,0	5,4	6,2	7,1	8,5	8,6	8,5	12,8	13
25—40	3	2,5 E	8,9	8,6	5,2	5,5	7,0	6,8	8,9	9,5	10,8	16,5	16
i	Л] дам 	6,1	5,6	4,7	4,6	5,6	6,5	8,1	8,2	8,1	10,6	10
ι 0 —25	3		5,0	4,8	4,2	4,8	5,9	5,9	10,9	8,3	10,9	15,1	16
	Л		4,5	4,4	3,8	4,0	5 ,2	5,8	10,4	8,1	10,4	14,2	14

можно и для контроля геопотенциала поверхности 100 мбар и пользовать не зависящий от сезона и широтного пояса весово множитель \tilde{a}_2 .

В отличие от весов допустимые невязки, как показывае табл. 2, существенно зависят от времени года и особенно от шротного пояса. Они уменьшаются от зимы к лету и от высоки широт к низким. Из этого, однако, отнюдь не следует, что возмож

сти вертикального статистического контроля геопотенциала льше летом и в низких широтах, чем зимой и в высоких широх. Как видно из табл. 2, значения меры ошибки сопоставления летом больше, чем зимой, а в низких широтах они приближася к единице. Последнее означает, что с помощью данного споба контроля удается в низких широтах отбраковать лишь дане, мало вероятные вообще, безотносительно к значениям на седних уровнях.

Все эти закономерности находят простое объяснение. Увеличее в летом и в низких широтах обусловлено увеличением меры

Таблица 3 атрица величин $a_{ik} \cdot 10^2$ десятиуровенной схемы интерполяции по трем влияющим уровням. Широтный пояс $40-60^\circ$, зима

нтролируе-	1.2	. ,	2	Вли	яющие	уровни,	мбар	<u> </u>	: -:-	
й уровень, мбар	1000	850	700	500	400	300	250	200	150	100
1000		111	9	-24				1.42		
850	50		48	— 2	· · · · · · · · · · · · · · · · · · ·	91.00				
700	3	5 3		41						
500		—1 3	59		54					•
400			28	93		36	<u> </u>		l I	ľ
300				—2 5	86	1	42			-
250					—3	58		47		
200						24	90		34	
150	ì						· —3	64	ŧ	3 9
100							-28	-18	13 5	

шибок наблюдения η^2 , которое, в свою очередь, вызвано уменьением дисперсии σ^2 . При переходе же от ϵ к E решающим оказвается уменьшение σ , входящего множителем в формулы виа (12).

Так или иначе, целесообразно не пользоваться единым для сех сезонов и широтных зон набором допустимых невязок контоля геопотенциала изобарических поверхностей, а варьировать х в зависимости от времени года и в особенности от широтного ояса. Следует указать, что внесение такого усовершенствования алгоритм контроля не вызывает сколько-нибудь серьезных заруднений.

4. В рассмотренной схеме для контроля привлекались данные е более двух уровней. Расчеты показывают, что добавление еще дного или нескольких уровней не должно повысить точности онтроля. Так, в табл. 3 представлена матрица интерполяционных есов для случая, когда используются три влияющих уровня (как

правило, два ниже и один выше контролируемой поверхности Уже простое рассмотрение этой матрицы показывает, что вес на более удаленного уровня, как правило, либо отрицателен, либ весьма мал. Вычисление теоретических ошибок также показывае что эффект от добавления третьего влияющего уровня, как правило, мал. Однако для некоторых поверхностей учет дополнител ного уровня может несколько улучшить результаты контроля.

Что же касается использования при контроле еще большег числа уровней, то опыты по применению метода в различных ег вариантах позволяют с несомненностью утверждать, что использование большого числа влияющих уровней не приводит к улучшению результатов.

Таблица Эмпирические и теоретические ошибки сопоставления (дам) интерполированных и наблюденных значений геопотенциала

1	·					
Поверхность, мбар	Месяц	δH	$ \delta H $	0,8 E	δ <i>H</i> _{max}	2,5 E
1000	I	0,1	1,5	2,7	5,2	8,3
	VII	0,4	1,4	2,7	4,5	8,4
850	1	0,1	0,8	1,9	3,1	5,8
	VII	0,2	0,7	1,9	3,0	6,0
700	I	0,4	1,0	1,6	3,9	5,2
	VII	0,1	0,9	1,7	3,1	5,4
500	Í	—0,2	1,3	2, 3	4,7	7,2
	VII	0,2	1,0	2,0	4,3	6,2
300	1	0,4	2,6	3,0	7,6	9,4
	VII	0,4	1,9	2,7	7,3	8,5

Представляет интерес рассмотреть наряду с теоретическими также и эмпирические значения ошибок сопоставления интерполированных и наблюденных значений геопотенциала. Соответст вующие данные для умеренных широт представлены в табл. 4 в виде средних с учетом знака, средних абсолютных, а также максимальных по величине ошибок сопоставления. Для сравнения в табл. 4 приведены величины 2,5E из табл. 2, а также значения 0,8E, которые при нормальном распределении ошибок соответствуют их среднему абсолютному значению. Мы видим, что как средние, так и максимальные эмпирические ошибки заметно меньше их теоретических оценок. Поэтому можно надеяться, что чувствительность рассмотренного метода даже выше, чем это вытекает из данных табл. 2.

Некоторые результаты, касающиеся эффективности контроля потенциала с помощью описанного метода, приведены в рабо-[3].

В заключение укажем, что аналогичным путем могут строиться годы статистического контроля вертикальных профилей других георологических элементов.

СПИСОК ЛИТЕРАТУРЫ

Гандин Л. С. Объективный анализ метеорологических полей. Л., Гидрометеоиздат, 1963. 288 с.

Мер цалова О.Б. Стандартизация вертикальных корреляционных связей давления.— «Труды НИИАК», 1972, вып. 79, с. 37—53. Пригодич А.Е. Об одном методе контроля вертикальных профилей гео-

потенциала главных изобарических поверхностей. — См. наст. сборник. Юдин М. И., Ильин Б. М., Руховец Л. В. Ободном способе контроля и исправления аэрологических телеграмм. — «Метеорол. и гидрол.», 1964, № 5. c. 35—39.

ОБ ОДНОМ МЕТОДЕ КОНТРОЛЯ ВЕРТИКАЛЬНЫХ ПРОФИЛЕЙ ГЕОПОТЕНЦИАЛА ГЛАВНЫХ ИЗОБАРИЧЕСКИХ ПОВЕРХНОСТЕЙ

1. В статье [8] был предложен статистический способ контро ля правильности данных геопотенциала стандартных изобарич ских поверхностей, основанный на применении метода оптимал ной интерполяции по вертикали; будем называть его далее верт кальным контролем (ВК). Некоторые вопросы реализации В рассматривались также в работах [1-5]. В Ленинградском бют погоды накоплен значительный опыт его применения, тем боле ценный, что этот способ не получил такого широкого распростр нения как, например, горизонтальный контроль (ГК) данных ге потенциала [1]. В данной работе мы обсудим некоторые вопрос практической реализации ВК и полученные при этой реализаци результаты. Затем будет рассмотрен усовершенствованный мето контроля, названный условно вертикально-потенциальным контре лем (ВПК), а также результаты его применения в качестве един ственного способа контроля и исправления данных о вертикально распределении геопотенциала. Подобная ситуация возникает п существу при последовательном соединении нескольких способо контроля, что широко применяется в настоящее время, и применении комплексного горизонтально-вертикального метод контроля [5] в районах, слабо освещенных наблюдениями. ВПК так же как и ВК, может быть использован для дополнительног контроля геопотенциала в кустовых пунктах обработки данны радиозондирования атмосферы [10], а также данных спутниково го термического зондирования атмосферы.

Напомним, что ВК основывается на сравнении величин невя зок δ_i , рассчитанных по данным проверяемой станции со стати стически найденными допустимыми величинами невязок Δ_i , при

чем

$$\delta_i = H'_i - H'_{iH}, \tag{1}$$

 H_i' — отклонение от нормы i-того уровня, определенное по данм, переданным со станции; H_{iH}' — проинтерполированное отклоние от нормы, определенное по данным соседних уровней этой станции.

Применительно к особенностям ВК ошибки в данных геопотенала удобно разделить на два класса: простая ошибка (в сводке еется только одно ошибочное значение геопотенциала) и сложя ошибка (имеются ошибки в данных геопотенциала более чем

ного уровня).

Рассмотрим зависимость между величиной простой ошибки реакцией ВК (приводимые ниже величины ошибок характерны я уровней 850-500 мбар). Мелкие ошибки размером менее 4 дам пропускаются контролем. Диапазон ошибок 3-8 дам вывает появление невязки больше допустимой только на том уровиде имеется ошибка. Ошибки 5-15 дам вызывают появление $> \Delta_i$ сразу на двух-трех уровнях и возникает проблема опреления уровня, содержащего ошибку, ибо интерполяционные авнения допускают несколько вариантов исправлений. Ошибки, льшие 15-20 дам, вызывают появление невязок, превышающих итические, на трех — шести уровнях, но проблема выбора уров с ошибкой решается обычно без затруднений.

В случае наличия в данных сложной ошибки общую законорность вывести затруднительно. Наиболее неприятным является риант, когда имеем две ошибки на уровнях, близких к крайним, учайно согласованные по величине; при такой ситуации может

ть пропущена крупная ошибка.

Таким образом, ВК требует наличия определенного алгоритма инятия решения (АПР). В программе для ЭВМ, составленной М. Ильиным [8], в основе АПР лежит способ автоматического следовательного перебора попыток исправления сомнительных овней в направлении от нижних уровней к верхним. Можно погать, что такой АПР не сможет полностью решить задачу разления ошибок в данных на простые и сложные, а также задачу ределения уровня в случае простой ошибки порядка 10 дам.

2. Оценки контроля данных геопотенциала шести уровней при эмощи ВК проводились по двум выборкам. Первая содержала ыше 20 тыс. телеграмм за 1964-1966 гг. При этом были взяты гедующие значения предельных невязок Δ_i и предельных вели-

ин допустимой ошибки исправления геопотенциала $\overline{\Delta_i}$:

i	ровен	Ь,	M	ıба	ıр	•			•	•		•				10	00	850	700	500	300 200
Ì	дам																9	4	6	8	9 27
ļ	лам												٠.			_	5	4	5	5	. 6 12

начения Δ_i существенно увеличены по сравнению с первоначальым вариантом [8], что объясняется «необходимостью сохранеия информации в малоосвещенных районах» [7]. Исправления еопотенциала оказались верными (в соответствии с допусками $\overline{\Delta_i}$) в 81% случаев; неверные исправления наиболее часто про водились на уровне 850 мбар. Восстановление отсутствующих з чений было правильным в 94% случаев. Правильно выполнена браковка данных в 58% случаев. Число невыявленных оши геопотенциала составило около 1% [7]; отметим, что последни величину трудно оценить точно.

Вторая выборка содержала 21 тыс. телеграмм за все меся 1971 г. Каждый случай содержал в среднем 200 станций. Из эт го количества ВК исправлял и восстанавливал данные на 20 ста

Таблиц Число исправлений простых ошибок на отдельных уровнях вертикальным контролем

			Урове	нь, мба	Р		
	1000	850	700	500	300	200	Всє
Верные исправления	165	209	154	1 8 3	178	346	12
Неверные исправления	63	88	47	54	62	180	4
Исправлен уровень $i+1$	33	0	1	3 .	0	_	1
Исправлен уровень $i-1$		26	41	0	0	19	ť

циях (10%) и отбраковывал на трех (1,5%). Однако разобра удалось данные только 2040 сводок, подвергшихся воздействи контроля. Допуски были взяты следующими:

Уровень, мбар	٠.				·.		٠.		•,		1000	850	700	500	300	2
Δ_i дам			.•								. 9	4	7	8	10	
$\overline{\Delta}$; дам		-			_						3.5	2.5	3.5	4.5	5.5	

Небольшое увеличение Δ_i и уменьшение $\overline{\Delta_i}$ объясняется накопл нием соответствующего эмпирического материала.

Приведем выводы об эффективности работы ВК в отношени сложных ошибок. Всего обнаружено (разными способами) 294 т кие ошибки. Рассматриваемый вариант метода ВК, примененны изолированно от других методов контроля, правильно отбраковывает 76% сложных ошибок, пропускает 24% и еще отбраковывае простые ошибки в количестве, равном 30% от числа сложны ошибок.

В табл. 1 приведены результаты исправления данных, которы АПР контроля идентифицировал как содержащие простые оши ки. Из данных таблицы следует, что ВК исправил правильно 71 случаев простых ошибок. Эта величина значительно хуже, чем полученная в работе [8]. Объяснить это можно следующими обстоятельствами. При применении ВК возникает проблема выбор

ровня, содержащего ошибку (см. п. 1); эта причина снизила спешность исправления на 7%. На 6% ухудшился результат иза проскальзывания сложных ошибок, принимавшихся за простые, ошибочного исправления правильных данных. Оказали влияние акже применение существенно больших величин Δ_i , применение есов теплого периода для других сезонов года и недостаточно очное задание норм геопотенциала.

Из ряда соображений следовало бы ожидать наибольшую точость исправления простых ошибок на уровне 850 мб, но данные абл. 1, как и результаты оценки первой выборки, не подтвержают этого. Именно на этом уровне имеет место наибольшее число шибочных исправлений вследствие принятия неправильного речения об уровне с ошибкой. Причина состоит в том, что ошибка I_{1000} , равная 5—11 дам, может вызывать невязку $|\delta_{1000}| < \Delta_{1000}$ одновременно $|\delta_{850}| > \Delta_{850}$. Подобное явление имеет место и на райних верхних уровнях при ошибке H_{200} в 10—30 дам. Таким обазом, причиной явилась рассогласованность (несоответствие) вечичи Δ_{1000} и Δ_{850} (Δ_{300} и Δ_{200}).

При сравнении данных третьей и четвертой строк в табл. 1 особенно, если учесть, что первая величина в третьей строке меет своим происхождением другую причину) видно большое греобладание количества исправлений данных более низких уровей. Это связано с недостатком используемого АПР (именно направлением перебора уровней снизу вверх). Итак, были обтаружены недостатки ВК, не носящие принципиального характера, и можно было надеяться на их частичное или полное устранение.

Для целей контроля оперативных данных о геопотенциале меодом оптимальной интерполяции требуется знание норм геопоенциала. Анализ ряда упрощенных способов задания норм покаал, что такие упрощения могут быть причиной неправильного контроля данных. В итоге было решено задавать нормы над всей ерриторией полушария в узлах географической сетки с шагами то широте 10° и по долготе 20°. Такая величина шагов обеспечивает довлетворительное описание климатических центров действия атлосферы. При этом для описания одного поля норм требуется 90 ячеек памяти ЭВМ. В одной ячейке вместе с нормой геопотендиала должна содержаться и норма его изменчивости. Предваригельные оценки показали, что программа интерполяции норм обепечивает расчет $\overline{H_i}$ в нижней тропосфере с точностью около I дам, а в верхней — около 3 дам. В отдельных точках на поверхностях 300 и 200 мбар из-за нелинейности поля норм погрешности определения их достигают 5-7 дам. Положение существенно облегчает тот факт, что ошибки интерполяции норм обычно плавно меняются от уровня к уровню.

3. Рассмотрим вопрос о применении закономерностей распределения потенциальной температуры Θ в атмосфере для целей контроля вертикального профиля геопотенциала.

Эта идея возникла, с одной стороны, из того факта, что в случаях, когда АПР вертикального контроля делает заключение об и правлении геопотенциала уровня, не содержащего ошибку, прои ходят серьезные искажения распределения толщин слоев, а сл довательно, и Ө. С другой стороны, С. Л. Белоусов высказал мыс, о возможности использования закономерностей распределения при согласовании полей объективного анализа на разных уровня что важно для схем прогноза, чувствительных к вертикально структуре исходного поля Ө.

Пользуясь значениями геопотенциала изобарических повер ностей, можно рассчитать для средней точки слоя среднее давление и среднюю температуру слоя, а значит и среднюю потенц

альную температуру слоя Θ . Известно, что

$$\Theta = -\frac{g}{R} - \lambda \frac{\partial H}{\partial \ln p},$$

где $\zeta = \frac{p}{1000}$, $\lambda = 0.286$. Отсюда получаем формулу

$$\Theta_i = k_i \Delta H_i$$

где

$$k_i = \frac{g}{R} \left(\frac{\sqrt{p_i p_{i+1}}}{1000} \right)^{-0.286} \cdot \frac{1}{\ln p_i - \ln p_{i+1}}, \quad \Delta H_i = H_{i+1} - H_i$$
 (дам).

При расчете использовались следующие значения коэффициентов k_i :

Известно, что в слоях воздуха достаточно большой толщині вертикальный градиент Ө имеет ограниченные пределы измен ния, выход за которые может быть квалифицирован как следст вие ошибок в исходных данных. «Потенциальный контроль» данны геопотенциала (ПК) заключается в проверке того, удовлетворя ют ли данные на станции допустимым значениям четырех па раметров: H_i , Θ_i , $\delta\Theta_i$, $\delta^2\Theta_i$, где $\delta\Theta_i$ и $\delta^2\Theta_i$ — первая и вторая раз ности потенциальной температуры. Первый этап здесь представ ляет собой так называемый контроль по допустимым значения геопотенциала; практически оказалось удобным слить его с соб ственно потенциальным контролем. Определение верхней и ниж ней границ допустимых значений H_i произведено на основани материалов аэроклиматических справочников, атласов, карт [6 9 и др.]. Определение границ Θ_i , $\delta\Theta_i$, $\delta^2\Theta_i$ первоначально был сделано на материалах выборки из 650 верных зондов и зател уточнялось на материалах 10 тыс. сводок по территории Евразии

істи Северной Америки, Африки, Атлантики севернее 30— δ° с. ш. Если получались значения параметров, близкие к прельным, то данные о геопотенциале контролировались другими етодами. Принятые значения верхних и нижних границ параетров H_i , Θ_i , Δ^{Θ}_i , $\Delta^2\Theta_i$ (для всего года) приведены в табл. 2. увствительность ПК к случайным изолированным ошибкам на ровнях 850, 700, 500 мбар несколько превосходит чувствительсть ВК и, по-видимому, близка к чувствительности статичекого контроля (СК). Так удавалось обнаружить ошибки $\delta H_{850} | = 2$ дам, $|\delta H_{700}| = 3$ дам, $|\delta H_{1000}|$ и $|\delta H_{500}|$, равные 4 дам. Іесколько ниже чувствительность ПК к обнаружению ошибок ила просчета слоя.

Таблица 2 раничные значения геопотенциала H_i , потенциальной температуры Θ_i , и ее конечных разностей $\Delta\,\Theta_i$, $\Delta^2\Theta_i$ (за год)

					_	_	_	-	_	_	_							
омер уровня	i		. •									1	2	1	3	4	5	6
ровень, мбар												1000	850	7	'00	500	300	200
/ _{i m In} дам												— 60	77	-2	25	455	785	1035
$I_{i\mathrm{max}}$ дам										٠		60	180	3	34	605	995	1285
i min K	•			٠.							٠,	2	28	246	2	61	279 3	301
i max K											•	3	2 3	326	3	34	345	363
Θ _{i·min} Κ												,	 0, 5	5	0,5	2,4	3	1
$\Theta_{i \max}$ K	•												26	2	21	30	51	
$^{2}\Theta_{i \min} K$	•	•		•.	•	•,						}					-10	,
$^{2}\Theta_{i \max} K \dots$	•	•		•	٠				٠	•				13,5	5	21	36	
												•			•			

Вопрос о диагнозе небольших ошибок (порядка 2—2,5 дам) аэрологических телеграммах, насколько нам известно, до сих тор не рассматривался. ПК помогает обнаружить и сгладить или заже исправить такие погрешности.

В табл. З для примера приведен анализ данных одного радиозонда. Обращает на себя внимание значение $T^{\circ}C$ на уровне 700 мбар, однако просто отвергнуть его нельзя. В строке ΔH_i — — ΔH_{iT} приведены разности между значениями толщины слоев, приведенных в телеграмме и рассчитанных по значениям температуры на верхней и нижней границе слоев (ΔH_{iT}). Малые велинины разностей свидетельствуют о том, что данные удовлетворяют статическому контролю. Однако ход знака разностей в районе уровня 700 мбар относится к случаю неблагоприятного сочетания мелких погрешностей. Действительно, ПК сигнализирует о неблагополучии в данных геопотенциала в районе уровней 700, 500 мбар, так как значения $\delta \Theta_2$ и $\delta^2 \Theta_1$ выше критических. ВК дает повышенное значение невязки на уровне 700 мбар. Так образом, при использовании ВПК будет принято решение о сглживании данных этого зонда.

4. Рассмотрим алгоритм принятия решения в случае сочет иия вертикального контроля с потенциальным (ВПК).

Для контролируемой станции рассчитываются значения \hat{I} H'_i , H'_{iH} , Θ_i , $\delta\Theta_i$, $\delta^2\Theta_i$. Далее идет поуровенная «проверка» бе ошибочности данных вертикальным и потенциальным контрол ми по отдельности. Каждый контроль отмечает уровни, призн ваемые сомнительными, и делает положительное или отрицател ное заключение о данных, которое мы далее будем обознача названием контроля с прибавлением знака плюс (данные верны или минус (данные сомнительны).

Таблица Анализ данных радиозондирсвания; станция 72816, 00 ч, 2 февраля 1974 г.

$У$ ровень P_i мбар	1000	850	700	500	300	200
Высота H_i дам	27,6	91,9	230,0	470	815	108
Температура T_i °C	≈20	30,3	23,1	39,1	-44,7	_5
$\Delta H_i = H_{i+1} - H_i$ дам	119	5,5 1	38,1 2	40 3	45 2	67
ΔH_{iT}	118	3 14	40 2	238 3	45,5 2	266,5
$\Delta H_i - \Delta H_{iT}$	1	l,5 –	-2	2 –	-0,5	0,5
Θ_i	257	7,2 20	61,8 2	283,2 3	02,7	36,6
$\delta\Theta_i$	1	4,6	21,4	19,5	33,9	1
$\delta^2\Theta_i$, '	15,8	19,5 —1,9	14,4	ı.

Принят следующий АПР. При сочетании ВК₊, ПК₊ делает вывод, что данные верны. При сочетании ВК₋, ПК_± начинаем «по пытки исправления» для уровней, отмеченных вертикальным конт ролем как сомнительные. Предусмотрен и второй этап попыто исправления — по уровням, отмеченным потенциальным контролем как сомнительные, или даже (если ПК₊) по всем уровням При сочетании ВК₊, ПК₋ начинаем попытки исправления перебо ром уровней, отмеченных потенциальным контролем, а при необ ходимости — всех уровней. Последний вариант работы ВПК во зникает при небольших ошибках или значениях геопотенциала близких к экстремальным, и представляет собой по существу сглаживание вертикального профиля геопотенциала.

Если попытки исправления не удались, то данные отбраковынаются.

5. Рассмотрим результаты применения ВПК.

Значале приведем значения использованных допустимых невязок ертикального контроля, входящего в состав ВПК

ровень,	мба	p .										1000	850	7 0 0	500	300	200
; лам.					 		_					. 5.8	3.5	4.5	6	8	14

Сак видим, удалось значительно уменьшить их по сравнению применявшимися ранее (п. 2); при этом были использованы ре-

ультаты работы [3].

Опыты показали, что для ВПК характерна значительная чувтвительность к точности задания норм. Так, попытка использовать нормы геопотенциала за апрель для контроля данных за парт привела к частым необоснованным отбраковкам данных ровня 200 мбар в высоких широтах. Применение норм января для контроля данных за декабрь и февраль не вызывает столь рупных нежелательных последствий, однако и здесь имеем уветичение числа необоснованных воздействий ВПК на данные. Можно сделать вывод, что в данной постановке задачи для ВПК необходимо применение своих норм геопотенциала за каждый месяц.

Вертикально-потенциальному контролю были подвергнуты 52 случая оперативных данных геопотенциала шести уровней (свыше 10 тыс. сводок) за январь, февраль, апрель, июль, окябрь, декабрь 1971 г. Было решено сделать общую оценку рабоны контроля без подразделения итогов по отдельным уровням. При этом ставилась оценка плюс, если исправление было верным. соответствии с допусками $\overline{\Delta}_i$, или были отбракованы данные, содержащие сложную ошибку; в противном случае ставилась оценка минус; ставилась оценка плюс — минус, если была существенно уменьшена только часть сложной ошибки. Отлельно полсчитывалось число случаев сглаживания данных геопотенциала (признаки его: имеется реакция только у ПК; данные геопотенциала исправлены на величину 0,5—3 дам).

Непосредственному воздействию контроля подверглись данные 1375 телеграмм (13,5% общего количества). Из них признано верными 84,5% воздействий, неверными 12,5%; сглаживание было в 3% случаев. Для этих же случаев при ВК признано верными 67,7%, неверными — 32,3% воздействий на данные. Количество ошибок вследствие неточного определения уровня с ошибкой уменьшилось более чем в три раза по сравнению с ВК — от 55 до 15, но одновременно оно увеличилось до 40 (0,4% всех данных) за счет путаницы уровней при мелких ошибках (2—4 дам), которые ранее пропускались вертикальным контролем. Относительно малое улучшение достигнуто на уровне 200 мб. Помимо упоминавшихся ранее, укажем еще отдельные недостатки ВПК (в скобках указан % от общего числа сводок):

— отбраковка при наличии одной ошибки в данных (<0,2%);

— исправление данных при отсутствии ошибки (<0,1%);

— пропуск случаев, когда две «согласованные» ошибки вызы вают при работе ВПК появление третьей ошибки (<0,1%).

Ближайшими задачами развития метода контроля являются по нашему мнению, объединение ВПК с горизонтальным контро лем; использование норм геопотенциала и изменчивости для уточ нения допустимых невязок, параметров и весов; исследование ра боты ВПК в комплексе контролей СК—ВПК—ГК.

В заключение автору приятно поблагодарить Л. С. Гандин и С. Л. Белоусова за помощь и поддержку, оказанные при вы полнении этой работы.

СПИСОК ЛИТЕРАТУРЫ

- 1. Белоусов С. Л., Гандин Л. С., Машкович С. А. Обработка опера тивной метеорологической информации с помощью электронных вычисли тельных машин. Л., Гидрометеоиздат, 1968, 282 с.
- 2. Гандин Л. С. Об автоматическом контроле текущей метеорологической ин формации. — «Метеорол. и гидрол.», 1969, № 3, с. 3—13. 3. Гандин Л. С., Пригодич А. Е. О статистическом контроле вертикальны
- профилей геопотенциала. См. наст. сб. 4. Гандин Л. С., Смирнова Л. В. Об автоматическом контроле оператив
- ной метеорологической информации. «Труды ГГО», 1972, вып. 308. с. 60—
- 5. Гандин Л. С., Тарасюк В. В. О комплексном контроле аэрологической
- информации. «Метеорол. и гидрол.», 1971, № 5, с. 3—9. 6. Заставенко Л. Г. Барическое поле тропосферы Северного полушария. «Труды НИИАК», 1972, вып. 86, 239 с.
- 7. Орлова Л. С. К вопросу об оперативном испытании численных схем прог нозов карт барической топографии и приземного поля давления. — В Сб работ Ленинградской ГМО, 1966, вып. 3, Изд. Северо-Западного УГМС
- 8. Юдин М. И., Ильин Б. М., Руховец Л. В. Об одном способе контроля и исправления аэрологических телеграмм.— «Метеоролог, и гидрол.», 1964 № 5, c. 35—39.
- 9. Аэроклиматический атлас Северного полушария. Т. 1. Л., Гидрометеоиздат 1961, 298 c.
- 10. Наставление гидрометеорологическим станциям и постам. Вып. 4, ч. 1Па Л., Гидрометеоиздат, 1973. 256 с.

ТРЕХКОМПОНЕНТНАЯ МОДЕЛЬ КОМПЛЕКСНОГО КОНТРОЛЯ ГЕОПОТЕНЦИАЛА И ТЕМПЕРАТУРЫ ИЗОБАРИЧЕСКИХ ПОВЕРХНОСТЕЙ

to a major service of the service of

1. Введение

Проведенные под руководством Л. С. Гандина исследования 4, 5] показали, что к аэрологической информации о геопотениале h и температуре t можно применять три разных метода онтроля: горизонтальный и вертикальный статистические [2, 9] етоды и статический контроль h и t [2, 8]. Эти способы контроя выявляют все типы ошибок, содержащиеся в аэрологических елеграммах. Если рассматривать применение в комплексе горионтального, вертикального статистического и статического метоов контроля по отношению к двум элементам h и t, то получатся пятикомпонентный контроль. Модель комплексного контроля ожно упростить, учитывая, что информация о качестве данных, олученная с помощью результатов вертикального статистическоо контроля, в принципе не вносит много нового по отношению горизонтальному контролю h и t и статическому контролю этих лементов. С другой стороны, статический контроль обладает ядом преимуществ перед вертикальным статистическим контолем.

По этим соображениям мы ограничились трехкомпонентной мо-елью контроля.

Построению такой модели предшествовало сравнение чувствиельности трех компонент комплексного контроля.

Порог чувствительности статического контроля можно харакеризовать множителем $N_{\rm c}$, так как значения допустимых невязок ыражаются через $N_{\rm c}\Delta_{i\,\,{\rm дon}}^{i\,+\,1}$, где $\Delta_{i\,\,{\rm дon}}^{i\,+\,1}$ — некие эталонные эмпиричеки найденные [7, 8] значения допустимых невязок в слое между ровнями $i\,\,$ и $i\!+\!1$.

Порог чувствительности горизонтального контроля геопотениала и температуры определяют множители N_h и N_t соответст-

венно, так как допустимые невязки горизонтальной оптимально интерполяции удобно принять равными: $N_b \sqrt{\varepsilon + \eta} \sigma_b$, $N_t \sqrt{\varepsilon + \eta} \sigma_t$ где є и n — мера ошибки оптимальной интерполяции и мера оши бок наблюдения, о — средние квадратические отклонения соот ветствующих элементов.

Таблица Классификация основных типов изолированных ошибок Признаки ошибки по компонентам Тип ошибки комплексного контроля І. Ошибки геопотенциала или Невязки горизонтального контроля h или температуры, возникающие превышают допустимые; невязки статиче ского контроля в слоях, соседних с дан либо в каналах связи, либо в процессе кодирования или ным уровнем, в случае ошибок h выше до раскодирования аэрологичепустимых, а в случае ошибки t — не мень ской информации ше допустимых невязок при уменьщенном приблизительно вдвое, пороге чувствитель ности Ошибки зондирования, воз-Начиная с какого-то уровня невязки гори никающие в результате незонтального контроля h или t превышаю допустимые значения. Невязки статическо исправности или неправильной регулировки зонда. го контроля меньше допустимых. Этот вид ошибок с точки зрения признако Ошибки местоположения как результат неверного воспаналогичен ошибкам зондирования, но не риятия индекса станции вязки ошибок горизонтального контрол: превышают допустимые начиная с самого нижнего уровня III. Ошибки неправильного вы-Невязки статического контроля в данном слу числения относительного геочае превышают допустимые значения; не потенциала вязки горизонтального контроля h начиная с уровня, ограничивающего сверху данный слой, превышают допустимые значения. Не вязки горизонтального контроля t меньше допустимых IV. Ошибки неправильного вы-Начиная с самого нижнего расчетного уровчисления высоты 1000 мбар ня невязки горизонтального контроля h преили перенос ошибки вычивышают допустимые значения. Невязки горизонтального контроля t и статического сления относительного геопотенциала слоев, располоконтроля меньше допустимых женных ниже самого нижнего рассматриваемого конт-

Статический контроль по сравнению с горизонтальным контролем h и t хуже реагирует на ошибки в значениях t, чем на ошибки в значениях h. Следовательно, ошибки-t выявляются в основном горизонтальным контролем t и подтверждаются и уточняются результатами статического контроля. Ошибки в значениях $ar{h}$ выявляются главным образом статическим контролем

ролем уровня

подтверждаются и локализуются горизонтальным контролем h. роги чувствительности компонент комплексного контроля приты следующими: $N_c = 0.75$ (по отношению к h) и $N_c = 0.5$ (по ношению к t), $N_h = 4$, $N_t = 5$.

По результатам многокомплексного контроля представляется зможным определить причины возникновения ошибок. Это пожено в основу алгоритма принятия решения и исправления ибочной информации. Чтобы поставить оптимальный диагноз, обходимо располагать классификацией ошибок, содержащихся аэрологических телеграммах. В соответствии с сочетанием ошик в сводке можно разделить ошибки телеграммы на изолиронные 1, неизолированные и смешанные. Для каждого из расатриваемых трех видов контроля с точки зрения признаков, торые им свойственны, выделим четыре основных типа изоливанных ошибок (табл. 1).

2. Алгоритм комплексного контроля и исправления ошибок

Все станции, сообщения которых имеются в совокупности реданной информации, обрабатываются в две итерации послевательно двумя блоками: блок І — получение невязок по испольемым методам контроля, блок II— принятие решения о пральности информации и в случае ошибок исследование возможсти исправления на данной итерации. Далее будет показано, о хотя блок II исправляет ошибки главным образом по резульстатического контроля, внесение в сводку изменения оизводится так, чтобы введенное исправление не противоречило ловию горизонтальной согласованности данного элемента. Поольку при горизонтальной интерполяции иногда допускаются убые погрешности, связанные с присутствием в данных влияюих станций ошибок, для устранения которых принимаемые ряде случаев меры неэффективны, заключение о правильности правления ложной информации сделать затруднительно. Поэтоу оказалось целесообразным разделить совокупность всей инррмации на три класса: 1) правильная, 2) ложная, но уверенно правляемая и 3) неисправимая (правильной будем также счить информацию с внесенными исправлениями на этой итерации) сомнительная. Уточним, что на первой итерации исправляются авным образом изолированные и иногда смешанные ошибки; на орой итерации рассматриваются только сомнительные станции. ичем в горизонтальном контроле в качестве влияющей испольется информация, признанная правильной на первой итерации. В блоке І для данной станции по всем уровням получаются вязки трех видов контроля. Первым выполняется статиче-

¹ Вообще говоря, понятие изолированности ошибки связано с применяемой тодикой контроля. По-разному, например, определяются изолированные ибки вертикального статистического и статического контроля. В нашем слуе изолированность определяется результатами статического контроля.

ский контроль. Определяются случаи с невязками, превышающ ми допустимые, запоминается вектор невязок. В цикле по урс ням в начале производится горизонтальный контроль h с доп стимой невязкой, определяемой значением множителя $N_h = 4$, а з тем горизонтальный контроль t при значении множителя N_t Горизонтальный контроль выполняется по-разному, в зависимос от невязок статического контроля соседних слоев (процеду конкретизации). Если обе эти невязки или одна из них прево ходит допустимые значения, а невязки горизонтального контрол меньше допустимой при $N_h = 4$, тогда понижается порог чувств тельности до значения множителя $N_h = 2.2$. Если даже при знач нии $N_h = 2.2$, при которой допустимая невязка близка к ощиб оптимальной интерполяции h, невязка горизонтального контро геопотенциала меньше допустимой, то аналогичная процедура вы ВЫПОЛНЯЕТСЯ И ДЛЯ ТЕМПЕРАТУРЫ. ПРИЧЕМ ПОРОГ ЧУВСТВИТЕЛЬНОСТ горизонтального контроля t понижается до $N_t = 3.2$. Однако ино да, несмотря на процедуру конкретизации, имеет место такое не соответствие невязок статического и горизонтального контр ля, при котором статический контроль указывает на наличи ошибки, а горизонтальный контроль этого не подтверждает. В та ких случаях при условии достаточного количества станций (не меньше двух), в зависимости от величины невязк статического контроля можно принять решение о наличи ошибки. Отметим, что дальнейшее уменьшение допустимых невя зок горизонтального контроля до ошибки оптимальной интерпе ляции является нецелесообразным, поскольку в этом случае ро зультаты контроля в принципе не вносят новой информации В построенной схеме уверенность в наличии ошибки всегда пол тверждается независимо от значения множителя N путем пооче редного исключения по одной из влияющих станций и проверки действительно ли есть ошибка.

После выполнения статического и горизонтального контроля запоминаются следующие характеристики:

1) вектор невязок статического контроля: $\delta = \{\delta_i^{i+1}\}_{i=1, \dots, n-1, r}$ где n — количество уровней;

2) вектор невязок (превосходящих допустимые) горизонталь ного контроля h: $\Delta h = \{\Delta h_i\}$, где

$$\Delta\,h_i = \left\{ egin{array}{ll} 0, & ext{ec}_{ ext{$\scalebox{$\sc$$

3) вектор невязок (превосходящих допустимые) горизонталь ного контроля t: $\Delta t = \{ \Delta t_i \}$, где

$$\Delta\,t_i = \left\{ \begin{array}{ll} 0, & \text{если } |\Delta\,t_i| < \Delta\,t_{i\,\text{доп}}, \\ \Delta\,t_i, & \text{если } |\Delta\,t_i| \geqslant \Delta\,t_{i\,\text{доп}}. \end{array} \right.$$

Для данной станции по значениям указанных векторов нетрудв найти следующие интегральные характеристики:

$$\sum_h = \sum_{i=1}^n \delta_i$$
, где $\delta_i = \left\{egin{array}{ll} 0 & ext{при } \Delta \, h_i = 0, \ 1 & ext{при } \Delta \, h_i
eq 0, \end{array}
ight.$

аналогично для горизонтального контроля t и для статичекого контроля — Σ_t , Σ_c . сли $\sum_h \neq 0 \lor \sum_t \neq 0 \lor \sum_{
m c} \neq 0$, то вызывается блок II.

Имея в виду специфику ошибок, встречающихся в аэрологичеких телеграммах, и особенности используемых методов контроля,

эжно исходить из следующего:

1. Будем полагать, что при указанных порогах чувствительрсти наличие ошибки всегда скажется на результатах хотя бы дного из видов контроля, или, по-другому, что вероятность слуайного сочетания грубых ошибок, которые компенсируются при ыполнении отдельных видов контроля, пренебрежимо мала.

2. Исходя из того, что невязки горизонтального контроля разыты (как полученные с помощью статистической интерполяции), удем классифицировать ошибки по результатам всех видов коноля, но количественные исправления будем вводить в основном

р данным статического контроля.

3. Ошибки зондирования бракуются без исправления.

На первой итерации с помощью алгоритма принятия решения олученный для данной станции комплект невязок рассматривагся с точки зрения возможности наличия в телеграммах слеующих ошибок:

1. Ошибки в значениях геопотенциала:

а) на самом нижнем уровне i=1; если невязка кого контроля в самом нижнем слое превышает допустимое знаение, т. е. $|\delta_1^2| > N_{
m c} \Delta_{1\,
m доп}^2$ (в описываемой модели для статического ритроля относительного геопотенциала принят множитель $N_{\rm c} =$ ±0,75), причем выполняются условия:

изолированности

$$\Delta t_1 = 0 \wedge (\Delta h_2 = 0 \wedge \Delta t_2 = 0 \vee |\delta_2^3| < \Delta_2^3),$$

корректности внесения исправления

$$|\Delta h_1 + \delta| < |\Delta h_1|,$$

где δ — предполагаемая ошибка, $\delta = \delta_1^2$, тогда в значение h_1 вноится исправление

$$h_1:=h_1+\delta;$$

б) на промежуточных уровнях i=2,3,...,n-1; если невязка стаического контроля в нижнем по отношению к данному уровню слое больше допустимой, т. е. $\left|\delta_{i-1}^{i}\right| > N_{\rm c} \Delta_{i-1\,{\rm доп}}^{i}$ и невязг статического контроля в верхнем соседнем слое больше полвины (удобно, ради исключения пропусков ошибок, принять хобы в одном из соседних с данным уровнем слоев $N_{\rm c} < 0.75$) допустимой величины, т. е. $\left|\delta_{i}^{i+1}\right| > 0.5 \Delta_{i\,{\rm доп}}^{i+1}$, или, наоборот, $\left|\delta_{i-1}^{i}\right| > 0.5$ $\times \Delta_{i\,{\rm LOS}}^{i} \wedge \left|\delta_{i\,{\rm don}}^{i+1}\right| > N_{\rm c} \Delta_{i\,{\rm don}}^{i+1}$, причем выполняются условия: изолпрованности

$$|\delta_{i-1}^i + \delta_i^{i+1}| < N_{\mathbf{c}} |\Delta_{i-1 \text{ mon}}^i + \Delta_{i \text{ mon}}^{i+1}|,$$

корректности внесения исправления

$$|\Delta h_i + \delta| < \left\{ egin{array}{ll} |\Delta h_i| & ext{при } \Delta h_i
eq 0, \ 2\sqrt{\epsilon + \eta} \, \sigma_h^i & ext{при } \Delta h_i = 0, \end{array}
ight.$$

гле

$$\delta = \left(\delta_i^{i+1} \cdot \Delta_{i-1 \text{ доп}}^i - \delta_{i-1}^i \cdot \Delta_{i \text{ доп}}^{i+1}\right) / \left(\Delta_{i \text{ доп}}^{i+1} + \Delta_{i-1 \text{ доп}}^i\right),$$

тогда в значение h вносится исправление $h_i := h_i + \delta$. В описывае мую процедуру 16) целесообразно включить исправление ошибо температуры для тех случаев, когда погрешность сказалась лиш на невязках статического контроля, применяя более жестки критерий изолированности и определения именно ошибки температуры:

$$|\delta_{i-1}^{i}/B_{i-1} - \delta_{i}^{i+1}/B_{i}| < |\Delta_{i-1 \text{ gon}}^{i} + \Delta_{i \text{ gon}}^{i+1}|.$$

Здесь B_i , а в последующем и A_i — коэффициенты статическог контроля (см. [2, 8]):

в) на верхнем уровне i=n; если невязка статического конт роля в самом верхнем слое превышает допустимое значение, т. е $|\delta_{n-1}^n| > N_{\rm c} \, \Delta_{n-1\,{\rm доп}}^n$, причем выполняются условия:

изолированности

$$\Delta t_n = 0 \wedge (\Delta h_n = 0 \wedge \Delta t_n = 0 \vee |\delta_{n-1}^n| < \Delta_{n-1 \text{ don}}^n,$$

корректности внесения исправления

$$|\Delta h_n + \delta| < |\Delta h_n|,$$

где $\delta = -\delta_{n-1}^n$, тогда в значение h_n вносится исправление

$$h_n := h_n + \delta$$
.

2. Ошибки в значениях температуры:

а) на самом нижнем уровне, t=1; если невязка горизонтального контроля температуры на самом нижнем уровне превышает допустимое значение, т. е. $\Delta t_1 \neq 0$, и абсолютное значение невязк

тического контроля превосходит допустимую величину, т. е. $< N_{\rm c} \Delta_{\rm 1доп}^2$ (подтверждение наличия ошибки температуры тическим контролем производится при $N_{\rm c} = 0.5$), причем полняются условия: изолированности

$$\Delta h_1 = 0 \wedge (\Delta h_2 = 0 \wedge \Delta t_2 = 0 \vee |\delta_2^3| < \Delta_{2 \text{ non}}^3),$$

корректности внесения исправления

$$|\Delta t_1 + \delta| < |\Delta t_1|,$$

е $\delta = \delta_1^2/B_1$, тогда в значение t_1 вносится исправление $t_1 := t_1 + \delta$; б) на промежуточных уровнях, i=2, 3, ..., n-1; если невязка ризонтального контроля температуры на i-том уровне превышадопустимое значение, т. е. $\Delta t_i \neq 0$, и абсолютные значения невяк статического контроля в соседних слоях превышают допучимые (множитель $N_c = 0.5$) величины, т. е.

$$\left|\delta_{i-1}^{i}\right| > N_{\mathrm{c}} \Delta_{i-1}^{i} \operatorname{don} \wedge \left|\delta_{i}^{i+1}\right| > N_{\mathrm{c}} \Delta_{i}^{i+1} \operatorname{don},$$

ичем выполняются условия: изолированности

$$|\delta_{i-1}^i/B_{i-1} - \delta_i^{i+1}/B_i| < N_c |\Delta_{i-1 \text{ mon}}^i/B_{i-1} + \Delta_{i \text{ mon}}^{i+1}/B_i|,$$

корректности внесения исправления

$$|\Delta t_i + \delta| < |\Delta t_i|,$$

Įе

$$\boldsymbol{\delta} = \big(\delta_{i-1}^i \, \Delta \iota_{\text{don}}^{i+1} \, + \delta_i^{i+1} \, \Delta_{i-1 \text{ mon}}^i \big) / \big(B_{i-1} \, \Delta_{i \text{ mon}}^{i+1} + B_i \, \Delta_{i-1 \text{ mon}}^i \big),$$

ргда в значение t_i вносится исправление $t_i := t_i + \delta$;

в) на верхнем уровне, i=n; если невязка горизонтального онтроля температуры на n-м уровне превышает допустимое гачение, т. е. $\Delta t_n \neq 0$, и абсолютное значение невязки статиеского контроля в верхнем слое превышает допустимую величиу, т. е. $\left|\delta_{n-1}^n\right| > N_{\rm c} \, \Delta_{n-1}^n$ причем выполняются условия:

изолированности

$$\Delta h_n = 0 \wedge (\Delta t_{n-1} = 0 \wedge \Delta h_{n-1} = 0 \vee |\delta_{n-2}^{n-1}| < \Delta_{n-2 \text{ доп}}^{n-1},$$

корректности внесения исправления

$$|\Delta t_n + \delta| < |\Delta t_n|,$$

де $\delta = \delta_{n-1}^n/B_{n-1}$, тогда в значение t_n вносится исправление $t_n:=t_n+\delta$.

Исправлению с помощью описанных алгоритмов 1 и 2 п вергаются лишь ошибки типа I (по основной классификаци Они составляют, как правило, большинство ошибок, так что пос вызова процедур 1 и 2 целесообразно пересчитать заново ко плект невязок (это, естественно, не требует выполнения горизо тальной интерполяции). Прежде чем перейти к обнаружени исправлению ошибок просчета (т. е. ошибок типа П1 и IV, с табл. 1), следует исключить из дальнейшего рассмотрения в можность наличия ошибки зондирования. Исследование хара терных признаков погрешности зондирования привело к следу щему условию:

$$\sum_{t} \geqslant 3 \wedge (\sum_{h} + \sum_{t}) \geqslant 7 \wedge \Delta h_{4} \neq 0 \wedge |\Delta h_{5}| > |\Delta h_{4}|,$$

где значения 3 и 7, найденные эмпирически, соответствуют шест уровенной (850, 700, 500, 400, 300 и 200 мбар) модели контрол Если условие (1) выполняется, то телеграмма считается на да ной итерации неисправимой, если нет, то комплект невяз в дальнейшем рассматривается с точки зрения возможности н личия в телеграмме следующих ошибок.

3. Ошибки неправильного вычисления относительного геоп тенциала. Происходит проверка в цикле по слоям — нет ли невя ки статического контроля больше допустимой. Предположим, чов слое (i,i+1) невязка δ_i^{i+1} превышает допустимое значение, то да, если выполняется хотя бы одно из следующих условий:

$$\begin{aligned} \mathbf{a}) & \wedge \left| \Delta h_j - \delta_i^{i+1} \right| < 2 \sqrt{\varepsilon + \eta} \, \mathbf{\sigma}_h^i, \\ \mathbf{b}) & \left| \delta_i^{i+1} \right| > 2 \cdot \Delta_{i \, \text{доп}}^{i+1} \wedge \left| \delta_{i-1}^{i} \right| < \Delta_{i-1 \, \text{доп}}^{i} \wedge \left| \delta_{i+1}^{i+2} \right| < \Delta_{i+1 \, \text{доп}}^{i+2}, \end{aligned}$$

считается, что имеет место ошибка неправильного вычисления от носительного геопотенциала и вносится исправление:

$$\bigwedge_{j\geqslant i+1} h_j := h_j - \delta_i^{i+1},$$

если же эти условия не выполняются, телеграмма на первой ите рации считается неисправимой.

4. Ошибки неправильного вычисления высоты 1000 мбар ил перенос ошибки вычисления относительного геопотенциала слоев расположенных ниже самого нижнего рассматриваемого в дан ной модели контроля уровня.

Если $\Sigma_h = n$ (т. е. невязки горизонтального контроля геопотен циала превышают допустимые на всех уровнях), тогда, если вы полняется условие

$$\frac{\sum_{i=1}^{n} \binom{1/\sigma_h^i}{\left(\Delta h_i - \overset{\sim}{\Delta} h\right)}}{\sum_{i=1}^{n} \binom{1/\sigma_h^i}{\left(1/\sigma_h^i\right)}} < \frac{\sum_{i=1}^{n} \binom{1/\sigma_h^i}{h} N_{h_{\mathrm{KP}}} \sqrt{\varepsilon + \eta} \sigma_h^i}{\sum_{i=1}^{n} \binom{1/\sigma_h^i}{h}},$$

$$\widetilde{\Delta h} = \left(\sum_{i=1}^{n} \left(1/\sigma_h^i\right) \Delta h_i\right) / \sum_{i=1}^{n} \left(1/\sigma_h^i\right),$$

и после преобразования

$$\sum_{i=1}^{n} \left(\Delta h_{i} - \widetilde{\Delta h} \right) / \sigma_{h}^{i} < N_{h \text{ Kp}} n \sqrt{\varepsilon + \eta}, \tag{2}$$

тается, что имеет место ошибка, и вносится исправление $=h_i - \Delta h_i$, где i=1, ..., n. В противоположном случае на данм этапе телеграмма считается неисправимой.

Таким образом, на первой итерации исправляются изолиронные ошибки всех типов (за исключением ошибок зондировая) и в ряде случаев смешанные ошибки. Запоминаются номера исправимых станций, т. е. станций с сомнительной информаей. На второй итерации рассматриваются лишь сомнительные анции, но при горизонтальном контроле выбираются в качествлияющих те станции, которые признаны правильными на перй итерации. Кроме упомянутых процедур 1, 2, 3, 4 исправляютте изолированные ошибки, исправление которых на первой ерации было невозможным из-за наличия ошибки в данных ияющих станций (не выполнялось условие корректности внесея исправления при втором просмотре выполняется).

5. Процедура исправления неизолированных ошибок.

В основу алгоритма исправления неизолированных ошибок пожены следующие соображения. Система сообщенных телеграмй n значений h и t может заключать в себе 2n ошибочных свений. Обозначим вектор ошибок $h: \delta x = \{x_1, ..., x_n\}$, а вектор ибок $t - \delta y = \{y_1, ..., y_n\}$, далее будем искать истинные значел \hat{n} и \hat{t} в виде: $\hat{n} = h - \delta x$ и $\hat{t} = t - \delta y$. Задача состоит в отыскачи векторов δx и δy . Для этого воспользуемся уравнением атики, расписанным для (n-1) слоев. Получается система (n-1) уравнения следующего вида:

$$h_{i+1} - h_i - A_i - B_i(t_i + t_{i+1}) = \delta_i^{i+1}. \tag{3}$$

ходя из того, что

$$\left| \stackrel{\wedge}{h}_{i+1} - \stackrel{\wedge}{h}_{i} - A_{i} - B_{i} \stackrel{\wedge}{\left(\stackrel{\wedge}{t}_{i} + \stackrel{\wedge}{t}_{i+1} \right)} \right| = \left| d_{i}^{i+1} \right| < \Delta_{i \text{ non}}^{i+1},$$

стему (3) можно переписать с точностью до допустимых невяк (полагая, что в среднем невязки статического контроля гинных значений $\hat{\kappa}$ и $\hat{\iota}$ равны нулю $d_{\hat{\iota}}^{i+1}=0$) следующим обра-

$$x_{i+1} - x_i - B_i(y_i + y_{i+1}) = \delta_i^{i+1}, \quad i = 1, \dots, n-1.$$
 (4)

Если количество ошибок равняется количеству невязок, п восходящих допустимые значения (это можно рассматривать г предельный случай исправляемости), то система (4) имеет точрешение при условии, что известна локализация (диагноз) ог бок. Локализацию ошибочных элементов будем считать известно данным горизонтального контроля h и t, имея в виду, что дежность ее обеспечивается ранее описанной процедурой конктизации. Решение системы линейных алгебраических уравнег (4) удобно находить численными итерационными методами.

Рассмотрим i-тый уровень. Возможны три случая: $x_i \neq 0 \land y_i \neq x_i \neq 0 \land y_i \neq 0$; $x_i = 0 \land y_i \neq 0$ (случай правильной информации $x_i = 0 \land y_i = 0$ на i-том уровне, естественно, исправлению не подверется), для каждого из которых выпишем соответствующие регния относительно x_i или y_i . Эти величины получим решени системы двух уравнений с двумя (или одним) неизвестными. \mathcal{L} i-тото уровня соответствующие уравнения системы (4) мож

записать в виде:

$$x_i - B_{i-1} y_i = \delta_{i-1}^i;$$

$$-x_i - B_i y_i = \delta_i^{i+1}.$$

Учитывая, что невязки истинных значений \hat{n} и \hat{t} по модулю пр порциональны допустимым невязкам статического контро соответствующих слоев (что, как показано в [4], обобща и уточняет решение), получим:

в случае $x_i \neq 0 \land y_i = 0$

$$\begin{split} \boldsymbol{x}_i = & \left(\delta_{i-1}^i \, \boldsymbol{\Delta}_{i \, \text{non}}^{i+1} \, - \, \delta_{i}^{i+1} \, \boldsymbol{\Delta}_{i-1 \, \text{non}}^{i+1} \right) / \left(\boldsymbol{\Delta}_{i-1 \, \text{non}}^i \, + \, \boldsymbol{\Delta}_{i \, \text{non}}^{i+1} \right), \\ \boldsymbol{y}_i = 0; \end{split}$$

в случае
$$x_i \neq 0 \land y_i \neq 0$$

$$x_i = \big(\delta_{i-1}^i B_i - \delta_i^{i+1} B_{i-1}\big)/(B_i + B_{i-1}),$$

$$y_i = -\big(\delta_{i-1}^i + \delta_i^{i+1}\big)/(B_i + B_{i-1})$$

(полагается $d_i^{lH} = d_{i-1}^l = 0$); в случае $x_i = 0 \land y_i \neq 0$

$$\begin{aligned} x_i &= 0, \\ y_i &= -\left(\delta_{i-1}^i \Delta_{i,\text{non}}^{i+1} + \delta_i^{i+1} \Delta_{i-1,\text{non}}^i\right) / \left(B_i \Delta_{i-1,\text{non}}^i + B_{i-1}^i \Delta_{i,\text{non}}^{i+1}\right). \end{aligned}$$

Как нетрудно заметить, формулы (6), (7), (8) справедлиг для $i \neq 1$ и $i \neq n$. Для определения ошибок крайних слоев на был принят следующий способ.

Предположим, что $x_i \neq 0 \lor y_i \neq 0$, где i = 1 или i = n, и буде

искать решение x_i , y_i в виде:

$$x_{1} = \alpha_{1} \Delta h_{1} \delta_{1}^{2}; \quad y_{1} = \alpha_{1} \Delta t_{1} \delta_{1}^{2}, x_{2} = \alpha_{1} \Delta h_{2} \delta_{1}^{2}; \quad y_{2} = \alpha_{1} \Delta t_{2} \delta_{1}^{2};$$
(9)

для верхнего слоя

$$x_n = \alpha_n \Delta h_n \delta_{n-1}^n; \quad y_n = \alpha_n \Delta t_n \delta_{n-1}^n;$$

$$x_{n-1} = \alpha_n \Delta h_{n-1} \delta_{n-1}^n; \quad y_{n-1} = \alpha_n \Delta t_{n-1} \delta_{n-1}^n,$$
(10)

де α_i — некий коэффициент, отыскание которого гарантирует выолнение следующих равенств: $\hat{h} = h_i - x_i$, $\hat{t}_i = t_i - y_i$ (\hat{h} , \hat{t} — истиные значения элементов).

Описанный способ есть не что иное как разброс невязок стаического контроля крайних слоев пропорционально невязкам оризонтального контроля температуры и геопотенциала крайних ровней. Подстановка h_i и t_i с учетом (9) и (10) в уравнение стаики для самого нижнего слоя дает

$$\delta_1^2 = d_1^2 + \left[\alpha_1 \, \Delta \, h_2 \, \delta_1^2 - \alpha_1 \, \Delta \, h_1 \, \delta_1^2 - B_1 \left(\alpha_1 \, \Delta \, t_2 \, \delta_1^2 + \alpha_1 \, \Delta \, t_1 \, \delta_1^2 \right) \right].$$

Полагая, что $\overset{\wedge}{\delta_1^2} = \overset{\wedge}{\delta_1^2} (\hat{n_1}, \, \hat{n_2}, \, \hat{t}_1, \, \hat{t}_2)$, получаем

$$\alpha_1 = \frac{1}{\Delta h_2 - \Delta h_1 - B_1(\Delta t_1 + \Delta t_2)},\tag{11}$$

для самого верхнего уровня —

$$\alpha_n = \frac{1}{\Delta h_n - \Delta h_{n-1} - B_{n-1}(\Delta t_n + \Delta t_{n-1})}.$$
 (12)

Совокупность формул (6)—(12) окончательно определяет ренения задачи. Можно показать, что описанный способ является бобщением метода исправления изолированных ошибок. Итерационное решение задачи исправления неизолированных ошибок производится следующим образом. В начале каждой итерации по рормулам (9)—(12) определяются значения ошибок x_i или y_i краевых уровней, затем, используя формулы (6)—(8), можно определить значения ошибок для i-того промеждуточного слоя, делая каждой итерации сдвиг по слоям. В качестве первого приближения применяются значения $h_i^{(o)}$, $t_i^{(o)}$, $\delta_i^{t+1(o)}$, рассчитанные по данным телеграмм. В дальнейшем $t_i^{(v)} = t_i^{(v-1)} - y_i^{(v)}$, $h_i^{(v)} = h_i^{(v-1)} - x_i^{(v)}$, если $\delta_i^{t+1(v)} < \Delta_{i,n}^{t+1}$ для всех i=1, ..., n-1, счет прекращается. Продолжительность расчетов определяет наперед заданное макчимальное количество итераций $(v_{\text{max}} = n-1)$.

3. Результаты численных экспериментов

Программа комплексного контроля была реализована на ЭВЛ М-222 в квазиоперативном режиме. На вход программы поступа ют в неупорядоченном виде аэрологические телеграммы, переупа кованные согласно программе первичной обработки С. Л. Бело усова [2]. На выходе получается информация о качестве теле грамм. В машинной памяти (МОЗУ 1) накапливалась информация о 360 зондах. Для каждого зонда выполнялся поиск и подбо

Таблица Статистическое распределение ошибок

Тип			. 1				11	III	ĮV	ванн		Сме
Элемент		h			t				eri .	оши нет	бки про-	ки ошиб иые
Уровень	i=n	i=2,, n—1	i=1	i=n	$\begin{vmatrix} i=2,,\\ n-1 \end{vmatrix}$	i=1			11	дан- ных	чие	
% ошибок	12	26	2	6	4	8	6	4	2	18	8	4
Σ %		40		. :	18			12	٠.	2	6	4

влияющих станций. Затем вызывался блок получения невязок и, если данные зондирования вызывали сомнение хотя бы по одной компоненте контроля на любом уровне, вызывался блок принятия решения.

Оптимизация программы заключалась, во-первых, в подборе соответствующих эмпирически определяемых значений и, во-вторых, в совершенствовании логики и последовательности внесения исправлений. Так, например, оказалось целесообразным в начале исправлять изолированные ошибки в значениях геопотенциала, а затем — в значениях температуры. Это явилось следствием того, что ошибки t хуже контролируются статическим контролем, и выполнение соответствующего критерия, более жесткого, чем использованный раньше в программе К. А. Семендяева [8], иногда давало сомнительные результаты.

Программа была испытана на материале 900 аэрологических телеграмм, поступивших с территории, по которой составлялись оперативные прогнозы в Северо-Западном УГМС (по схеме Б. М. Ильина — Л. В. Руховца) в июне 1973 г. Анализ материала показал, что примерно в 15% всех телеграмм содержалась по крайней мере одна ошибка. Статистическое распределение выявленных ошибок по данным 900 зондов представлено в табл. 2.

зультаты испытаний оказались вполне удовлетворительными к правило, хорошо исправлялись все изолированные ошибки, гом числе и ошибки на крайних уровнях. В ряде случаев оказась, что зонды с кажущимися ошибками зондирования на первой ерации, на второй, когда в качестве влияющей привлекалась авильная информация, были признаны правильными. Вообще воря, браковать по горизонтальному контролю крайне неэффективно. Об эффективности схем комплексного и последовательного этодов контроля можно судить по следующему сопоставлению:

1) количество ошибочных телеграмм, исправляемых комплекым контролем на первой итерации, составляет 8,6% всех телеамм или 57% всех ошибочных телеграмм (телеграмм хотя с од-

ой ошибкой);

2) количество ошибочных телеграмм, исправляемых схемой мплексного контроля на второй итерации, равно 4,9% всех теграмм или 33% всех ошибочных телеграмм;

3) количество неисправимых с помощью комплексного контэля ошибочных телеграмм составляет 1,5% всех телеграмм или

)% всех ошибочных телеграмм;

4) количество ошибочных телеграмм, надежно исправляемых эм последовательном способе контроля, составляет 5,1% всех те-

еграмм или 34% всех ошибочных телеграмм;

5) количество ошибочных телеграмм, исправление которых ри последовательном способе контроля сомнительно (т. е. допукаются случаи не только пропуска, но и генерирования ошибок), оставляет 6,4% всех телеграмм или 36% всех ошибочных телерамм;

6) количество неисправимых с помощью последовательной схе- ы контроля ошибочных телеграмм составляет 4,5% всех теле-

рамм или 30% всех ошибочных телеграмм;

7) количество данных, ложно забракованных горизонтальным энтролем геопотенциала, составляет 2% всех телеграмм, а колиство данных, ложно забракованных горизонтальным контролем

емпературы,—5% всех телеграмм.

Как показано в работе М. О. Кричак [6], критерий отбракови есть функция той доли информации, которой мы готовы посертвовать. Отсюда следует, что, жертвуя одинаковой долей инормации, в случае комплексного контроля можно повышать увствительность контроля. При принятых нами порогах чувствивльности $N_c = \{0.75 \text{ или } 0.5\}$, $N_h = 4$, $N_t = 5$ количество забракованной информации уменьшилось приблизительно в три раза потношению к последовательной системе. статического контроя и исправления, горизонтального контроля h и горизонтального онтроля t.

Не останавливаясь на очевидных преимуществах комплексноо контроля над последовательными системами контроля, обсуим некоторые вопросы, существенные для реализуемой схемы.

Исправление неизолированных ошибок наиболее надежно приценительно к ошибкам h и t на одном уровне (назовем их полуизолированными). Тогда из уравнения статики можно най ошибки в h и t как решение линейной системы двух уравнен

с двумя неизвестными.

Вопрос, насколько эффективен и оптимален обший итерацис ный способ исправления неизолированных ошибок вместе с во становлением отсутствующей информации на крайних уровня применительно к оперативным условиям, остается неясным. И правление по итерационному способу в принципе менее коррек но, чем обычный способ исправления изолированных и полуизол рованных ошибок. С другой стороны, неизолированные ошиб встречаются в оперативных условиях весьма редко, а восстана ливать или исправлять такие ошибки целесообразнее примен тельно к редкой сети, где ценность информации возрастает.

Что касается ошибок зондирования, вполне мыслимы случа когда критерий (1) не выполняется, а в то же время имеет ошибка зондирования, например, на последних двух уровнях. П этому необходимо выделить случай ошибок зондирования, ск зывающихся менее чем на трех уровнях. Предполагается вмест (1) применять более жесткое условие:

$$\sum_{t} \ge 3 \wedge (\sum_{h} + \sum_{t}) \ge 7 \vee \Delta h_{n} \ne 0 \wedge \Delta t_{n} \ne 0 \wedge |\delta_{n-1}^{n}| < \Delta_{n-1}^{n} |\delta_{n-1}^{n}|$$

где *n* — самый верхний уровень.

Упомянутая проблема тесно связана с самой реализацией про граммы. На вычислительной машине с большим объектом оперативной памяти можно было бы производить расщепление на лож ную и правильную информацию не только по станциям, но и п уровням. Это обеспечило бы большую точность, но реализаци такого алгоритма на языке АЛГОЛ требует использования гро моздких процедур упаковки и распаковки.

СПИСОК ЛИТЕРАТУРЫ

- 1. Андерсон Т. Введение в многомерный статический анализ. М., 1963 500 с.
- 2. Белоусов С. Л., Гандин Л. С., Машкович С. А. Обработка оператив ной метеорологической информации с помощью электронных вычислитель ных машин. Л., Гидрометеоиздат, 1968, 282 с.
- 3. Гандин Л. С. Об автоматическом контроле текущей метеорологической ин формации. «Метеорол. и гидрол.», 1969, № 3, с. 3—13.
- 4. Гандин Л. С., Тарасюк В. В. О комплексном контроле аэрологической информации. «Метеорол. и гидрол.», 1971, № 5, с. 3—9.
- 5. Гандин Л. С., Смирнова Л. В. Об автоматическом контроле оперативной метеорологической информации. «Труды ГГО», 1973, вып. 308, с. 60—72.

- Кричак М. О. К вопросу об автоматическом контроле данных измерений ветра в свободной атмосфере.—«Труды $\Gamma\Gamma$ О», 1970, вып. 267, с. 117—135.
- Рубцов И. В. Автоматическая подготовка исходных данных для численного анализа и прогноза погоды.— «Труды ГГО», вып. 124, стр. 30—38.
- . Семендяев К. А. и др. Автоматическая раскодировка аэрологических телеграмм. «Труды ГМЦ», 1967, вып. І, с. 72—79.
-). Юдин М. И., Ильин Б. М., Руховец Л. В. Об одном способе контроля и исправления аэрологических телеграмм. «Метеорол. и гидрол.», 1964, № 5, с. 35—39.

О КОРРЕЛЯЦИОННЫХ ФУНКЦИЯХ КАЧЕСТВЕННЫХ ПРИЗНАКОВ

1. Пусть метеорологический элемент x может принимать только два значения: x_1 и x_2 , а метеорологический элемент y — только два значения: y_1 и y_2 . Пусть далее по данным одновременных измерений элементов x и y получена следующая таблица совместной повторяемости (сопряженности) значений этих элементов:

		,	
у .	x 1	<i>x</i> ₂	Σ
y_1	p ₁₁	p_{21}	p_{01}
y_2	p_{12}	p_{22}	p_{02}
Σ	p_{10}	p_{12}	1

Так что, например, p_{12} есть повторяемость совпадения значений $x=x_1$ и $y=y_2$, а p_{20} — повторяемость значения $x=x_2$ независимо от значения y.

Тогда для средних значений \bar{x} и \bar{y} элементов x и y легко получить формулы:

$$\bar{x} = p_{10}x_1 + p_{20}x_2; \quad \bar{y} = p_{01}y_1 + p_{02}y_2,$$
 (1)

для дисперсий $\sigma_x^2 = \overline{x^2} - \overline{x^2}$ и $\sigma_y^2 = \overline{y^2} - \overline{y^2}$ формулы

$$\sigma_x^2 = p_{10} p_{20} (x_2 - x_1)^2; \quad \sigma_y^2 = p_{J1} p_{02} (y_2 - y_1)^2, \quad (2)$$

для ковариации $\mu = \bar{x}\bar{y} - \bar{x}\bar{y}$ — формулу

$$\mu = (p_{11} p_{22} - p_{12} p_{21}) (x_2 - x_1) (y_2 - y_1)$$
(3)

, наконец, для коэффициента корреляции $r=rac{\mu}{\sigma_{x}\sigma_{y}}$ между элеентами x и y — формулу

$$r = \frac{p_{11} p_{22} - p_{12} p_{21}}{V p_{10} p_{20} p_{01} p_{02}}.$$
 (4)

В отличие от формул (1)—(3) выражение (4) не содержит ни дной из величин x_1 , x_2 , y_1 и y_2 . Таким образом, коэффициент кореляции между переменными, каждая из которых может приниать лишь два значения, не зависит от этих значений, а зависит ишь от их совместных повторяемостей.

Разумеется, это свойство коэффициента корреляции нарушатся, если хоть одна из переменных может принимать более двух

При заданных величинах p_{10} , p_{20} , p_{01} и p_{02} , описывающих поворяемости значений каждой из переменных x и y независимо от начений другой из этих переменных, совместные повторяемости p_{11} , p_{12} , p_{21} и p_{22} связаны между собой четырьмя очевидными соотошениями:

$$|p_{11} + p_{12} = p_{10}; \quad p_{21} + p_{22} = p_{20}; \quad p_{11} + p_{21} = p_{01}; \quad p_{12} + p_{22} = p_{02}, \quad (5)$$

з которых лишь три независимых. Поэтому при таком условии юбая из величин p_{11} , p_{12} , p_{21} , p_{22} , r может быть выражена через юбую другую из них. Например, в силу (4) и (5) имеют место ормулы:

$$\begin{aligned}
p_{11} &= p_{10} p_{01} + r \sqrt{p_{10} p_{20} p_{01} p_{02}}; \\
p_{12} &= p_{10} p_{02} - r \sqrt{p_{10} p_{20} p_{01} p_{02}}; \\
p_{21} &= p_{20} p_{01} - r \sqrt{p_{10} p_{20} p_{01} p_{02}}; \\
p_{22} &= p_{20} p_{02} + r \sqrt{p_{10} p_{20} p_{01} p_{02}}, \\
\end{aligned} (6)$$

ыражающие совместные повторяемости через коэффициент кореляции. В частности, при отсутствии корреляции (r=0) из (6) олучаются простые соотношения:

$$p_{11} = p_{10} p_{01}; \quad p_{12} = p_{10} p_{02}; \quad p_{21} = p_{20} p_{01}; \quad p_{22} = p_{20} p_{02},$$
 (7)

видетельствующие о независимости переменных x и y.

Из формул (6) также следует, что коэффициент корреляции r тожет обратиться в единицу только, если $p_{01} = p_{10}$ и, следоваельно, $p_{02} = p_{20}$. Именно, при r = 1 выполняются равенства:

$$p_{11} = p_{10} = p_{01}; \quad p_{22} = p_{20} = p_{02}; \quad p_{12} = p_{21} = 0.$$
 (8)

Аналогичным образом, при r = -1 выполняются равенства:

$$p_{12} = p_{10} = p_{02}; \quad p_{21} = p_{20} = p_{01}; \quad p_{11} = p_{22} = 0.$$
 (9)

Если не выполняется ни одно из равенств $p_{01} = p_{10}$ ($p_{02} = p_{20}$ и $p_{02} = p_{10}$ ($p_{01} = p_{20}$), то ни при каких значениях совместных повто ряемостей p_{11} , p_{12} , p_{21} и p_{22} коэффициент корреляции r не може обращаться ни в +1, ни в -1.

2. Имеются три ситуации, при которых метеорологический эле мент целесообразно рассматривать в качестве дихотомическо переменной, т. е. переменной, могущей принимать всего два значения.

Первая ситуация возникает, когда в силу крайней неточност имеющейся информации о метеорологическом элементе — эт обычно относится, прежде всего, к прогностической информации — целесообразно разделять все возможные значения элемен та всего на две градации. Чаще всего в качестве таких градации применяются градации «выше нормы» и «ниже нормы». Исполь зуются и другие способы разделения всего интервала значени элемента на две градации.

В такой ситуации величину r следует рассматривать в качество приближенной оценки истинного коэффициента корреляции между двумя непрерывными переменными x и y. Эта оценка, как мывидели, не зависит от того, какие количественные значения x_1 , x_2 y_1 и y_2 приписываются градациями обеих переменных. Но она, разумеется, зависит от того, каким образом производится разделение на градации.

Вторая ситуация обусловливается тем или иным конкретным приложением информации о метеорологическом элементе, а имен но, таким, при котором возникает определенная опасность, если этот элемент выходит в ту или иную сторону за некоторое «пороговое» значение. В этих условиях целесообразно разделить все возможные значения элемента на две градации — выше и ниже порогового значения. Например, условия заморозков для расте ний характеризуют тем, что температура воздуха (или темпера тура поверхности почвы) ниже некоторого значения $T_{\rm kp}$, и вводят две градации $T < T_{\rm kp}$ (наличие заморозка) и $T > T_{\rm kp}$ (отсутствие заморозка). Штормовые условия, например для судоходства, ха рактеризуют превышением некоторого критического значения $v_{\rm kp}$ скоростью ветра v. В этом случае градация $v > v_{\rm kp}$ соответствует наличию шторма, а градация $v < v_{\rm kp}$ —его отсутствию.

В обеих рассмотренных ситуациях целесообразность разделения всех возможных значений метеорологического элемента никак не связана со свойствами самого элемента, а обусловлена либо точностью информации о нем, либо потребностями приложений В отличие от этого, в третьей ситуации мы имеем дело с метеорологическим элементом, дифференциальная функция распределения которого имеет особенность (обращается в бесконечность) в нуле, т. е. с элементом, характеризующим явление, которое может не существовать. К числу таких явлений относятся например, осадки, грозы, туманы. Часто о таком явлении действительно неизвестно ничего, кроме того, имеет оно место или

г. Но и в тех случаях, когда мы обладаем более детальной инрмацией (например, измерениями интенсивности осадков), ределенный интерес представляет статистика рассматриваемой ременной как переменной дихотомической.

Во всех перечисленных ситуациях статистическую связь межзначениями двух переменных удобно характеризовать коэфциентом r, который называют коэффициентом качественной

рреляции.

3. Коэффициент качественной корреляции естественно привлеть к рассмотрению и в случае рассмотрения связи значений ух дихотомических метеорологических элементов (или значений ного и того же элемента) в различных точках или в разные монты времени. В этом смысле целесообразно говорить о функтях качественной корреляции — как автокорреляции, так и взаной корреляции. Для таких функций можно, по аналогии обычными корреляционными функциями, вводить гипотезы об нородности и изотропии, предполагая коэффициент качественной преляции зависящим лишь от расстояния между точками. В бое ужком смысле предположения об однородности и изотропии ли стационарности по времени) для функции качественной авкорреляции означают также выполнение равенств:

$$p_{01} = p_{10}; \quad p_{02} = p_{20}; \quad p_{21} = p_{12},$$
 (10)

и которых формула (4) приобретает более простой вид

$$r = \frac{p_{11} p_{22} - p_{12}^2}{p_{10} p_{20}} \tag{11}$$

соответственно упрощаются формулы (5).

Разумеется, вместо величины r можно для характеристики ространственной или временной связности поля дихотомическоэлемента пользоваться и иными характеристиками, например, обой из величин p_{11} , p_{12} или p_{22} . Иногда вводят и другие меры вязности. Так, полагая $x_1 = y_1 = 0$, а $x_2 = y_2 = 1$, получим для струкурной функции $b = (x - y)^2$ простое выражение $b = p_{12} + p_{21}$, которе еще более упрощается при условиях (10), а именно b = 2 p_{12} . Іля ковариации μ (см. формулу (3)) получим

$$\mu = p_{11}p_{22} - p_{12}p_{21},$$

ли при условиях (10)

$$\mu = p_{11} p_{22} - p_{12}^2.$$

То сравнению со всеми этими характеристиками функция качестенной корреляции обладает тем преимуществом, что она, во-перых, не зависит от значений, присвашваемых градациям рассмативаемой переменной и, во-вторых, в известной мере аналогична

широко распространенным корреляционным функциям непрер

ных метеорологических элементов.

4. Приведем пример функции качественной автокорреляці В работе [1] исследована совместная повторяемость гроз в пунтах, расположенных на различных расстояниях друг от друга. В второй строке табл. 1 приведены полученные по данным этой р боты значения среднего числа A дней за месяц, в которые обществляется гроза в обоих пунктах, отстоящих друг от друга расстоянии ρ . Значению ρ =0 соответствует среднее число дней с грозой за месяц в одном пункте. Рассчитаем по этим да

Таблица

Функция качественной корреляции осуществления грозы в течение дрим..... 0 45 75 125 175 250 350 450 600 73 Адни/месяц., 8,8 5,3 3,9 2,8 2,3 1,9 1,5 1,3 1,2 1, г..... 1 0,45 0,22 0,05 —0,03 —0,09 —0,16 —0,19 —0,20 —0,3

ным функцию качественной корреляции гроз, понимая под x_1 ос ществление грозы в течение дня, а под x_2 — ее отсутствие. И формул (5), (10) и (11) легко получить формулу

$$r = \frac{p_{11} - p_{10}^2}{p_{10}(1 - p_{10})},\tag{15}$$

выражающую в однородном и изотропном случае коэффициен корреляции через вероятность p_{10} осуществления события в одном пункте и вероятность p_{11} осуществления его в обои пунктах. В нашем случае

$$p_{11} = \frac{A}{N}; \quad p_{10} = \frac{A_0}{N}, \tag{13}$$

где N — число дней в месяце. С учетом (13) можно переписат формулу (12) в виде

$$r = \frac{N}{A_0(N - A_0)} A - \frac{A_0}{N - A_0},\tag{14}$$

связывающем r с A линейной зависимостью (величины N и A_0 о расстояния ρ , разумеется, не зависят). В нашем примере N=31 $A_0=8,8$ (в днях за месяц), так что формула (14) дает

$$r = 0.16A - 0.40, (15)$$

где коэффициенты выписаны с точностью до двух значащи цифр. По формуле (15) рассчитана функция качественной корреляции $r(\rho)$, значения которой приведены в нижней строке табл. 1

я видим, в частности, что эта функция переходит через нуль и расстоянии ρ около 160 км, что соответствует среднему раусу грозоопасного очага.

Vнтересно, что при больших расстояниях r принимает не очень

лые отрицательные значения.

Заметим, что полученную функцию $r(\rho)$ нельзя смешивать корреляционной функцией $\mu(\rho)$ числа дней с грозой [2]. Поедняя характеризует связь между числом дней с грозой в пункх, отстящих друг от друга на расстоянии ρ , независимо от того, уществляется гроза в обоих пунктах в один и тот же день или разные дни. Поэтому функция $\mu(\rho)$ затухает с ростом ρ гораздо дленнее, чем только что рассмотренная функция $r(\rho)$.

В заключение считаю приятным долгом выразить признательсть Л. Л. Брагинской за помощь при использовании получен-

іх ею данных.

Брагинская Л. Л., Степаненко Г. А. О характеристиках совместной повторяемости гроз в различных пунктах. — «Труды ГГО», 1974, вып. 336, с. 68-74.

Лугина К. М., Масанова М. Д. Пространственная изменчивость числа дней с грозой. — «Труды ГГО», 1973, вып. 308, с. 145—158.

ОБ ОЦЕНКЕ ЭКОНОМИЧЕСКОЙ ЭФФЕКТИВНОСТИ РАБО ПО УСОВЕРШЕНСТВОВАНИЮ МЕТОДОВ ОБЪЕКТИВНОГ АНАЛИЗА МЕТЕОРОЛОГИЧЕСКИХ ПОЛЕЙ

1. В последнее время большое внимание уделяется оцени экономической эффективности научных работ вообще и рабо в области метеорологии в частности. При постановке едва ли н каждой работы требуют оценить в денежных единицах эффект о внедрения ее результатов. Это требование предполагает, что ре зультаты намеченной работы известны заранее, хотя для боль шинства научных исследований, а именно, для наиболее важны из них, это, разумеется, не так. Но даже по уже выполненно научной работе оценить корректно ее экономическую эффектив ность весьма непросто. Методы, разработанные для этой цели не учитывают специфики исследований по метеорологии и много образия направлений этих исследований, базируются на ряде поменьшей мере спорных положений, а главное, предполагают зна ние величин, которые в действительности неизвестны.

Вместе с тем ясно, что наличие хотя бы грубых порядковых оценок эффективности научных работ в области метеорологии весьма желательно. Знание таких оценок было бы полезно, ра зумеется, не для подавления той или иной тематики — занятия которым, поскольку оно не требует никакой квалификации, под час злоупотребляют, а для выдвижения проблем, разработка которых сулит значительный экономический эффект в ближайшем или более отдаленном будущем.

Научные работы по большинству естественных наук можно подразделить на познавательные (их часто называют фундамен тальными) и прикладные. Грубо говоря, познавательные работь направлены на изучение существующих закономерностей, а при кладные— на приложение этих закономерностей к решению кон кретных хозяйственных задач, выходящих обычно за рамки данной науки.

Специфической особенностью метеорологии является наличие, и, точнее говоря, большой удельный вес еще одного класса бот, которые мы будем называть информационными. Это — раты, так или иначе связанные с получением, обработкой и обобением метеорологической информации. К этой категории отнотся широкий класс работ, начиная от разработки аппаратуры и метеорологических измерений и кончая выдачей метеоролоческих прогнозов и климатологической информации 4.

Работы информационного класса развиваются, разумеется, тесном взаимодействии с познавательными и прикладными иседованиями. Разработки как средств измерения, так и методов работки, климатологического обобщения и прогноза базиются на результатах познавательных работ и вызываются в знательной мере потребностями как познавательных, так и призадных работ. Тем не менее выделение информационных работ отдельную категорию целесообразно по ряду причин и, в частюсти, потому, что возможности и пути оценки экономической рфективности таких работ существенно иные, чем для исследоний познавательного и прикладного направлений.

2. Если отвлечься от малосущественных частностей, то сущегвующая (см. например [4]) методика оценки экономической ффективности научных работ сводится к следующему. Затраты на выполнение научной работы могут состоять из единовременых затрат E_0 и постоянных затрат. Если обозначить через dE/dt остоянные затраты, отнесенные к единице времени, то получим ормулу

$$E = E_0 + \frac{dE}{dt}t,\tag{1}$$

де t — время, обычно исчисляемое в годах. Аналогичная формула

$$G = G_0 + \frac{dG}{dt} t. \tag{2}$$

тожет быть написана для выигрыша, получаемого после внедрения езультатов научной работы: он состоит из единовременного выгрыша G_0 и постоянного выигрыша, «скорость» которого, т. е. выгрыш за единицу времени, составляет dG/dt.

Знания четырех величин E_0 , dE/dt, G_0 и dG/dt, фигурирующих формулах (1) и (2), достаточно для оценки экономической эфрективности данной научной работы. Эту оценку можно производить разными путями, причем различия между ними непринципильны. Можно, например, оценить «время окупаемости» работы t_0 ,

¹ Заметим, что действия, направленные на выдачу климатологической инрормации потребителю, иногда рассматривают как работы по прикладной клинатологии. Это, разумеется, не так. Прикладными являются работы, в которых исследуется влияние метеорологических факторов на те или иные народнохозяйственные объекты или процессы.

для чего следует приравнять величины E и G и из полученного рвенства найти t_0 :

$$t_0 = rac{E_0 - G_0}{rac{dG}{dt} - rac{dE}{dt}}.$$

Можно вместо этого задать на основе тех или иных соображени (или без таковых) нормативный период окупаемости 1 $t_{\rm H}$ и оцени при $t\!=\!t_{\rm H}$ отношение выигрыша к затратам

$$\chi = \frac{G}{E}\Big|_{t=t_{\rm H}},$$

которым чаще всего принято характеризовать эффективность н учных работ.

Затраты на выполнение научной работы всегда носят единовр менный характер, постоянная часть их равна нулю. Что касает затрат на внедрение результатов работ, то они наряду с единовр менной частью могут содержать также постоянные затраты, таки например, как затраты на амортизацию внедренной аппаратур или на оплату машинного времени, необходимого для реализаци внедренной процедуры обработки данных наблюдений. Часто, о нако, постоянные затраты при внедрении пренебрежимо малы ил вообще отсутствуют, так что dE/dt = 0.

Что касается выигрыша G, то он, в противоположность затратам, чаще всего носит постоянный характер, т. е. единовременны выигрыш отсутствует ($G_0 = 0$).

При этих условиях формула (3) принимает совсем простой ви

$$t_0 = \frac{E_0}{dG/dt},\tag{8}$$

а выражение (4) для х может быть переписано в виде

$$\chi = \frac{t_{\rm H}}{t_{\rm O}}, \qquad (6)$$

- т. е. отношение выигрыша к затратам при нормативном период окупаемости равно отношению последнего к фактическому перио ду окупаемости рассматриваемой работы.
- 3. Трудности оценки экономической эффективности научных ра бот относятся, конечно, не к выводу рассмотренных формул, кото рый вполне элементарен. Столь же элементарна и непринципиаль на детализация подобных формул, выполненная, например, в упо мянутой выше работе [4]. Трудности, как практические, так и прин

 $^{^1}$ Часто принимают, например, что $\frac{1}{t_{\rm H}} = 0.12 \; {
m год}^{-1}$, что соответствует нор мативному периоду окупаемости $t_{
m H} = 8.3$ года.

пиальные, возникают при попытке корректно оценить велины затрат и выигрышей, входящие в правые части формул — (5).

Часто думают, что оценки затрат на выполнение научных работ улностей не вызывают. В качестве таких оценок берут суммы. траченные на выполнение соответствующей научной темы. Они пючают деньги, фактически выплаченные исполнителям (заратная плата, командировочные средства) и затраты на приобрение и эксплуатацию оборудования. Иногда в эти суммы вклюот дополнительные, накладные расходы. Однако такой путь корректен по крайней мере по двум принципиальным причинам. Во-первых, любая научная работа проволится не на голом сте, а на основе результатов других, выполненных ранее работ. рсобенности работ познавательного направления. В этом отношеи познавательные работы аналогичны производству средств оизволства. Экономический эффект познавательных работ проляется через внедрение выполненных на их основе работ инфорционного и прикладного направлений. Отсюда вытекает, что число затрат на выполнение данной работы нужно включать кже некоторую долю затрат на те работы — преимущественно знавательные, — без которых данная работа была бы невозможй. На выполнение каких именно работ и какую именно долю трат — на эти вопросы ответить чрезвычайно трудно. Ясно одно: бестоимость любой научной работы выше затрат на выполнение ленно этой работы.

Во-вторых, верно ли, что заработная плата и другие перечиснные суммы представляют собой те потери, которые несет обество вследствие выполнения данной научной работы? Иначе воря, верно ли, что если бы данная работа не выполнялась, то работная плата была бы сэкономлена? Разумеется, это неверно: полнители все равно получали бы заработную плату, все равно асходовали бы командировочные средства и т. п. Но они в этом тучае выполняли бы другую научную работу, внедрение результов которой или результатов последующих, базирующихся на ей работ дало бы определенный экономический эффект. Именно от эффект — эффект от другой возможной работы, которой мог ы заниматься научный коллектив, если бы он не выполнял расиатриваемой работы — и измеряет реальные потери на выполнеие данной работы. Они гораздо больше или по крайней мере олжны быть гораздо больше, чем заработная плата. В противом случае работник не имеет морального права заниматься начными исследованиями и должен переключиться на другой вид еятельности.

Из сказанного следует, что, определяя задачи тем или иным аучным коллективам, планируя их деятельность, необходимо осоенно тщательно учитывать сложившуюся специализацию таких оллективов, круг их научных интересов, имеющиеся заделы. Это еобходимо для того, чтобы задачи, поручаемые научным коллек-

тивам, решались наиболее квалифицированно, с наименьшими с тратами и в кратчайшие сроки. Неоправданные частые перекличения тематики не только вредны для развития науки и практино и влекут за собой экономический ущерб, поддающийся колиственной оценке.

Что же касается затрат на выполнение научных работ, то сказанного следует, во всяком случае, что, приравнивая их зарнуте исполнителей и другим подобным суммам, мы неизбежно пруменьшаем реальные затраты и тем самым преувеличиваем эконмическую эффективность научных работ.

4. Возможности и пути оценки выигрыша *G*, достигаемо в результате выполнения научного исследования, существен различны для трех перечисленных выше групп работ. Наибол трудно, разумеется, выполнить такую оценку для позпавател ных работ. Напротив, перспективы экономического выигрыша внедрения результатов прикладных работ сравнительно легко по даются хотя бы грубой количественной оценке.

Что же касается работ информационного направления, то можно указать лишь один, узкий класс таких работ, для которых в личину G оценить не очень сложно.

Это такие работы, направленные на усовершенствование м тодов получения или обработки информации, в результате кот рых состав, объем, точность и другие параметры выдаваемой и формации не меняются, а изменяются лишь способы получені или обработки данных. К этому классу относятся многие работ по автоматизации измерений, передаче и обработке данных. В игрыш от внедрения таких работ состоит в экономии людских р сурсов, затрачиваемых в случае отсутствия автоматизации. Эт экономия сравнительно легко поддается оценке. Для корректно выполнения ее надо учитывать два обстоятельства. Во-первы оценка должна производиться для достаточно длительного пери да времени, следующего за моментом перехода от ручных проц дур к автоматическим. Во-вторых, необходимо учитывать, экономия людских ресурсов отнюдь не равна экономии на зар ботной плате, а, как уже говорилось, гораздо больше. Не принима во внимание этих обстоятельств, можно сильно занизить экономі ческий эффект автоматизации той или иной процедуры или даж прийти к выводу об ее убыточности в тех случаях, когда он в действительности прибыльна.

Однако подавляющее большинство работ информационного на правления не принадлежит к только что рассмотренному классу. Внедрение большинства работ приводит к изменению параметров информации: она оказывается либо более широкой, либ более точной, либо более своевременной. Такое усовершенствование параметров информации позволяет уменьшить потери потребителей, пользующихся метеорологическими данными. Это уменьшение потерь потребителей и составляет выигрыш от внедрени соответствующей информационной работы.

К сожалению, все это крайне трудно поддается сколько-нидь обоснованным количественным оценкам¹. Попытки таких енок применительно к отдельным потребителям метеорологичеой информации предпринимались, но они в лучшем случае пооляют представить себе порядок величины уменьшения потерь. ри этом надо иметь в виду, что для правильной оценки выигрыа нужно учесть потери всех возможных потребителей данной инэрмации, как тех, которым такая информация нужна сейчас, к и тех, которым она потребуется в будущем. Иначе мы неизжно занизим экономический эффект рассматриваемой работы. Существует, однако, прием, с помощью которого можно иног-

существует, однако, прием, с помощью которого можно иногобойти все эти трудности. Этот прием можно назвать спосо-

м оцениваемого эквивалента. Он состоит в следующем.

Зададимся вопросом, не существует ли пути, с помощью корого можно было бы достичь того же усовершенствования паратров информации, какого удается достигнуть на основании зультатов рассматриваемой работы. Если этот другой путь сущевует, то попытаемся оценить затраты, связанные с его реалицией. Этих затрат удается избежать, потому что выполнена ассматриваемая работа. Поэтому они характеризуют экономиский эффект этой работы.

5. Способ оцениваемого эквивалента применим, в частности, вычислению экономического эффекта работ по усовершенствонию методов объективного анализа метеорологических полей. Дея таких оценок весьма проста и состоит в следующем [1]. совершенствование методики анализа поля того или иного элента приводит, естественно, к уточнению результатов этого анаиза. Можно ли достичь такого же уточнения, применяя старую, усовершенствованную методику анализа? Можно, но для этого ришлось бы соответственно расширить сеть станций, на которых роизводятся наблюдения. Затраты на функционирование дополительных станций, установки которых удается избежать благоаря усовершенствованию методики анализа, и представляет собой арактеристику экономического эффекта такого усовершенстрвания.

Рассмотрим конкретный пример.

Как известно, применяемая в настоящее время в Гидрометценте СССР методика объективного анализа полей геопотенциала ад северным полушарием [1] базируется на использовании исодных данных только о геопотенциале. В районах с густой сетью ганций такая методика обеспечивает требуемую точность анаиза, в то время как в областях с редкой сетью анализ недостарчно точен.

И. Клуге [2] разработал усовершенствованную методику объекивного анализа, включающую учет данных о ветре. Он показал, то внедрение этой методики позволит снизить среднюю квадра-

¹ Приходится подчеркнуть, что речь идет именно о сколько-нибудь обосноанных оценках в отличие от оценок никак не обоснованных.

тическую ошибку анализа на 17%. С другой стороны, по оценк С. А. Машковича [3], такое же уменьшение ошибки анализа мог бы быть достигнуто при применении существующей методики ан лиза, если в дополнение к действующим станциям северного г лушария установить в нужных местах еще 25 станций.

Затраты по содержанию одной аэрологической станции в хор шо обжитых районах суши составляют около 50 тыс. руб. в го В пустынных районах и тем более на океанах (корабли погодь эта стоимость гораздо выше. Кроме того, существуют еще един временные затраты на установку станции. Пренебрегая всеготими дополнительными затратами, получим, что внедрение усвершенствованной методики, предложенной в работе [2], да экономию

$$\frac{dG}{dt}$$
 = 50·25 = 1250 тыс. руб. в год.

Что касается затрат, связанных с выполнением данной работы, т нетрудно оценить следующие суммы:

1) стипендия, выплаченная исполнителю (И. Клуге проходи аспирантуру в СССР), составила

$$E_1 = 2,4$$
 тыс. руб.;

2) часть заработной платы руководителя, соответствующа доле времени, которая была потрачена на руководство асииратом

$$E_2 = 0,6$$
 тыс. руб.;

3) стоимость машинного времени, израсходованного в процессвыполнения работы:

$$E_3 = 3.0$$
 тыс. руб.;

4) затраты, необходимые для внедрения усовершенствованно методики в оперативную практику:

$$E_4 = 0.8$$
 тыс. руб.

Суммирование дает

$$E = E_1 + E_2 + E_3 + E_4 = 6.8$$
 Thic. py6.

Отсюда по формуле (5) находим время окупаемости

$$t_0 = 5,45 \cdot 10^{-3}$$
 года = 2,0 дня,

а по формуле (6) — отношение выигрыша к затратам

$$\chi = 1520,$$

т. е. каждый затраченный рубль дает выигрыш свыше 1500 руб лей.

Несомненно, что эта величина завышена по сравнению с дей ствительностью. Одна из причин завышения кроется в самой сущ ности способа оцениваемого эквивалента. Второй путь, фигури

ующий в этом способе (в нашем случае это — организация доолнительных станций), потому и не используется в действительости, что он требует слишком больших затрат. Однако в привеенных оценках это завышение нивелируется тем обстоятельством, о мы пренебрегли единовременными затратами на установку ганций, а также исходили из стоимости содержания станий на суше, в то время как в действительности большинствоэполнительных станций пришлось бы организовывать на акваэриях океанов.

Более существенна другая причина завышения оценок. Она эстоит в том, что в действительности, как об этом подробно гоорилось выше, затраты на выполнение научной работы гораздо ольше, чем об этом можно судить по непосредственно израсходоанным суммам. Однако именно такого рода суммы всегда испольуют в процессе оценки экономической эффективности различных абот, а коэффициент х получается при этом гораздо меньим. Поэтому на основании приведенного примера можно сдеать заключение, что экономическая эффективность научных абот, направленных на усовершенствование методов объективного нализа, действительно значительно выше, чем для большинства ругих работ.

Укажем в заключение, что аналогичным способом можно оцеивать эффективность работ по усовершенствованию методов грогноза погоды, основываясь на том, что точность прогноза заисит, среди прочих причин, от точности анализа исходного поля,

последняя в свою очередь — от количества станций.

СПИСОК ЛИТЕРАТУРЫ

1. Гандин Л. С. Современные проблемы объективного анализа метеорологических полей. — В кн.: Труды V Всесоюзного метеорологического съезда. 1972, т. 2, с. 106—117.

2. Клуге И. Об использовании данных о ветре при объективном анализе высотного барического поля. — «Труды ГГО», 1970, вып. 267, с. 32—51.

3. Машкович С. А. Некоторые вопросы планирования аэрологических станций в свете задач объективного анализа аэрологических наблюдений. — В кн.: Труды Симпозиума по численным методам прогноза погоды. Гидрометеоиздат., Л., 1964, с. 215—223.

4. Экономические проблемы повышения эффективности научных разработок.

Л., 1972, 338 с.

СОДЕРЖАНИЕ

Л. С. Гандин, К. М. Лугина. Об учете данных косвенного зондиро-	1:
вания атмосферы при четырехмерном анализе метеорологических полей	}
В. А. Шахмейстер. Численные эксперименты по совместному учету	
аэрологической, спутниковой и прогностической информации	1
В. А. Шахмейстер. Некоторые эксперименты по четырехмерному анализу	3
В. П. Тараканова. О закономерностях ошибок определения темпера-	Į.
туры и геопотенциала по данным косвенного зондирования атмосферы	4
Ю. М. Либерман. Распределение абсолютных ошибок анализа	
геопотенциала в южном полушарии	5
Р. Л. Каган. О точности выборочных структурных функций	5
Р. Л. Каган, Е. И. Федорченко. К расчету вероятности выброса	- 1
нормальной последовательности	6
Р. Л. Қаган, Е. И. Федорченко. О влиянии дискретности измерений	
на точность определения числа выбросов случайного процесса	7
Р. Л. Каган, Е. И. Федорченко. О восстановлении годового хода	
моментов метеорологических рядов	90
Е. И. Федорченко. О временной структуре ежечасных наблюдений	
за температурой воздуха в Ленинграде	. 112
Л. С. Гандин, А. Е. Пригодич. О статистическом контроле верти-	
кальных профилей геопотенциала	123
А. Е. Пригодич. Об одном методе контроля вертикальных профилей	
геопотенциала главных изобарических поверхностей	132
Я. В. Парфиневич. Трехкомпонентная модель комплексного контроля	
геопотенциала и температуры изобарических поверхностей	141
Л. С. Гандин. О корреляционных функциях качественных признаков	156
Л. С. Гандин, Л. Л. Брагинская. Об оценке экономической эффек-	
тивности работ по усовершенствованию методов объективного ана-	
лиза метеорологических полей	162

Труды ГГО, вып. 348

применение статистических методов в метеорологии

Редактор Е.И.Ильиных Техн. редактор Н.Ф.Грачева Корректор Г.С. Макарова

°Сдано в набор 24/II 1975 г. Подписано к печати 10/VII 1975 г. М-31718. Формат $60\times90^1/_{16}$. Бумата тип. № 1. Печ. л. 11. Уч.-изд. л. 11,38. Тираж 650 экз. Индекс МЛ-116. Заказ № 193. Цена 80 коп. Гидрометеоиздат. 199053, Ленинград, 2-я линия. д 23.

Сортавальская книжная типография Управления по делам издательств, полиграфии и книжной торговли Совета Министров Карельской АССР. Сортавала, Карельская, 42.